

ივანე ჯავახიშვილის სახელობის თბილისის სახელმწიფო უნივერსიტეტი

## ოლიგო ლეკაზვილი

ზუსტ და საბუნებისმეტყველო მეცნიერებათა ფაკულტეტი  
ქიმიის მიმართულება

აღამანთანისა და ვეროცენის ობის ზოგიერთი ორგანული და  
გეტალორგანული ნაერთის სინთეზი და პრეცესა

ს ა დ ო ქ ტ ო რ ო      დ ი ს ე რ ტ ა ც ი ა

ხელმძღვანელები:

პროგრამის ხელმძღვანელი:

პროფესორი,

ქიმიის მეცნიერებათა დოქტორი

იოსებ ჩიკვაიძე

სამეცნიერო ხელმძღვანელები:

ქიმიის აკადემიური დოქტორი

დავით ზურაბიშვილი

პროფესორი,

ქიმიის მეცნიერებათა დოქტორი

ავთანდილ ქორიძე

თბილისი

2013 წელი

## შინაარსი

<b>შესავალი</b>	<b>5</b>
<b>თავი 1. ლიტერატურის მიმოხილვა</b>	<b>9</b>
1.1. ფეროცენის და ადამანტანის აგებულება	9
1.2. ფეროცენის და ადამანტანის რიგის კარბონილური ნაერთები	12
1.3. ფეროცენის უჯერი რიგის ნაწარმების სინთეზი და თვისებები	15
1.4. ფეროცენშემცველი აცეტილენური რიგის სპირტები	18
1.5. ადამანტანშემცველი აცეტილენური რიგის ნაერთები	22
1.6. ფეროცენზე დაფუძნებული P,C,P პინსერული კომპლექსები	27
1.7. ფეროცენილალკინურ ჯგუფების შემცველი ოქრო-რენიუმის კლასტერები	29
1.7.1. აცეტონიტრილ ლიგანდის შემცველი რენიუმის კარბონილური კომპლექსები	29
1.7.2. ელექტრონული კომუნიკაცია კლასტერებში ფეროცენილ ჯგუფებს შორის	31
1.8. ადამანტანის აზოტშემცველი წარმოებულები	32
1.8.1. ადამანტანის რიგის ამინები, ამიდები, ჰიდრაზიდები	32
1.8.2. ოქსადიაზოლები	39
1.9. ჰიდრაზიდული და ბიჰიდრაზიდული კოორდინაციული ნაერთები, მათი ფიზიკურ-ქიმიური და ბიოაქტიური თვისებების დამოკიდებულება აღნაგობაზე	46
<b>თავი 2. ექსპერიმენტული მონაცემების განსჯა</b>	<b>50</b>
2.1. ფეროცენ- და ადამანტანშემცველი ჰიდროქსიაცეტილენები	50
2.1.1. ფეროცენ- და ადამანტანშემცველი ჰიდროქსიაცეტილენების სინთეზი და რადიკალის გავლენის შესწავლა	50
2.1.2. სინთეზირებული აცეტილენური რიგის სპირტების ანიონოტროპიული გადაჯგუფება	53
2.2. ფეროცენზე დაფუძნებული P,C,P პინსერული ლიგანდებისა და მათი ზოგიერთი რუთენიუმის კომპლექსის სინთეზი	57
2.3. აცეტონიტრილ ლიგანდის შემცველი რენიუმის კარბონილ კომპლექსების მიღების ზოგიერთი საკითხი	59
2.3.1. ფეროცენშემცველი ოქრო-რენიუმის ჰეტერომეტალური კლასტერების სინთეზი	60
2.4. ამინოადამანტანის, ადამანტანანილინის, ამინოადამანტანგარბონმეტანის და ადამანტან-1-კარბონმეტანის საფუძველზე აზომეთინების სინთეზი და კვლევა	65
2.4.1. ადამანტანშემცველი დი- და ტრიაცილჰიდრაზიდების ქვანტურ-ქიმიური გამოკვლევა	76

2.4.2.	ადამანტანშემცველი 2,5-დიჩანაცვლებული-1,3,4-ოქსადიაზოლების სინთეზი და მათი α-ფეროცენილალკილირება - - - - -	81
2.4.3.	ადამანტანშემცველი ჰიდრაზიდ-ჰიდრაზონული ლიგანდების Fe(II)-ის და Cu (II)-ის კოორდინაციული ნაერთები - - - - -	84
2.4.3.1.	ჰიდრაზიდ-ჰიდრაზონული ლიგანდების სინთეზი და კომპლექს-წარმოქმნის უნარის კვანტურ-ქიმიური შეფასება - - - - -	84
თავი 3.	ექსპერიმენტული ნაწილი - - - - -	96
თავი 4.	დასკვნები - - - - -	115
თავი 5.	ლიტერატურა - - - - -	117

## სიმბოლოთა განმარტება

$\delta$	მარყუჟისებური (ქელატი)
$P,C,P$	ფოსფორ-, ნახშირბად-, ფოსფორ-მეტალთან ბმების შემცველი ნაერთი
$\varepsilon$	შთანთქმის მოლური კოეფიციენტი
$h\nu$	სინათლის კვანტი
$c$	კონცენტრაცია
$Ad$	ადამანტილი
$Fc$	ფეროცენილი
$\lambda$	ტალღის სიგრძე (ნმ)
$\delta$	ქიმიური ძვრა
$t_{1/2}$	ნახევარგარდაქმნის დრო
$J$	სპინ-სპინური ურთიერთქმედების მუდმივა
$s$	სინგლეტი
$br\ s$	გაფართოებული სინგლეტი
$d$	დუბლეტი
$dd$	დუბლეტ-დუბლეტი
$m$	მულტიპლეტი
$\theta_b$	(ველის) მემილიონები ნაწილი
$\beta_C$	ჰერცი
$MHz$ (ჰერცი)	მეგაჰერცი
დმსო, DMSO	დიმეთილსულფოქსიდი
დმფ, DMFA	დიმეთილფორმამიდი
ტჰფ, THF	ტეტრაჰიდროფურანი
$CDCl_3$	დეიტერიირებული ქლოროფორმი
$CD_3COCD_3$	დეიტერიირებული აცეტონი
$\sigma_f$	ინფრაწითელი (სპექტროსკოპია)
$\tau$	ულტრაიისფერი (სპექტროსკოპია)
$^1H$ ბმრ	$^1H$ ატომის ბირთვულ მაგნიტური რეზონანსი
$^{13}C$ ბმრ	$^{13}C$ ატომის ბირთვულ მაგნიტური რეზონანსი
pH	წყალბადის მაჩვენებელი (წყალბად-იონთა კონცენტრაციის შებრუნებული სიდიდის ათობითი ლოგარითმი)
$R_f$	განაწილების კოეფიციენტი (ქრომატოგრაფიაში)
$\Delta H$	ენთალპია

## შესავალი

ბოლო წლებში მეტალორგანული ნაერთები დიდ ყურადღებას იქცევენ როგორც სამკურნალო საშუალებები. მათ შორის ფეროცენის შემცველმა ნაერთებმა გამოავლინეს მაღალი ეფექტურობა, როგორც კიბოს და მალარიის სასიკვდილო ფორმის საწინააღმდეგო პრეპარატებმა [1,2]. ფეროცენშემცველი აცეტილენური რიგის ორატომიანი სპირტები წარმოადგენენ ანტიოქსიდანტებს და ანტიკანცეროგენებს, როგორიცაა ფეროცენ-А (1-ფეროცენილ-1-ფენილ-1,4-დიაზინილ-2) [3,4].

ამავე დროს ფეროცენის წარმოებულები ფართოდ გამოიყენებიან, როგორც ლიგანდები პომოგენურ მეტალოკომპლექსურ კატალიზმი. მაგალითად, ე.წ. პინსერული კომპლექსები მრავალი ისეთი მნიშვნელოვანი რეაქციის კატალიზატორებია როგორიცაა ალკანების დეპიდრირება, ჰეკის რეაქცია, სუზუკის არილთა შეწყვილება, კარბონილური ნაერთების პიდრირება და ალდოლური ტიპის კონდენსაცია [5-9].

მედიცინაში გამოყენების თვალსაზრისით დიდ ყურადღებას იმსახურებს ალმასის სტრუქტურის მქონე ნახშირწყალბადი ადამანტანი, რომელიც წარმოადგენს ერთმანეთში შერწყმულ სამ ციკლოპექსანის რგოლს სავარძლის ფორმით. მისი ნაწარმები ფართოდ გამოიყენება, როგორც მაღალეფექტური ბიოლოგიურად აქტიური ნაერთები, რაც გამოწვეულია ადამანტილის რადიკალის იმუნოტროპულობითა და ლიპოფილობით. მოლეკულაში ადამანტანის რადიკალის არსებობა, ისევე როგორც ფეროცენისა, ხშირ შემთხვევაში ზრდის პრეპარატის მოქმედების ეფექტურობას და ამცირებს მის ტოქსიკურობას. მიღებულია მაღალეფექტური ფუნგიციდები, პერბიციდები, ინსექტიციდები, ანტივირუსული პრეპარატები – რემანტადინი, მიღანტანი და სხვა [10-16].

ზემოაღნიშნულიდან გამომდინარე, ფეროცენისა და ადამანტანის ნაწარმები წარმოადგენენ პერსპექტიულ ობიექტებს ახალი დაბალტოქსიკური და მაღალეფექტური ფართო სპექტრის ბიოლოგიური თვისებების მქონე ნაერთების და ლიგანდების სინთეზისათვის.

მიუხედავად მრავალრიცხოვანი გამოკვლევებისა, აცეტილენური ნაერთები, რომელთა მოლეკულები ერთდროულად შეიცავენ ფეროცენისა და ადამანტანის რადიკალებს, არ არის შესწავლილი. ამიტომ ამ მიმართულებით კვლევებს აქვთ როგორც თეორიული, ისე პრაქტიკული მნიშვნელობა.

სადისეუტაციო ნაშრომი ეძღვნება ადამანტანის და ფეროცენის რიგის ზოგიერთ პოტენციურად ბიოლოგიური აქტიურობის მქონე ორგანულ და მეტალორგანულ ნაერთის სინთეზსა და კვლევას.

**ძვლევის ძირითადი ამოცანები:** ადამანტანისა და ფეროცენის რიგის ზოგიერთი ორგანულ და მეტალორგანული ნაერთის სინთეზსა და კვლევის განსახორციელებლად დასახულ იქნა შემდეგი:

- ფეროცენ და ადამანტანშემცველი პიდროქსიაცეტილენების სინთეზი და რადიკალის გავლენის შესწავლა;
- სინთეზირებული ადამანტან და ფეროცენშემცველი აცეტილენური რიგის სპირტების ანიონოტროპიულ გადაჯგუფებათა შესწავლა;
- ფეროცენზე დაფუძნებული Р, С, Р პინსერული ლიგანდებისა და მათი რუთენიუმის კომპლექსების სინთეზი;
- აცეტონიტრილ ლიგანდის შემცველი რენიუმის კარბონილ კომპლექსების მიღება;
- ფეროცენშემცველი ოქრო-რენიუმის პეტერომეტალური კლასტერების სინთეზი;

- ამინოადამანტანის, 4-(1-ადამანტან)ანილინის, 3-ამინოადამანტან-1-კარბონმჟავას და ადამანტან-1-კარბონმჟავას ჰიდრაზიდის საფუძველზე აზომეთინების სინთეზი და კვლევა;
- ადამანტან-1-კარბონმჟავას ჰიდრაზიდის აცილირების რეაქციის შესწავლა;
- ადამანტანშემცველი 2,5-დიჩანაცვლებული-1,3,4-ოქსადიაზოლების სინთეზი და მათი ა-ფეროცენილალკილირება;
- ადამანტანშემცველი ჰიდრაზიდო-პიდრაზონული ლიგანდების და მათ ბაზაზე Cu(II) და Fe(II) კოორდინაციული ნაერთების სინთეზი.

**თემის აქტუალობა:** ბოლო წლებში მეტალორგანული ნაერთები დიდ ყურადღებას იქცევენ როგორც სამკურნალო საშუალებები. ისინი ეფექტური აღმოჩნდნენ ისეთი დაავადებების წინააღმდეგ, როგორიცაა კიბო, ადამიანის იმუნოდეფიციტის ვირუსი და სხვ. ამავე დროს, თვითონ ფეროცენი ქიმიურად მდგრადი და არატოქსიკური ნაერთია.

1-ფეროცენილ-1-ფენილ-1,4-დიპიდროქსი-2-ბუტინი (Fc-A) ამჟღავნებს ანტიგანცეროგენულ მოქმედებას. კანცეროგენის აპლიკაციის მომენტში სისხლში Fc-A-ს არსებობა ხელს უშლის ავთვისებიან სიმსივნის ტრანსფორმაციას და ასევე, გავლენას ახდენს უჯრედულ კულტურაში ადამიანის ლიმფოციტების მიტოზურ ინდექსზე.

ცნობილია, რომ გარდამავალ მეტალთა პინსერული კომპლექსები მრავალი ისეთი მნიშვნელოვანი რეაქციის კატალიზატორებია, როგორიცაა ალკანების დეპიდრირება, ჰეკის რეაქცია, სუზუკის არილთა შეწყვილება, კარბონილური ნაერთების ჰიდრირება და ალდოლური ტიპის კონდენსაცია.

აღსანიშნავია, რომ ადამანტანებიც ასევე გამოირჩევიან უნიკალური ფარმაკოლოგიური თვისებებით. აღმოჩნდა, რომ ადამანტანის ლიპოფილური რადიკალის შეცვანა ცნობილი ბიოლოგიურად აქტიური ნაერთების მოლეკულებში, ხშირ შემთხვევაში იწვევს პრეპარატის ტოქსიკურობის შემცირებას და ფარმაკოლოგიური მოქმედების გაძლიერებას, რაც აიხსნება ადამანტილის რადიკალის იმუნოტროპული და მემბრანოტროპული მოქმედებით. ამ თვისებების გამო განხორციელებულ იქნა სხვადასხვა ჯგუფის პრეპარატების მოდიფიცირება მათი ადამანტილირების ან ადამანტოილირების რეაქციით.

**ნაშრომის ძირითადი შედეგები და მეცნიერული სიახლე:** სინთეზირებულია ლიტერატურაში უცნობი ფეროცენის და ადამანტანის რადიკალის ერთდროულად შემცველი აცეტილენური რიგის ჰიდროქსიტარმოებული ანტიგანცეროგენული და ანტიმიკრობული პრეპარატების 1-ფეროცენილ-1-ფენილ-1,4-დიპიდროქსიბუტინ-2 (Fc-A), 4-ადამანტილ-1,4-დიპიდროქსიპენტინ-2,2-ჰიდროქსი-2-(ჰიდროქსიპროპინილ)ადამანტანის სტრუქტურული ანალოგები, რომლებიც წარმოადგენენ პერსპექტიულ ანტიკანცეროგენულ, ანტიმიკრობულ საშუალებებს.

1,3-ბის{({დი-*t*-ბუტილფოსფინო}მეთილ}ფეროცენის კომპლექსთან RuCl<sub>2</sub>(DMSO)<sub>4</sub> რეაქციით მდუღარე 2-მეთოქსიეთანოლში მიღებულია პირველი ფეროცენზე დაფუძნებული რუთენიუმის პინსერული კომპლექსი, RuCl(CO)[{2,5-(*t*-Bu<sub>2</sub>PCH<sub>2</sub>)<sub>2</sub>C<sub>5</sub>H<sub>2</sub>}Fe(C<sub>5</sub>H<sub>5</sub>)]. რუთენიუმ-ქლოროკარბონილ პინსერული კომპლექსის ნახშირბად მონოქსიდთან რეაქციებში მიღებულია ნეიტრალური და კატიონური დიკარბონილური კომპლექსები; კატიონური ნაერთი შესწავლილია რენტგენოსტრუქტურული მეთოდით.

სინთეზირებულია ახალი რიგის ადამანტანშემცველი იმინები და ჰიდრაზინები: N-(1-ადამანტილ)ბენზილიდენიმინი, N-(1-დამანტილ)დიმეთილამინობენზილი-დენიმინი, N-(1-ადამანტილ)-2-ჰიდროქსი-3,5-დიბრომბენზილიდენიმინი, N-(1-ადამანტილ)-2,4-დიპიდროქსიბენზილიდენიმინი, N-(4-(1-ადამანტილ)ფენილ)-4-დიმეთილ-

ამინობენზილიდენიმინი, N-(4-(1-ადამანტილ)ფენილ)-2-ჰიდროქსი-3,5-დიბრომბენ-ზილიდენიმინი, N-(4-(1-ადამანტილ)ფენილ)-2,4-ჰიდროქსიბენზილიდენიმინი, N-(3-კარბოქსიადამანტილ-1)-2-ჰიდროქსი-3,5-დიბრომბენზილიდენიმინი, N-(3-კარბოქსიადამანტილ-1)-2,4-დიპიდროქსიბენზილიდენიმინი, N-ადამანტოილბენზალდეპიდის ჰიდრაზონი, N-ადამანტოილ-4-დიმეთილამინობენზალდეპიდის ჰიდრაზონი, N-ადამანტოილ-2-ჰიდროქსი-3,5-დიბრომბენზალდეპიდის ჰიდრაზონი, N-ადამანტოილ-2,4-დიპიდროქსიბენზალდეპიდის ჰიდრაზონი.

სინთეზირებულია ადამანტანშემცველი ჰიდრაზიდები და ამინები შესაბამისი ჰიდრაზონების და იმინების LiAlH<sub>4</sub>-ით აღდგენის რეაქციებით.

სხვადასხვა პირობებში ადამანტან-1-კარბონმჟავას ჰიდრაზიდის აცილირებით მჟავათა ანჰიდრიდებით და ქლორანჰიდრიდებით მიღებულია ადამანტანშემცველი ჰიდრაზიდების ახალი რიგი.

სინთეზირებულია ადამანტანშემცველი 2,5-დიჩანაცვლებული-1,3,4-ოქსადიაზოლები, დიპიდრაზიდების ციკლიზაციით. ჩატარებულია ზოგიერთი ოქსადიაზოლის ა-ფეროცენილალკილირება.

ჩატარებულია ფეროცენილბუტადიინილის შემცველი ოქრო-რენიუმის კომპლექსის Re<sub>2</sub>(AuPPh<sub>3</sub>)(μ-C<sub>4</sub>Fe)(CO)<sub>x</sub> სინთეზი და მისი რენტგენოსტრუქტურული ანალიზი.

ოქრო-ფეროცენილბუტადიინილის Au(PPh<sub>3</sub>)C<sub>4</sub>Fc და დირენიუმის Re<sub>2</sub>(CO)<sub>8</sub>(NCMe)<sub>2</sub> კომპლექსების თერმულ (ტოლუოლი, 92°C) რეაქციაში მიღებულია ოქრო-რენიუმის კლასტერი Re<sub>4</sub>(AuPPh<sub>3</sub>)(μ<sub>4</sub>-C<sub>2</sub>)(μ<sub>3</sub>-C<sub>2</sub>Fc)(CO)<sub>12</sub>, რომლის აღნაგობა დადგენილია რენტგენოსტრუქტურული მეთოდით. კლასტერი შეიცავს μ<sub>4</sub>-დიკარბიდ და μ<sub>3</sub>-ფეროცენალკინილ ლიგანდებს, რომლებიც წარმოქმნილია ბუტადიინილის ცენტრალური C-C ბმის გახლების შედეგად.

სინთეზირებულია და შესწავლილია ადამანტანშემცველი ჰიდრაზიდო-ჰიდრაზონების ბაზაზე d-მეტალის შემცველი პოლიფუნქციური კოორდინაციული ნაერთები: ბის[N-(1-ადამანტოილ)-1-ბენზილიდენსპილენბის(II) ჰიდრაზონი, N-(1-ადამანტოილ)-4-დიმეთილამინობენზილიდენსპილენბის(II) ჰიდრაზონი, N-(1-ადამანტოილ)-4-დიმეთილამინობენზილიდენდიაქვა რკინა(II)-ს ჰიდრაზონი, N-(1-ადამანტოილ)-2,4-დიოქსიბენზილიდენსპილენბის(II) ჰიდრაზონი, N-(1-ადამანტოილ)-2,4-დიოქსიბენზილიდენდიაქვარკინა(II)-ს ჰიდრაზონი.

ნახევრადემპირიული კვანტურ-ქიმიური (AM1 (Austin Model 1) [CS MOPAC]-ის (Chem 3D Ultra-version 8.03) მეთოდით ჩატარებული გამოთვლების საფუძველზე დადგენილია, რომ ორგანული ლიგანდის მოლეკულა მეტალის ცენტრალურ ატომთან კოორდინირებულია კარბონილის ჯგუფის უანგბადატომისა და ჰიდრაზონული აზოტის ატომის მეშვეობით ციკლურ-ბიდენტანტურად.

**სამუშაოს პრაქტიკული მნიშვნელობა:** სინთეზირებულია ფეროცენისა და ადამანტანის წარმოებულები, რომლებიც წარმოადგენენ პერსპექტიულ ობიექტებს მეტალორგანულ სინთეზში და ახალი ფართო სპექტრის ბიოლოგიურად აქტიური (ანტიკანცეროგენული, ანტიმიკრობული და სხვა) საშუალებების ძიებისათვის.

სინთეზირებულია პოტენციური ბიოლოგიური აქტიურობის მქონე ნაერთთა ახალი რიგები: ადამანტანშემცველი ჰიდრაზინები, ჰიდრაზონები, ამინები, იმინები, ოქსადიაზოლები, ადამანტანშემცველი კოორდინაციული ნაერთები.

სინთეზირებულია ფეროცენზე დაფუძნებული P,C,P ჰინსერული ლიგანდები და მათი რუთენიუმის კომპლექსები. სინთეზირებულია ფეროცენშემცველი ოქრო-რენიუმის ლიგერატურაში უცნობი ტიპის პეტერომეტალური კლასტერები.

**პუბლიკაციები:** დისერტაციის მასალები გამოქვეყნებულია 28 ნაშრომის, მათ შორის 13 სამეცნიერო სტატიის, აქედან 3 იმპაქტ ფაქტორის მქონე უურნალში, 10 რეფერირებად და რეცენზირებად უურნალში, 8 საერთაშორისო, 7 რესპუბლიკური კონფერენციის თეზისების სახით.

**სამუშაოს მოცულობა და სტრუქტურა:** სადისერტაციო ნაშრომი მოიცავს 125 გვერდს, შედგება შემდეგი ძირითადი თავებისაგან: შესავალი, ლიტერატურის მიმოხილვა, ექსპერიმენტული მონაცემების განსჯა, ექსპერიმენტული ნაწილი, დასკვნები, ციტირებული ლიტერატურის ნუსხა 156, ცხრილი 15, სქემა 112, ნახაზი 6, ნახატი 8.

ნაერთების ნუმერაცია თავებში:  
“ექსპერიმენტულ ნაწილში” შეესაბამება “ექსპერიმენტული მონაცემების განსჯის” ნუმერაციას; სქემების, ნახაზების და ცხრილების ნუმერაცია ერთიანია.

## 1. ლიტერატურის მიმოხილვა

### 1.1 ფეროცენის და ადამანტანის აგებულება

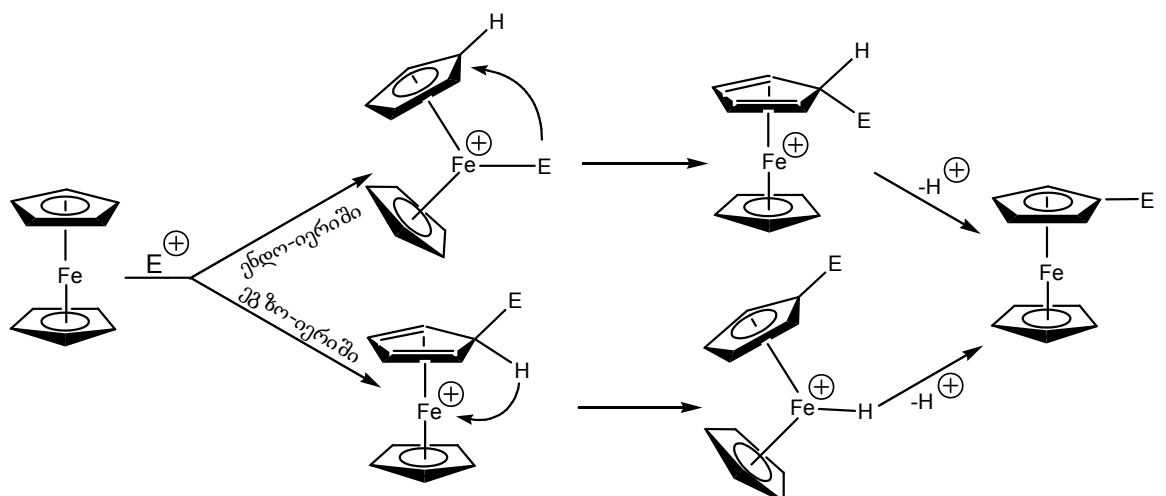
**ფეროცენი** – ბის-ციკლოპენტადიენილ რკინა, მისი მოლეკულის სტრუქტურა წარმოადგენს „სენდვიჩს“, სადაც ციკლოპენტადიენილის რგოლები ურთიერთპარალელურად არიან განლაგებულნი, ხოლო მათ შორის სიმეტრიულად მდებარეობს რკინის ატომი, ფეროცენი კრისტალურ ფორმაში ქმნის პენტაგონალურ ანტიპრიზმას [2,17,18].

ფეროცენის ელექტრონული სტრუქტურა დადგენილია ვ-მოფიტის მიერ. ციკლოპენტადიენილის ჯგუფების ელექტრონების ძლიერი ელექტრული ველი იწვევს რკინის ატომის ელექტრული ღრუბლის ჰიბრიდიზაციას, რის შედეგადაც ადგილი აქვს ჰიბრიდიზებული ორბიტალების ციკლოპენტადიენილის მოლეკულური ორბიტალებით გადაფარვას, რაც განაპირობებს რკინის ატომსა და ციკლოპენტადიენილის ჯგუფებს შორის დონორულ-აქცეპტორული ტიპის მტკიცე ბმების წარმოქმნას. ამ ბმების გაწყვეტა ხდება მხოლოდ ძლიერ მკაცრ პირობებში. ფეროცენის მთლიანად დაშლა რკინის და არაიდენტიფიცირებულ პროდუქტებად მიდის  $350^{\circ}\text{C}$  (დახურულ სისტემაში), ხოლო  $36\%-იანი$  ფტორწყალბადმჟავას ხსნარში  $100^{\circ}\text{C}$  [18,19].

ფეროცენი წარმოადგენს ერთიან არომატულ სისტემას, რომელიც არ შედის მიერთების რეაქციებში და მისთვის ძირითადად დამახასიათებელია ელექტროფილური ჩანაცვლების რეაქციები (არომატული ჩანაცვლების რეაქციები) [2,18]. დადგენილია, რომ ფეროცენი შედის ელექტროფილურ ჩანაცვლების რეაქციებში უფრო ადვილად, ვიდრე ბენზოლი.

ფეროცენში ციკლოპენტადიენილურ რგოლებში წყალბადის ატომთა ელექტროფილური ჩანაცვლების მექანიზმის განხილვისას (სქემა 1) მსჯელობის საგანია ელექტროფილით რგოლზე პირდაპირი იერიშის (ეგზო-იერიში) შესაძლებლობა და მეტალზე პირველადი იერიში რგოლში შემდგომი მიგრაციით (ენდო-იერიში). ორივე შემთხვევაში წარმოიქმნება ერთი და იგივე პროდუქტი.

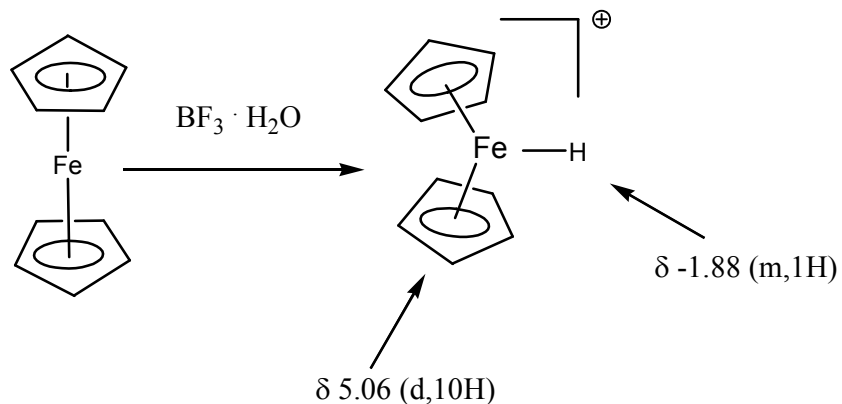
სქემა 1



ფეროცენში ელექტროაქცეპტორული ჩამნაცვლებლები ასუსტებენ ჩანაცვლებული ბირთვის რეაქციისუნარიანობას იმდენად, რომ შემდეგი ელექტროფილური ჩანაცვლება მიმდინარეობს ციკლოპენტადიენილის მეორე ბირთვში. ელექტროდონორული ჩამნაცვლებლები კი პირიქით, ზრდიან ჩანაცვლებული ბირთვის რეაქციისუნარიანობას, რის გამოც შემდეგი ელექტროფილური ჩანაცვლება მიმდინარეობს იმავე ციკლოპენტადიენილის ბირთვში.

თითქოსდა, ენდო-მექანიზმის სასარგებლოდ მეტყველებს ფეროცენის პროტონირების შედეგი ისეთი ძლიერი მჟავით როგორიცაა  $\text{BF}_3 \cdot \text{H}_2\text{O}$  (სქემა 2). ამ დროს მიღებული იონისთვის  $^1\text{H}$  ბმრ—ის სპექტრში რეგისტრირდება ორი სიგნალი, დუბლეტი ციკლოპენტადიენილური პროტონებისგან  $\delta$  5.06-თან და მულტიპლეტი  $\delta$ -1.88-თან. ამ სიგნალების ინტენსივობა ტოლია 10:1.

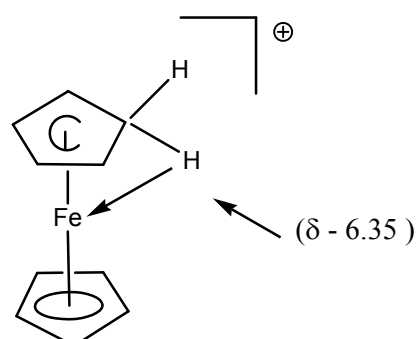
სქემა 2



თავდაპირველად ფიქრობდნენ, რომ ეს სპექტრალური სურათი შეუსაბამება გამოსახულ კატიონურ კომპლექსს. მაგრამ უკანასკნელი თეორიული გათვლების და ზოგიერთი ექსპერიმენტული მონაცემის თანახმად, სინამდვილეში კატიონური კომპლექსი შეიცავს აგოსტიკურ ბმას  $\text{Fe}—\text{H}—\text{C}$ . ამასთან ვარაუდობენ, რომ კატიონური კომპლექსი განიცდის სწრაფ გადაჯგუფებას.

შევდება ალბერგმა და მისმა თანამშრომლებმა თეორიული გათვლების საფუძველზე იწინასწარმეტყველეს სწორედ ასეთი აგოსტიკური სტრუქტურის წარმოქმნა, აგრეთვე ქიმიური ძვრა აგოსტიკური პროტონისთვის ბირთვულ მაგნიტურ რეზონანსში  $\delta$  -6.35 (სქემა 3).

სქემა 3

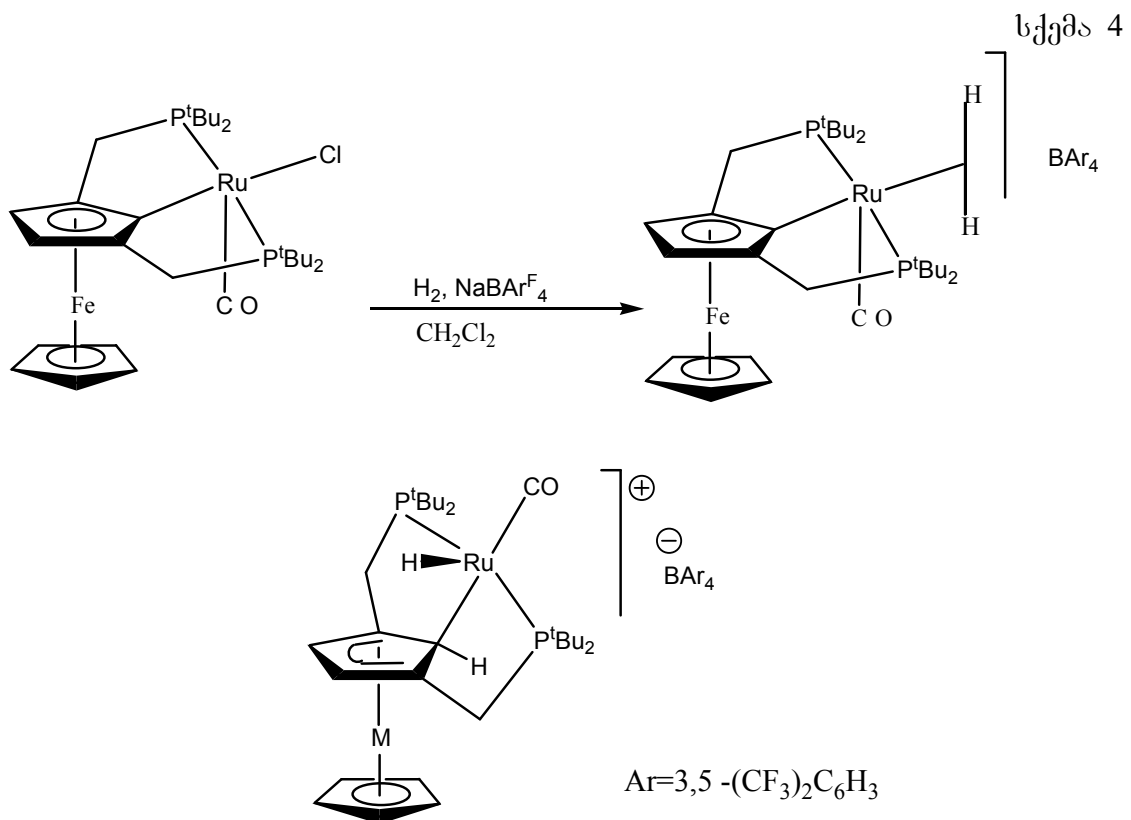


აქამდე არავინ დაკვირვებია აგოსტიკური ბმის მქონე კატიონურ კომპლექსს, ფეროცენის ციკლოპენტადიენილურ რგოლებში ელექტროფილური

ჩანაცვლების შუალედურ პროდუქტს. ასეთი ნაწილაკები მეტად არამდგრადია. იმისათვის, რომ შეიძლებოდეს მათი გამოყოფა კრისტალური სახით და სტრუქტურული მეთოდებით დახასიათება.

მაგრამ ცოტა ხნის წინ ფეროცენის საფუძველზე რუთენიუმის პინსერული კომპლექსების შესწავლისას შესაძლებელი გახდა კატიონური კომპლექსის მიღება, რომელიც შეიძლება განვიხილოთ, როგორც გარდამავალი მეტალით (Ru) სტაბილიზებული ფეროცენიუმ იონი.

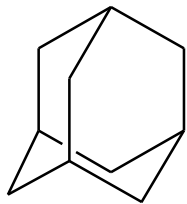
ორი მახელატირებელი ალკილფოსფინური “ხელის” არსებობა და რუთენიუმის ატომის C<sub>5</sub>-ციკლთან σ-ბმა, სავარაუდოდ, იწვევს ამ კომპლექსის სტაბილირებას. რენტგენოსტრუქტურული გამოკვლევით დახასიათებული ეს კომპლექსი შეიძლება განხილულ იქნეს როგორც პინსერული სისტემით სტაბილიზებული ფეროცენიუმ იონის – ფეროცენში ელექტროფილური ჩანაცვლების შუალედური პროდუქტის – ნახაგი (სქემა 4).



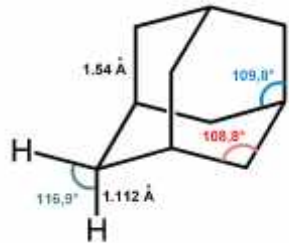
ამ უჩვეულო კომპლექსის რენტგენოსტრუქტურული ანალიზის შედეგები მეტყველებენ, ციკლოპენტადიენილის რგოლის C(1) ატომის ჰიბრიდიზაცია უახლოვდება *sp*<sup>3</sup> Ru—C(1) ლერძი რგოლთან ქმნის 77.7° კუთხეს.

<sup>1</sup>H ბმრ სპექტრში შეიმჩნევა Ru-ის ატომთან ჰიდრიდული ატომის სიგნალი ტრიალების სახით, δ = -26.22, და კიდევ ერთი სიგნალი δ 1.97 რომელიც განპირობებულია C(1)-თან დაკავშირებული წყალბადის ატომით. ყერადღებას იქცევს ამ წყალბადის ატომის ბმრ-ის ქიმიური ძერა, რომელიც მიუთითებს C(1) ატომის რეპიბრიდიზაციაზე *sp*<sup>3</sup> ხასიათის მიმართულებით.

ამრიგად, პირველად იქნა გამოყოფილი და დახასიათებული ფეროცენიუმის იონის – ფეროცენში ელექტროფილური ჩანაცვლების შუალედური პროდუქტის – რუთენიუმის ატომით სტაბილიზებული მოდელი.



**ადამანტანი – ტრიციკლო[3.3.1]დეკანი ( $C_{10}H_{16}$ )**. ადამანტანი გამოყოფილი იქნა ნავთობიდან ჩეხი მეცნიერების ს. ლანდასა და ვ. მაჩასეკის მიერ 1933 წ. ის წარმოადგენს პოლიედრული სტრუქტურის მქონე ნივთიერებას. აღმასის მსგავსად იგი თავისუფალია ყოველგვარი კუთხეური თუ ტორსიული დაჭიმულობისაგან და გამოირჩევა მაღალი სიმეტრიულობით. მას გააჩნია უნიკალურად მყარი სტრუქტურა, რომელიც წარმოადგენს ერთმანეთში შერწყმულ სამ ციკლოპექსანის რგოლს [10,20,21].



ადამანტანის რენტგენოსტრუქტურული და ელექტრონური ანალიზით დადგენილია, რომ C-C ბმის სიგძე არის  $1.54 \text{ \AA}$ , ხოლო კუთხე C-C-C  $109.5^\circ$ -ის ტოლია. ადამანტანის ინფრაწითელი და ბირთვულ მაგნიტურ რეზონანსული სპექტრები გამოირჩევა სიგნალების მცირე რაოდენობით. მაქსიმისა და კლასიკის მიერ დადგენილ იქნა, რომ ადამანტანში ნახშირბად ატომების ჰიბრიდიზაცია არ განსხვავდება  $sp^3$  ჰიბრიდიზაციისაგან.

შესწავლილია ადამანტანის ამინირების, ჰალოგენირების, ნიტრირების, დაუნგვის და სხვა რეაქციები [10,19,20].

## 1.2 ფეროცენის და ადამანტანის რიგის კარბონილური ნაერთები

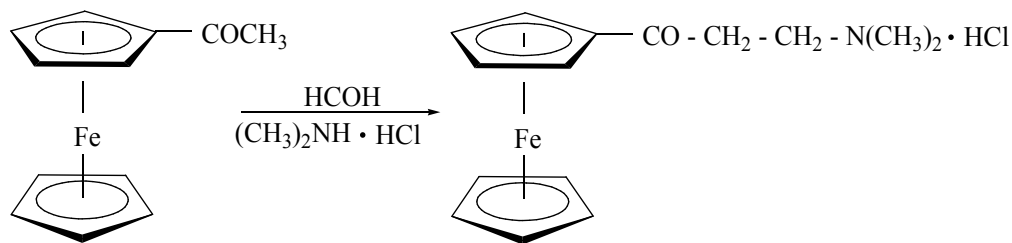
ფეროცენის შემცველი კეტონების მიღების ძირითად მეთოდს წარმოადგენს ფეროცენის აცილირება შესაბამისი კარბონმჟავების ანალიზით [2,18].

ფეროცენი ადგილად განიცდის აცილირებას ფრიდელ-კრაფტსის მიხედვით, ამ გზით სინთეზირებული იქნა მრავალრიცხოვანი ფეროცენშემცველი კარბონილური ნაერთები. ამ რეაქციების შესწავლისას გამოირკვა, რომ ფეროცენი გაცილებით უფრო რეაქციისუნარიანია, ვიდრე ბენზოლი. ეს ნათლად ჩანს იქიდანაც, რომ ფეროცენი განიცდის აცილირებას არა მარტო  $AlCl_3$ -ის, არამედ  $BF_3$  თანდასწრებითაც. მონოაცეტილფეროცენი მაღალი გამოსავლიანობით მიღება ფეროცენის ძმარმჟავა ანალიზით აცეტილირებისას  $BF_3$ ,  $H_3PO_4$  და  $SnCl_2$ -ის თანაობისას [2,9].

ფეროცენის შემცველი ნაერთები მიღებულია აცილფეროცენების მრავალმხრივი გარდაქმნებით. ისინი ცხიმოვანარომატული კეტონების ანალოგიურად განიცდიან აღდგენას კლემენსენის მეთოდით. შესაძლებელია აგრეთვე მათი ჰიდრირება წყალბადით. აცილფეროცენები განიცდიან აღდგენას  $LiAlH_4$ -ით სპირტების მიღებით, მაგნიუმორგანულ ნაერთებთან ურთიერთქმედებით წარმოქნიან შესაბამის სპირტებს [2,18].

აცეტილფეროცენის კონდენსაციით ფორმალდეპიდოთან ამინების თანდასწრებით (ამინომეთილირების რეაქცია) მიიღება შესაბამისი ამინოკეტონები (სქემა 5) [22,23]:

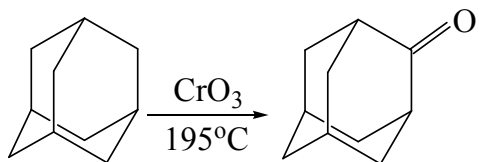
სქემა 5



აცეტილფეროცენის დაუანგვით მიიღება ფეროცენკარბონმჟავა. 1,1'- და 1,2-დი-აცეტილფეროცენის დაუანგვისას მიღებულ იქნა 1,1' - და 1,2-ფეროცენილენდიკარბომჟავები.

ადამანტანის რიგის კარბონილური ნაერთებიდან საინტერესოა ადამანტანონი და აცეტილადამანტანი. ადამანტანონი მიიღება ადამანტანის დაუანგვით მაღალ ტემპერატურაზე ქრომის ანჰიდრიდით (სქემა 6) [24]:

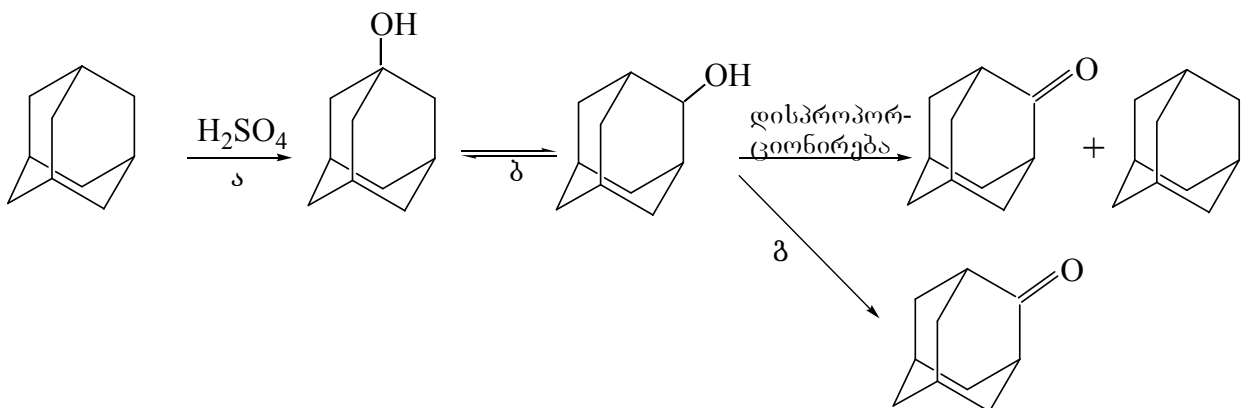
სქემა 6



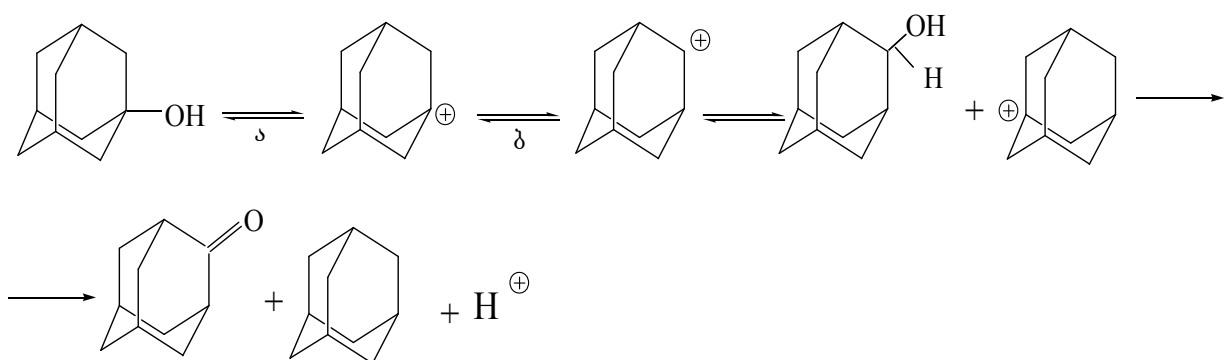
ის ადგილად შედის რეაქციაში გრინიარის რეაქტივთან და წარმოქმნის 2-ადამანტანის წარმოებულებს.

შესწავლით ადამანტანის უშუალო დაუანგვა ადამანტანონად, გოგირდმჟავას მოქმედებით (სქემა 7) [24]:

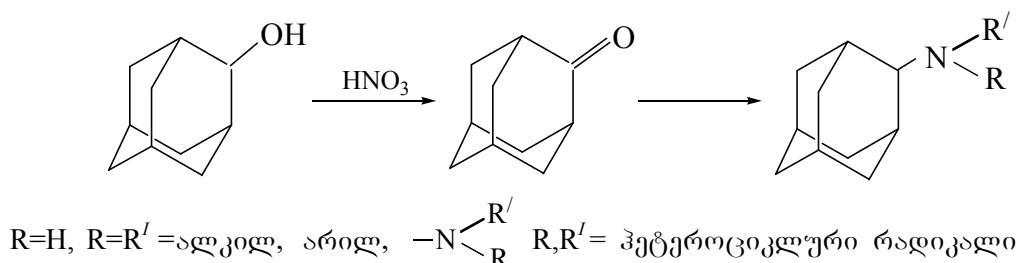
სქემა 7



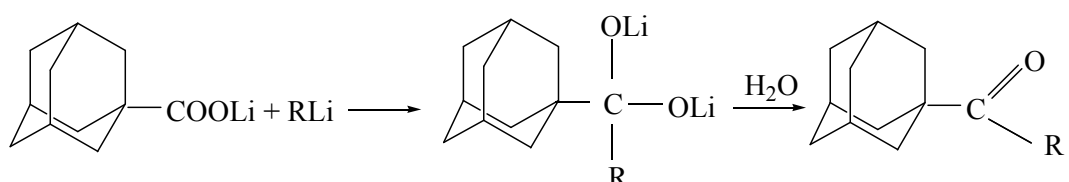
ეს პროცესი საფეხურებრივად მიმდინარეობს: ა) ადამანტანის დაუანგვა 1-ადამანტანოლად, ბ) 1,2-ჰიდრიდული გადაჯგუფება, გ) მოლეკულარული პიდრიდული გადაჯგუფება (სქემა 8):



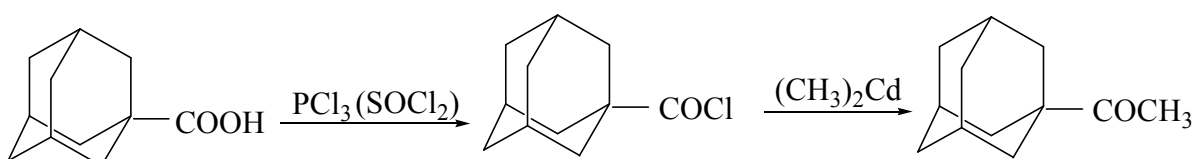
ადამანტანი ასევე წარმოიქმნება 2-ადამანტანლის აზოტმჟავით დაუანგვისას. ლეიკარტის მეთოდით 2-ამინოადამანტანი და მისი ნაწარმები კარგი გამოსავლიანობით მიიღება ადამანტანლიდან (სქემა 9):



1-ადამანტანკარბონმჟავას ურთიერთქმედებით ლითიუმორგანულ ნაერთებთან წარმოიქმნება აცილადამანტანები (სქემა 10).



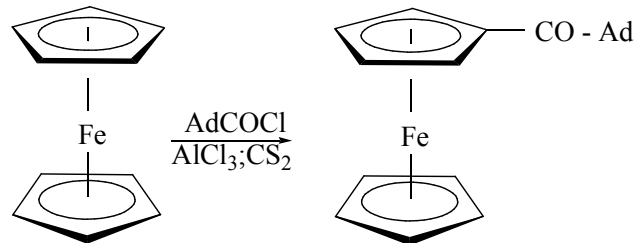
აცეტილადამანტანი კარგი გამოსავლიანობით მიიღება სქემა 11-ის მიხედვით:



ასევე შესწავლილია ადამანტილფეროცენის აცილირების რეაქციები და სინთეზირებულია ფეროცენის და ადამანტანის შემცველი კეტონები [23, 25, 26].

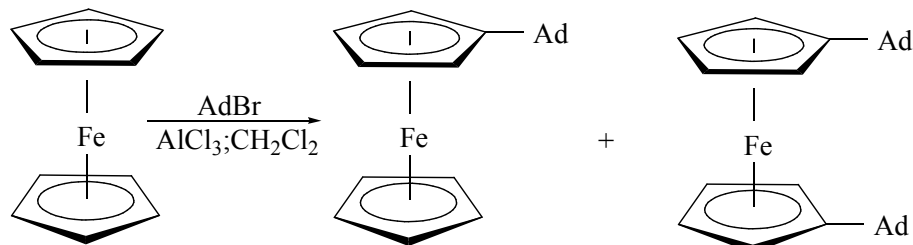
ფეროცენილადამანგილკეტონი მიღებულ იქნა ფეროცენის ურთიერთქმედებით ადამანგიანკარბონმჟავას ქლორანჰიდრიდთან  $\text{AlCl}_3$  თანაობისას გოგირდნახშირბადის არეში (სქემა 12) [26]:

სქემა 12



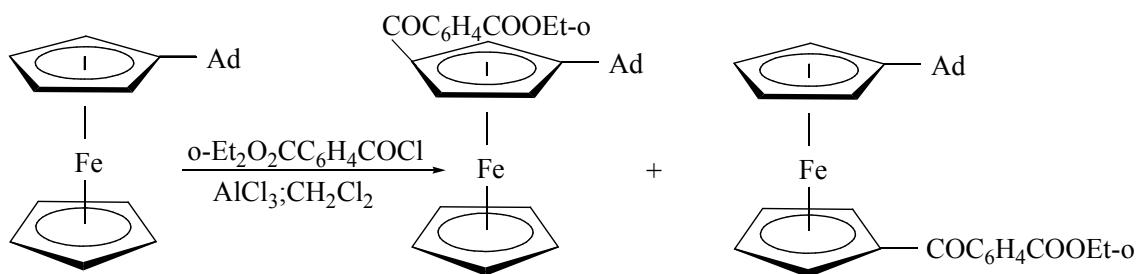
ნაჩვენებია, რომ ფეროცენის ურთიერთქმედებისას  $\text{AdBr}$ -თან  $\text{AlCl}_3$ -ის თანაობისას მეთილენქლორიდის არეში მიიღება მონო და  $1,1'$  დიადამანგილფეროცენები (სქემა 13):

სქემა 13



ფეროცენილადამანგანის აცილირებით ფტალის მჟავას ეთერის ქლორანჰიდრიდით მიიღება იზომერების ნარევი (სქემა 14):

სქემა 14

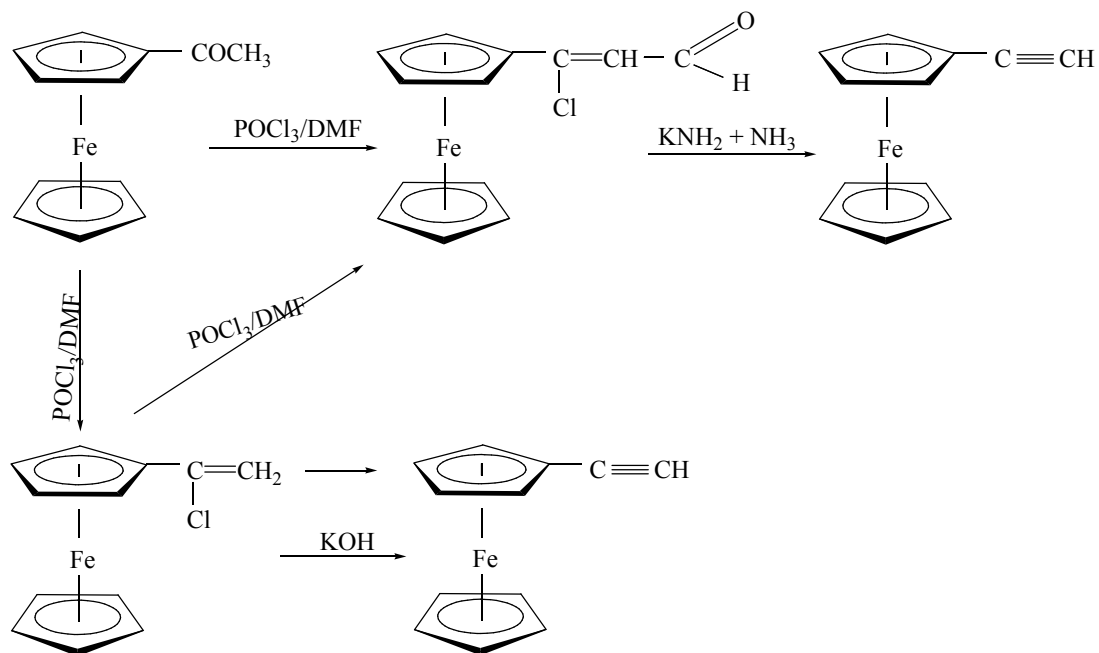


### 1.3 ფეროცენის უჯერი რიგის ნაწარმების სინთეზი და თვისებები

ფეროცენილაცეტილენი სინთეზირებულია -  $\alpha,\beta$  - დიბრომეთილფეროცენის დებრომირებით კალიუმის ამიდით თხევად ამიაკში. აცეტილფეროცენის ვილსმეიერის კომპლექსთან ( $\text{POCl}_3/\text{DMF}$ ) ურთიერთქმედებით მიიღება  $\beta$ -

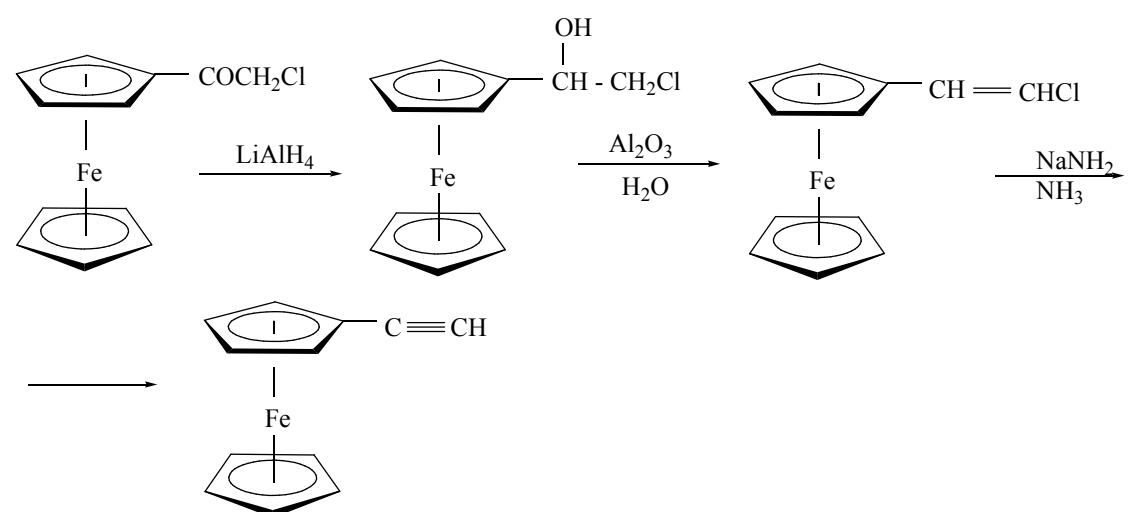
ქლორფეროცენილაგროლენი. მისი დგჭიდროქლორირებით  $\text{KOH}$ -ის მდუღარე დიოქსიან ხსნარით წარმოიქმნება ფეროცენილაცეტილენი (სქემა 15) [2].

სქემა 15



ფეროცენილაცეტილენი მიღებულ იქნა, აგრეთვე, ქლორაცეტილ- და დიქლორაცეტილფეროცენისაგან. ქლორაცეტილფეროცენი აღდგება  $\text{LiAlH}_4$ -ით შესაბამის ქლორპიდრინად, რომელიც დგჭიდრირდება შემუავებული  $\text{Al}_2\text{O}_3$ -ით- ბ-ქლორვინილფეროცენის წარმოქმნით, ეს უკანასკნელი კი ნატრიუმის ამიდთან თხევად ამიაკში გარდაიქმნება ფეროცენილაცეტილენად (სქემა 16).

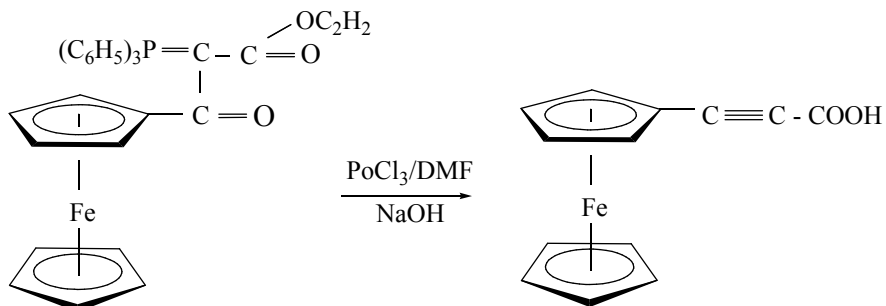
სქემა 16



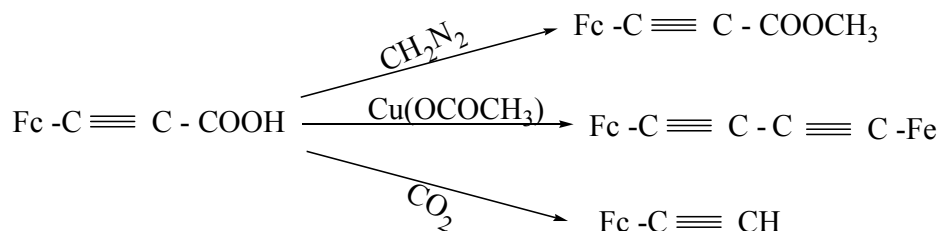
ეთინილფეროცენის წარმოებულებიდან ციკლოპენტადიენის ბირთვში ჩანაცვლებით მიღებული იქნა მეთილ(ეთინილ) - და დიმეთილ(ეთინილ) - ფეროცენები. ფეროცენის მონო - და დიაცეტილენური ნაწარმები მიღებული იქნა შლეგლის და მისი თანამშრომლების მიერ ფეროცენის შემცველი აცეტილენური კარბინოლების, კეტონების და გლიკოლების აღდგენით  $\text{LiAlH}_4/\text{AlCl}_3$ -თან.

მიღებული იქნა ფეროცენილპროპინმჟავა, რომელიც გამოდგა კარგი საწყისი პროდუქტი შემდეგი გარდაქმნებისათვის (სქემა 17, 18).

სქემა 17



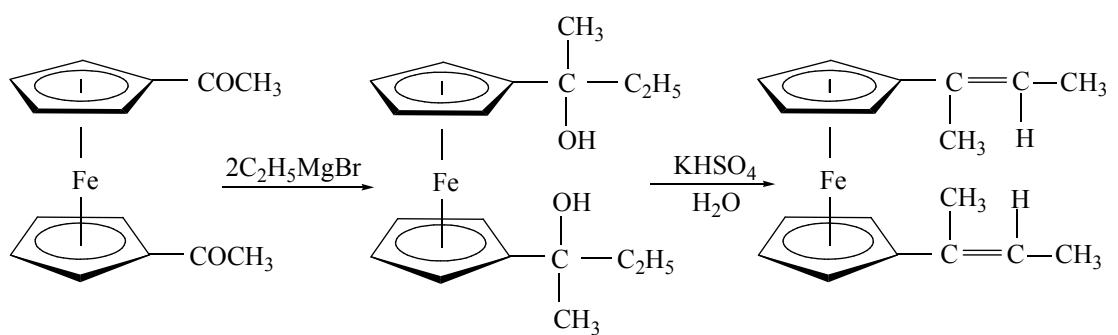
სქემა 18



ფორმილფეროცენის მოქმედებისას ეთინილფეროცენის ლითიუმნაწარმებთან გამოყოფილ იქნა კარბინოლი, რომლის დაუანგვით  $\text{MnO}_2$ -ის თანაბისას მიღებულია კეტონი, მისი აღდგენით – დიფეროცენილპროპინი.

ფეროცენის რიგის მონო – და დიაციდროქსინაწარმები მიიღებიან შესაბამისი კარბონილნაერთების  $\text{LiAlH}_4$ -ით აღდგენით და აგრეთვე მეტალორგანული სინთეზით [2, 27]. მიღებული გლიკოლების დეპიდრატაციით ( $\text{KHSO}_4$ ) წარმოიქმნება 1,1'-დი(დიმეთილვინილ)- ფეროცენი შემდეგი სქემის მიხედვით (სქემა 19):

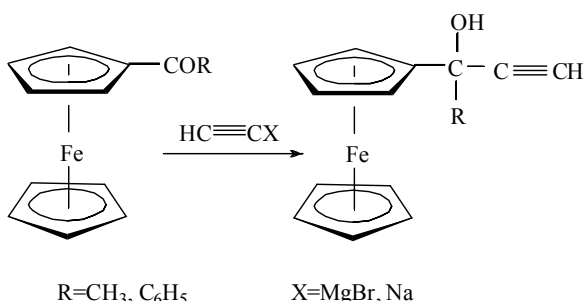
სქემა 19



## 1.4 ფეროცენშემცველი აცეტილენური რიგის სპირტები

ა.დ. პეტროვისა და მისი თანამშრომლების მიერ პირველად სინთეზირებულია ფეროცენის რიგის აცეტილენური მესამადი სპირტები. სპირტების მისაღებად გამოყენებულ იქნა ჯონსის მეთოდით მომზადებული ეთინილმაგნიუმბრომიდი და ნატრიუმის აცეტილენიდი. აცეტილ- და ბენზოილფეროცენთან კონდენსაციით მიღებულია შესაბამისი სპირტები შემდეგი სქემით (სქემა 20) [28]:

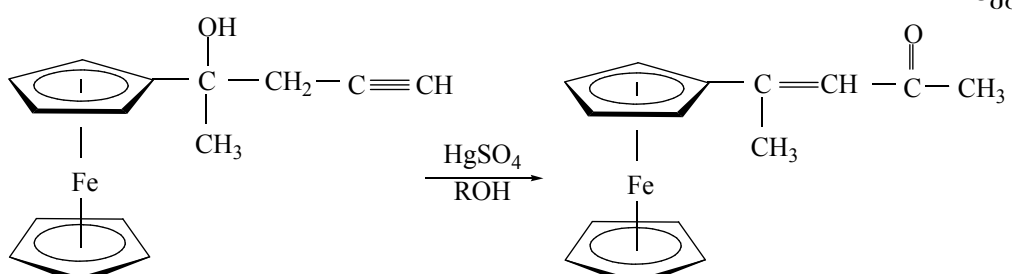
სქემა 20



3-მეთილ-3-ფეროცენილ-3-ჰიდროკსიპროპინი შესაძლებელია მიღებულ იქნა როგორც  $\text{HC}\equiv\text{CMgBr}$ -ის, ისე  $\text{HC}\equiv\text{CNa}$  გამოყენებით, მაშინ როდესაც 3-ფენილ-3-ფეროცენილ-3-ოქსიპროპინ-1 მიღება მხოლოდ  $\text{HC}\equiv\text{CMgBr}$ -ის გამოყენებით. დადგენილია, რომ ორჩანაცვლებული მეტალორგანული რეაგენტი არ რეაგირებს როგორც აცეტილფეროცენთან და ისე ბენზოილფეროცენთანაც.

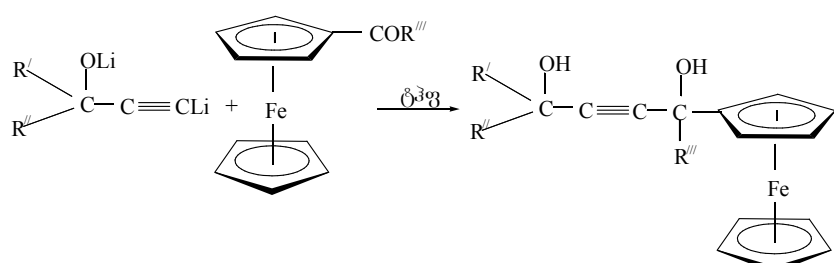
ა.ნ. ნესმიანოვისა და მისი თანამშრომლების მიერ  $\beta$ -აცეტილენური სპირტი მიღებულია აცეტილფეროცენისა და  $\text{HC}\equiv\text{C}-\text{CH}_2\text{MgBr}$  ურთიერთქმედებით ეთერის არეში. მიღებული სპირტი  $\text{HgSO}_4$ -ის თანდასწრებით განიცდის ანიონოტროპულ გადაჯგუფებას და გარდაიქმნება ენონად (სქემა 21) [2,19]:

სქემა 21



სიმეტრიული და არასიმეტრიული ფეროცენის შემცველი აცეტილენური  $\gamma$ -გლიკოლები მიღებულია ფორმილ- და ბენზოილფეროცენის აცეტილენისა და აცეტილენური კარბინოლების დილითიუმ წარმოებულებთან ურთიერთქმედებით (სქემა 22):

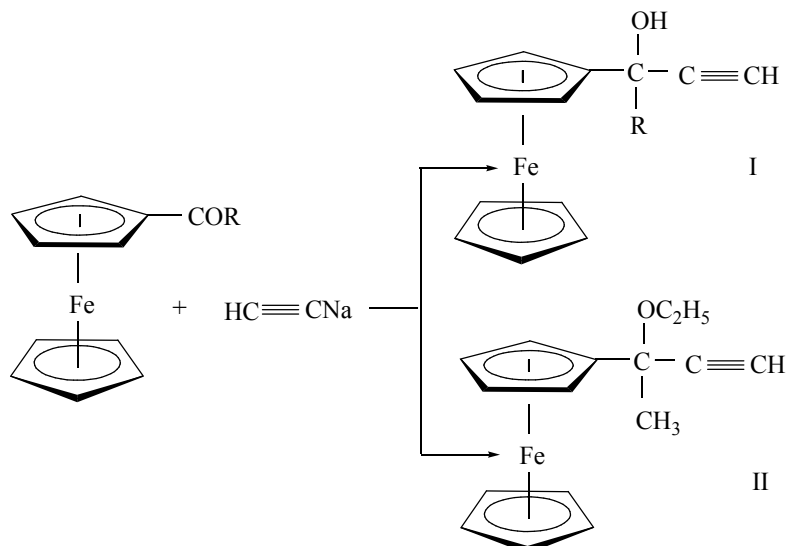
სქემა 22



საფასკ: a)  $\text{R}'=\text{R}''=\text{H}$      $\text{R}''=\text{Fe}$     b)  $\text{R}'=\text{R}''=\text{Ph}$      $\text{R}'''=\text{H}$     c)  $\text{R}'=\text{R}''=\text{R}'''=\text{Ph}$

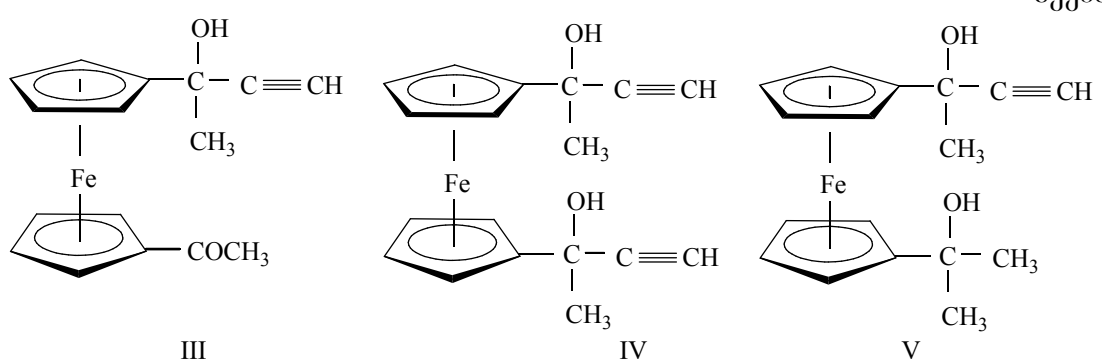
მარიაშვილის და მისი თანამშრომლების მიერ შესწავლილია მონოაცეტილ-, მონობენზოილ-, დიბენზოილ-ფეროცენის ნატრიუმის აცეტილენიდთან კონდენსაციის რეაქციები (თხევად ამიაკის არეში). მიღებულია შესაბამისი ფეროცენის შემცველი აცეტილენური სპირტები დაბალი გამოსავლიანობით (სქემა 23) [29,30]:

სქემა 23

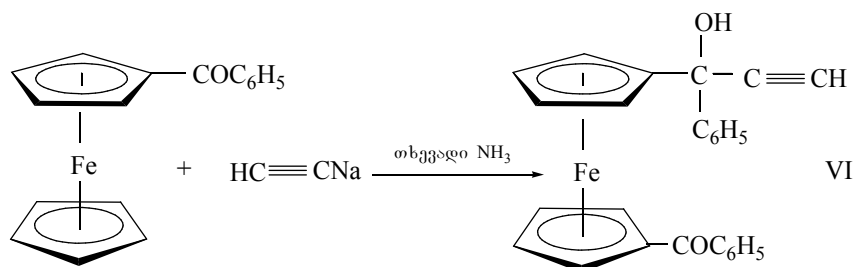


თხევად ამიაკის არეში 1,1/-დიაცეტილფეროცენის ურთიერთქმედებით ნატრიუმის აცეტილენიდთან გამოყოფილი იქნა 1'-აცეტილ-1-ა-ჰიდროქსი-ა-მეთილპროპინილფეროცენი (III), 1,1'-ბის(ა-ჰიდროქსი-ა-მეთილპროპინილ)- ფეროცენი (IV) და 1-ა-ჰიდროქსი-ა-მეთილპროპინილ-1'- ა - ოქსიდიმეთილფეროცენი (V), შესაბამისად 53%, 13% და 14,5% გამოსავლიანობით (სქემა 24).

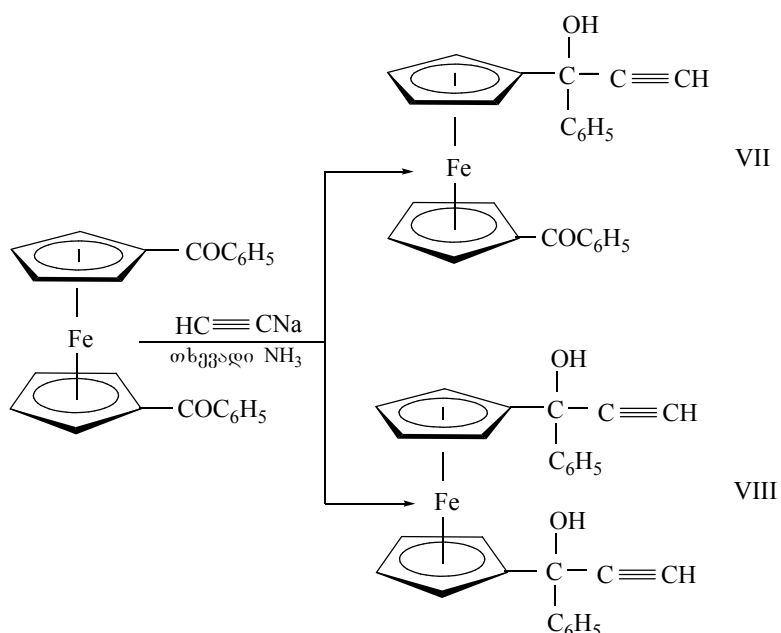
სქემა 24



V ნაერთის წარმოქმნა აიხსნება III ნაწილობრივი აღდგენით იმ წყალბადით, რომელიც წარმოიქმნება ნატრიუმის ამიდისა და აცეტილენის ურთიერთქმედების შედეგად. შესწავლილია აგრეთვე ბენზოილფეროცენის ნატრიუმის აცეტილენიდთან ურთიერთქმედების რეაქცია და მიღებულია α -ჰიდროქსი-ა-ფენილპროპინილფეროცენი VI (სქემა 25):



1,1'-დიბენზოილფეროცენის ნატრიუმის აცეტილენიდთან ურთიერთქმედებით წარმოიქმნება ორი ნაერთი: 1-ბენზოილ-(1-კიდროქსი-ფენილპროპინილ)-ფეროცენი (VII) 54% გამოსავალიანობით და 1,1'-დი-(კიდროქსიფენილპროპინილ)-ფეროცენი (VIII) 55% გამოსავლიანობით; ნაერთი VII წარმოადგენს VIII ნაერთის შეალებულ პროდუქტს (სქემა 26) [30,31]:

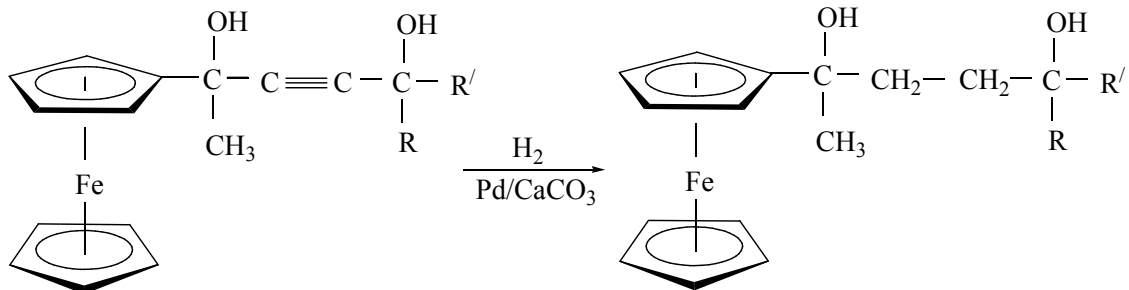


კ.შლეგლის მიერ მიღებულია ფეროცენის რიგის კარბინოლები და გლიკოლები. მიღებულია და შესწავლილია მეორადი და მესამადი ფეროცენ-შემცველი აცეტილენური კარბინოლები და შესწავლილია მათი თვისებები.

თბილისის სახელმწიფო უნივერსიტეტის ორგანული ქიმიის კათედრაზე პროფ. ი.ძ. გვერდწითელისა და ლ. ასათიანის ხელმძღვანელობით შემუშავებულ იქნა ფეროცენის შემცველი არასიმეტრიული აცეტილენური გლიკოლების სინთეზის ორიგინალური მეთოდი, რომელიც შემდეგში მდგომარეობს [32-34]:

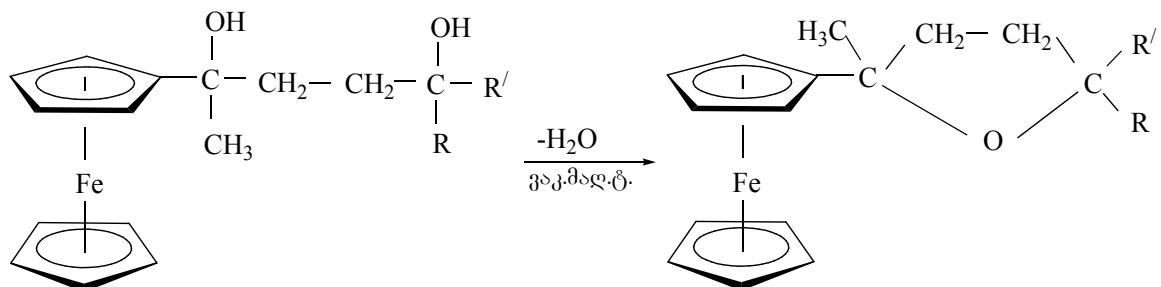
აცეტილენური კარბინოლების დიმაგნიუმბრომფარმოებულებს ამზადებდნენ ას. ეთერის არეში, შემდეგ ეთერს ცვლიან ას. ბენზოლით (აზოტის არეში) და მიღებულ ნარევს ყინულის აბაზანაზე გაცივებით (0, -3°C) უმატებდნენ აცეტილფეროცენის ბენზოლსნარს. კეტონის დამატების შემდეგ სარეაქციო არეს აცხელებენ 30-35°C-მდე 3 საათის განმავლობაში, შლიდნენ 10%-იანი NH4Cl-ის წყალსნარით. ამ პირობებში მიიღება არასიმეტრიული ფეროცენშემცველი აცეტილენური γ-გლიკოლები 50-60% გამოსავლიანობით:

მიღებული გლიკოლების კატალიზური ჰიდრირებით  $(Pd/CaCO_3)$   
სინთეზირებულია შესაბამისი ნაჯერი გლიკოლები (სქემა 27):  
სქემა 27



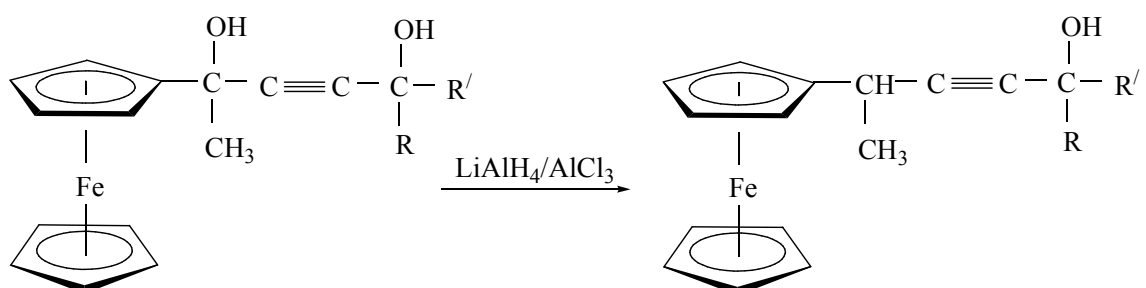
დადგენილია, რომ მიღებული ნაჯერი გლიკოლები ვაკუუმში გამოხდისას განიცდიან დეპიდრატაციას შესაბამისი ფეროცენის შემცველი ტეტრაჰიდრო-ფურანული ნაერთების წარმოქმნით (სქემა 28):

სქემა 28



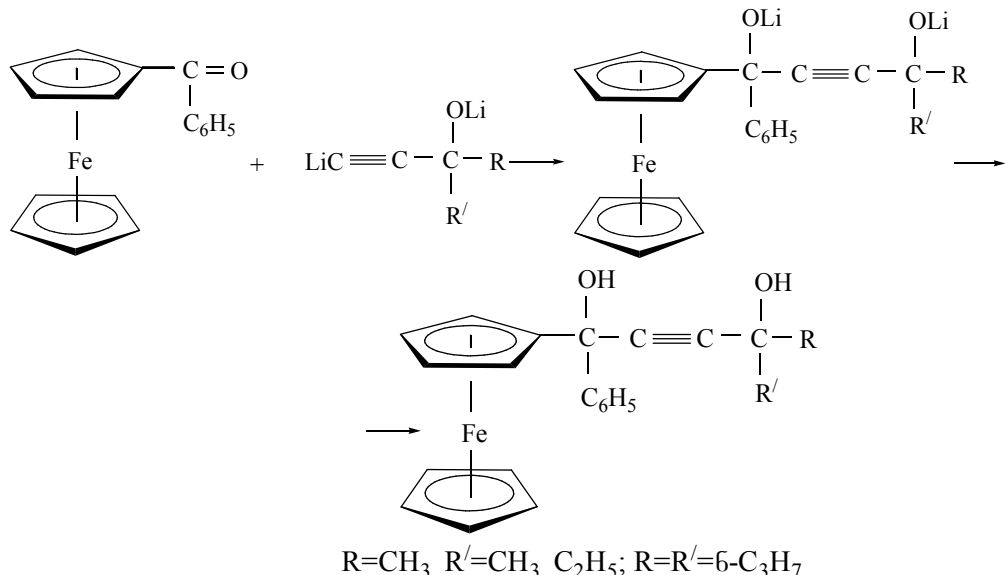
სინთეზირებულია და შესწავლილია ფეროცენშემცვლელი აცეტილენური კარბინოლები, რომლებიც მიღებიან აცეტილენური გლიკოლების  $LiAlH_4/AlCl_3$ -ით აღდგენით (სქემა 29)[35]:

სქემა 29



ამ შემთხვევაში აღდგება მხოლოდ ის ჰიდროქსილის ჯგუფი, რომელიც დაკავშირებულია ფეროცენის ბირთვიდან  $\alpha$ -მდგომარეობაში ნახშირბადის ატომთან. ეს ფაქტი კიდევ ერთხელ ადასტურებს იმას, რომ ფეროცენილის ჯგუფი უფრო ძლიერად ასტაბილურებს მეზობელ ნახშირბადის ატომზე წარმოქმნილ კარბაკატიონს, ვიდრე ალიფატური და არომატული რადიკალები.

შესწავლილია ბენზოილფეროცენის კონდენსაციის აცეტილენურ კარბინოლებთან [36]. დადგენილია, რომ ბენზოილფეროცენი არ შედის კონდენსაციის რეაქციაში აცეტილენური კარბინოლების დიმაგნიუმბრომწარმოებულებთან, მაგრამ რეაგირებენ დილითიუმწარმოებულებთან (სქემა) [37]:



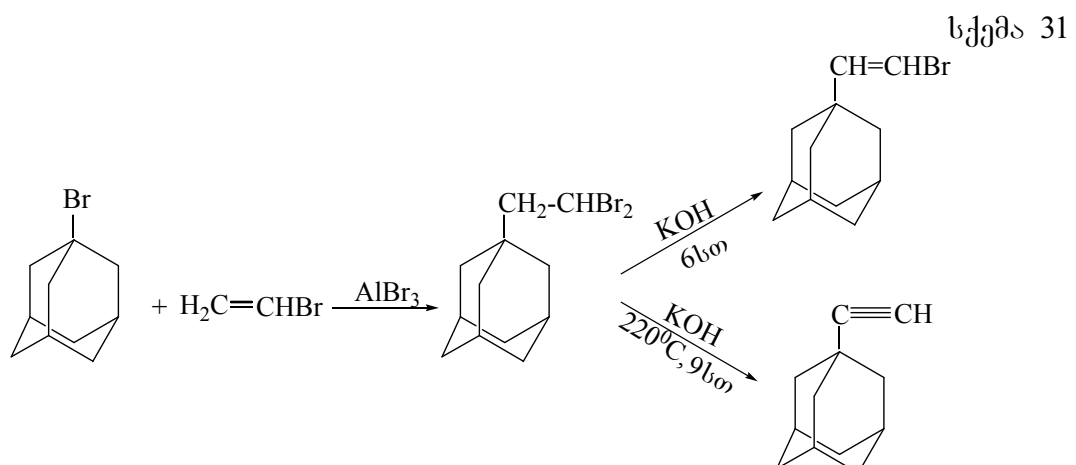
ფეროცენშემცვლელი აცეტილენური გლიკოლების აღდგენისას მიიღება ფეროცენშემცვლელი ბუტადიინილური ნაერთები.

ფეროცენის აცეტილენური გლიკოლების  $LiAlH_4/AlCl_3$ -ის კომპლექსით აღდგენით მიღებულია ფეროცენშემცველი აცეტილენური სპირტები.

### 1.5 ადამანტანშემცველი აცეტილენური რიგის ნაერთები

1-ბრომადამანტანის მიერთებით ეთიოლენთან, ალუმინის ბრომიდის თანაბისას, მიიღება 1-ბრომ-2-(ადამანტილ-1)-ეთენი, ხოლო ვინილბრომიდთან 1,1-დიბრომ-2(ადამანტილ-1)-ეთანი. უკანასკნელის დეპიდრობრომირებით კალიუმის ტუტის ხსნართან გაცხელებით 6 სო-ის განმავლობაში მიიღება 1-ბრომ-2-(ადამანტილ-1)-ეთიოლენი, ხოლო უფრო მკაცრ პირობებში წარმოიქმნება ადამანტილ-1-აცეტილენი [36-37].

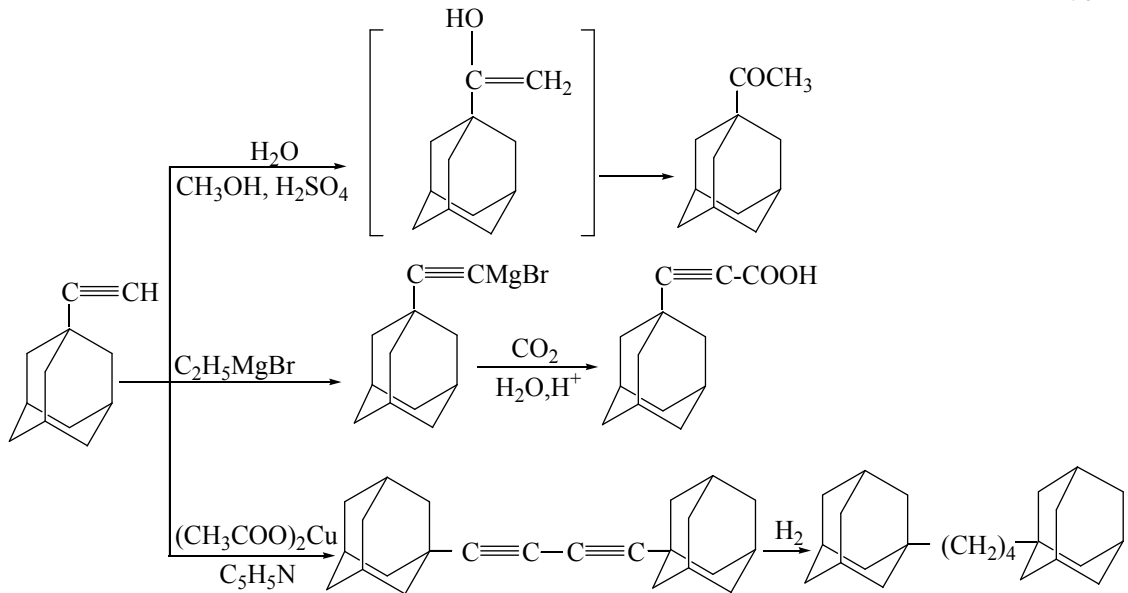
შტეტერის და თანავტორების მიერ 1-ეთინილადამანტანი მიღებულ იქნა 1-ბრომადამანტანის ურთიერთქმედებით ვინილბრომიდთან  $AlBr_3$ -ის თანაბისას და შემდგომ წარმოქმნილი მიღებული 1,2-დიბრომ-1-(1-ადამანტილ)ეთანის დეპიდროპალოგენირებით კალიუმის ტუტით დიეთიოლენგლიკოლში (სქემა 31).



1-ეთინილადამანტანი შედის აცეტილენური ნახშირწყალბადებისათვის დამახასიათებელ უგელა რეაქციაში. ეთინილადამანტანის პიდრატაციით მიიღება (1-ადამანტილ)მეთილკეტონი.

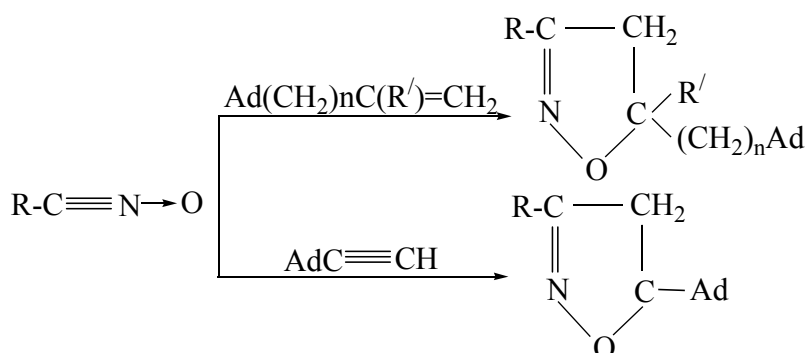
ხოლო Ad-C≡CMgBr-ის აბს. ეთერში კარბონიზაციით მიიღება, ადამანტილ-1-კროპიონის მეგა 78% გამოსავლიანობით. ეთინილადამანტანი (CH<sub>3</sub>COO)<sub>2</sub>Cu მოქმედებით ადგილად განიცდის დიმერიზაციას 1,4-დი(ადამანტილ-1)დიაცეტილენის წარმოქმნით. ამ უკანასკნელის აღდგენით მიღებულია 1,4-დი(1-ადამანტილ)ბუტანი (სქემა 32).

სქემა 32



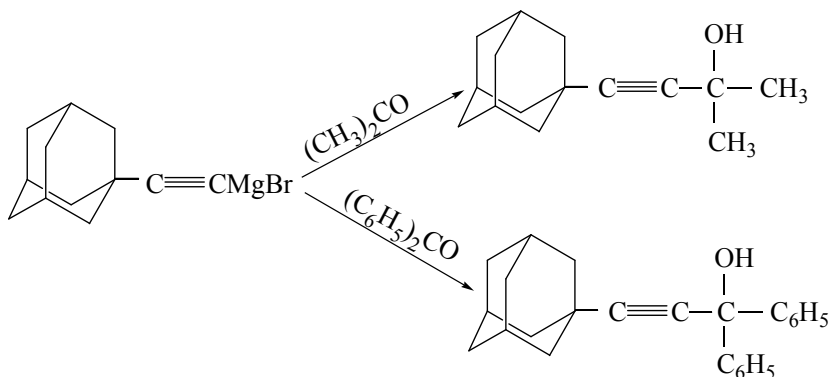
ადამანტანის აცეტილენური და ეთილენური რიგის ნაწარმების ურთიერთქმედებით N-ოქსინიტრილებთან კარგი გამოსავლიანობით მიიღება შესაბამისი პეტეროციკლური ნაერთები (სქემა 33) [38]:

სქემა 33



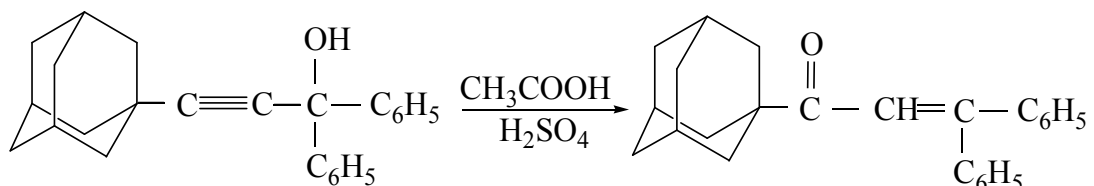
R=C<sub>6</sub>H<sub>5</sub>, NO<sub>2</sub>C<sub>6</sub>H<sub>4</sub>, p-O<sub>2</sub>NC<sub>6</sub>H<sub>4</sub>, p-CH<sub>3</sub>OC<sub>6</sub>H<sub>4</sub>, CH<sub>3</sub>CO.  
R'=H, CH<sub>3</sub>, ..., n=0, 1, 2,

ეთინილადამანტანის მაგნიუმბრომნაწარმის კონდენსაციით აცეტონთან და ბენზოფენონთან მიღებულია შესაბამისად 2-ოქსი-2-მეთილ-4-(ადამანტილ-1)ბუტინ-3 და 3-პიდროქსი-1,1-დიოქიდილ-3(ადამანტილ-1)კროპინ-2 მაღალი გამოსავლიანობით (სქემა 34) [37].



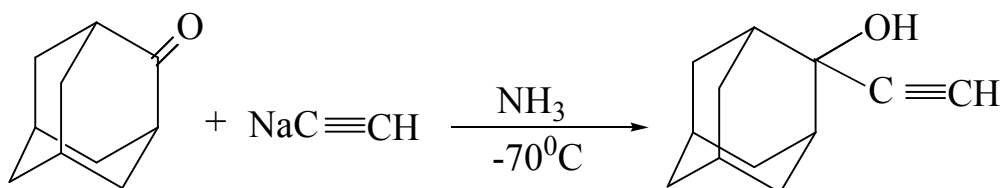
შესწავლით სინთეზირებული სპირტის ანიონოტროპული გადაჯგუფება ყინულოვან ძმარმჟავაში, გოგირდმჟავას თანაობისას, შესაბამისი ენონის წარმოქმნით (სქემა 35):

სქემა 35

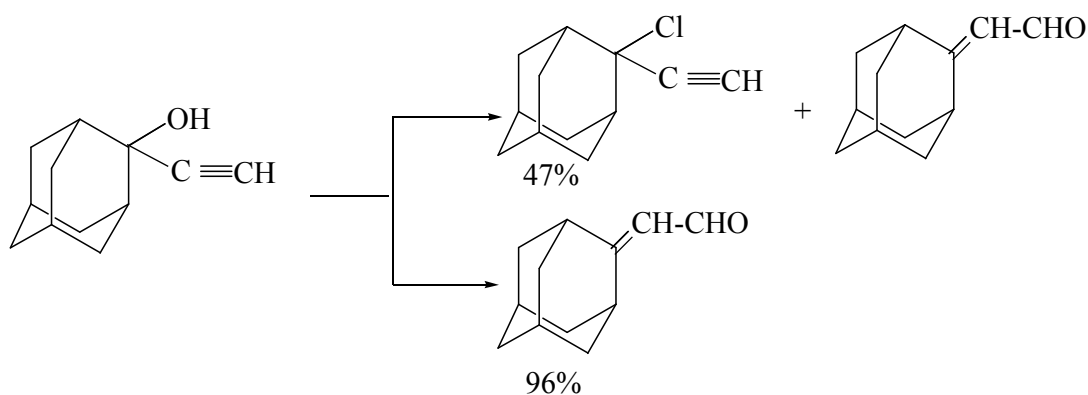


სინთეზირებულია 2-ჰიდროქსი-2-ეთინილადამანტანი (სქემა 36): ადამანტანონზე ნატრიუმის აცეტილენიდის მოქმედებით, თხევადი ამიაკის არეში. აღსანიშნავია, რომ რეაქციის პროცესში მცირე რაოდენობით წარმოიქმნება 1,2-ბის(2-ჰიდროქსი-2-ადამანტილ)აცეტილენი [38].

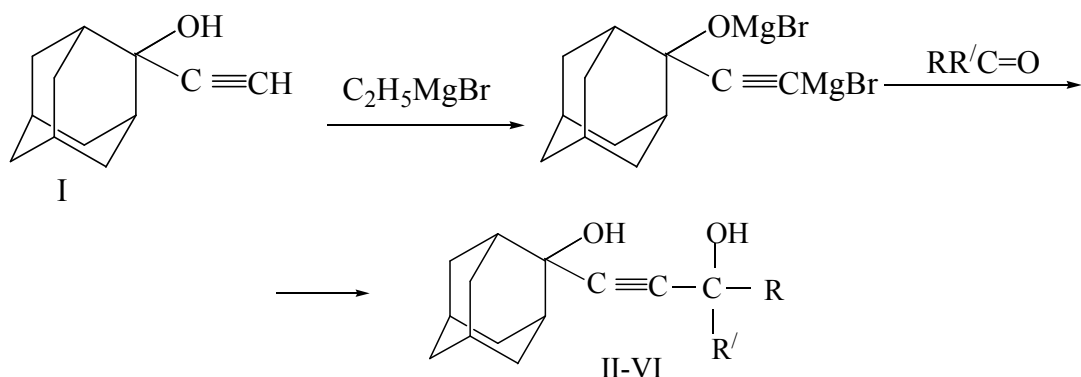
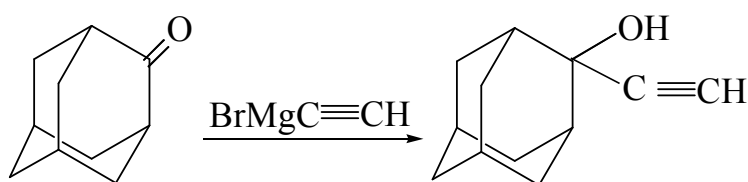
სქემა 36



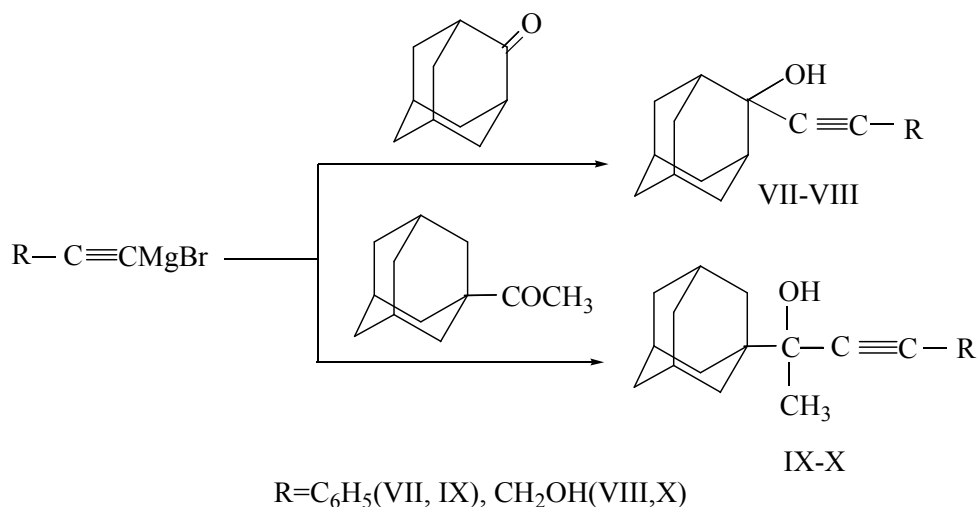
შესწავლით 2-ოქსი-2-ეთინილადამანტანის გარდაქმნები მეავა კატალიზატორების გამოყენებით, მაგალითად: ჭიანჭველას მეავასთან (95%) დუღებისას წარმოიქმნება ადამანტილიდენბმარმჟავა ალდეჰიდი, ხოლო კონცენტრირებული მარილმჟავას თანაობისას წარმოიქმნება 2-ქლორ-2-ეთინილადამანტანი (სქემა 37).



განხორციელებულია 2-ჰიდროქსი-2-ეთინილადამანტანის, ფენილაცეტილენისა და პროპარგილის სპირტის მაგნიუმბრომიტულების კონდენსაციის რეაქციები სხვადასხვა პეტონებთან ნუკლეოფილური გამხსნელების (ეთერი, ტჰი) არეში (სქემა 38-40):



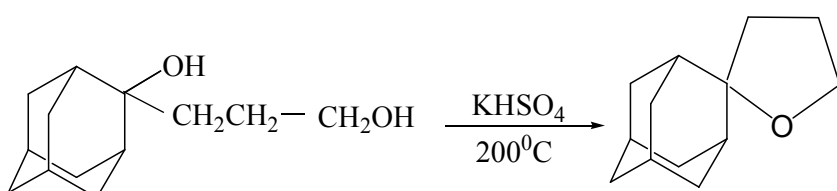
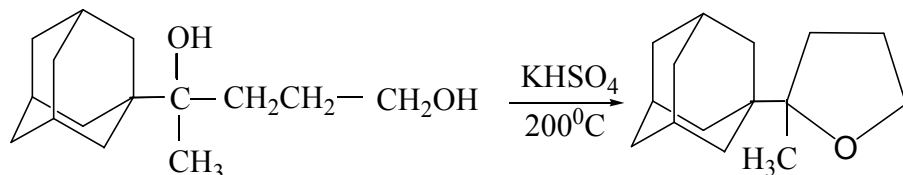
**II**,  $[RR'/C]-2\text{-ადამანტილი}$ ; **III**,  $R=R'=CH_3$ ; **IV**,  $R=CH_3, R'=C_6H_5$ ; **V**,  $R=R'=C_6H_5$ ; **VI**,  $R=CH_3$ , 1-ადამანტილი.



ნაერთების (III, V, VII, VIII, X) პიდრირებით რენეს ნიკელის თანაობისას მიღებულია შესაბამისი ნაჯერი ნაერთები (XI-XV)

სინთეზირებული ნაერთები გამოცდილ იქნა ბიოციდურ აქტიურობაზე [39]. მაღალი ბიოციდური აქტიურობა გამოავლინებს 2-პიდროქსი-2-(3-პიდროქსი-3,3-დიფენილპროპინილ)ადამანტანმა (V) და 1,2-ბის-(2-პიდროქსი-2-ადამანტილ) აცეტილენმა (II).

2-(ადამანტილ-1)-2-მეთილტეტრაჰიდროფურანი და 2-ადამანტილიდენტეტრაჰიდროფურანი მიღებულია შესაბამისი გლიკოლების შიდამოლექულური დგარდრატაციით  $KHSO_4$  თანაობისას (სქემა 41, 42) [39-42]:



შესწავლილია ადამანტანშემცველი სპირტების და გლიკოლების ბიოციდური აქტიურობა. ნაჩვენებია, რომ მეთილის ჯგუფის შეცვლა ფენილით იწვევს აქტიურობის ზრდას, ხოლო ადამანტილის 2 ფრაგმენტის შეყვანა მოლეკულაში ზრდის ბიოლოგიურ აქტიურობას [42].

შრომებში [43-45] განხილულია ადამანტანის შემცველი აცეტილენური ნაწარმები. მათ შორის: ეთინილ-, 1,3-დიეთინილ-, 1,3,5-ტრიეთინილადამანტანები და სხვა.

ლიტერატურული წყაროების ანალიზი გვიჩვენებს, რომ ფეროვანისა და

ადამანგანის ნაერთების ქიმია საინტერესოა როგორც თეორიული ასევე პრაქტიკული თვალთაზრისით. ნაერთები, რომელთა მოლეკულებშიც ერთდროულადაა ფეროცენისა და ადამანგანის ჯგუფები, ფაქტიურად არ არის შესწავლილი, ხოლო მათი აცეტილენური რიგის ჰიდროქსინარმოებულები ლიტერატურულ წყაროებში არ არის აღწერილი. ამიტომ კვლევები მათი სინთეზის მიმართულებით საინტერესოა, როგორც თეორიული, ისე ბიოლოგიურად აქტიური ახალი ნაერთების ძიების მიზნით.

## 1.6. ფეროცენზე დაფუძნებული P,C,P პინსერული კომპლექსები

გარდამავალ მეტალთა პინსერული კომპლექსები მრავალი მნიშვნელოვანი რეაქციის კატალიზატორებს წარმოადგენენ, როგორიცაა ალკანების დეკოდრირება, ჰეკის რეაქცია, სუზუკის არილთა შეწყვილება, კარბონილური ნაერთების ჰიდრირება და ალდოლური ტიპის კონდენსაცია.

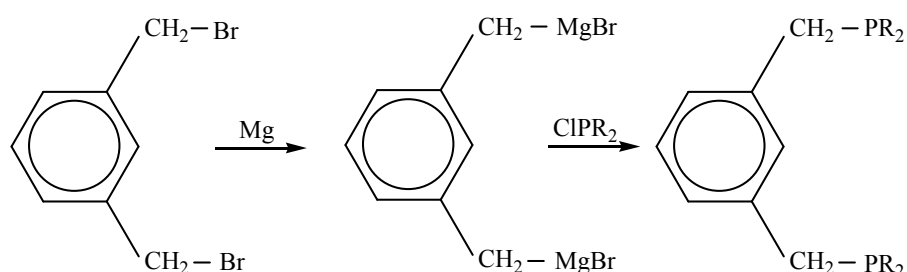
ბიდენტატური ფოსფინების მეტალირებით მრავალი კომპლექსია მიღებული. მათ შორის აღსანიშნავია ბენზოლის 1,3-დიინაცვლებული დიფოსფინონ ნაწარმების საფუძველზე მიღებული პინსერული კომპლექსები. ისინი შეიცავენ ტრიდენტურ ანიონურ ე.წ. პინსერულ ლიგანდებს. პინსერულ კომპლექსებში ქალატის სამივე ატომი, როგორც წესი, იმყოფება ერთ მერიდიონალურ სიბრტყეში. მათ შორის ირიდიუმის პინსერული კომპლექსები წარმოადგენენ ალკანებისა და ალკილენზოლების დეპიდრირების აქტიურ კატალიზატორებს [46-49]. პინსერული კომპლექსები გამოირჩევიან მაღალი ორმული მდგრადობით ( $200^{\circ}\text{C}$ ). ცნობილია, რომ გარდამავალ მეტალთა კომპლექსებით ალკანების და მცირე მოლეკულების აქტივაციის შესწავლა წარმოადგენს ორგანული, მეტალორგანული ქიმიის და კატალიზის მნიშვნელოვან ამოცანას როგორც ფუნდამენტური, ასევე პრაქტიკული თვალსაზრისით.

ა.ქორიძისა და მისი თანამშრომლების მიერ მიღებულია ბის-ფოსფინური პინსერული კომპლექსები დაფუძნებული მეტალოცენებზე. ირიდიუმის ფეროცენზე და რუთენოცენზე დაფუძნებულმა პინსერულმა კომპლექსებმა გამოვლინეს უპრეცედენტო აქტივობა ალკანების დეპიდრირებისას [7].

აღსანიშნავია, რომ ოსმიუმის პინსერულმა კომპლექსებმა გამოამჟღავნეს C-C ბმის აქტივაციის უნარი [50].

ბენზოლის საფუძველზე  $\text{P}(\text{CH}_3)_3$  ლიგანდის სინთეზის ზოგადი სქემა ასეთია (სქემა 43):

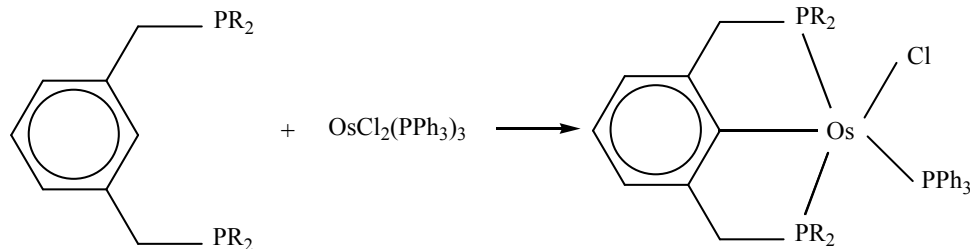
სქემა 43



ბენზოლის C(2)-H ბმის მეტალირება შესაძლებელია მრავალნაირი ლაბილური ლიგანდის შემცველი კომპლექსით, მაგალითად:  $\text{HIr}(\text{PPh}_3)_3(\text{CO})$ ,  $\text{OsCl}_2(\text{PPh}_3)_3$ ,  $[\text{Rh}(\text{COD})_2\text{Cl}]_2$  და სხვ.

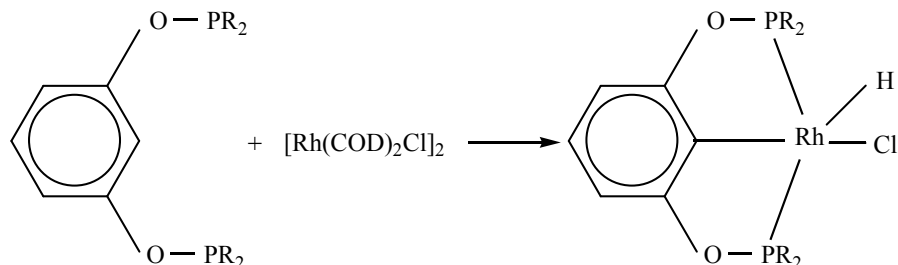
ოსმიუმის პინსერული კომპლექსი მიღებულ იქნა, სქემა 44-ის მიხედვით [50]:

სქემა 44

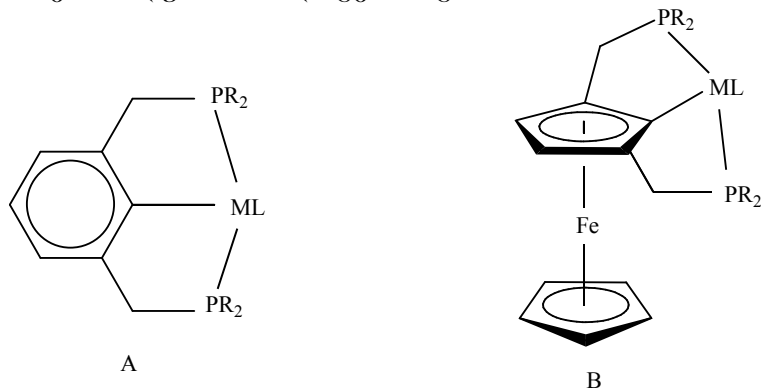


ანალოგიურად სინთეზირებულ იქნა მონათესავე ფოსფინიტური პინსერული კომპლექსები. მაგალითად, როდიუმის კომპლექსი, რომელიც ახერხებს მცირე მოლეკულების ( $\text{CO}_2$ ,  $\text{N}_2$ ,  $\text{H}_2$  და  $\text{N}_2\text{O}$ ) აქტივაციას [51,52]. სინთეზი განხორციელდა ციკლოოქტადიენის შემცველი როდიუმის დიმერული კომპლექსის გამოყენებით [სქემა 45]:

სქემა 45



პინსერული კომპლექსების კვლევის სფეროში წინ გადადგმული ნაბიჯი გამოდგა პროფ. ა. ქორიძისა და მისი თანამშრომლების მიერ ჩატარებული სამუშაოები. მათ მიერ წარმატებით განხორციელდა ახალი ტიპის პინსერული კომპლექსების სინთეზი ფეროცენის და რუთენოცენის საფუძველზე [5-9]. ფეროცენის საფუძველზე სინთეზირებულ პინსერულ კომპლექსებს B გააჩნიათ განსაკუთრებული ელექტრონული და სტერიული თვისებები, რითაც ისინი განსხვავდებიან ბენზოლური ანალოგებისაგან A:



მეტალოცენებზე დაფუძნებულ პინსერულ კომპლექსებში კატალიზური ცენტრი (M) ახლოს დგას მეტალოცენის ცენტრალურ მეტალთან (Fe, Ru, Os), რითაც შესაძლებელია მასზე გავლენის რეგულირება. მეორეს მხრივ, ფერო-ცენის საფუძველზე მიღებულ კომპლექსებში რკინის ატომს შეუძლია მიიღოს მონაწილეობა სწრაფ და შექცევად რედოქს-რეაქციებში, რაც წარმოადგენს დამატებით შესაძლებლობას კატალიზური ცენტრის ატომზე ელექტრონული სიმკვრივის რეგულირებისათვის. გარდა ამისა, ფეროცენის სენდვიჩური სტრუქტურა იძლევა პლანარულ-ქირალური მოლეკულების შექმნის შესაძლებლობას და M ცენტრთან სტერიული გარემოცვის ვარირებას  $C_5H_5$  რგოლში სხვადასხვა მოცულობის ჯგუფების შეყვანის მეშვეობით.

ამრიგად, ფეროცენის საფუძველზე მიღებულ P,C,P პინსერულ კომპლექსებს გააჩნიათ გარკვეული აშკარა უპირატესობა ბენზოლურ ანალოგებთან შედარებით.

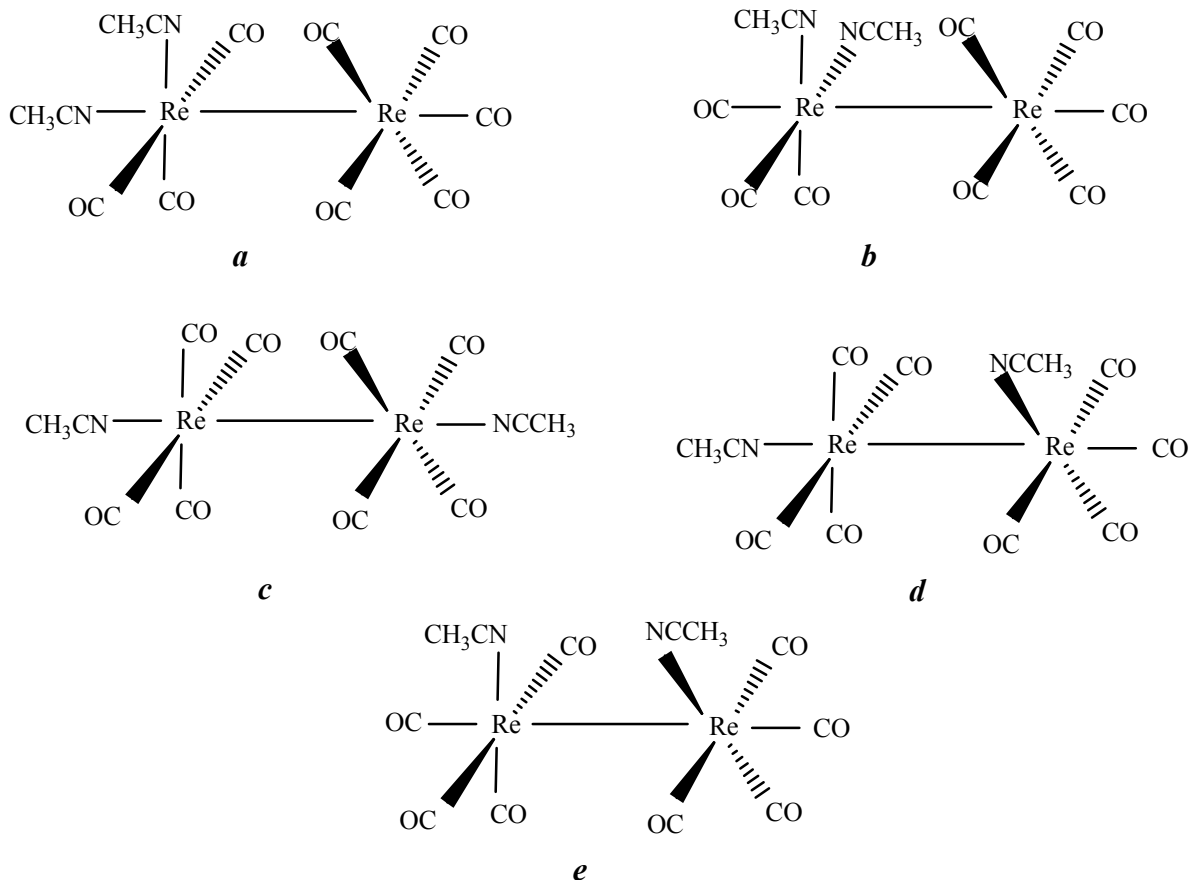
## 1.7. ფეროცენილალკინურ ჯგუფების შემცველი ოქრო-რენიუმის კლასტერები

### 1.7.1. აცეტონიტრილ ლიგანდის შემცველი რენიუმის კარბონილური კომპლექსები

რენიუმის კარბონილის ნაწარმები ფართოდ გამოიყენება სხვადასხვა მეტალორგანული ნაერთების მისაღებად. განსაკუთრებით ადსანიშნავია უჯერი ჯგუფების შემცველი შეუდლებული ჰეტერომეტალური სისტემებისა და მრავალფეროვანი კლასტერების სინთეზის შესაძლებლობა [53-58]. ამ ნაერთების მისაღებად ძირითადად გამოიყენება დირენიუმის დეკაკარბონილი  $Re_2(CO)_{10}$ , რომლის წარმოება და გასუფთავება საკმაოდ ადვილი პროცესია [59]. მის შემადგენელ რენიუმის ატომებს ოქტაედრული სტრუქტურა გააჩნია. CO ჯგუფების ჩანაცვლება სხვა ლიგანდებით ადვილად ხორციელდება ტრიმეთილამინოქსიდის გამოიყენებით [60-64]. წარმოქმნილ დირენიუმის კარბონილურ ნაწარმებს  $Re_2(CO)_{10-n}(L)_n$  ( $n=1,2$ ) ფართოდ იყენებენ როგორც საწყის ნივთიერებებს მეტალორგანული კომპლექსების სინთეზში და აგრეთვე  $^{186}Re$  და  $^{188}Re$  იზოტოპების შემცველი ნაერთების მისაღებად, რომლებიც რადიაქტიულ თერაპიულ აგენტებს წარმოადგენენ [65].

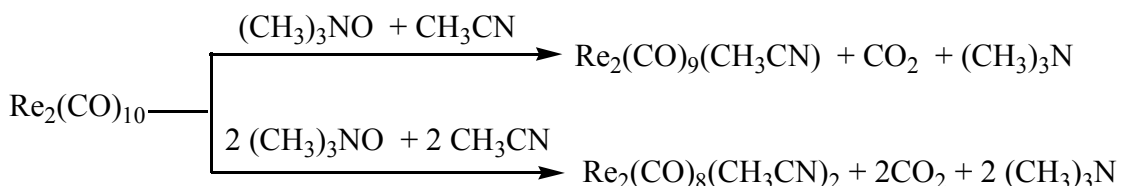
დირენიუმის შეცველი მეტალორგანული ნაერთების მისაღებად ძირითადად აცეტონიტრილის, როგორც ლაბილური ლიგანდის, შემცველი დირენიუმის კარბონილური კომპლექსები  $Re_2(CO)_9(CH_3CN)$  და  $Re_2(CO)_8(CH_3CN)_2$  გამოიყენება. აცეტონიტრილის ლიგანდები საკმაოდ ლაბილურია და ისინი ადვილად შეიძლება ჩანაცვლოს სხვა ლიგანდებით (ფოსფინებით, ამინებით, ფოსფიტებით), მათ შორის სამმაგი ბმების შემცველი ორგანული და მეტალორგანული მოლეკულებით.

$Re_2(CO)_{10}$  მოლეკულის სტრუქტურიდან გამოდინარე, ერთი ან ორი CO ჯგუფის ჩანაცვლების შემთხვევაში შესაძლებელია სხვადასხვა აღნაგობის კომპლექსების მიღება. მაგალითად, ორჩანაცვლებულ ნიტრილიან კომპლექსს  $Re_2(CO)_8(CH_3CN)_2$ , შემდეგი სტრუქტურები შეესაბამება:



დირენიუმის დეკაკარბონილში  $\text{CO}$  ჯგუფების ჩანაცვლება ხორციელდება ტრიმეთილამინოქსიდის მეშვეობით (სქემა 46):

სქემა 46



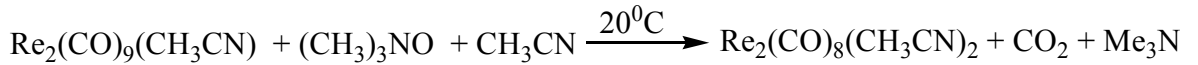
რეაქციის დასრულების დეტექტირება ხდება როგორც იწ-სპექტროსკოპიული, ასევე თხელფენოვანი ქრომატოგრაფიით. იზომერული დიჩანაცვლებული კომპლექსების მიღების მეთოდები განხილულია შრომებში [61-63,66].

ერთჩანაცვლებული დირენიუმის კომპლექსის  $\text{Re}_2(\text{CO})_9(\text{CH}_3\text{CN})$  მიღება საკმაოდ ადგილად მიმდინარეობს:  $\text{Re}_2(\text{CO})_{10}$  ხსნარს აცეტონიტრილში (მოლური თანაფარდობა  $\approx 1:1000$ ) ემატება მყარი  $(\text{CH}_3)_3\text{NO}$ . იწ-სპექტროსკოპული მონაცემებით რეაქცია  $\sim 10$  წუთში სრულდება (იწ-სპექტრში  $\text{Re}_2(\text{CO})_{10}$ -ის დამახასიათებელი შთანთქმის ზოლი 2074 სტ<sup>-1</sup> უბანში ქრება). ანალოგიურად ხორციელდება  $\text{Re}_2(\text{CO})_8(\text{CH}_3\text{CN})_2$ -ის სინთეზი:  $\text{Re}_2(\text{CO})_{10}$  ხსნარს აცეტონიტრილში ოთახის ტემპერატურაზე ემატება მყარი  $(\text{CH}_3)_3\text{NO}$  ან მისი ხსნარი აცეტონიტრილში. რეაქცია მიმდინარეობს ოთახის ტემპერატურაზე და მთავრდება 30 წთ-ში. თხელფენოვანი ქრომატოგრაფიით აღმოჩენილია ორი

პროდუქტი: 2,6- და 2,3-იზომერები თანაფარდობით 2:1, გამოსავალიანობა 70% შეადგენს.

ორჩანაცვლებული რენიუმის კომპლექსის მიღება ასევე შესაძლებელია ერთჩანაცვლებული დირენიუმის კომპლექსიდან (სქემა 47):

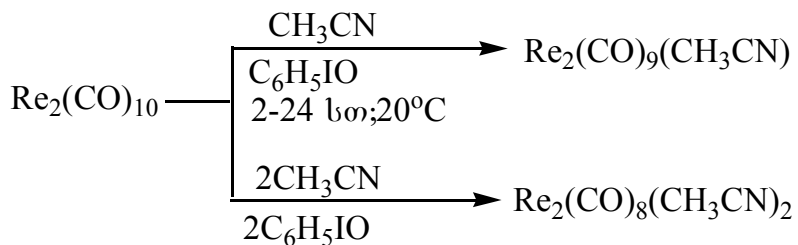
სქემა 47



რეაქციის პროდუქტების სარეაქციო ნარევიდან გამოყოფა ხდება ქრომატოგრაფიულად (სილიკაგელი, ელუენტი ჰექსანი/დიქლორმეთანი-1:1). მიღება 2,6- და 2,3-იზომერები თანაფარდობით 2:1, გამოსავლიანობა 84%.

რენიუმის კარბონილური კომპლექსები განსხვავებული მეთოდითაც არის მიღებული, რომელიც სხვა ლიტერატურულ წყაროებში აღწერილ მეთოდებთან [59,60] შედარებით უფრო რთულია, რადგან გამოიყენება იოდოზობენზოლი და ამავე დროს, რეაქციის მიმდინარეობის ხანგრძლივობა დიდია (24 სთ-მდე) (სქემა 48): [66]:

სქემა 48



ერთჩანაცვლებული კომპლექსის შემთხვევაში რეაქცია მაღალი გამოსავალიანობით მიმდინარეობს (85-95%), ორჩანაცვლებულის შემთხვევაში კი 70% შეადგენს.

### 1.7.2. ელექტრონული კომუნიკაცია კლასტერებში ფეროცენილ ჯგუფებს შორის

შერეული ვალენტობის ნაერთები [Mixed-valence (MV)] შეიძლება განვიხილოთ, როგორც მარტივი სისტემები ელექტროგამტარი მოდელების ტესტირებისათვის [67-73]. ფეროცენი ხასიათდება მაღალი შექცევადი რეალქს თვისებებით და წყვილის (+1/0) მდგრადობის გამო ძალიან ხშირად გამოიყენება მუხტის გადატანის შესასწავლად. მოლეკულური ფრაგმენტების (X) გავლით შერეული ვალენტობის ბუნების მქონე  $[\text{Fc}-\text{X}-\text{Fc}]^+$ -ის ( $\text{Fc}$ =ფეროცენილ) საფუძველზე, სადაც ეფექტური დაკავშირების (ძლიერი ურთიერთქმედების) შემთხვევაში ორი  $\text{Fc}$ -ჯგუფი საფეხურებრივად იქანგება, ორ დაუანგვას შორის პოტენციალთა სხვაობა შეიძლება გამოყენებულ იქნას ურთიერთქმედების ძალის შესაფასებლად [54-57]. ორი ექვივალენტური ფეროცენილ ჯგუფების შემცველ ცნობილ კლასტერებში მეტალ-მეტალ სპეციერები არ ახდენენ ფეროცენის ერთეულებს შორის ელექტრონულ კომუნიკაციას [71-73].

რენიუმ-ოქროს კლასტერების უწვეულო გეომეტრიაში და საინტერესო ელექტროქიმიურმა თვისებებმა განაპირობა მათი ალკინილ და ბუტადინილ წარმოებულების სინთეზის მიზანშეწონილობა და ელექტრონული

კომუნიკაციის შესწავლა. ორი რედოქს-აქტიური ფეროცენილის ჯგუფის უნიკალური სივრცითი განლაგება (ორი ფეროცენული ერთეულის შედარებით ახლო მდებარეობა სივრცეში) საშუალებას იძლევა გამოვიკვლიოთ შიდამოლექულური ელექტრონული ურთიერთქმედება სივრცეში. ხიდებს შორის ელექტრონული ურთიერთქმედების შეფასებისათვის სინთეზირებულ იქნა რენიუმ-ოქროს კლასტერები [54-57]. მსგავსი სისტემები გამოიყენება არახაზოვან ოპტიკურ მასალებში, მოლეკულურ სადენებში და მოლეკულურ ელექტრონიკაში [54-57].  $\text{Re}_2(\text{CO})_8(\text{NCMe})_2$ -ის ოქროს ალკინილურ კომპლექსთან  $\text{Au}(\text{PPh}_3)(\text{C}_2\text{Fc})$  ( $\text{Fc}$ =ფეროცენილი) რეაქციის შესწავლისას სინთეზირებულ იქნა კლასტერები  $\text{Re}_2(\text{AuPPh}_3)(\mu\text{-C}_2\text{Fc})(\text{CO})_8$  (1) და  $\text{Re}_4(\text{AuPPh}_3)_2(\mu_3\text{-C}_2\text{Fc})_2(\text{CO})_{12}$  (2) [54-57]. ნაერთის 2 რენტგენოსტრუქტურულმა ანალიზმა აჩვენა, რომ კლასტერს აქვს უწვევულო აღნაგობა; მასში ოთხი რენიუმის ატომი წარმოქმნის ჩონჩხს “ჰეპლას” კონფიგურაციით (თითოეული  $\text{Re}_3$  ფრთა დაფარულია  $\text{Au}(\text{PPh}_3)$  ფრაგმენტით) და ორი ექვივალეტური ფეროცენილალკინური ჯგუფი  $\mu$ -კოორდინირებულია  $\text{Re}_3$  ფრთებით წარმოქმნილი დრუს შიგნით [54]. 2 კლასტერის კიდევ ერთი თავისებურება მდგომარეობს იმაში, რომ ის განიცდის ორ შექცევად რედოქს პროცესს ფეროცენული ბირთვების მონაწილეობით, რომლებიც განსხვავდება 109 mV-ით. ეს მიუთითებს ძალიან იშვიათ ელექტრონულ კომუნიკაციაზე ფეროცენულ ჯგუფებს შორის კლასტერული ჩონჩხის საშუალებით [54].

## 1.8. ადამანტანის აზოტშემცველი წარმოებულები

### 1.8.1. ადამანტანის რიგის ამინები, ამიდები, ჰიდრაზიდები

ადამანტანი აღმოჩენილ იქნა 1933 წელს ნავთობის შედგენილობის შესწავლისას, ხოლო პირველად მისი სრული სინთეზი განხორციელდა 1941 წელს. ამინოადამანტანის ანტივირუსული აქტიურობის გამოვლენამ საფუძველი ჩაუყარა ადამანტანის ქიმიის განვითარებას და სამკურნალო პრეპარატების ძიებას. დღეისათვის შექმნილია და სამედიცინო პრაქტიკაში გამოიყენება 20-ზე მეტი ეფექტური სამკურნალო პრეპარატი [10-12,15,16].

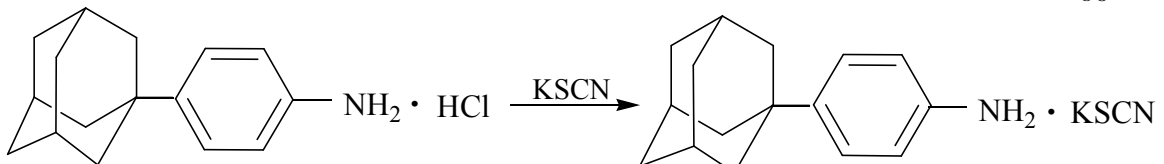
დადგენილია ამინოადამანტანის ანტივირუსული მოქმედების მექანიზმი, ამინოადამანტანის მემბრანოტროპული უნარის გამო, უჯრედის შიგნით შედწევის შემდეგ ის მოქმედებს დნმ-ზე, იწვევს ვირუსის გადაგვარებას და უკარგავს მას გამრავლების უნარს, ამასთანავე ხასიათდება იმუნოტროპული მოქმედებით და დაბალი ტოქსიკურობით [11-12].

შესწავლილია პრეპარატების: ამანტადინის, რემანტადინის, დოპამანტინის, ადამანტოილპენიცილინის და სხვ. ბიოლოგიური აქტიურობა, ფარმაკოლოგიური და ტოქსიკური თვისებები [11,12].

ბიოლოგიურად აქტიური ამინებიდან აგრეთვე მნიშვნელოვანია არომატული რიგის ამინები და მისი ნაწარმები.

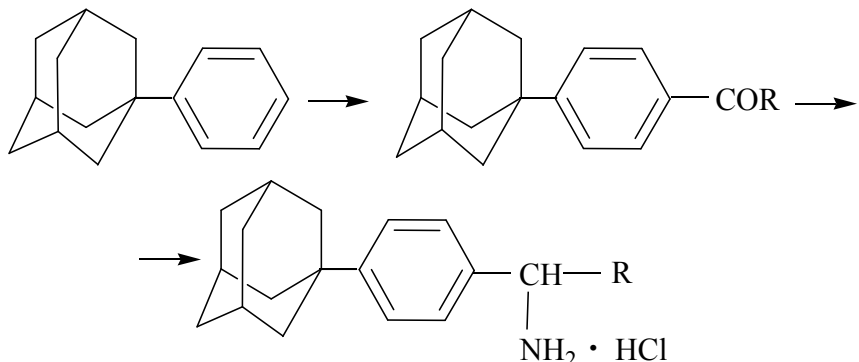
გ. დანილენკოსა და ავტორების მიერ [74] ჩატარებულია კვლევა ფენილ-ადამანტანების რიგში ცოფის ვირუსის საწინააღმდეგო საშუალებების ძიების მიზნით. ადსანიშნავია, რომ 4-(1-ადამანტილ)ანილინი ცოფის ვირუსის დამთრგუნავია, მაშინ როდესაც ანილინი წარმოადგენს სისხლის შხამს. 4-(1-ადამანტილ)ფენილამონიუმის თიოციანატი მიღებულია 4-(1-ადამანტილ)-ანილინისაგან (სქემა 49):

სქემა 49



4-(1-ადამანტილ)ანილინის პომოლოგები სინთეზირებულ იქნა ფენილ-ადამანტანისგან შემდეგი სქემის (50) მიხედვით:

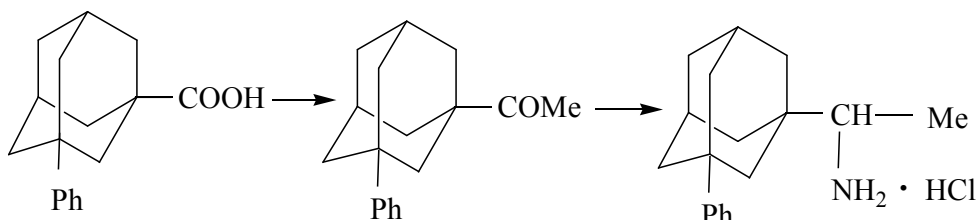
სქემა 50



სადაც,  $R = \text{CH}_3, \text{C}_2\text{H}_5, \text{n-C}_3\text{H}_7$ .

1-ფენილადამანტან-3-კარბონმჟავას ქლორანჰიდრიდის ეთოქსიმაგნიმალონის ეთერთან კონდენსაციით და შემდგომი მჟავა პიდროლიზით იღებენ 1-ფენილ-3-აცეტილადამანტანს, რომლისგანაც ლეიკარტის რეაქციით მიიღება 1-ფენილ-3-(1-ამინოეთონ)ადამანტანი (სქემა 51):

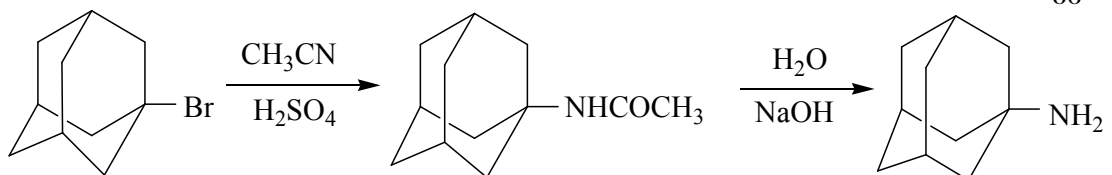
სქემა 51



დადგენილია, რომ აღნიშნული ნაერთები ცოფის ვირუსის მიმართ უფრო მაღალ აქტიურობას ავლენენ, ვიდრე 4-(1-ადამანტილ)ანილინის პიდროქლორიდი და  $\gamma$ -გლობულინი.

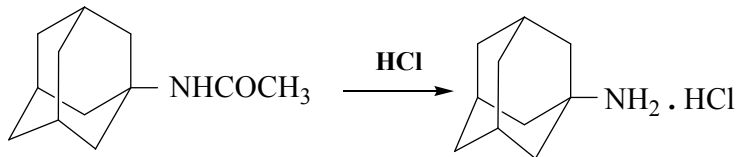
ამინოადამანტანი მიღებულ იქნა რიტტერის რეაქციით 1-ბრომადამანტანის ურთიერთქმედებით აცეტონიტრილთან კონც. გოგირდმჟავას არეში (სქემა 52) [10]:

სქემა 52



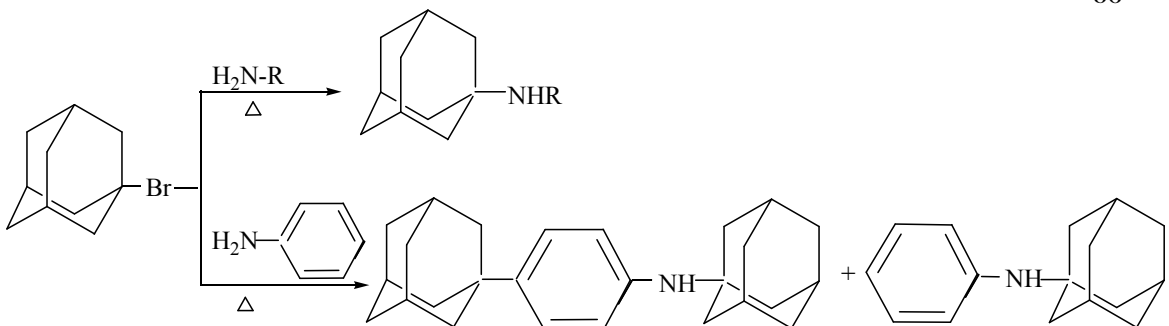
ასევე AdBr-ის პირდაპირი ამინირებით ამინებთან ან შარდოვანასთან გაცხელებით  $180\text{-}240^{\circ}\text{C}$ -ზე გარდა ამისა, აცეტამიდოადამანტანის ჰიდროლიზით გამოყოფენ ამინოადამანტანს ქლორჰიდრატის სახით (სქემა 53) [75]:

სქემა 53



შესწავლით ალიფატური და არომატული რიგის ამინების ალკილირების რეაქციები 1-ბრომადამანტანით. ცხიმოვანი რიგის პირველად ამინებთან რეაქცია მიმდინარეობს  $170\text{-}180^{\circ}\text{C}$ -ზე, მეორად ამინებთან  $200\text{-}210^{\circ}\text{C}$ -ზე. ნაჩვენებია, რომ არომატული ამინების ადამანტილირება მიმდინარეობს როგორც ამინის ჯგუფთან, ისე ბენზოლის ბირთვში (სქემა 54) [75]:

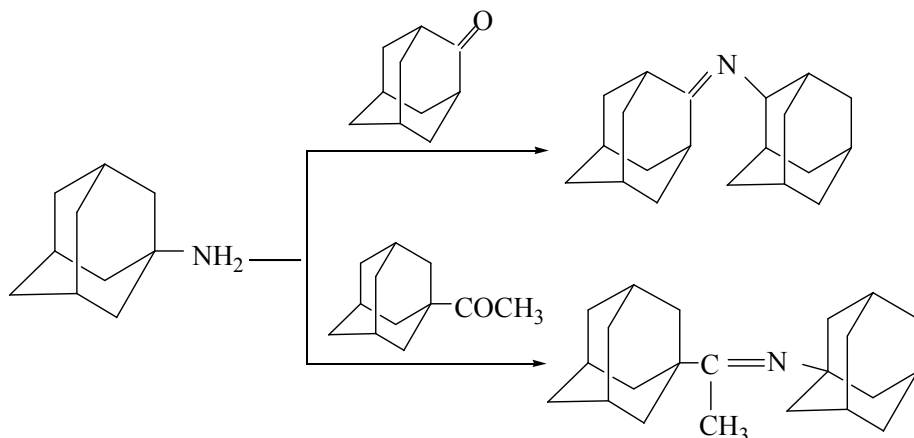
სქემა 54



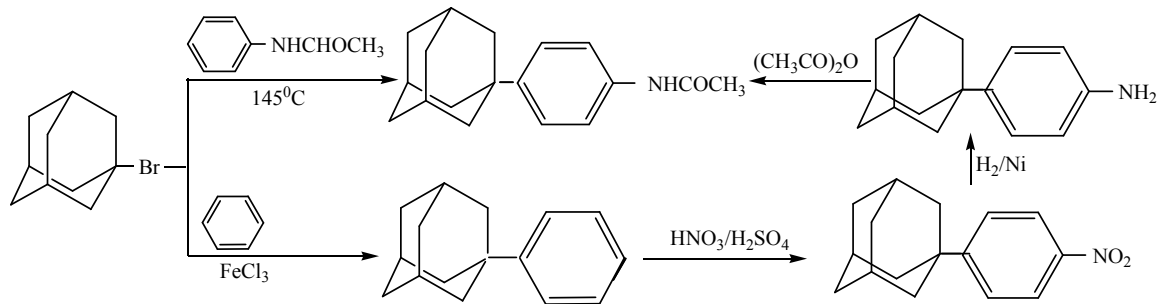
ნაშრომში [76] აღწერილია ამინოადამანტანის ურთიერთქმედება ალიფატური და არომატული რიგის ალდეპიდებთან და კეტონებთან, მიღებულია შესაბამისი შიფის ფუძეები ტოლუოლში დუღებით დინისა და სტარკის ხელსაწყოს გამოყენებით.

ნაჩვენებია [77], რომ ამინოადამანტანი ადამანტანონთან და აცეტილადამანტანთან ურთიერთქმედებს მხოლოდ დეკალინში დუღების პირობებში  $\text{BF}_3\text{-O}(\text{C}_2\text{H}_5)_2$ -ის თანაბისას, რაც შეიძლება აისენას ადამანტანის რადიკალის სტერიული ფაქტორით (სქემა 55):

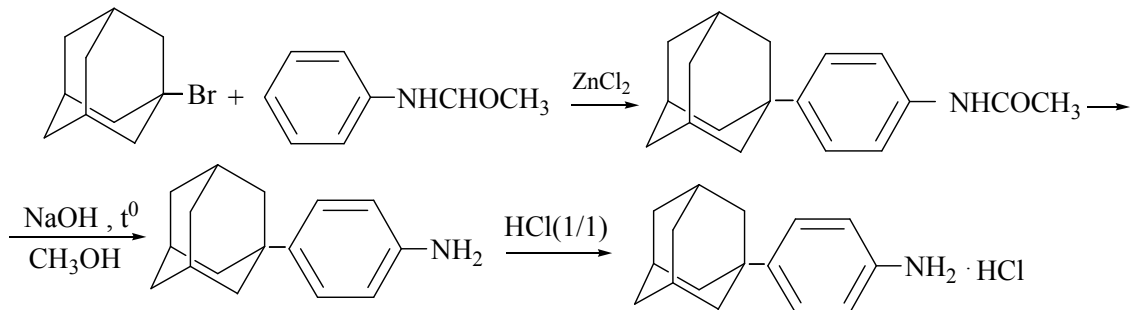
სქემა 55



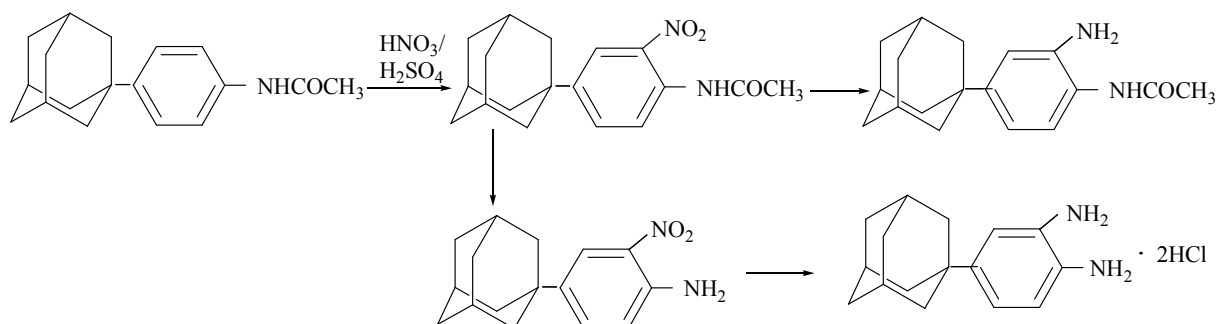
ნაშრომში [75] აღწერილია 1-(4-აცეტამიდოფენილ)ადამანტანის სინთეზი, სქემის (56) მიხედვით.



დამუშავებულია 1-ბრომადამანტანის აცეტანილიდთან ურთიერთქმედების რეაქციის პირობები [78]. წარმოქმნილი 1-(4-აცეტამიდოფენილ)ადამანტანის ტუტე ჰიდროლიზით გამოყოფენ ადამანტილანილის, ხოლო მյავა ჰიდროლიზით – მარილმჯავაში (1:1) დუღებით იდებენ ჰიდროქლორიდის სახით (სქემა 57).



ნაშრომში [79] აღწერილია 4-(1-ადამანტილ)-1,2-დიამინობენზოლის სინთეზი (სქემა 58):

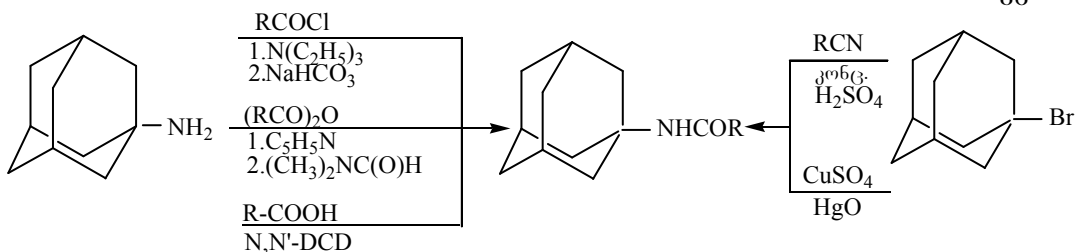


1-(4-აცეტამიდოფენილ)ადამანტანის ნიტრირება ხორციელდება 58-60%  $\text{HNO}_3$  :  $\text{H}_2\text{SO}_4$  მანიტრირებელი ნარევით ყინულოვანი მმარმჯავას თანაობისას. მიღებული ნიტრონაერთის  $\text{KOH}$ -ით შესაპვნით, 95% ეთანოლში, წარმოიქმნება 1-(3-ნიტრო-4-ამინოფენილ)ადამანტანის კრისტალები მაღალი გამოსავლიანო-

ბით, რომლის აღდგენით მოლეკულური წყალბადით რენეს ნიკელის თანაობისას აპს. ეთანოლში მიღება შესაბამისი დიამინი, რომელიც დაუანგვის თავიდან აცილების მიზნით გადაყავთ დიპიდროქლორიდში.

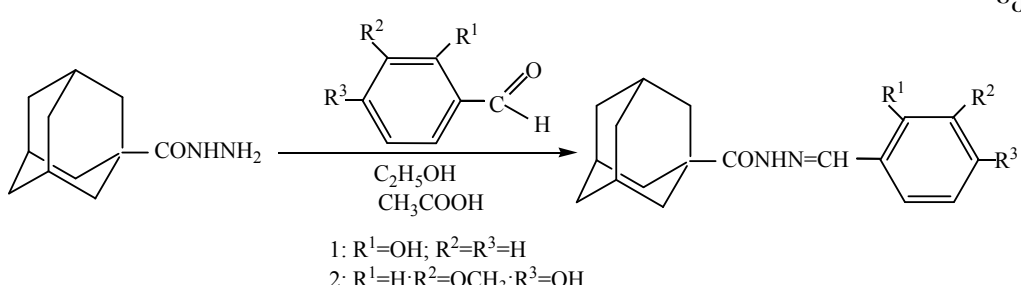
უნგრელი მეცნიერების მიერ [80] სინთეზირებულია ადამანტანუმცველი ამიდები, ამინოადამანტანის აცილირების რეაქციები კარბონმჟავათა ქლორანპიდრიდებით ჩატარებულია ტრიეთილამინის ან ნატრიუმის პიდროკარბონატის გამოყენებით, კარბონმჟავათა ანპიდრიდებით- პირიდინის და დიმეთილფორმამიდის თანაობისას, ხოლო კარბონმჟავების შემთხვევაში ფუძე აგენტად გამოყენებულია დიციკლოპექსილკარბოდიმიდი. ასევე 1-ადამანტილბრომის ამიდებთან და ნიტრილებთან ურთიერთქმედებით მიღებულია აცილამინოადამანტანები (სქემა 59).

სქემა 59

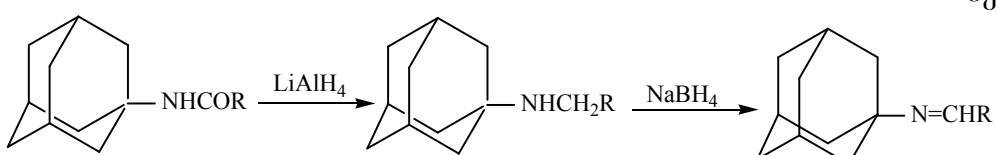


მათ მიერ მიღებულია შიფის ფუძეები: ადამანტან-1-კარბონმჟავას პიდრაზიდის შესაბამის ალდეჰიდებთან კონდენსაციის გზით ეთილის სპირტის არეში, ყინულოვანი ქმარმჟავას თანაობისას (სქემა 60); ხოლო აცილამინოადამანტანების და შიფის ფუძეების აღდგენით მიღებულია შესაბამისი ამინები (სქემა 61):

სქემა 60

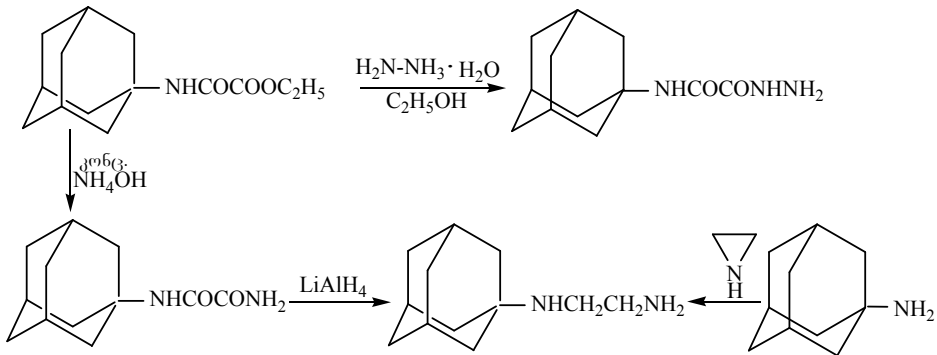


სქემა 61



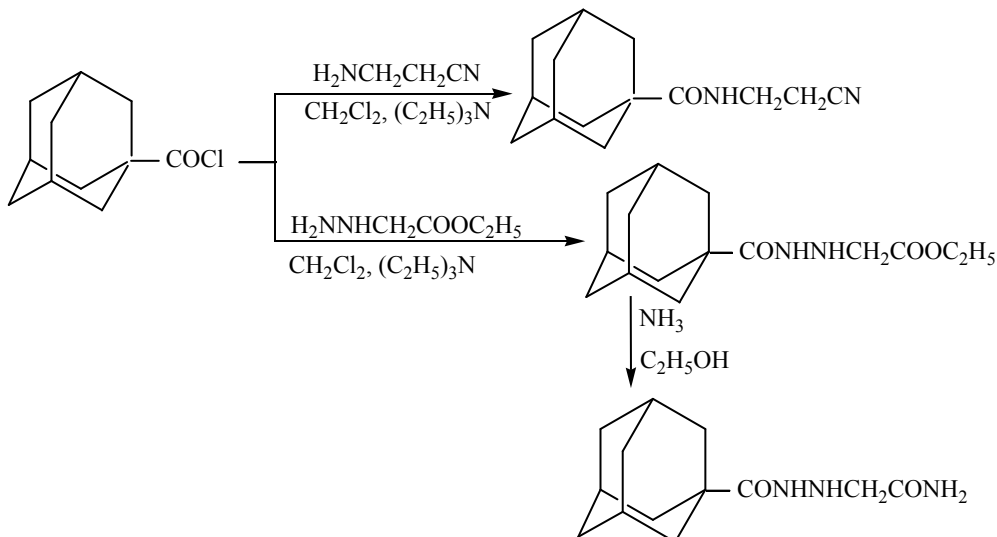
ამავე მეცნიერების მიერ [80] აღწერილია ადამანტანუმცველი დიპიდრაზიდის, დიამიდის და დიამინის მიღების სქემა. დიპიდრაზიდი სინთეზირებულია 1-[N-ეთოქსილამინო]-ადამანტანის პიდრაზინპიდრატთან ეთილის სპირტს არეში დუღებით. ხოლო დიამიდის სინთეზი განხორციელებულია 1-[N-ეთოქსილამინო]-ადამანტანიზე კონც. ამონიუმის ტუტის მოქმედებით. მათ მიერ განხორციელებულია N-1-[ადამანტილ]-ეთილენდიამინის სინთეზი ამინოადამანტანიდან და დიამიდის LiAlH4-ით აღდგენით (სქემა 62):

სქემა 62



ჩატარებულია  $\beta$ -ამინოპროპიონმჴავას ნიტრილის და მისი ეთილეთერის ადამანტოილირება ადამანტან-1-კარბონმჴავას ქლორანჰიდრიდით მეთილენ-ქლორიდში ტრიეთილამინის თანაობისას (სქემა 63).

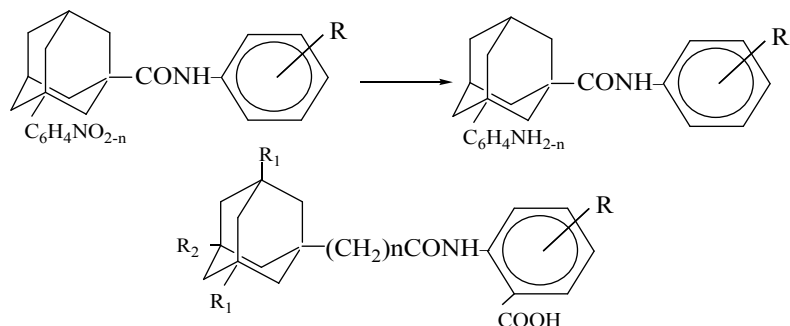
სქემა 63



დანილენკოსა და თანამშრომლების მიერ [81] ადამანტანკარბონმჴავას ქლორანჰიდრიდის გამოყენებით მიღებულია  $N$ -ჩანაცვლებული ამიდების რიგი და შესწავლილია მათი ანტივირუსული აქტიურობა, განხილულია ურთიერთკავშირი ადამანტანკარბონმჴავას ნაწარმების სტრუქტურასა და მათ ბოილოგიურ აქტიურობას შორის.

აღწერილია [82,83] ადამანტანკარბონმჴავას  $N$ -აცილირებული წარმოებულები ზოგადი ფორმულით (სქემა 64):

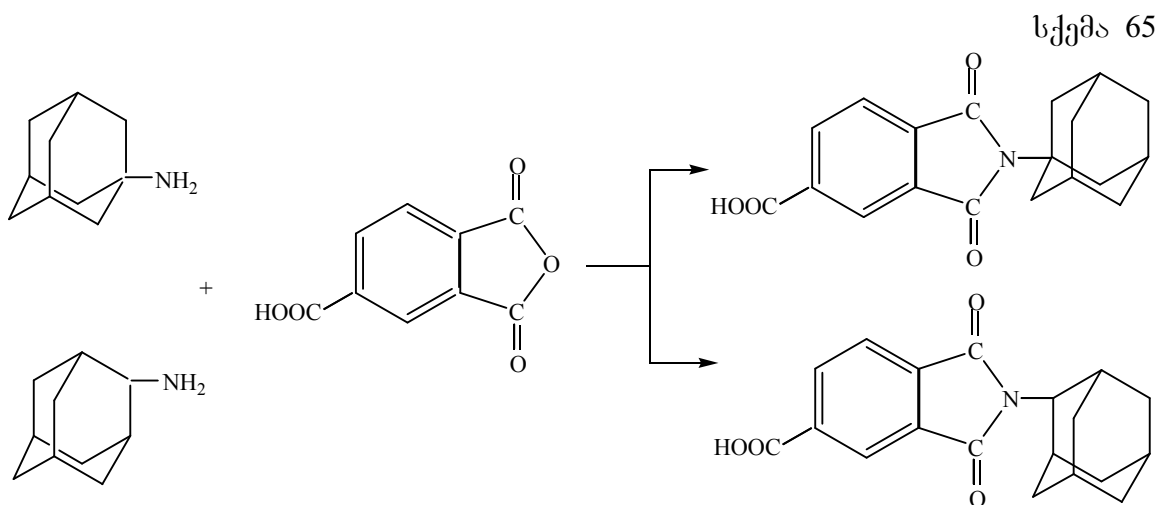
სქემა 64



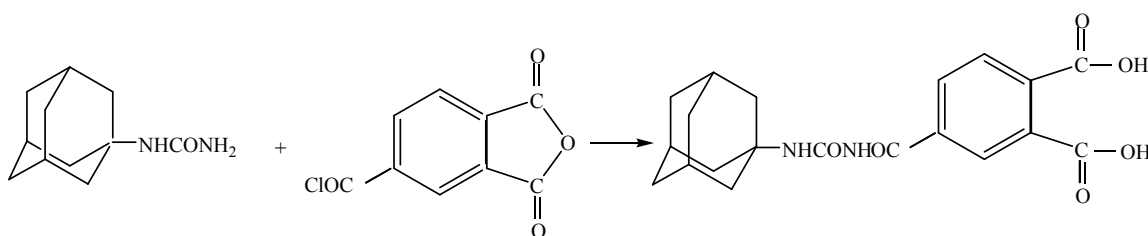
შესწავლითია სინთეზირებული ნაეროების ბიოლოგიური აქტიურობა.

მიმოხილვით ნაშრომში [16] ფართოდ არის განხილული ამინო-ადამიან-ტანების ბიოლოგიური თვისებები, ადამანტანკარბონმჟავას გამოყენებით სამედიცინო პრეპერატების მოდიფიცირების მეთოდები და გამოთქმულია მოსაზრება, რომ ბიოლოგიურად აქტიურ ნაერთებში O, S, N-ატომების აცილირებით ადამანტანკარბონმჟავებით მიიღწევა უფრო ძნელად პიდროლიზებადი ნივთიერებები, რაც მნიშვნელოვნად ზრდის მათი ფიზიოლოგიური მოქმედების ხანგრძლივობას.

მეცნიერთა ჯგუფის [84] მიერ შესწავლილია 1-ამინოადამანტანისა და 2-ამინოადამანტანის კონდენსაციის რეაქცია 5-კარბოქსიტერეფტალის მჟავას ანჰიდროფორმის აბსოლუტური დიმეთილფორმამიდის არეში (სქემა 65):

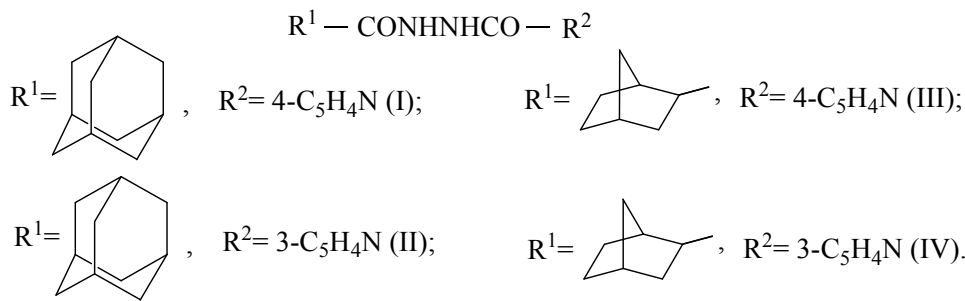


ასევე ჩატარებულია N-ადამანგანშარდოვანას ურთიერთქმედების რეაქცია ტერეფტალის მჟავას ქლორანჰიდრიდთან (სქემა 66):



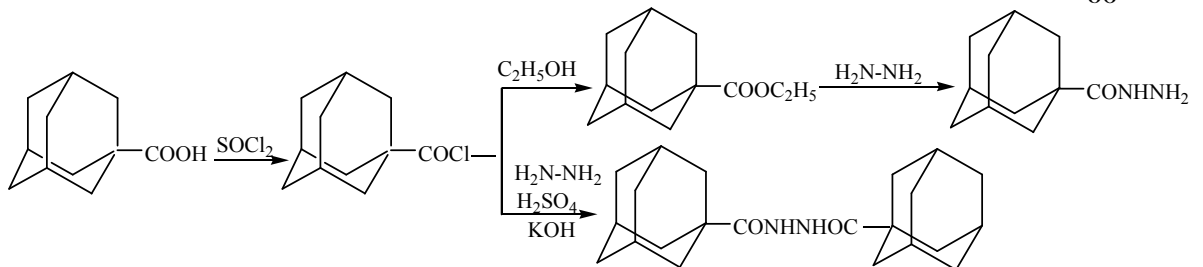
დანილენკოსა და თანამშრომლების მიერ [85] ადამიანის იმუნოდეფიციტის ვირუსის გამომწვევი ინფექციის საწინააღმდეგო კომბინირებული გაქციის ძიების მიზნით ჩატარებულია ადამანგან-1-კარბონმჟავას ქლორანჰიდრიდის კონდესაციის რეაქცია ნიკოტინისა და ოზონიკოტინის მჟავას პიდრაზიდოან, შესწავლილია მათი ადამიანის იმუნოდეფიციტის ვირუსის საწინააღმდეგო აქტიურობა.

სინთეზირებულია ნაერთები ზოგადი ფორმულით:



შტეტერის და რაუშერის მიერ [86] აღწერილია ადამანტანკარბონმჟავას მონო და ბის ჰიდრაზიდების მიღების სქემები: ადამანტანკარბონმჟავას ჰიდრაზიდი მიღებულია ადამანტანკარბონმჟავას ქლორანჰიდრიდის ეთილის სპირტთან ურთიერთქმედებით წარმოქმნილ ადამანტანკარბონმჟავას ეთილის ეთერის 80%-იან ჰიდრაზინთან 30-40სთ ცხელებით, ხოლო ადამანტანკარბონმჟავას ქლორანჰიდრიდის ჰიდრაზინ სულფატთან ცხელებით ნატრიუმის ტუტის არეში მიღებულია  $N, N'$ -ბის(ადამანტანკარბონმჟავას-1)-ჰიდრაზიდი. საწყისი ადამანტან-1-კარბონმჟავას ქლორანჰიდრიდი მიღებულია ადამანტან-1-კარბონმჟავიდან და თოონილქლორიდიდან (სქემა 67).

სქემა 67

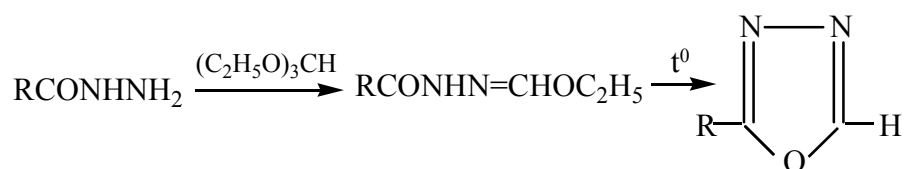


### 1.8.2. ოქსადიაზოლები

ლიტერატურაში დღეისათვის დაგროვილია მრავალი ექსპერიმენტული მონაცემი ოქსადიაზოლებზე, რომელთა ნაწარმებმა ფართო გამოყენება ჰპოვეს ფარმაციაში: ისინი ხასიათდებიან ანტივირუსული, ანტიმიკრობული, ანტიდეპრესანტული, ნეირო-ფსიქოტროპული, იმუნოტროპული აქტიურობით. ასევე მნიშვნელოვანია ოქსადიაზოლების როლი საღებარების, სცინტილაციური და თერმომდგრადი პოლიმერული მასალების წარმოებაში [13-15, 87-92].

პირველად ოქსადიაზოლები სინთეზირებულ იქნა მეცხრამეტე საუკუნის ბოლოს. დღეისათვის ცნობილია ოქსადიაზოლების მონონაწარმების, სიმეტრიული და არასიმეტრილული დინაწარმების მიღების მეთოდები [87]. 2-არილ-1,3,4-ოქსადიაზოლების სინთეზი განხორციელებულ იქნა კარბონმჟავათა ჰიდრაზიდების ჭარბ თრთოჭიანჭველმჟავას ეთილის ეთერში დუღილით (სქემა 68):

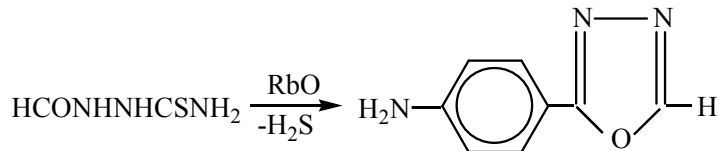
სქემა 68



ამავე ნაშრომში განხილულია ფუნქციონალური ჯგუფების შემცველი 2-არილ-1,3,4-ოქსადიაზოლების მიღების მეთოდები. 2-(4-ამინოფენილ)-1,3,4-ოქსადიაზოლი მიღებულ იქნა ნიტროფენილოქსადიაზოლის ფენილჰიდრაზინით

აღდგენით. ასევე აღწერილია 2-ამინოფენილ-1,3,4-ოქსადიაზოლის მიიღების მეთოდი თიოსემიკარბაზიდიდან, რომელიც მიმდინარეობს გოგირდწაყლბადის გამოყოფით რუბიდიუმის ოქსიდის თანაობისას ეთანოლის არეში (სქემა 69):

სქემა 69



შემუშავებულ იქნა 1,2-დიაცილჰიდრაზინების ციკლიზაცია ვაკუუმში გაცხელებით. ციკლიზაცია ასევე ადვილად მიმდინარეობს ფოსფორმჟავას ანჰიდრიდის, თუთიის ქლოროდის, ფოსფორის(III) ქლოროდის, ფოსფორ(V) ოქსიდის თანაობისას.

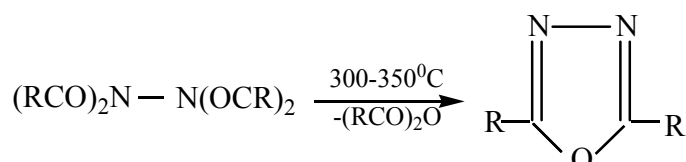
დადგენილია, რომ ალიფატური მჟავები ადვილად რეაგირებენ ჰიდრაზინჰიდრატთან ოთახის ტემპერატურაზე შესაბამისი სიმეტრიული 1,2-დიაცილჰიდრაზინების წარმოქმნით, რომლის ციკლიზაციით იღებენ შესაბამის 2,5-დიანაცლებულ-1,3,4-ოქსადიაზოლებს (სქემა 70):

სქემა 70



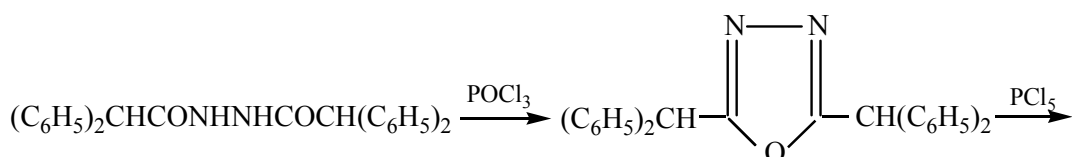
ასევე დადგენილია 2,5-დიალკილ-1,3,4-ოქსადიაზოლების მიიღების შესაძლებლობა ალიფატურ მჟავათა ეთერების და ჰიდრაზინჰიდრატის ურთიერთქმედებით,  $150\text{-}230^{\circ}\text{C}$  გაცხელებით. შესაბამისი ტემპრაცილჰიდრაზინების გამოყენების შემთხვევაში რეაქცია მიმდინარეობს  $300\text{-}350^{\circ}\text{C}$ -ზე (სქემა 71).

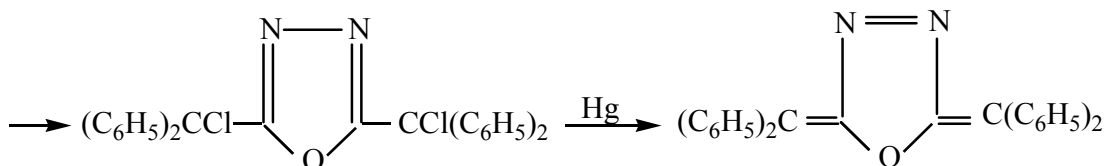
სქემა 71



2,5-დიბენზიდრილ-1,3,4-ოქსადიაზოლების სინთეზი ჩატარებულ იქნა  $\text{POCl}_3$ -ის არეში, ხოლო მიღებულ 2,5-დიბენზიდრილ-1,3,4-ოქსადიაზოლებზე  $\text{PCl}_5$ -ის ურთიერთქმედებით წარმოქმნილი შესაბამისი ოქსადიაზოლის ქლორნაწარმის-თანაობის დგალოგენირებით მიღებულია უჯერი რიგის ოქსადიაზოლი (სქემა 72):

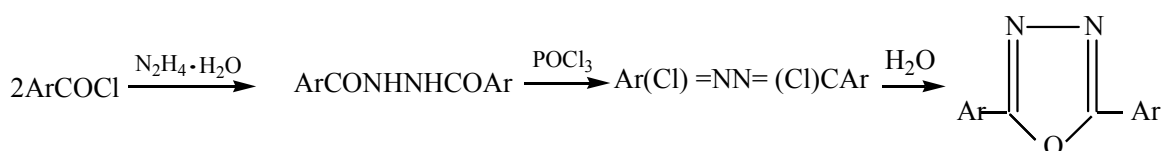
სქემა 72





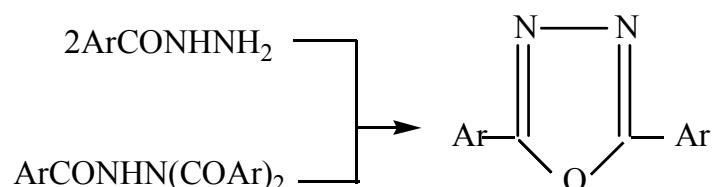
სიმეტრიული 1,2-დიარილპიდრაზინის სინთეზი განხორციელებულია არომატულ მჟავათა ქლორანკიდრიდების პიდრაზინპიდრაზთან ურთიერთქმედებით პირიდინის არეში, რომლის  $\text{POCl}_3$  ურთიერთქმედებით და დეპიდრაზაციით მიღებულია სიმეტრიული 2,5-არილ-1,3,4-ოქსადიაზოლი (სქემა 73) [87].

სქემა 73



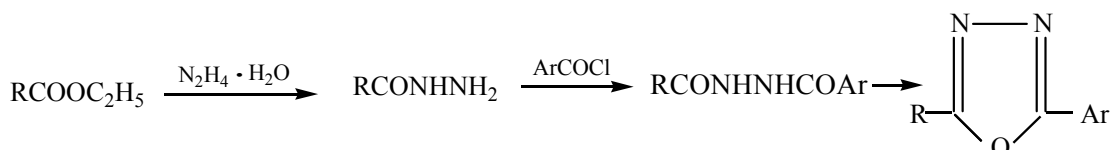
2,5-დიარილ-1,3,4-ოქსადიაზოლები მიღებულ იქნა აგრეთვე მონო და ტრიაცილპიდრაზინების გაცხელებით  $250\text{-}280^\circ\text{C}$  (სქემა 74):

სქემა 74



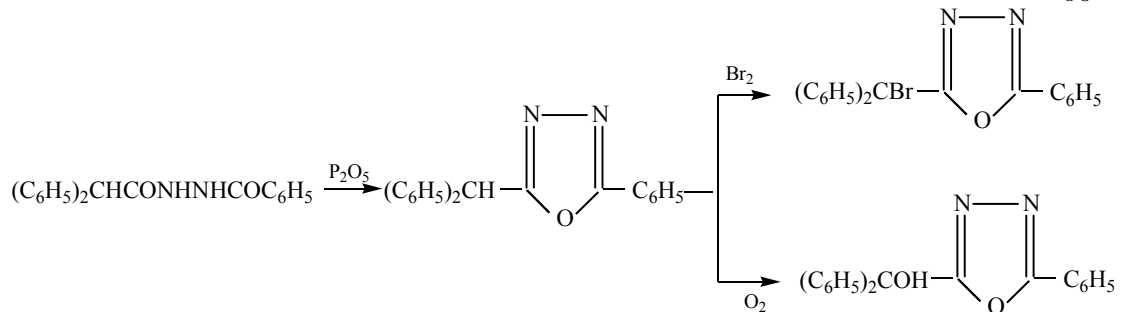
ხოლო, არასიმეტრიული 2,5-დიჩანაცვლებული 1,3,4-ოქსადიაზოლები მიღებულ იქნა შემდეგი (75) სქემით:

სქემა 75



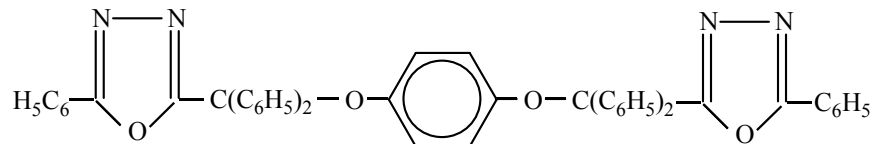
დადგენილია, რომ საწყისი პიდრაზიდების სინთეზი ალიფატური მჟავების ეთერებიდან და პიდრაზინპიდრაზიდან მიმდინარეობს მაღალი გამოსავლიანობით ოთახის ტემპერატურაზე. შედარებით მაღალ ტემპერატურაზე პიდრაზიდი ადვილად გარდაიქმნება სიმეტრიულ 1,2-დიაცილპიდრაზინად. შესწავლილია ალიფატური პიდრაზიდების ბენზოილირების რეაქციის კინეტიკა. ნაჩვენებია, რომ განზავებულ სენარებში ოთახის ტემპერატურაზე ადვილად მიიღება არასიმეტრიული 1,2-დიაცილპიდრაზინი რაოდენობრივი გამოსავლიანობით.

განხილულია 2-ფენილ-1,3,4-ოქსადიაზოლების მიღების რეაქცია ბენზკიდროლური ნაწარმებიდან, ბენზოილპიდრაზიდის და დიფენილმარმებას ურთიერთქმედებით ფოსფორის ანჰიდრიდის თანაობისას. მათი ნაწარმები (ბრომ-, ოქსი-) მიღებულია არასიმეტრიული 1,3,4-ოქსადიაზოლის ბრომირებითა და დაუანგვით (სქემა 76) [87]:



2-ფენილ-5-(ა-ბრომბენზეიდრილ)-1,3,4-ოქსადიაზოლის ტუტე წყალსნარებთან გაცხელებით ბრომის ატომი ჩაინაცვლება ჰიდროქსილის ჯგუფით; უანგბადის არეში რეაქციის ჩატარებისას ადგილი აქვს ბის-[დიფენილ-(5-ფენილ-1,3-ოქსადიაზოლ-(2)]მეთოლის წარმოქმნას, რომელიც გოგირდმჟავაში გახსნისას წარმოქმნის 2-ფენილ-5-ბენზოილ-1,3,4-ოქსადიაზოლს. 2-ფენილ-5-(ა-ბრომბენზეიდრილ)-1,3,4-ოქსადიაზოლის ვერცხლისწყალთან გაცხელებით პ-ქინონის თანაობისას ადგილი აქვს შესაბამისი ეთერის წარმოქმნას (სქემა 77):

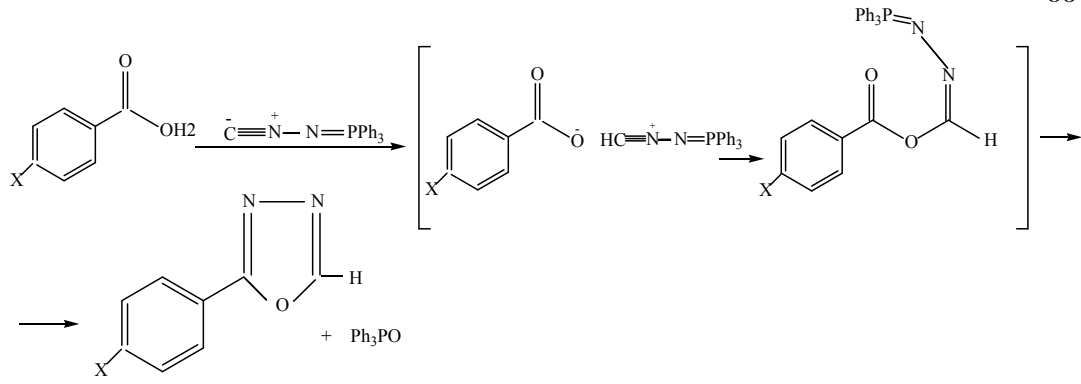
სქემა 77



ა.რამაზანისა და ა.სოულდოზის ნაშრომში ოქსადიაზოლები დახასიათებულია როგორც პეტეროციკლური ნაერთების განსაკუთრებული კლასი, რომელთაც დიდი ყურადღება მიიპყრეს ფარმაციაში [89].

ამ ნაშრომში 2,5-დიჩანაცვლებული-1,3,4-ოქსადიაზოლების სინთეზის მრავალი მეთოდია აღწერილი, ასევე ნაჩვენებია არსებული მეთოდების ძირითადი ნაკლოვანებები – მრავალსაფეხურიანობა და ჩატარების ტექნოლოგიური სირთულე. მათ მიერ შემუშავებულია 2-ჩანაცვლებული-1,3,4-ოქსადიაზოლების მიღების მეთოდი  $N$ -იზოციანიმინოტრიფენილფოსფორანისა და პარა-ჩანაცვლებული ბენზოისმჟავას ნაწარმებიდან ქლოროფორმის არეში ოთახის ტემპერატურაზე (სქემა 78) [89].

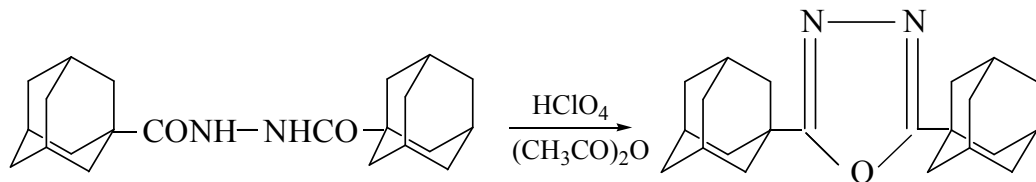
სქემა 78



$X = I, CN, CO_2Me, OAc, Et$

გ. სასაკისა და შ. გუჩის მიერ განხორციელებულ იქნა 2,5-დი(1-ადამანტილ)-1,3,4-ოქსადიაზოლის სინთეზი  $N,N'$ -ბის(ადამანტან-1-კარბონილ)ჰიდრაზინის ძმარმჟავა ანდიდრიდში დუდებით პერქლორმჟავას თანაობისას. მიღებული ნაერთის გამოსავლიანობა არ აღემატება 50% (სქემა 79) [93].

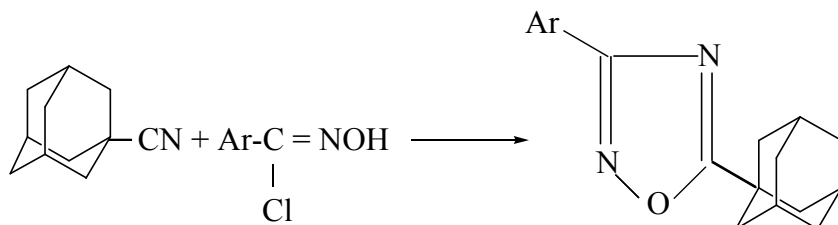
სქემა 79



ნაშრომებში აღნიშნულია, რომ  $N,N'$ -ბის(ადამანტან-1-კარბონილ)ჰიდრაზინი არ განიცდის ციკლიზაციას გოგირდმჟავას გამოყენებისას, ამ პირობებში მიღება ადამანტან-1-კარბონმჟავა.

ე. შეეხებულებულისა და ტ. კუზმიჩევას ნაშრომში აღწერილია 1-ციანოადამანტანიდან 3,5-დიჩანაცვლებული 1,2,4-ოქსადიაზოლების მიღების მეთოდები. სინთეზი ჩატარებულია 1-ციანოადამანტანის და ფენილჰიდროქსიამიდის, მეტა-, პარა- ჰიდროქსიამიდის, 5-ნიტროფურილჰიდროქსიამიდის მუვათა ქლორიდების კონდესაციით ტოლუოლის არეში (სქემა 80) [94].

სქემა 80



Ad-ადამანტილ  $C_{10}H_{15}$ ; Ar = პარა- $NO_2 - C_6H_4$ ;  
Ar =  $C_6H_5$ ; Ar = მეტა- $NO_2 - C_6H_4$ ; Ar = 5- $NO_2 - C_4H_2O$ .

დადგენილია, რომ კონდესაციის რეაქცია 1-ციანოადამანტანსა და ფენილჰიდროქსიამიდს შორის მიმდინარეობს 40 სთ განმავლობაში, მაშინ, როდესაც ფენილის ბირთვში მეტა და პარა მდგომარეობაში ნიტროჯგუფის შეუვანა რეაქციის ხანგრძლივობას ზრდის 80-120 სთ-მდე. რეაქციის პროდუქტს წარმოადგენს მეტა მდგომარეობაში არომატული ჯგუფების შემცველი 5-(1-ადამანტილ)-1,2,4-ოქსადიაზოლები [94].

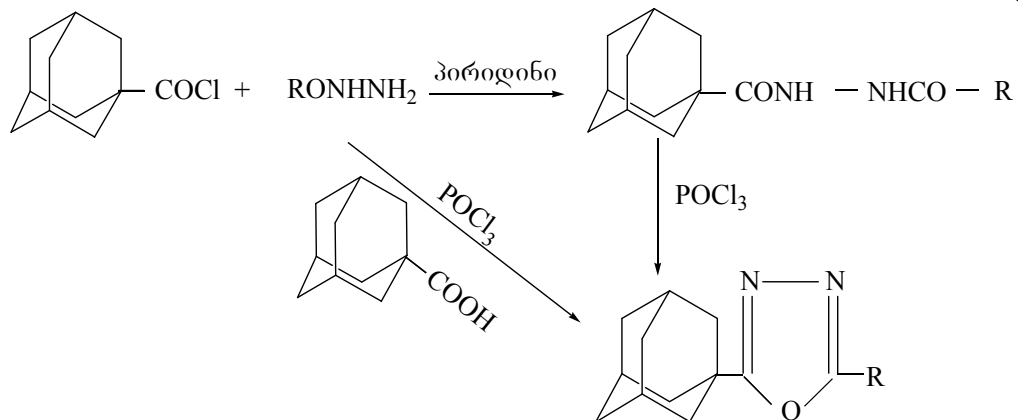
შესწავლილია 1,2,4-ოქსადიაზოლების მიღების მეთოდი შესაბამისი ნიტრილების  $N$ -ოქსიდების და ადამანტან-1-კარბონმჟავას მეთილიმინოეთერებიდან. საწყისი ნიტრილების  $N$ -ოქსიდების სინთეზი განხორციელებულია ნატრიუმის კარბონატის და შესაბამისი არილჰიდროქსიამიდის მუვათა ქლორიდებიდან.

ა. კადისა და ნ. ეი-ბროლოსის მიერ მიღებულია ახალი რიგის 2-(1-ადამანტილ)-5-ჩანაცვლებული-1,3,4-ოქსადიაზოლები, დადგენილია მათი ანტიმიკრობული აქტიურობა, რომელიც შემოწმებულია გრამ-დადებით ბაქტერიის *Bacillus subtilis* მიმართ. ამ ნაერთებს ასევე აღმოაჩნდათ ზომიერი აქტიურობა საფუა-

რის მოყვარული პათოგენური სოკოს *Candida albicans* მიმართ. ამ ჯგუფის ოქსადიაზოლების ზოგიერომა ნაწარმა ასევე გამოამჟღავნა დოზაზე დამოკიდებული ანთების საწინააღმდეგო აქტიურობა [13].

შესწავლილია 3-აცილდიოთოკარბამატის ციკლიზაცია კალიუმისპიდროქსიდის წყალხსნარში, რის შედეგადაც მიიღება 5-ჩანაცვლებულ-2-მერკაპტო-1,3,4-ოქსადიაზოლები. ადამანტან-1-კარბონმჟავას ქლორანპიდრიდსა და შესაბამის კარბონჟავის პიდრაზიდის ურთიერთქმედებით პირიდინის არეში მიიღება N-აცილ ნაწარმები მაღალი გამოსავლიანობით. მათი ფოსფოროქსიკლორიდის არეში ციკლიზაციით 2-(1-ადამანტილ)-5-ჩანაცვლებული-1,3,4-ოქსადიაზოლები, მიღებული იქნა ანტიმიკრობული და ანტიაგზნებითი აქტიურობის მქონე ახალი რიგის 2-(1-ადამანტილ)-5-ჩანაცვლებული-1,3,4-ოქსადიაზოლები (სქემა 81) [13].

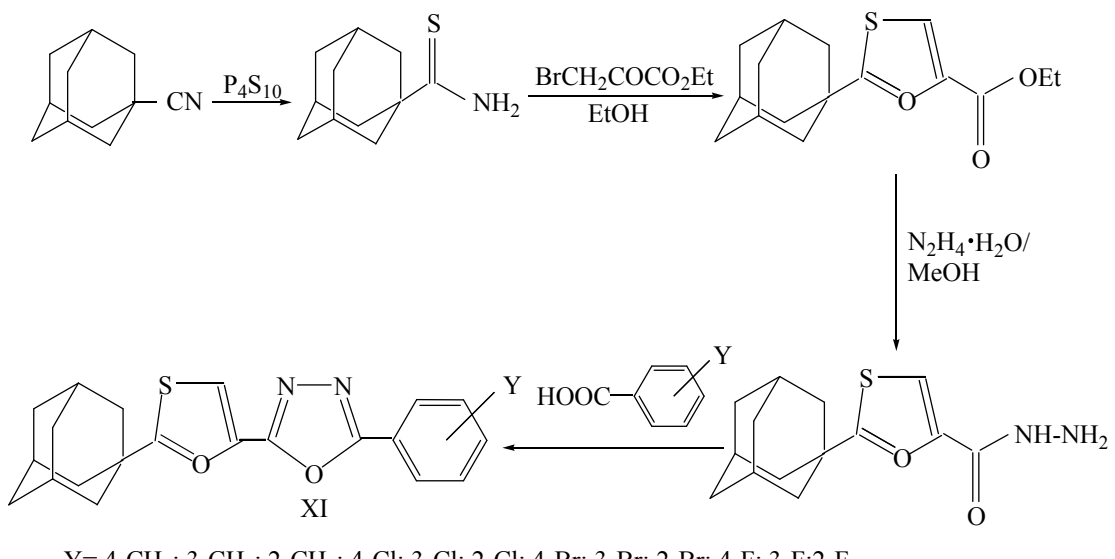
სქემა 81



R= C<sub>6</sub>H<sub>5</sub>, 4-FC<sub>6</sub>H<sub>4</sub>, 4-ClC<sub>6</sub>H<sub>4</sub>, 4-BrC<sub>6</sub>H<sub>4</sub>, 4-NO<sub>2</sub>C<sub>6</sub>H<sub>4</sub>, 3,5 -(NO<sub>2</sub>)<sub>2</sub>C<sub>6</sub>H<sub>3</sub>, 2-Cl<sub>4</sub>-NO<sub>2</sub>C<sub>6</sub>H<sub>3</sub>, 2-თიენილ, 1-ადამანტილ.

დადგენილია, რომ ანტიბაქტერიული აქტიურობა დამოკიდებულია მოლეკულების აღნაგობაზე. ცნობილია, რომ ოქსადიაზოლების 5 პოზიციაში ჩანაცვლება დიდ ზეგავლენას ახდენს ანტიბაქტერიულ აქტიურობაზე. მიღებული ნაერთებიდან უმაღლეს ბიოლოგიურ აქტიურობას ამჟღავნებს 3,4-დიმეთოქსიფენილი და 2-თიენილის ნაწარმები. 4-ჰალოფენილ ნაწარმები უფრო ძლიერ აქტიურებია ვიდრე შესაბამისი ფენილ ანალოგები. ამავე დროს ნიტროფენილ ნაწარმები არაა აქტიურებია.

ადამანტანშემცველი ოქსადიაზოლური ნაწარმების მისაღებად ჩატარებულია შემდგომი გარდაქმნები: საწყის ნივთიერებას ადამანტან-1-ნიტრილს ჯერ გარდაქმნიან თიოამიდში P<sub>4</sub>S<sub>10</sub> გამოყენებით ოთახის ტემპერატურაზე. შემდეგ ბრომოპიროატის დამატებით ეთანოლის არეში მიღებული ნაერთიდან ღებულობენ 1,3-თიაზოლს 75% გამოსავლიანობით. წარმოქმნილი ნაერთის ურთიერთქმედებით პიდრაზინპიდრატთან პოლიფოსფორისმჟავას თანაობისას მიიღება 2,5-დიჩანაცვლებულ 1,3,4-ოქსადიაზოლები (სქემა 82) [90].

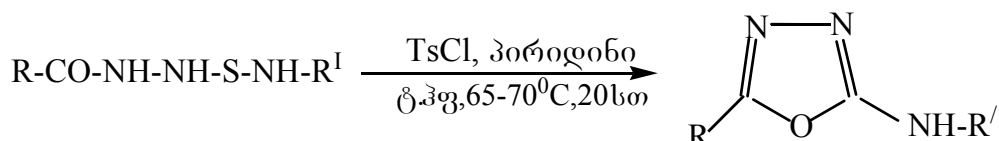


2005წ. მ.კოპარიონისა და ა. გეტინის მიერ სინთეზირებულ იქნა ოქსადიაზოლურ თიოლური და ოქსადიაზოლურ თიოლური ნაერთები მაღალი ბაქტერიციდული, პესტიციდური და ფუნგიციდური თვისებებით, რომლებიც ასევე წარმოადგენენ ანალგეტიკებს და ქიმიოთერაპიულ აგენტებს. 1,3,4-ოქსადიაზოლების მისაღებად ძირითადად გამოყენებულია აცილჰიდრაზიდები, 5-ფურან-2-ილ[1,3,4]ოქსადიაზოლ-2-თიოლები და მათი ნაწარმები [95].

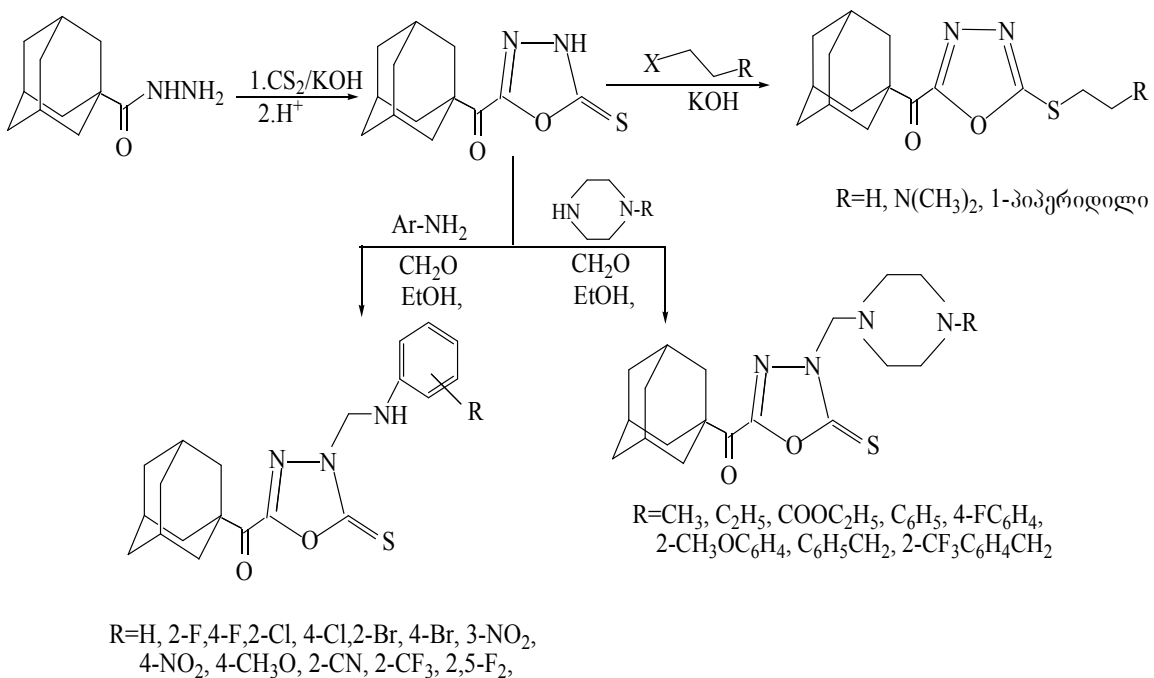
სინთეზირებულია ოქსადიაზოლების ნაწარმების ახალ რიგი ფოტო და ელექტრულად აქტიური მასალების მისაღებად. დადგენილია, რომ მიღებული ოქსადიაზოლები და ამინების ნაწარმები წარმოადგენენ ახალ თხევად-კრისტალურ მასალებს. ისინი შესანიშნავი ელექტროგამტარი და ლუმინესცენციის უნარის მქონე ნივთიერებებია. სინთეზი განხორციელდა 4-(4-ნაფთილფენილ)ბენზოის მჟავაზე თიონილქლორიდის მოქმედებით და წარმოიქმნილი 4-(4-ნაფთილფენილ)ბენზოის მჟავას ქლორიდის, შესაბამის ამინოფენილ-ტეტრაზოლების ნაწარმებთან პირიდინის არეში  $135^{\circ}\text{C}$ , გამოსავლიანობა 55%.

2-ამინო-1,3,4-ოქსადიაზოლები მიღებულია შესაბამისი თოსემიკარბაზიდის ციკლიზაციით  $\text{TsCl}$ -ის და პირიდინის გამოყენებით ტეტრაჰიდროფურანის არეში  $65\text{-}70^{\circ}\text{C}$ . ასევე კარგი გამოსავლიანობით სინთეზირებულია 5-ალკილ-და 5-არილ-2-ამინო-1,3,4-ოქსადიაზოლები (სქემა 83):

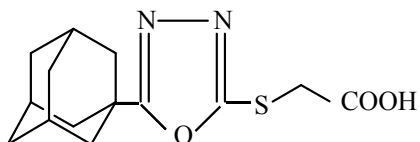
სქემა 83



სინთეზირებულია ანგიმიკობული და ადამიანის იმუნოდეფიციტის ვირუს-1-ის საწინააღმდეგო 5-(ადამანტილ)-2-ჩანაცვლებული თიო-1,3,4-ოქსადიაზოლების და 5-(1-ადამანტილ)-3-ჩანაცვლებული ამინომეთილ-1,3,4-ოქსადიაზოლ-2-თიონები (სქემა 84) [14]:



ასევე სინთეზირებულია 2-[2-(1-ადამანტილ)-1,3,4-ოქსადიაზოლ-5-ილთიო]მმარმჯავა. დადგენილია, რომ ეს ნაერთი წარმოადგენს ანტიმიკრობულ აგენტს *Bacillus subtilis* და *Escherichia coli* მიმართ, ასევე ახასიათებს დოზაზე დამოკიდებული აგზების საწინააღმდეგო აქტიურობა;



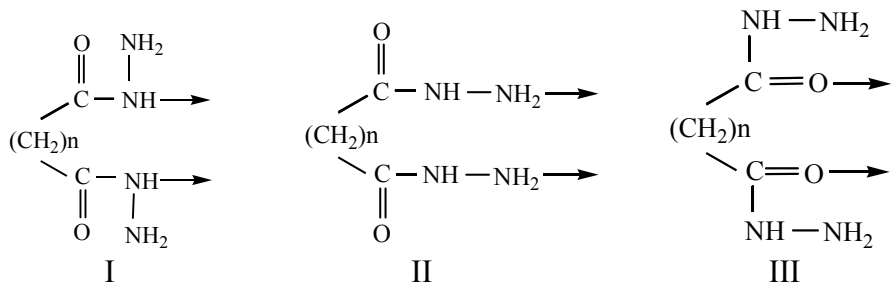
ლიტერატურული მიმოხილვიდან შეიძლება დავასკვნათ, რომ ადამანტილისადიაზოლები ნაკლებადაა შესწავლილი, ადამანტანის ნაწარმების ბიოლოგიური აქტიურობის ფართო სპექტრი პერსპექტიულს ხდის ადამანტანშემცველი ოქსადიაზოლების სინთეზის და კვლევის მიმართულებას.

### 1.9 ჰიდრაზიდული და ბიჰიდრაზიდული კოორდინაციული ნაერთები. მათი ფიზიკურ-ქიმიური და ბიოაქტიური თვისებების დამოკიდებულება აღნაგობაზე

ბუნებაში მიმდინარე პროცესებში კოორდინაციულ ნაერთებს მნიშვნელოვანი წელილი შეაქვთ. ორგანიზმში ბიომეტალების ნაკლებობა ან სიჭარბე იწვევს ნორმალური ფიზიოლოგიური და ბიოქიმიური პროცესების დარღვევას და სხვადასხვა დაავადებების ესკალაციას. ჯერ კიდევ გააული საუცუნის სამოციან წლებში გამოითქვა მოსაზრება, რომ ბიოსისტემებში კოორდინაციული ნაერთების როლის დადგენა ეფექტური სამკურნალო პრეპარატების მიღების საშუალებას იძლევა. კომპლექსონებს იყენებენ ორგანიზმიდან ტოქსიკური მეტალების გამოსადევნად. ამ მიზნით გამოიყენება

მეტალოციკლის წარმოქმნელი დაბალი ტოქსიკურობის მქონე ლიგანდები (დეტოქსინაციები) რომლებიც მეტალების იონებთან წარმოქმნიან მდგრად კომპლექსებს და რომლებიც იოლად გამოიდევნებიან ორგანიზმიდან. კოორდინაციული ნაერთების ბაზაზე სამკურნალო საშუალების სისტემატიკური ძიება დაიწყო ისეთი ლიგანდებით, როგორიც არის მეტაბოლიტები და სამკურნალო ნივთიერებები. ცხადია ასეთი მიდგომა პერსპექტიული გზაა სასურველი შედეგის მისაღწევად [93-103].

კარბონმჟავათა ჰიდრაზიდების შემცველ მეტალთა კოორდინაციული ნაერთები ბიოლოგიურად აქტიურ ნაერთებს წარმოადგენენ. ისინი შეიცავენ ამიდურ ჯგუფებს, რომლებიც თავიანთი დონორული თვისებებით შესაძლებელს ხდიან მეტალთან ლიგანდების კოორდინაციას. აღნიშნულ ლიგანდებს შეუძლიათ სხვადასხვა ტაუტომერულ ფორმაში არსებობა, რის გამოც შესაძლებელია მრავალფეროვანი კოორდინაციული ნაერთების წარმოქმნა. კარბონმჟავათა ჰიდრაზიდები შეიძლება არსებობდეს ამიდურ, ამიდო-იმიდურ და იმიდურ ტაუტომერულ ფორმებში [97]. სპეცირალურ მონაცემებზე დაყრდნობით კარბონმჟავათა ჰიდრაზიდებისათვის შემოთავაზებულია მეტალთა კოორდინაციის სამი ვარიანტი [98-99].

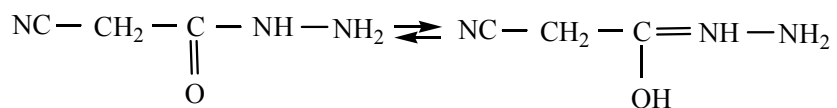


დადგენილია, რომ მალონმჟავას დიპიდრაზიდები მეტალთან კოორდინაციას ახორციელებენ ამიდის აზოგის ატომებით (I) ან კარბონილის ჯგუფის უანგბადის ატომებით (III) და წარმოადგენენ ბიდენტატურ ლიგანდებს.  $[Cd_3(FH)_3(NCS)_6]$  და  $Zn(DM)SO_4 \cdot 3H_2O$  რენტგენოსტრუქტურული ანალიზის მეთოდით დადგენილია, რომ ამ სტრუქტურებში, სამი ფორმილპიდრაზიდის მოლეკულიდან ერთი ასრულებს ხიდის როლს მეტალთა ატომებს შორის, ხოლო ორი მეტალთან წარმოქმნის ხუთწევრიან მეტალოციკლებს. აქედან გამომდინარე, ფორმილპიდრაზიდს აქვს ბიდენტატური ხელატური ლიგანდის ფუნქცია და კოორდინაციას მეტალთან ახორციელებს ჰიდრაზიდული დაჯგუფების უანგბადის და ამიდური დაჯგუფების აზოგის ატომების მეშვეობით. მალონმჟავადიპიდრაზიდი ბის-ბიდენტატური ხუთწევრა ციკლებწარმოქმნელი ხიდის ფუნქციის მატარებელი ხელატური ლიგანდია, რაც ეწინააღმდეგება ზემოთ მითითებული ავტორების მოსაზრებას. აღნიშნული ფაქტი აქტუალურს ხდის ჰიდრაზიდების შესწავლის საკითხს [100-102].

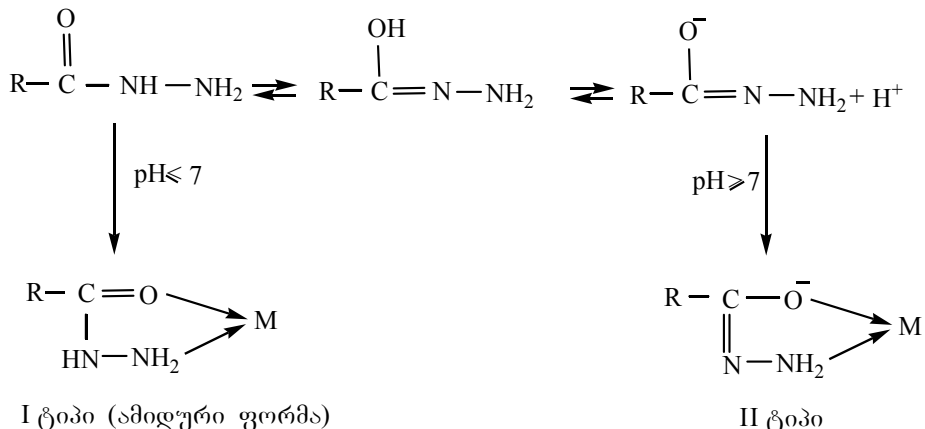
კიბოს თერაპიაში ახალი ერა დაიწყო გასული საუკუნის 60-იან წლებში, მას შემდეგ, რაც მიაკვლიეს, რომ პლატინისა და პალადიუმის ნაერთებმა სარკომა-180 ზრდის ინპიბირება მოახდინეს. სიმსივნის საწინააღმდეგო მაღალი აქტივობა აღმოაჩნდათ პლატინის კომპლექსნაერთებს ცის-[Pt(NH<sub>3</sub>)<sub>2</sub>Cl<sub>2</sub>], ცის-[Pt(NH<sub>3</sub>)<sub>2</sub>Cl<sub>4</sub>] და [PtenCl<sub>2</sub>] [104-105]. კომპინირებულ თერაპიაში მეტალშემცველი პრეპარატების გამოყენებისას აღმოჩენილ იქნა სინერგიზმის უფექტი. თუმცა ყველაზე უკეთესი პრეპარატებიც კი მოკლებულია სრულფასოვან სელექტიურობას დაავადებული უჯრედის მიმართ და აზიანებს ჯანმრთელ

უჯრედებსაც. სიმსივნის საწინააღმდეგო მეტალთა კოორდინაციული ნაერთებიდან  $[PtA_2X_2]$  (სადაც A ნეიტრალური მონოდენტატური, ხოლო X აციდოლიგანდია), ყველაზე ეფექტური აღმოჩნდა ის ნაერთები, რომლებშიც ლიგანდები ცის-პოზიციაშია. ლიგანდები, რომლებიც ტრანს-მდგომარეობაშია, მტკიცედ არიან ბმული მეტალთან, შედარებით ინერტულებია და ხასიათდებიან ჩანაცვლების დაბალი თერმოდინამიკური უნარით. ბიოლოგიური აქტივობა დამოკიდებულია კომპლექსის პოლიედრის ბუნებაზეც, კვადრატული და ოქტაედრული აგებულების კომპლექსები მაღალი აქტიურობით ხასიათდებინ. მეტაბოლური პროცესების მიზანდასახული მართვა შეიძლება ბიომეტალების გამოყენებით. კერძოდ, შესაძლებელია მათი კონცენტრაციის რეგულირება შესაბამისი ტრანსპორტული ფორმების შექმნით [105-107]. მეტალთა კოორდინაციული ნაერთების გამოცდით იქმნება პრეპარატების ახალი თაობა და ყალიბდება მკურნალობის ახალი მეთოდები, როგორიცაა ლითიუმთერაპია [108] (ფსიქიკურად დაავადებულთა მკურნალობა ლითიუმის პრეპარატებით), პლატინოთერაპია (ზოგიერთი სახეობის ავთვისებიანი სიმსივნ-ების მკურნალობა პლატინის ნაერთებით) და სხვ. ბიომეტალებთან მეტაბოლიტებით და სამკურნალო ნივთიერებებით კომპლექსწარმოქმნის უნარის შესწავლა შესაძლებელს ხდის მიკროელემენტების ოპტიმალური კონცენტრაციის დადგენის, აგრეთვე მათი დეფიციტის ან სიჭრებისას მკურნალობის მეთოდების დახვეწას. მეტალთა კოორდინაციული ნაერთები გამოიყენება არა მარტო მედიცინაში, არამედ მეცნიერებისა და ტექნიკის მრავალ დარგში, სოფლის მკურნეობაში (მცნარეთა ზრდის ეფექტური რეგულატორების სახით), საღებავების წარმოებაში და ა.შ მათი გამოყენების სფერო პრაქტიკულად შეუზღუდავია. ამჟამად დიდ მნიშვნელობას იძენს ექსპერიმენტული მასალის დაგროვება იმ ლიგანდოთა სტეროქიმიაზე, რომლებიც ბიოლოგიურად აქტიურ (-CO-NH-) პეპტიდურ ჯგუფებს შეიცავენ (ეს უკანასკნელი ცოცხალ ბუნებაში მნიშვნელოვან როლს ასრულებენ). მათ საფუძველზე შესაძლებელია მნიშვნელოვანი ფერმენტული სისტემების მოდელირება, ცილოვანი მოლეკულების შედგენილობას და თვისებებს შორის ურთიერთკავშირის გამოვლენა [104-110].

კარბონმჟავათა ჰიდრაზიდები შეიძლება არსებობდნენ სხვადასხვა ტაუტომერული ფორმით: ამიდური, ამიდო-იმიდური და იმიდური. სხსარებში სპილენდ(II) ციანოაცეტილჰიდრაზიდებთან კომპლექსწარმოქმნის სპექტროფოტომეტრული მეთოდით კვლევისას შემოთავაზებული იქნა ციანოაცეტილჰიდრაზიდის ორი ტაუტომერული ფორმის ურთიერთგარდაქმნის შესაძლებლობა:



კ. გოგორიშვილის, რ. მაჩხოშვილის, ი. ხარიტონოვის მიერ ჩატარებული სპექტრალური და ქიმიური ანალიზის საფუძველზე დადგენილ იქნა, რომ კარბონმჟავათა ჰიდრაზიდების მოლეკულებს მეტალთა იონებთან კოორდინაცია შეუძლიათ განახორციელონ თრი ტაუტომერული ფორმით და წარმოქმნას ხუთწევრიანი მეტალციკლები, კომპლექსების აღნაგობა დამოკიდებულია სხსარის pH-ზე (სქემა 85):



ამ კომპლექსების აღნაგობა დადასტურებულია როგორც უახლესი სტრუქტურული ასევე შედარებით ადრეული შრომებით. კერძოდ ინფრაწილები, სპექტრული მეთოდით დადგენილია [55-57], რომ Mn(II), Fe(II), Co(II), Ni(II), Cu(II), Zn(II), Cd(II) და Pt(II) აცეტილჰიდრაზიდთან კომპლექსებში ლიგანდი ასრულებს ნეიტრალური ბიდენტატური ლიგანდის ფუნქციას და წარმოქმნის I ტიპის ხელატურ ციკლს. მიღებულია და იწ სპექტრალური მონაცემებით შესწავლილია გარდამავალი მეტალების კომპლექსები ბენზოილჰიდრაზიდთან I და II ტიპის მეტალციკლების არსებობა [111]. Cu(II)-ს ბენზოილჰიდრაზიდთან ტრანს-ოქტაედრული კომპლექსების რენტგენოსტრუქტურული ანალიზის მონაცემები მოცემულია ნაშრომში [112]. ბენზოილჰიდრაზიდთან კომპლექსი ბიდენტატური ლიგანდის ფუნქციას ასრულებს: მეტალთან კოორდინირებულია ჟანგბადის ატომით და  $\text{NH}_2$  ჯგუფის მეშვეობით და წარმოიქმნება I ტიპის ხუთწევრა მეტალციკლი; მეტალციკლი არ არის ბრტყელი, სპილენბის ატომი აკავშირებს ბენზოილჰიდრაზიდთან ორ მოლეკულას და ოქტაედრამდე შევსებულია ტრანს-მდგომარეობაში განლაგებული ქლორის ატომებით.

ვერცხლისწყალ(II)-ის კომპლექსში ბენზოილჰიდრაზიდის ბიდენტატური ფუნქცია და I ტიპის მეტალციკლის წარმოქმნა დადასტურებულია ნაშრომში [113]. მიღებულია და დახასიათებულია თუთიის(II), კადმიუმის(II) და ვერცხლისწყლის(II) კომპლექსები ბენზოილჰიდრაზიდთან და მის ორთო-, მეტა- და პარამონონიტრიტო ნაწარმებთან. იწ სპექტრალური მონაცემებით ყველა კომპლექსში ძირითადად I ტიპის მეტალციკლები მიიღება. ასევე მიღებული იქნა მანგანუმის(II), რკინის(II), კობალტის(II), ნიკელის(II), თუთიის(II) კადმიუმის(II), ტყვიისა(II) და კომპლექსური ნაერთები ფორმილჰიდრაზიდებთან. იწ სპექტრული მონაცემებით მტკიცდება, რომ ფორმილჰიდრაზი ყველა მიღებულ კომპლექსში ბიდენტატურია, არსებობს ამიდური ტაუტომერული ფორმით და წარმოქმნის I ტიპის მეტალციკლებს. ლიტერატურულ მონაცემებთან შეჯერებით გამოთქმულია მოსაზრება, რომ ალიფატური რიგის უმარტივესი ჰიდრაზიდებისათვის (ფორმილჰიდრაზიდი, აცილჰიდრაზიდი) II ტიპის მეტალციკლების წარმოქმნა არ არის ტიპიური, ხოლო არომატული რიგის ჰიდრაზიდები (ბენზოილჰიდრაზიდი) პირობებისაგან დამოკიდებულებით მეტალთა მარილებთან რეაქციებში წარმოქმნიან როგორც I, ისე II ტიპის მეტალციკლებს, რაც შეიძლება დაკავშირებული იყოს არომატული რადიკალის უნართან მოახდინოს იმიდური ტაუტომერული ფორმის სტაბილიზაცია [114-116].

## თავი 2. ექსპერიმენტული მონაცემების განსჯა

### 2.1. ფეროცენ- და ადამანტანშემცველი ჰიდროქსიაცეტილენები

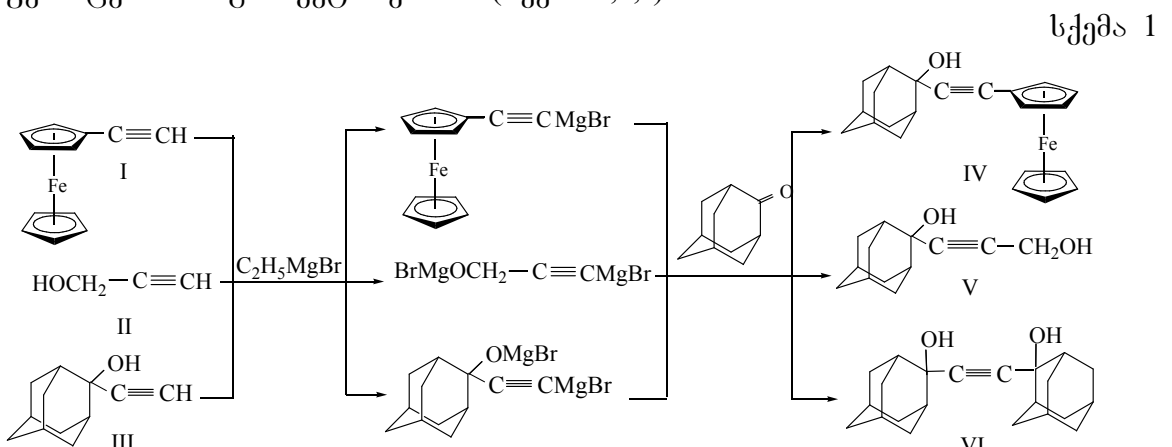
ფეროცენის ნაწარმები ხასიათდებიან ბიოლოგიური აქტიურობის ფართო სპექტრით [1-4,117-120]. აღსანიშნავია, რომ ადამანტანებიც ასევე გამოირჩევიან უნიკალური ფარმაკოლოგიური თვისებებით [10-16]. აღმოჩნდა, რომ ადამანტანის ლიპოფილური რადიკალის შეყვანა ცნობილი ბიოლოგიურად აქტიური ნაერთების მოლეკულებში ხშირ შემთხვევაში იწვევს პრეპარატის ტოქსიკურობის შემცირებას და ფარმაკოლოგიური მოქმედების გაძლიერებას, რაც აისანება ადამანტილის რადიკალის იმუნოგროპული და მემბრანოგროპული მოქმედებით [11-12]. ამ თვისებების გამო განხორციელებულ იქნა სხვადასხვა ჯგუფის პრეპარატების, მათ შორის ანტიბიოტიკების, გლიკოზიდების, ნეიროლეპტიკების, სტეროიდების და სხვათა მოდიფიცირება მათი ადამანტილირების ან ადამანტოილირების რეაქციით, დადებითი შედეგებით [11,12,15,16].

ბიოლოგიური აქტიურობის შესწავლის მიზნით, სინთეზირებულ იქნა ფეროცენშემცველი დიპიდროქსიაცეტილენებური ნაერთები [3,4,117-119]. დადგნილ იქნა ზოგიერთი წარმომადგენლის ანტიფანგვითი, ანტიბაქტერიული და ანტიკანცეროგენული მოქმედება. აღმოჩნდა, რომ 1-ფეროცენილ-1-ფენილ-1,4-დიპიდროქსი-2-ბუტინი Fc-A ამუღანებს ანტიკანცეროგენულ მოქმედებას. კანცეროგენის აპლიკაციის მომენტში სისხლში Fc-A-ს არსებობა ხელს უშლის ავთვისებიან სიმსივნის ტრანსფორმაციას და ასევე, გავლენას ახდენს უჯრედულ კულტურაში ადამიანის ლიმფოციტების მიტოზურ ინდექსზე. მოწოდებულია პრეპარატის ანტიკანცეროგენული მოქმედების სავარაუდო მექანიზმი [3].

ზემოაღნიშნულის გათვალისწინებით, პერსპექტიულად მივიჩნიეთ  $1,1^I$ -ბის-(1-ფენილ-1,4-დიპიდროქსი-2-ბუტინილ)ფეროცენის, Fc-A-ს პროტოპიპების ადამანტანის და ფეროცენის ერთდროულად შემცველი აცეტილენური რიგის ჰიდროქსინაწარმების სინთეზი და ზოგიერთი გარდაქმნა, მიღებული ნაერთების შედარებითი ბიოლოგიური აქტიურობის შესწავლის მიზნით.

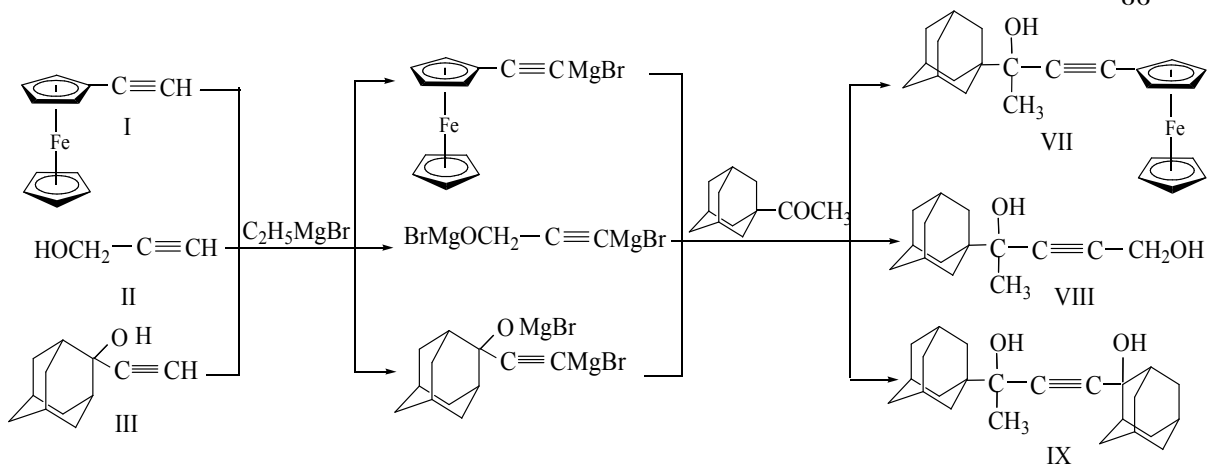
#### 2.1.1. ფეროცენ- და ადამანტანშემცველი ჰიდროქსიაცეტილენების სინთეზი და რადიკალის გავლენის შესწავლა

ჩატარებულ იქნა ეთინილფეროცენის (I), პროპარგილის სპირტის (II), 2-ჰიდროქსი-2-ეთინილადამანტანის (III) კონდენსაციის რეაქციები ადამანტანისა და ფეროცენის რიგის კეტონებთან (სქემა 1,2,3).

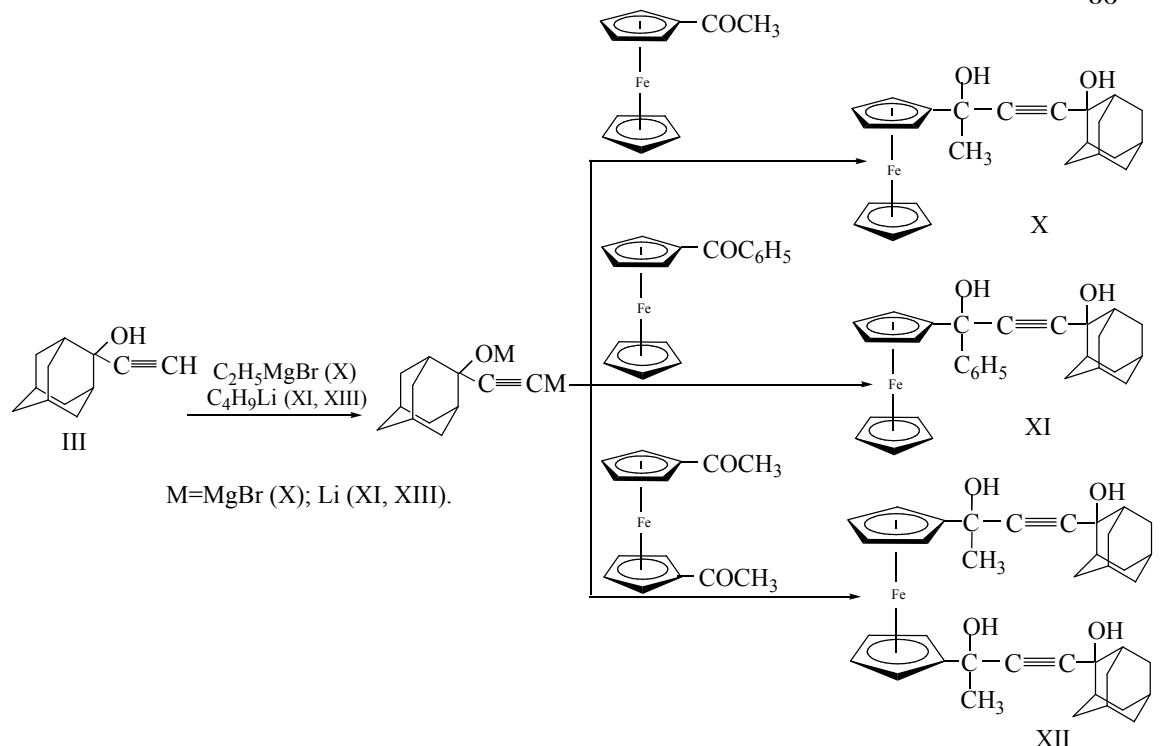


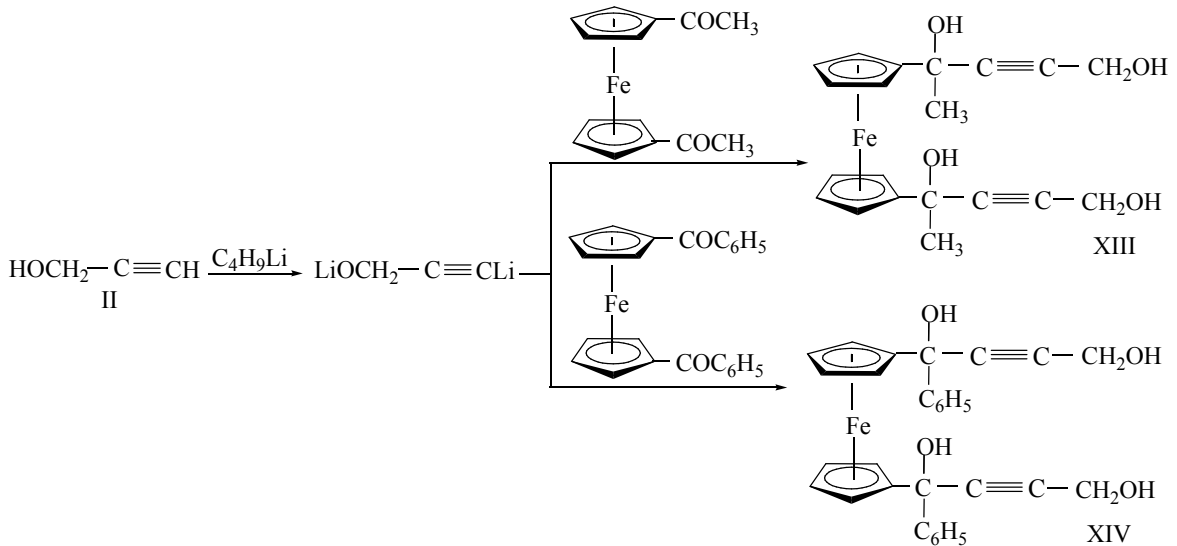
საწყის ეტაპზე მიღებულ იქნა ეთინილფეროცენის (I), პროპარგილის სპირტის (II), 2-ჰიდროქსი-2-ეთინილადამანგანის (III) მაგნიუმბრომიტარმოებულები ეთილბრომიდის გამოყენებით აბსოლუტური ეთერის არეში; მიღებული ნაერთების კონდენსაციის რეაქციები ჩავატარეთ ადამანგანონთან მორეაგირე კომპონენტების 2:1 თანაფარდობით ოთახის ტემპერატურაზე, მუდმივი მორევის პირობებში. შესაბამისი სპირტები 2-ჰიდროქსი-2-ფეროცენილეთინილადამანგანი (IV), 2-ჰიდროქსი-2-(1-ჰიდროქსიპროპინილ)ადამანგანი (V) და ბის(2-ჰიდროქსი-2-ადამანგანილ)აცეტილენი (VI) წარმოიქმნა 2.5სთ განმავლობაში (სქემა 1). ანალოგიურად ჩავატარეთ ეთინილფეროცენის, პროპარგილის სპირტის, 2-ჰიდროქსი-2-ეთინილადამანგანის მაგნიუმბრომიტარმოებულების კონდენსაციის რეაქცია აცეტილადამანგანონთან, აბსოლუტურ ტჰფ და დიეთოლის ეთერის არეში 1-ფეროცენილ-3-(1-ადამანგანილ)-3-ჰიდროქსიბურინ (VII), 4-ადამანგანილ-1,4-დიჰიდროქსიპროპინიბურინ-2 (VIII) და 1-(2-ჰიდროქსი-2-ადამანგანილ)-3-ჰიდროქსი-3-(ადამანგანილ-1)ბურინის (IX) 50-55% გამოსავლიანობებით (სქემა 2).

სქემა 2



სქემა 3





კვლევის შედეგად დადგენილ იქნა, რომ ნაერთების I-III მაგნიუმბრომფარმებულები ნუკლეოფილური გამხსნელების (ეთერი, ტჰი) არეში ადგილად შედიან რეაქციაში ადამანტანონთან და აცეტილამანტანთან, უფრო ძნელად აცეტილ და დიაცეტილფეროცენთან; ბენზოილ- და დიბენზოილფეროცენთან რეაქცია არ მიმდინარეობს, ხოლო ნაერთების I-III ლითიუმნატარმების გამოყენებით მიიღება შესაბამისი პიდროქსინაერთები კარგი გამოსავლიანობით.

ეთინილფეროცენის (I) მაგნიუმბრომფარმოებულის ურთიერთქმედებით რეაქცია ადამანტანონთან და აცეტილამანტანთან მიმდინარეობს 50% და 55% გამოსავლიანობით. აღმოჩნდა, რომ წარმოიქმნება ასევე თანამდე პროდუქტი დიფეროცენილდიაცეტილენი. დადგენილია, რომ დიმერიზაცია მიმდინარეობს ეთინილფეროცენის მაგნიუმბრომფარმოებულის მომზადებისას ოთახის ტემპერატურაზე პელიუმის არეში.

2-პიდროქსი-2-ეთინილადამანტანის დიმაგნიუმბრომფარმოებულის კონდენსაცია აცეტილფეროცენთან მიმდინარეობს შესაბამისი კარბინოლის 76% გამოსავლიანობით ეთერ-ბენზოლის არეში, ხოლო რეაქცია დიაცეტილფეროცენთან მიმდინარეობს რთულად, ადგილი აქვს შუალედური პროდუქტის (ერთ კარბინოლის ჯგუფთან), ასევე არაიდენტიფიცირებული გადალი R<sub>f</sub>-ის მქონე ნაერთის წარმოქმნას, ხოლო ძირითადი პროდუქტი მიიღება დაბალი გამოსავლიანობით (სქემა 3,4) [121-125].

ის სპექტრების და ელემენტური ანალიზის მონაცემები ადასტურებენ სინთეზირებული ნაერთების აგებულებას და შედგენილობას [121-123].

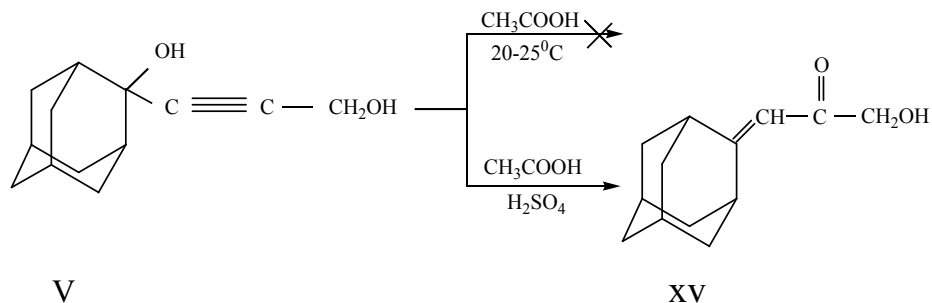
ნაერთების ეთინილფეროცენის, პროპარგილის სპირტის, 2-პიდროქსი-2-ეთინილადამანტანის მახასიათებელი შთანთქმის ზოლები ის სპექტრებში მდებარეობს 3310-3300 სმ<sup>-1</sup> ( $\equiv\text{C-H}$ ), და 2100-2090 სმ<sup>-1</sup> ( $\text{-C}\equiv\text{CH}$ ) უბანში, ხოლო კეტონების სპექტრებში 1720-1660 სმ<sup>-1</sup> ( $>\text{C=O}$ ). აღნიშნული შთანთქმის ზოლები არ შეიმჩნევა კონდენსაციის პროდუქტებში: 2-პიდროქსი-2-ფეროცენილეთინილადამანტანი (IV), 2-პიდროქსი-2-(1-ოქსიპროპინილ)ადამანტანი (V), ბის(2-პიდროქსი-2-ადამანტილ)აცეტილენი (VI), 1-ფეროცენილ-3-(1-ადამანტილ)-3-პიდროქსიბუტინი (VII), 4-ადამანტილ-1,4-დიპიდროქსიპენტინ-2 (VIII), 1(2-პიდროქსი-2-ადამან-

გილ)-3-ჰიდროქსი-3-(ადამანტილ-1)ბუტინი (IX), 1-(2-ჰიდროქსი-2-ადამანტილ)-ფეროცენილბუტინი (X), 1-ფეროცენილ-1-ფენილ-3-(2-ჰიდროქსი-2-ადამანტილ)-პროპინი (XI), 1,1'-ბის-(2-ჰიდროქსი-2-ადამანტილ)-ფეროცენილბუტინი (XII), 1,1'-ბის-(1,4-დიჰიდროქსიფეროცენილპენტინ-2) (XIII), 1,1'-ბის-(1-ფენილ, 1,4-დიჰიდრო-ქსი-2-ბუტინილ)ფეროცენი (XIV). იწ სპექტრებში არის მახასიათებელი შთანთქმის ზოლები 3600-3200 სმ<sup>-1</sup> (OH), 3000-2830, 1460, 1355, 1103, 770 სმ<sup>-1</sup> (C-H ადამანტილ, ოლქილ), 2260-2220 სმ<sup>-1</sup> (C≡C-დიჩანაცვლებული), ხოლო - IV, VII, X-XIV 3120-3030 სმ<sup>-1</sup> (C-H არომატული).

## **2.1.2. სინთეზირებული აცეტილენური რიგის სპირტების ანიონოტროპიული გადაჯგუფება**

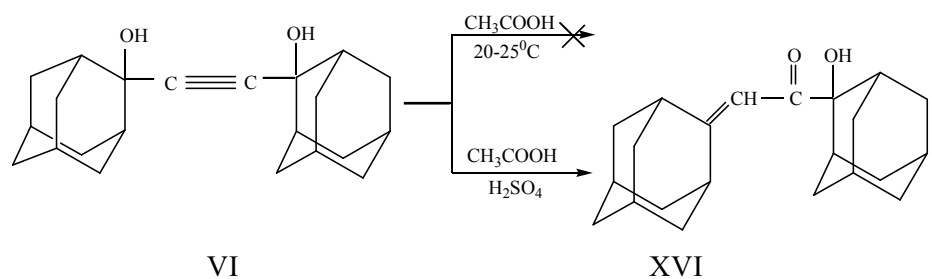
ცნობილია, რომ აცეტილენური რიგის სპირტები განიცდიან გადაჯგუფებას მჟავა კატალიზატორების თანაობისას. აღმოჩნდა, რომ ნაერთი 2-ჰიდროქსი-2- (1-ოქსიპროპინილ)ადამანტანი (V), ყინულოვანი ძმარმჟავას არეში ოთახის ტემპერატურაზე 30 °C განმავლობაში გადაჯგუფდება 1-ოქსო-1-ჰიდროქსიმეთილ-2-ადამანტილიდენეთანის (XV) წარმოქმნით; მიღებული ნაერთის გამოყოფის მიზნით სარეაქციო ნარევი დავშალეთ, გამოვყავით, მივიღეთ მოყავისფრო კრისტალები 80% გამოსავლიანობით (სქემა 5)[121].

სქემა 5

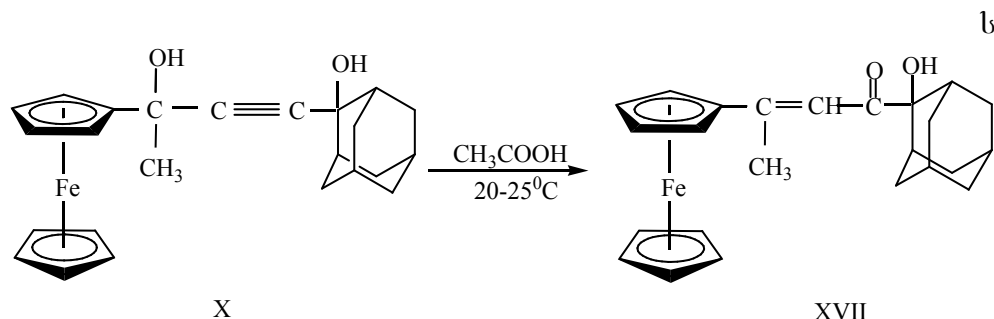


განსხვავებით V ნაერთისგან, ბის(2-ჰიდროქსი-2-ადამანტილ)აცეტილენი (VI) ეინულოვანი ძმარმჯავას არეში ოთახის ტემპერატურაზე არ გადაჯგუფდა, ხოლო, გოგირდმუქავას დამატებისას გარდაიქმნა უკერ კეტონოსპირტად, 1-ოქსო-1-(2-ჰიდროქსი-2-ადამანტილ)-2-ადამანტილიდენეთანის (XVI) წარმოქმნით (სქემა 6). გადაჯგუფებაზე მეტყველებს იწ სპექტრში წარმოქმნილი შთანთქმის ხოლოები: 1740, 1665, 1610 სმ<sup>-1</sup> ( $>\text{C} = \text{C} - \text{C} = \text{O}$ ) [121].

სექტანტ 6



1-(2-ჰიდროქსი-2-ადამანტილ)-3-ფეროცენილბუტინი (X) ყინულოვან მმარმეა-  
ვაში ოთახის ტემპერატურაზე განიცდის გადაჯგუფებას 1-ოქსო-1-(2-ჰიდროქსი-  
2-ადამანტილ)-3-ფეროცენილბუტენის (XVII) ნაერთის წარმოქმნით (სქემა 7).  
მნიშვნელოვაბია ის ფაქტი, რომ ნაერთი X შეიცავს ორ ჰიდროქსილის  
ჯგუფს, რომელთანაც რბილ ჰირობებში გადაჯგუფებას განიცდის მხოლოდ  
ფეროცენის ბირთვთან ა მდგომარეოვაში არსებული ჰიდროქსილის ჯგუფი,  
ხოლო ადამანტანის ბირთვთან მდგომი ჰიდროქსილის ჯგუფი ამ ჰირობებში  
ინერტული რჩება.



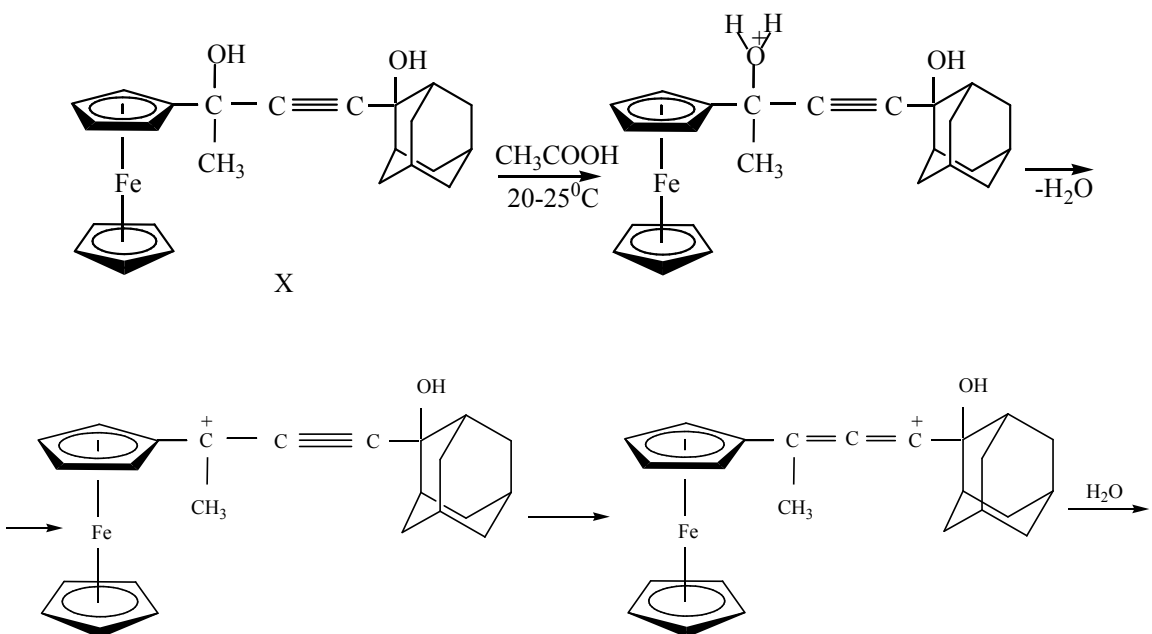
სქემა 7

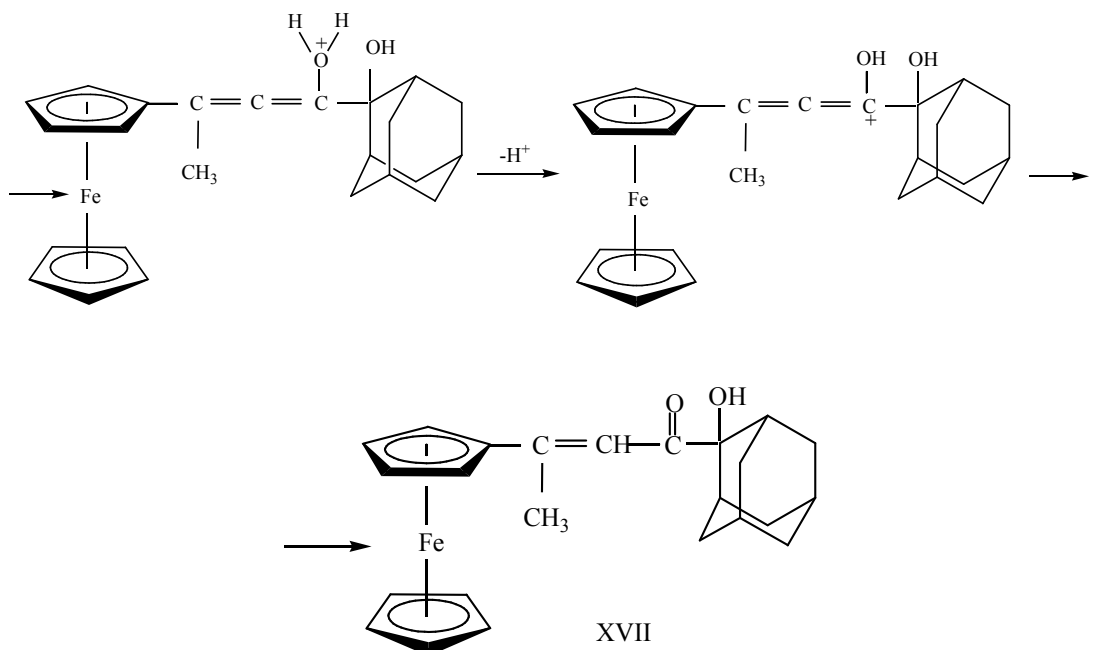
მნიშვნელოვანია ის ფაქტი, რომ ნაერთი X შეიცავს ორ პიდროქსილის ჯგუფს, რომელთანაც რბილ პირობებში, გადაჯგუფებას განიცდის მხოლოდ ფეროცენის ბირთბოთან ა მდგომარეოვაში არსებული პიდროქსილის ჯგუფი, ხოლო ადამანტანის ბირთვთან მდგომი პიდროქსილის ჯგუფი ამ პირობებში არ გადაჯგუფდა [12].

მოწოდებულია გადაჯგუფების სავარაუდო მექანიზმი (სქემა 8).

სექტემბერი 8

1-(2-ჰიდროქსი-2-ადამანტილ)-3-ჰიდროქსი-3-ფეროცენილბუტინის (X) ანიონოგროპული გადაჯდულების სავარაუდო მექანიზმი

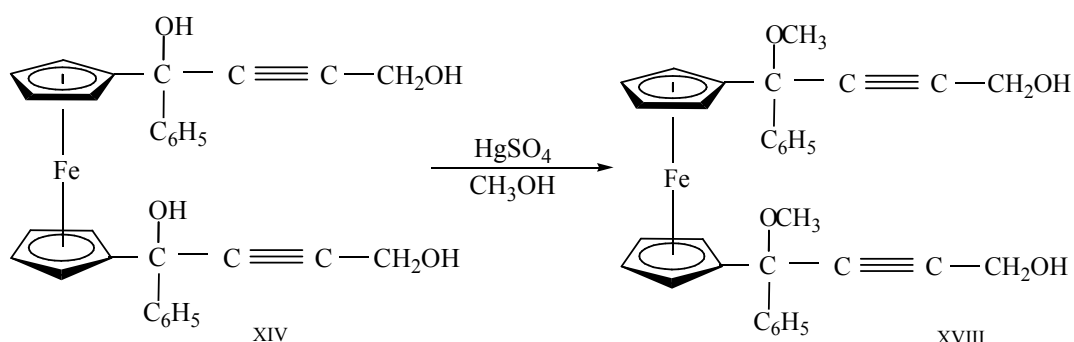




**1,1'-*ди*с-(1-*оксибензил-1,4-диизодинороксисо-2-дигидрооксид)оксироноксенис (XIV) გადაჯგუფება  
მეთილის სპირტში HgSO<sub>4</sub>-ის თანდასწრებით***

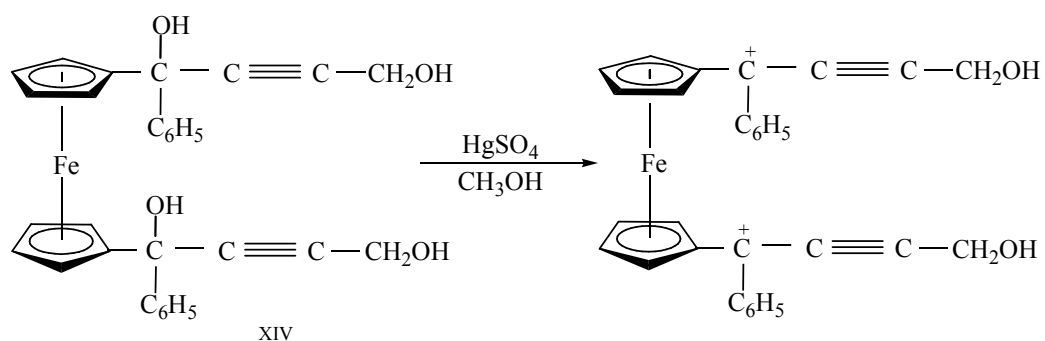
შესწავლით 1,1'-*ди*с-(1-*оксибензил-1,4-დიიზოდინოქსი-2-დიგიდროკსილ)ოქსირონოკსინიс (XIV) გადაჯგუფება აბსოლუტური ტბზე არეში მეთილის სპირტის თანაობისას კატალიზატორ HgSO<sub>4</sub>-ის გამოყენებით პროდუქტის 85% გამოსავლიანობით (სქემა 9) [121]. სავარაუდო მექანიზმი მოცემლია სქემა 10.*

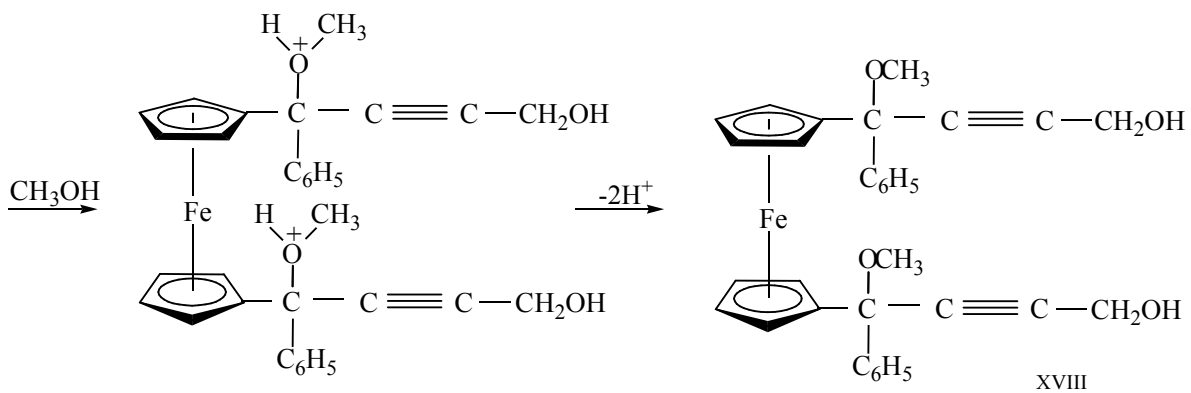
სქემა 9



სქემა 10

**1,1'-*ди*с-(1-*оксибензил-1,4-დიიზოდინოქსი-2-დიგидрооксид)ოქსირონოკსინიс (XIV)  
გადაჯგუფების სავარაუდო მექანიზმი***



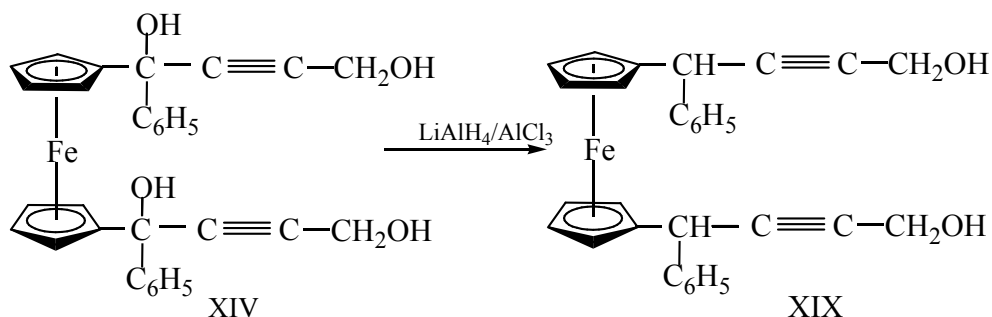


რეაქციის შედეგად მიღებულ იქნა მესამადი ჰიდროქსილის მეთოლირების პროდუქტი XVIII, რომლის იქ სპექტრი შეიცავს შთანთქმის ზოლებს 2255 სმ<sup>-1</sup> (C≡C) და 1023, 1075 სმ<sup>-1</sup> (C-O-C) [121].

### 1,1'-ბის(1-ფენილ-1,4-დიჰიდროქსი-2-ბუტინილ)ფეროცენის აღდგენა კომპლექსით LiAlH<sub>4</sub>/AlCl<sub>3</sub>

ლიტერატურაში ცნობილია აცეტილენური რიგის სპირტების აღდგენა [39]. ჩვენს მიერ განხორციელებულია 1,1'-ბის(1-ფენილ-1,4-დიჰიდროქსი-2-ბუტინილ)ფეროცენის (XIV) აღდგენა კომპლექსით LiAlH<sub>4</sub>/AlCl<sub>3</sub>. რეაქცია მიმდინარეობს სწრაფად მესამადი ჰიდროქსილის აღდგენით და შესაბამისი დიაცეტილენური რიგის ორატომიანი სპირტის XIX წარმოქმნით (სქემა 11) [121]:

სქემა 11



პელეგის შედეგები გვიჩვენებენ, რომ ჰიდროქსილის ჯგუფი ფეროცენის ბირთვთან α-მდგომარეობაში ადგილად განიცდის როგორც გადაჯგუფებას, ასევე აღდგენას ადამანტანის ბირთვთან მდგომი, რაც ადასტურებს მოსაზრებას, რომ ფეროცენის ბირთვთან α-კარბკატიონის სტაბილიზაციაში მონაწილეობას იღებს რკინის ატომიც [121,126].

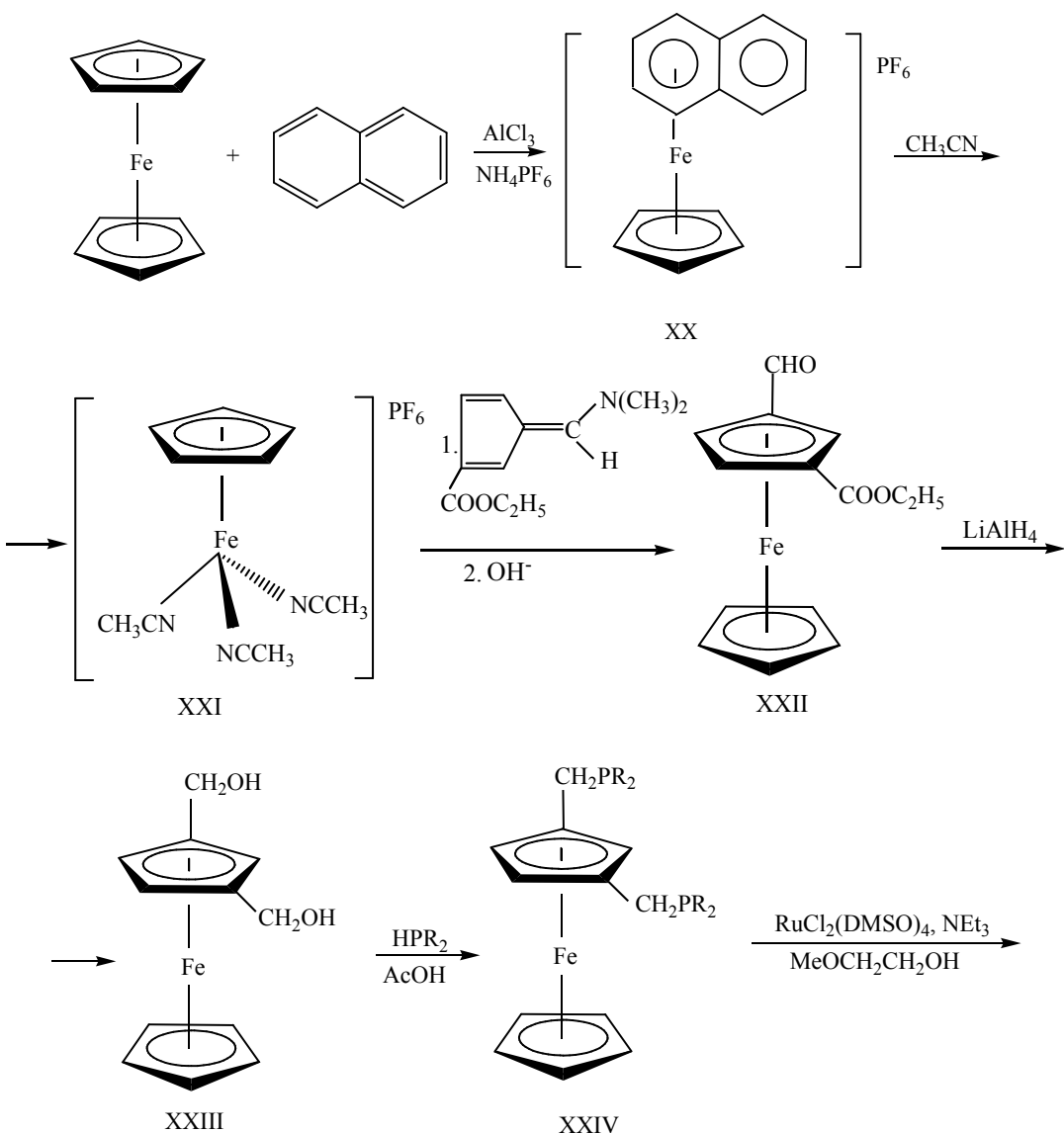
ნაერთები (V, VI, VIII, IX) სინთეზირებულ იქნა ცნობილი მეთოდიკების მიხედვით [41].

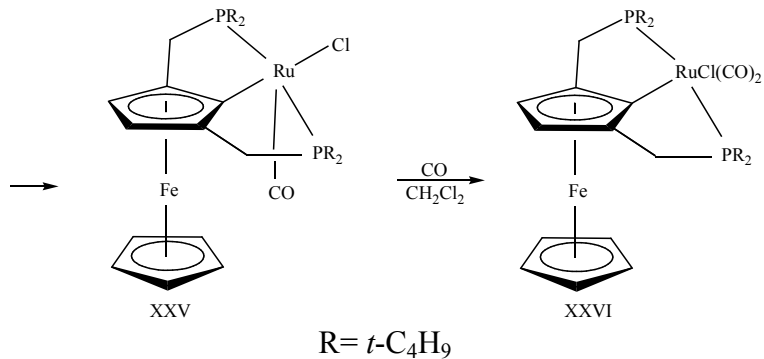
## 2.2. ფეროცენზე დაფუძნებული P,C,P პინსერული ლიგანდებისა და მათი ზოგიერთი რეაქციუმის კომპლექსის სინთეზი

P,C,P ტიპის პინსერული კომპლექსები წარმოადგენენ მრავალი ქიმიური რეაქციის აქტიურ პომოგენურ კატალიზატორებს. მათი მეშვეობით შესაძლებელია C-H, C-C, N-H და სხვა ბმების აქტივაცია.

მეტალოცენებზე დაფუძნებული პინსერული ლიგანდების სინთეზი ემყარება 1,3-დიფუნქციონალურ ჩანაცვლებული ფეროცენების მიღებას. ფეროცენები ციკლოაქტადიენილის რგოლში ორი ჩანაცვლებული ფუნქციონალური ჯგუფით შესაძლებელია მიღებულ იქნას შესაბამისი ფულვენებიდან [127]. 1,3-მდგომარეობაში CH<sub>2</sub>OH ჯგუფების შემცველი ნაერთები სინთეზირებულ იქნა შემდეგი სქემის (12) მიხედვით [127,128]:

სქემა 12





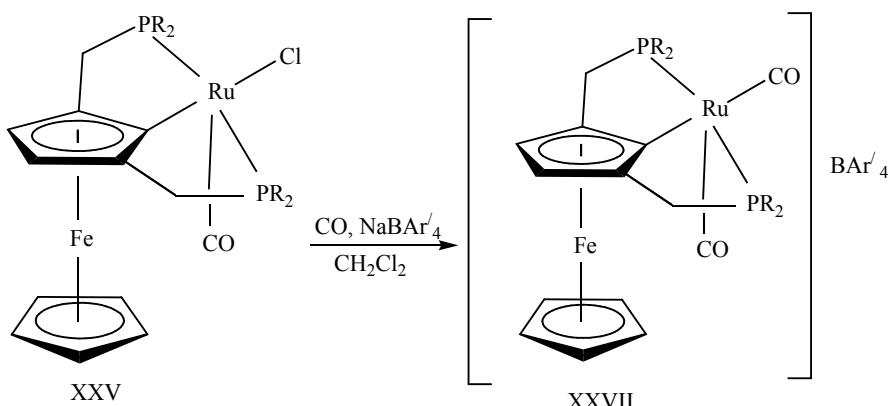
მიღებული ფეროცენზე დაფუძნებული პირველი რუთენიუმის კომპლექსი დახასიათებულ იქნა ბმრ, იწ საექტროსკოპის მეთოდებით და ელემენტური ანალიზით.  $^{31}\text{P}$  ბმრ საექტრი შეიცავს ორ ექვივალენტურ ფოსფორის ბირთვის სინგლეტურ სიგნალს 83.06 მნ.  $^1\text{H}$  ბმრ საექტრში ციკლო-პენტადიენილის წყალბადის ბირთვების ორი სინგლეტური სიგნალი შეინიშნება,  $\delta$  4.05 (5H) და 4.32 (2H) მნ. იწ საექტრში შეინიშნება კარბონილის ჯგუფის 1914 სმ<sup>-1</sup> ინტენსიური შთანთქმის ზოლი. CO ლიგანდის წყარო უნდა იყოს გამხსნელი. ცნობილია, რომ პლატინის ჯგუფის მეტალები ადვილად მოხლეებს CO-ს პირველადი სპირტებიდან [59]. მიღებული ნეიტრალური კომპლექსის სტრუქტურა დადგენილ იქნა რენტგენოსტრუქტურული კვლევის მონაცემებით. ძირითადი ატომთაშორისი მანძილები და კუთხეები მოცემულია ცხრილში (1). რუთენიუმის კომპლექსს გააჩნია ტეტრაგონალურ-პირამიდული გარემოცვა აპიკალური CO ლიგანდით, რომელსაც უკავია ენდო-მდგომარეობა ფეროცენის ჯგუფის მიმართ. P(1)-Ru(1)-P(2) ატომებს შორის კუთხე უდრის 155.92(4)<sup>o</sup> [128].

მონოკარბონილური კომპლექსი  $\text{RuCl}(\text{CO})[{}^{t\text{-Bu}}\text{P,C,P}^{\text{Fe}}]$  (XXV) ელექტრონულად გაუჯერებელია, ამიტომ იერთებს CO მოლეკულას ოქტაედრული დიკარბონილური კომპლექსის  $\text{RuCl}(\text{CO})_2[{}^{t\text{-Bu}}\text{P,C,P}^{\text{Fe}}]$  (XXVI) წარმოქმნით. რეაქცია ტარდება CO-ს ნაკადის ბარბოტირებით მონოკარბონილური კომპლექსის ხსნარში.

დიკარბონილური კომპლექსი  $\text{RuCl}(\text{CO})_2[{}^{t\text{-Bu}}\text{P,C,P}^{\text{Fe}}]$  დახასიათებულია ბმრ ( $^1\text{H}, {}^{13}\text{C}, {}^{31}\text{P}$ ) და იწ საექტრებით. კომპლექსი საკმაოდ ლაბილურია და ადვილად კარგავს CO მოლეკულას [128].

მონოკარბონილურ კომპლექსის ნატრიუმის ტეტრაარილბორატის  $\text{NaBAr}'_4$  ( $\text{Ar}' = 3,5\text{-}(\text{CF}_3)_2\text{C}_6\text{H}_3$ ) მოქმედებით CO თანაობისას მიღებულ იქნა კატიონური პინსერული კომპლექსი (XXVII) (სქემა 13).

სქემა 13



სინთეზირებული კატიონური კომპლექსის სტრუქტურა დადგენილია იშვიათ, და რენტგენოსტრუქტურული კვლევის მეთოდებით [128].

ამრიგად, ფეროცენის საფუძველზე პირველად სინთეზირებულია რუთენიუმის როგორც ნეიტრალური, ასევე კატიონური პინსერული კომპლექსები.

კატიონური კომპლექსის რენტგენოსტრუქტურული კვლევის მონაცემები მოცემულია ცხრილი 1.

ცხრილი 1  
 $\{\text{RuCl}(\text{CO})_2[\text{t-BuP}_2\text{C}_2\text{P}^{\text{Fe}}]\}\text{BAr}_4$  (XXVII) კატიონური კომპლექსის  
 რენტგენოსტრუქტურული კვლევის მონაცემები.

ბმის სიგრძეები $d/\text{\AA}$	კუთხის ზომები $\text{\AA}^\circ$
Ru(1)—C(1)	2.047(3)
Ru(1)—C(29)	1.978(3)
Ru(1)—C(30)	1.816(3)
Ru(1)—P(1)	2.3936(9)
Ru(1)—P(2)	2.4288(9)

### 2.3. აცეტონიტრილ ლიგანდის შემცველი რენტგენის კარბონილ კომპლექსების მიღების ზოგიერთი საკითხი

ლიტერატურაში აღწერილი მეთოდებით აცეტონიტრილ ლიგანდის შემცველი რენტგენის კარბონილ კომპლექსების სინთეზი დიდი რაოდენობით აცეტონიტრილს მოითხოვს. გარდა ამისა, ყველა ლიტერატურულ წყაროში სინთეზები მცირე რაოდენობის რეაგენტებით ტარდება ( $0.5 \div 3$  მმოლი) და შესაბამისად მცირე რაოდენობის პროდუქტი მიიღება. მაშასადამე, ამ მეთოდების რეალიზაციისას დიდი რაოდენობით აცეტონიტრილი, ადსორბები და ელუენტი იხარჯება; ამავე დროს, მინარევების შემცველობა სხვადასხვა ექსპერიმენტში მიღებულ პროდუქტში განსხვავებულია. აქედან გამომდინარე, ჩვენს მიზანს წარმოადგენდა აცეტონიტრილ ლიგანდის შემცველი დირენიუმის კარბონილ კომპლექსების სინთეზის ისეთი პრეპარატული მეთოდების შემუშავება, რომლებიც შესაძლებელს გახდიდა ერთი სინთეზის ფარგლებში  $6 \div 10\%$   $\text{Re}_2(\text{CO})_9(\text{CH}_3\text{CN})$  და  $\text{Re}_2(\text{CO})_8(\text{CH}_3\text{CN})_2$  მიღებულიყო, რაც საშუალებას მოგვცემდა შემდგომ მეტალორგანულ სინთეზებში ერთჯერადად მიღებული კომპლექსები გამოგვევლინა. ჩვენს მიერ შემუშავებულ მეთოდს საფუძვლად დაედო ლიტერატურული წყარო [62], რომელშიც მიზნობრივ პროდუქტებს ღებულობენ აცეტონიტრილში, რომელიც ერთდროულად გამოიყენება როგორც გამსხვევლი და რეაგენტი.

$\text{Re}_2(\text{CO})_{10} - (\text{CH}_3)_3\text{NO} - \text{CH}_3\text{CN}$  სისტემაში რეაქცია ოთახის ტემპერატურაზე  $10$  წუთში მთავრდება. რეაქციის დასრულების შემდეგ სარეაქციო არე ძირითადად  $\text{Re}_2(\text{CO})_8(\text{CH}_3\text{CN})_2$  და  $\text{CH}_3\text{CN}$  შეიცავს. ასევე, ხსნარში არის  $(\text{CH}_3)_3\text{NO}$ , რომელიც მცირე სიჭარითადა აღებული  $(\text{Re}_2(\text{CO})_{10} : (\text{CH}_3)_3\text{NO} = 1 : 2.05)$  და რეაქციის შედეგად წარმოქმნილი  $(\text{CH}_3)_3\text{N}$ , რომელიც სარეაქციო არეში არგონის ბარბატირებისას ნაწილობრივ გამოიდევნება სარეაქციო ხსნარიდან. ამგვარად, რეაქციის დასრულების შემდეგ, სარეაქციო არე მხოლოდ ძირითადი პროდუქტისა და აცეტონიტრილისაგან შედგება. ჩვენ შესაძლებლად ჩავთვალეთ ამ სისტემის ხელმეორედ გამოყენება და იგივე სინთეზის გამოყენება მიღებული პროდუქტის  $\text{Re}_2(\text{CO})_8(\text{CH}_3\text{CN})_2$  გამოყოფის გარეშე. დადგენილია, რომ სარეაქციო ხსნარში  $\text{Re}_2(\text{CO})_{10}$  და  $(\text{CH}_3)_3\text{NO}$  ახალი

ულუფების შეტანა არ იწვევს თანამდე პროცესებს და მხოლოდ ორჩანაცვლებული რენიუმის კარბონილის კომპლექსი წარმოიქმნება. სარეაქციო ნარევში ახალი ულუფის შეტანა 20 წთ-ის შემდეგ მოხდა სარეაქციო ნარევის ტემპერატურის უმნიშვნელო აწევისა ( $35^{\circ}\text{C}$ ) და არგონის ენერგიული ბარბატირების პირობებში. ცნობილ მეთოდთან [62] შედარებით, ჩვენს მიერ გამოყენებულია ორჯერ ნაკლები რაოდენობის აცეტონიტრილი და სარეაქციო არეში 3÷5 ჯერ მეტი დირენიუმის დეკაკარბონილია შეტანილი მიზნობრივი პროდუქტის გამოყოფის გარეშე. ამ მეთოდით შესაძლებელი გახდა ერთი ექსპერიმენტის პირობებში 6÷10 გ  $\text{Re}_2(\text{CO})_8(\text{CH}_3\text{CN})_2$ -ის მიღება (2,6- და 2,3-იზომერები თანაფარდობით 4:1).

დირენიუმის ერთჩანაცვლებული ნიტრილიანი კომპლექსის მიღება ჩვენს მიერ მოდიფიცირებული მეთოდიკით არის ჩატარებული.  $\text{Re}_2(\text{CO})_{10}$  -ს სხვარს აცეტონიტრილში აწვეთებენ  $\text{CH}_3\text{CN}$  -ში გახსნილ ტრიმეთილამინოქსიდს. რეაქციის დასრულების შემდეგ სარეაქციო ნარევში მყარი კარბონილისა და ტრიმეთილამინოქსიდის სხვარის შეტანა 5-ჯერ განხორციელდა, რის შედეგადაც  $\text{Re}_2(\text{CO})_9(\text{CH}_3\text{CN})$  90%-იანი გამოსავლიანობით არის მიღებული.

შემუშავებულია 2,6-იზომერის გამოყოფის მეთოდი შედარებით მცირე რაოდენობის ადსორბენტით ( $100\text{g}$ , ელუენტი - ბენზოლი). რეაქციაში გამოყენებული აცეტონიტრილი რეგენერაციის შემდეგ პლავ იქნა გამოყენებული დირენიუმის აცეტონიტრილიანი კომპლექსის მისაღებად. ამრიგად,  $\text{Re}_2(\text{CO})_8(\text{CH}_3\text{CN})_2$ -ის სინთეზის ცნობილი მეთოდის ოპტიმიზაციით შესაძლებელი გახდა ერთი ექსპერიმენტის პირობებში პრეპარატული რაოდენობა ( $6÷10$  გ) აცეტონიტრილიანი კომპლექსის მიღება.

### 2.3.1. ფეროცენშემცველი ოქრო-რენიუმის ჰეტერომეტალური კლასტერების სინთეზი

ელექტრონის გადატანის პროცესების შესწავლა წარმოადგენს ქიმიისა და ბიოლოგიის ერთერთ მნიშვნელოვან საკითხს. დიდ ინტერესს იწვევს მოლეკულური ნაერთების მიღება ნანოზომის ელექტრონული და ოპტიკური მოწყობილობების შესაქმნელად [129]. ამ თვალსაზრისით ფრიად საინტერესოა რამოდენიმე მეტალის ატომის შემცველი ნაერთების - (კომპლექსები, კლასტერები და სხვ) მიღება, რომლებიც ერთდროულად შეიცავენ როგორც მეტალ-მეტალ, ასევე მეტალ-ნახშირბადის (ან სხვა ელემენტის) ბმებს. შიდამოლეკულური ელექტრონული კომუნიკაცია ხშირად ხორციელდება ასევე σ-პოლიინილ ფრაგმენტების მეშვეობით, რომლებიც ასრულებენ გამტარის როლს მოლეკულაში. ამჟამად ინტესიურად იკვლევენ  $M\text{-C}_n\text{-M}$  ჯაჭვების შემცველ ნაერთებს, სადაც  $C_n$  წარმოადგენს პოლიინილ ჯგუფს. შერეული ვალენტობის [Mixed-Valence (MV)] ნაერთები შეიძლება განვიხილოთ, როგორც მარტივი სისტემები ელექტროგამტარი მოდელების ტესტირებისათვის. ამ სისტემებში არსებით კომპონენტებს წარმოადგენენ ელექტრონის დონორი (**D**) და აქცეპტორი (**A**), რომლებიც დაკავშირებულია ხიდური (სპეციებური) ბმებით. ასევე საინტერესო შედეგებია მიღებული იმ სისტემებისათვის, რომლებიც მეტალ-მეტალ ხიდებს შეიცავენ. ფეროცენი ხასიათდება მაღალი შექცევადი რედოქს-თვისებებით და მდგრადი (+1/0) წყვილის გამო ის ხშირად გამოიყენება ელექტრონის გადატანის შესასწავლად [130-131].

უკანასკნელ წლებში დიდი ძალის ხმევაა მიმართული ელექტრონული კომუნიკაციის შესასწავლად მეტალ-შემცველი ფრაგმენტებისა და კლასტერების მეშვეობით. ამ მიზნით, რედოქს-ცენტრებად ფეროცენილ ჯგუფებს იყენებენ და ხშირად, საწყისი ნაერთის როლს ასრულებს ეთინილფეროცენი. ეთინილფეროცენის რეაქციები თსმიუმისა და რუთენიუმის კლასტერულ კარბონილებთან პირველად აღწერილია ა. ქორიძის მიერ 1987 და 1992 წლებში [67,129,130]. ამჟამად ცნობილია ორბირთული და კლასტერული კომპლექსების დიდი რიცხვი ფეროცენილეთინილური ლიგანდით. თუმცა, ექვივალენტური ფეროცენილური ჯგუფების შემცველი მეტალური კლასტერების მაგალითები იშვიათია და მხოლოდ რამდენიმე მათგანია სტრუქტურულად დახასიათებული. კლასტერული ფრაგმენტების შემცველ მოლეკულურ ჩონჩხში ელექტრონის გადატანის დამადასტურებელი მაგალითები მცირეა და ორი ექვივალენტური ფეროცენილ ჯგუფების შემცველ ცნობილ კლასტერებში მეტალ-მეტალ სპეისერები არ ახდენენ ფეროცენის ერთეულებს შორის ეფექტურ ელექტრონულ კომუნიკაციას.

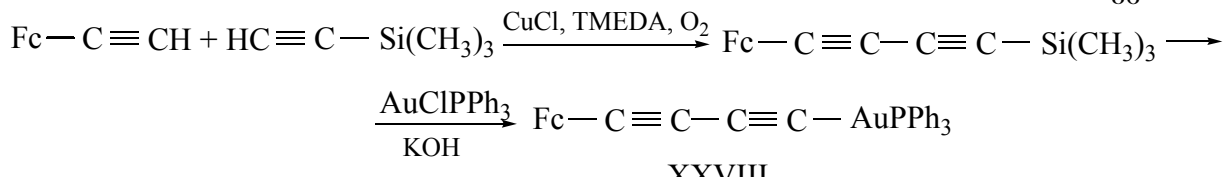
გარდამავალ მეტალთა კლასტერული კარბონილების ალკინური და ალკინილური (აცეტილენილური) ნაწარმები მეტალორგანულ ნაერთთა მნიშველოვან კლასს წარმოადგენს [67,129]. მათ მიმართ ინტერესი გამოწვეულია ნახშირწყალბადოვანი ლიგანდების მრავალმხრივი კოორდინაციის შესაძლებლობებით მეტალურ ჩონჩხთან და ლიგანდების უჩვეულო გარდაქმნებით. ეს გარდაქმნები მოიცავს უჯერი ნახშირწყალბადების ოლიგომერიზაციას, რომელსაც ზოგჯერ თან ახლავს CO ჯგუფთან შეუდლება და რაც განსაკუთრებით აღსანიშნავია, C-C და C-H ბმების წარმოქმნა და გაწყვეტა. ამ მხრივ უკეთაზე მდიდარია რუთენიუმისა და თსმიუმის ალკინურ და ალკინილურ ნაწარმების კლასტერების ქიმია. ამავე დროს, რენიუმის კლასტერების შესაბამისი ნაერთები ნაკლებადაა შესწავლილი.

ოქრო-რენიუმის პეტერომეტალური კლასტერების მისაღებად საწყისი ნივთიერებების - ეთინილფეროცენისა და ბუტადინინილფეროცენის ნაწარმების სინთეზი განხორციელდა შემდეგი სქემის მიხედვით:

ფეროცენი (FcH) → მონოაცეტილფეროცენი →  $\beta$ -ქლორ- $\beta$ -ფეროცენილაკროლეინი → ეთინილფეროცენი → 1-ტრიმეთილსილილ-4-ფეროცენილ-1,3-ბუტადინი → 1-[({ტრიფენილფოსფინი} ოქრო]-4-ფეროცენილ-1,3-ბუტადინი .

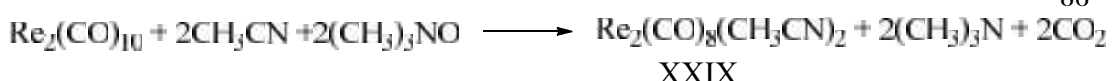
კომპლექსის  $\text{Au(PPh}_3\text{)(C}_4\text{Fc)}$  (XXVIII) სინთეზი განხორციელებულია სქემა 14-ის მიხედვით:

სქემა 14



დირენიუმის კარბონილის ბის-აცეტონიტრილიანი კომპლექსი XXVIII მიღებულია აცეტონიტრილში  $25\text{-}35^{\circ}\text{C}$ -ზე ტრიმეთილამინის თანაობისას [135] (სქემა 15):

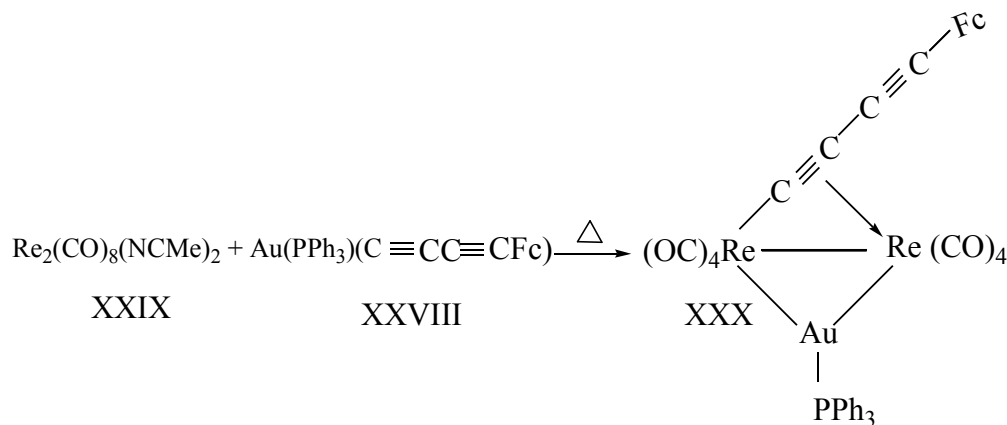
სქემა 15



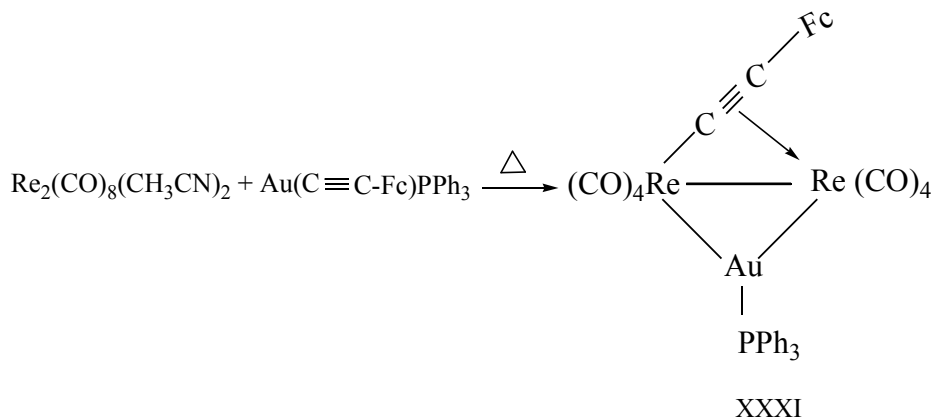
ოქროს ფეროცენილბუტადინილ ნაწარმის  $\text{Au(PPh}_3\text{)(C}_4\text{Fc)}$  (XXVIII) ურთოერთქმედებით კომპლექსთან  $\text{Re}_2(\text{CO})_8(\text{NCMe})_2$  (XXIX) არომატული ნახშირწყალ-

ბადების არეში (ტოლუოლი, ეთილბენზოლი, ქსილოლი) 80-110°C წარმოიქმება ხიდური ფეროცენილბუტადიინილის ლიგანდის შემცველი სამბირთვული დირენიუმ-ოქროს პეტერომეტალური კლასტერი XXX (სქემა 16) [132,133]:

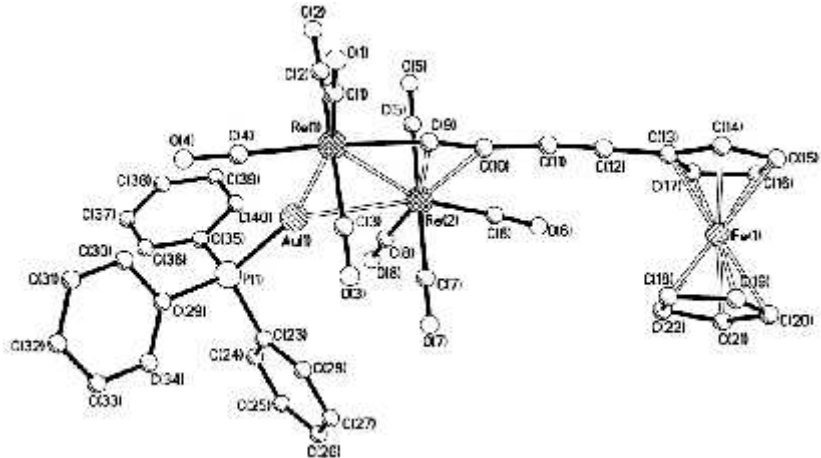
სქემა 16



კლასტერის XXX სპექტრალური მახასიათებლები ფეროცენილეთინილური კომპლექსის  $\{\text{Re}_2(\text{AuPPh}_3)(\mu\text{-C}_2\text{Fc})(\text{CO})_8\}$  (XXXI), (სქემა 17) მსგავსია და მიუთოვებს მათი აღნაგობის ერთგვარობაზე (XXXI კომპლექსის სპექტრალური სქემა 17



მონაცემები მოცემულია ექსპერიმენტულ ნაწილში [57]). პირველად კომპლექსი XXXI მიღებული და დახასიათებული იყო ა. ქორიძისა და თანამშრომლებლის მიერ [54,57]. კომპლექსის XXX  $^{31}\text{P}\{^1\text{H}\}$  ბმრ სპექტრში აღინიშნება ერთადერთი სიგნალი  $\delta$  81.78.6.  $^1\text{H}$  ბმრ სპექტრში ფეროცენილის ჯგუფის რეზონანსული სიგნალებია  $\delta$  4.26 ( $t, J_{\text{H-H}}=1.7 \text{ Hz}, 2\text{H}$ ), 4.27( $s, 5\text{H}$ ) და 4.56 ( $t, J_{\text{H-H}}=1.7 \text{ Hz}, 2\text{H}$ ), ხოლო ტრიფენილფოსფინის სამი ფენილის ჯგუფის პროტონების მულტიპლეტი აღინიშნება 7.45-7.57.6. ველის არეში. დადგენილია, XXX კომპლექსთან ერთად დაბალი გამოსავლიანობით წარმოიქმნება მუქი-წითელი კლასტერი  $\text{Re}_4(\text{AuPPh}_3)(\mu_4\text{-C}_2)(\mu_3\text{-C}_2\text{Fc})(\text{NCMe})(\text{CO})_{13}$  (XXXII), რომელიც წარმოადგენს XXVIII-ის და XXIX რეაქციის მთავარ პროდუქტს. კომპლექსების XXX და XXXII სინთეზის პირობები ერთნაირია, მაგრამ მათი გამოსავლიანობა მნიშვნელოვნად განსხვავდება (შესაბამისად 77% და 30%). კომპლექსების XXX და XXXII აღნაგობა დამტკიცებულია მონოკრისტალის რენტგენოსტრუქტურული გამოკლევით (ნახატი 1) [132-134].



კომპლექსის  $\text{Re}_2\text{Au}(\text{PPh}_3)(\mu\text{-C}_4\text{Fc})(\text{CO})_8$  (XXX) მოლეკულური სტრუქტურა.

კომპლექსის XXX -ის ზოგიერთი კრისტალოგრაფიული პარამეტრი მოცველია ცხრილში 2.

ცხრილი 2

$\text{Re}_2\text{Au}(\text{PPh}_3)(\text{C}_4\text{Fc})(\text{CO})_8$  (XXX) კომპლექსის ზოგიერთი კრისტალოგრაფიული პარამეტრი.

პარამეტრი	მახასიათებელი
მოლეკულური ფორმულა	$\text{C}_{40}\text{H}_{24}\text{O}_8\text{PAuFeRe}_2$
მოლური მასა	1288.78
სინგონია	მონოკლინური
სივრცითი ჯგუფი	$\text{P}2_1/\text{c}$
ელემენტური უჯრედის პარამეტრი	$a/\text{\AA}$
	12.6585(6)
	$b/\text{\AA}$
	17.3929(7)
	$c/\text{\AA}$
	17.1033(8)
ელემენტური უჯრედის მოცულობა, $\text{V}/\text{\AA}^3$ .	$\alpha/\text{გრად}$
	90
	$\beta/\text{გრად}$
	97.744(1)
	$\gamma/\text{გრად}$
	90
Z	4
რენტგენული სიმკვრივე, $d_{\text{გამო/გ.ლმ}}^{-3}$	2.294
ბრეგის კუთხის მაქსიმალური მნიშვნელობა, $2\Theta_{\text{მაქ}}/\text{გრად}$	58
დიფრაქტომეტრი	SMART APEX II
გამოსხივება	Mo-Kα ( $\lambda=0.71073 \text{ \AA}$ )
შთანთქმის კოეფიციენტი, $\mu/\text{s}^{-1}$	108.63
დამოუკიდებლი არეალის რაოდენობა, ( $R_{\text{int}}$ )	9885(0.0780)
$R_1(F)$ არეალის მნიშვნელობა, $I > 2\sigma(I)$	0.0331(7626)
$wR_2(F^2)$ უკეთესობა	0.0668

რადგან ჩვენს მიზანს წარმოადგენდა ცნობილი [54] ბის-ფეროცენ-ალკინური კომპლექსის,  $\text{Re}_4(\text{AuPPh}_3)_2(\mu_3\text{-C}_2\text{Fc})_2(\text{CO})_{12}$  (XXXIII) ბის-ფეროცენდი-ინული ანალოგის  $\text{Re}_4(\text{AuPPh}_3)_2(\mu_3\text{C}_4\text{Fc})_2(\text{CO})_{12}$  (XXXIV) სინთეზი, პირველ ეტაპზე მიღებულ იქნა ოქრო-დირენიუმის კომპლექსი  $\text{Re}_2(\text{AuPPh}_3)(\mu\text{-C}_4\text{Fc})(\text{CO})_8$

(XXX). როგორც ზემოთ იყო აღნიშნული, მისი სპექტრალური თვისებები მიუთითებს ამ კომპლექსის და ცნობილი კლასტერის  $\text{Re}_2(\text{AuPPh}_3)(\mu\text{-C}_2\text{Fc})(\text{CO})_8$  (XXXI) აღნაგობის ერთგვარობაზე. ეს ცალსახად დადგინდა აგრეთვე კომპლექსის XXX რენტგენოსტრუქტურული ანალიზის შედეგად (ნახატი 1) [132].

XXX კომპლექსთან ერთად დაბალი გამოსავლიანობით წარმოიქმნება მუქი-წითელი კლასტერი  $\text{Re}_4(\text{AuPPh}_3)(\mu_4\text{-C}_2)(\mu_3\text{-C}_2\text{Fc})(\text{NCMe})(\text{CO})_{13}$  (XXXII), რომლის აღნაგობა დადგინდა მონოკრისტალის რენტგენოსტრუქტურული კვლევის შედეგად (ნახატი 2).

ჩვენი მრავალი ცდა მიგვეღო კლასტერი  $\text{Re}_4(\text{AuPPh}_3)_2(\mu_3\text{-C}_2\text{Fc})_2(\text{CO})_{12}$  (XXXIII) სხვადასხვა პირობებში უშედეგო აღმოჩნდა. სავარაუდოდ, ის წარმოიქმნება ძალიან დაბალი გამოსავლიანობით, მაგრამ მისი გამოყოფა ქრომატოგრაფიული მეთოდებით ჯერ ვერ ხერხდება: თუმცა პროდუქტების ნარევის  $^{31}\text{P}\{\text{H}\}$  ბმრ სპექტრში აღინიშნება სიგნალი  $\delta$  90.26, რომელიც ფაქტოურად ემთხვევა კომპლექსის  $\text{Re}_4(\text{AuPPh}_3)_2(\mu_3\text{-C}_2\text{Fc})_2(\text{CO})_{12}$  სიგნალს ( $\delta$  90.40) [54].

კომპლექსის XXXII იწ სპექტრი მიუთითებს მხოლოდ ტერმინალურ  $\text{CO}$  ლიგანდებზე.  $^{31}\text{P}\{\text{H}\}$  ბმრ სპექტრში მხოლოდ სინგლეტი  $\delta$  72.46 მ.ნ. არის რეგისტრირებული.  $^1\text{H}$  ბმრ სპექტრი შეიცავს სინგლეტს კოორდინაციული აცეტონიტრილის მეთილისა  $\delta$  2.17(3H); ციკლოპენტადიენილის ჯგუფის პროტონები აღინიშნება არეში  $\delta$  4.09(5H), 4.30(~t, 2H) და 4.73 (br-s, 2H), ხოლო  $\text{PPh}_3$  ლიგანდის ფენილის ჯგუფის პროტონები როგორც მულტიპლეტი 87.3-7.6 (15 H).

როგორც ჩანს (ნახატი 2) მოლეკულა XXXII შეიცავს  $\text{Re}_3$  ჩონჩხს ატომებისაგან  $\text{Re}(1)$ ,  $\text{Re}(2)$  და  $\text{Re}(3)$ ; მანძილები  $\text{Re}(1)\text{-Re}(2)$  და  $\text{Re}(1)\text{-Re}(3)$ , შესაბამისად 2.9823(5) და 2.8915(5) $\text{\AA}$ , არიან მაკავშირებელი (უფრო დაშორებული ატომები  $\text{Re}(1)\text{-Re}(2)$  შეკავშირებულნი არიან ხიდით  $\text{AuPPh}_3$ ), მანძილი ატომებს შორის  $\text{Re}(2) \dots \text{Re}(3)$  3.5909(5) $\text{\AA}$  არ არის დამაკავშირებელი. ყოველ რენტგენის ატომთან კოორდინირებულია სამი ტერმინალური კარბონილური ჯგუფი.

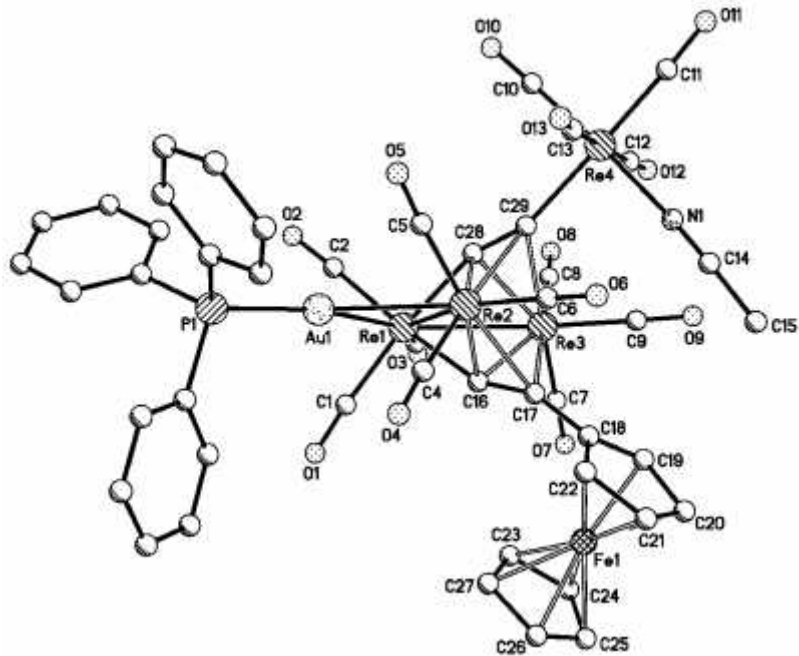
კლასტერის XXXII განსაკუთრებულ თავისებურებას წარმოადგენს ორი ლიგანდის,  $\mu_4\text{-C}_2$  და  $\mu_3\text{-C}_2\text{Fe}$ , არსებობა, რომლებიც წარმოიქმნა ბუტადიინილის ლიგანდის ცენტრალური C-C ბმის გახლების შედეგად. დიკარბიდური ლიგანდი აწარმოებს σ-ბმებს ატომებთან  $\text{Re}(1)$  და  $\text{Re}(4)$  (უკანასკნელს აქვს ოქტაედრული გარემოცვა, აცეტონიტრილი ლიგანდი ფრაგმენტი  $\text{Re}_4(\text{CO})_4\text{NCMe}$  იკავებს ცის-პოზიციას ბმასთან C(29)- $\text{Re}(4)$  მიმართებაში) და π-კოორდინირებულია ატომებთან  $\text{Re}(2)$  და  $\text{Re}(3)$ . დიკარბიდურ ლიგანდში C(28)-C(29) ბმის სიგრძე არის 1.273(13) $\text{\AA}$ . ფეროცენალკინური ლიგანდი  $\text{C}_2\text{Fe}$  წარმოქმნის σ-ბმას ატომთან  $\text{Re}(1)$  და π-ბმებს ატომებთან  $\text{Re}(2)$  და  $\text{Re}(3)$ . ასე რომ, ლიგანდები  $\mu_4\text{-C}_2$  და  $\mu_3\text{-C}_2\text{Fe}$  დონირებენ კლასტერზე შესაბამისად ექვს და ხუთ ელექტრონს.

თუმცა არსებობს რამდენიმე მაგალითი დინის C-C ბმის გახლებისა მეტალკლასტერებზე [128], კომპლექსის XXXII წარმოქმნა უნდა იყოს პირველი მაგალითი C-C ბმის გახლებისა რენტგენის კარბონილურ კლასტერზე.

ადვილი გახლება ბუტადიინილის C-C ბმისა კომპლექს XXXII მიღებისას გვიჩვენებს, რომ უჯერი ორგანული ნაერთების ქიმია რენტგენის კარბონილურ კლასტერებზე შეიძლება იყოს ისეთივე მდიდარი და ხშირად მოულოდნეული,

როგორც ეს ახასიათებს რუთენიუმის და ოსმიუმის კლასტერებს (ნახატი 2) [67, 132, 134].

ნახატი 2



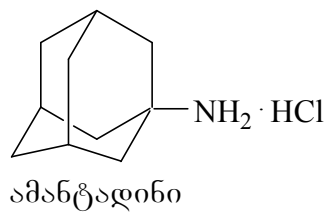
Re<sub>4</sub>(AuPPh<sub>3</sub>)(μ<sub>4</sub>-C<sub>2</sub>)(μ<sub>3</sub>-C<sub>2</sub>Fc)(NCMe)(CO)<sub>13</sub> (XXXII) კლასტერის მოლეკულური სტრუქტურა.

#### 2.4. ამინოადამანტანის, ადამანტანილინის, ამინოადამანტანკარბონმჟავას და ადამანტან-1-კარბონმჟავას ჰიდრაზიდის საფუძველზე აზომეთინების სინთეზი და კვლევა

მრავალმხრივი გამოკვლევებით დადგენილი იქნა, რომ ცნობილი სამკურნალო პრეპარატებისა და ბიოლოგიურად აქტიური ნაერთების მსგავსი სტრუქტურის ადამანტანშემცველი ნაერთები ხასიათდებიან მაღალი მემბრანო-ტროპული და იმუნოტროპული თვისებებით, სპეციფიკური აქტიურობის გაძლიერებული ეფექტით, რაც განპირობებულია ადამანტანის რადიკალის ლიკოფილობით, იმუნოტროპულობით და ფარმაკოლოგიური მოქმედების ფართო სპექტრით [10-16].

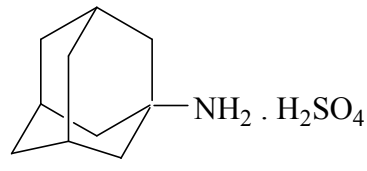
ადამანტანის წარმოებულების საფუძველზე შექმნილია ანტიმიკრობული, ანტივირუსული, ანტიდეპრესიული, ანტიკატალეპტიკური სამკურნალო საშუალებები, როგორიცაა: ამანტადინი, მიდანტანი, რემანტადინი, სიმეტრელი, პროტექსინი, დოპამანტინი, ბემანტანი და სხვ., რომლებიც აინპიპირებენ ვირუსის აპლიკაციას ინფიცირების ადრეულ სტადიაზე, და ის გადაყავს ტრანს-მემბრანულ არეში. ასევე მათ აღმოაჩნდათ H1N1 და H3N1 გრიპის წარმომშობი ვირუსის აგენტის გაპასიურების უნარი [11].

ადამანტანის შემცველი ცნობილი სამკურნალო საშუალებები მოცემულია ქვემოთ:



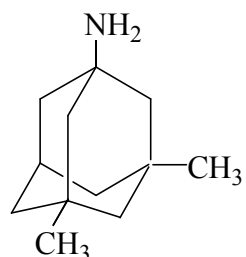
ანტიგირუსული  
საშუალება

ამანტადინი



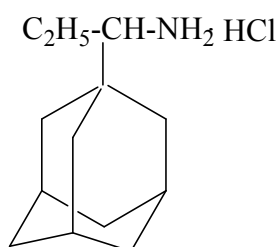
პარკინსონის საწინააღმდეგო  
საშუალება

ტრიგალინი



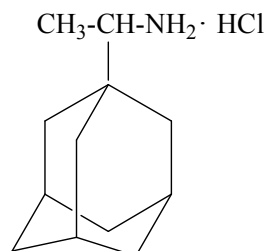
პარკინსონის და თავის ტვინის  
დეგენერაციული დაავადების  
სამკურნალო საშუალება

მემანტინი



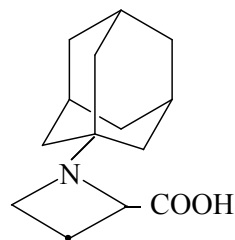
პარკინსონის საწინააღმდეგო,  
ანტიდეპრესიული,  
ანტიგირუსული საშუალება

ადაპტომინი



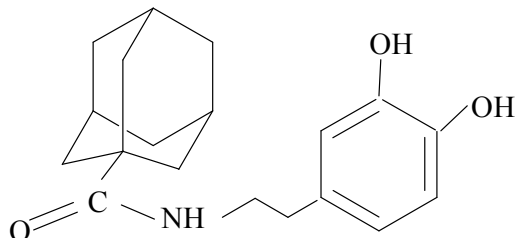
ანტიგირუსული საშუალება

რემანტადინი



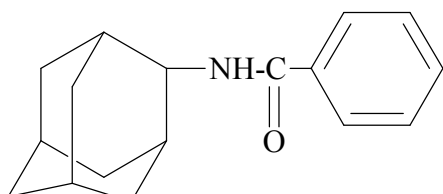
პარკინსონის საწინააღმდეგო  
საშუალება

ჯარმანტადინი



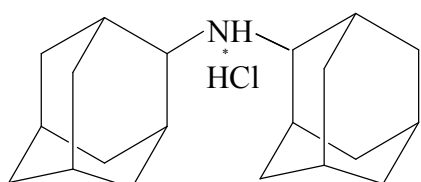
პარკინსონის საწინააღმდეგო  
საშუალება

დოპამანტინი



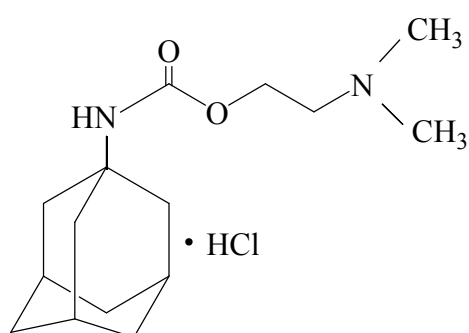
პარკინსონის საწინააღმდეგო  
საშუალება

ბემანტანი



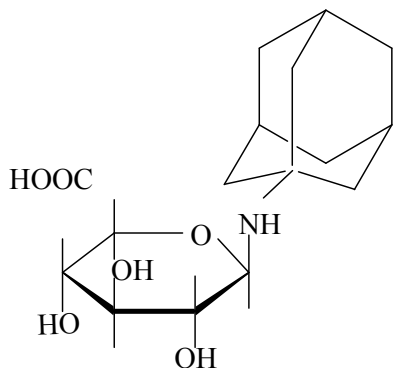
პარკინსონის საწინააღმდეგო  
საშუალება

დიმანტანი

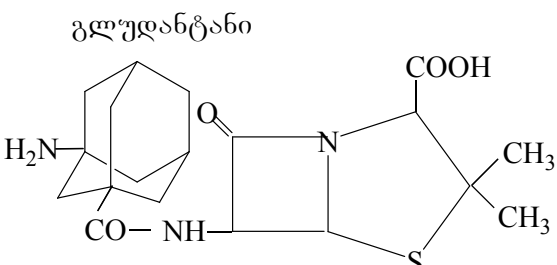


ანტიგირუსული (პერკესის  
საწინააღმდეგო)  
საშუალება

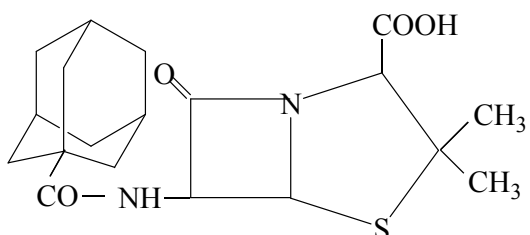
ტრომანტადინი



პარკისონის საწინააღმდეგო,  
ანტიდეპრესიული,  
ანტივირუსული საშუალება



ანტიბიოტიკი



ანტიბიოტიკი

ადამანტოცილპენიცილინი

ასევე ცნობილია, რომ ორგანიზმი ბიომეტალების ნაკლებობა ან სიჭარბე იწვევს ნორმალური ფიზიოლოგიური და ბიოქიმიური პროცესების მოშლას, სხვადასხვა დაავადებების განვითარებას. კოორდინაციული ნაერთების როლის ცოდნა ეფექტური სამკურნალო პრეპარატების შექმნის საშუალებას იძლევა.

ცხადია ასეთი მიდგომა პერსპექტიული გზაა სასურველი შედეგის მისაღწევად. მნიშვნელოვანია, რომ კომბინირებულ თერაპიაში მეტალშემცველი პრეპარატების გამოყენებისას აღმოჩენილ იქნა სინერგიზმის ეფექტი.

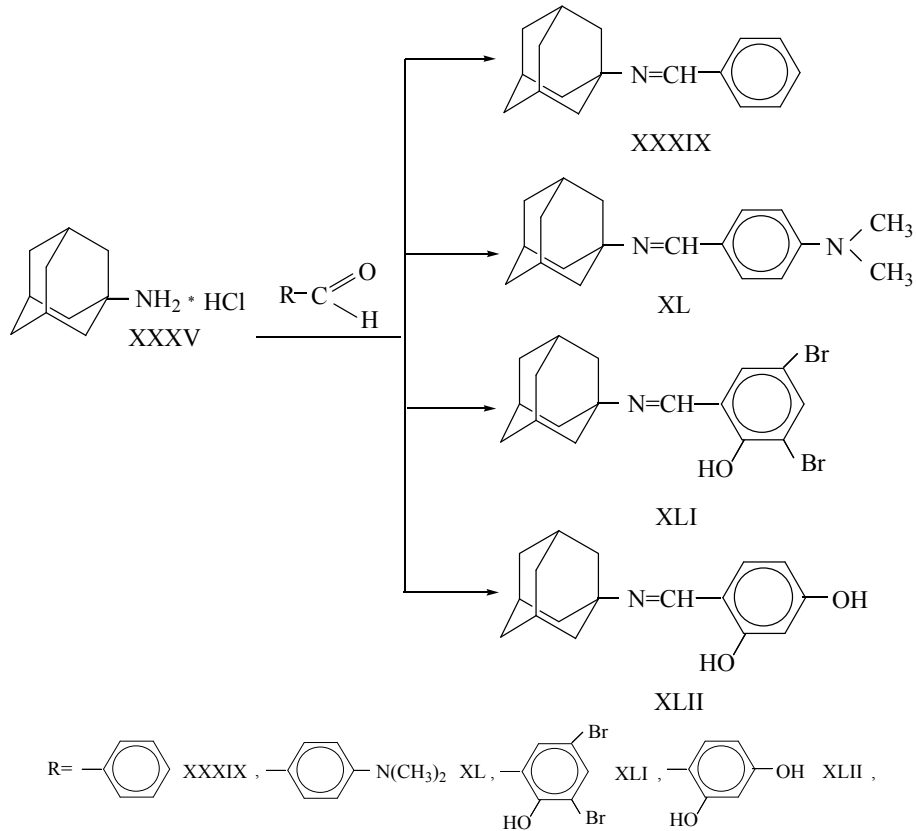
თუმცა ყველაზე უკაეთესი პრეპარატებიც კი მოკლებულია სრულფასოვან სელექტიურობას დაავადებული უჯრედის მიმართ და აზიანებს ჯანმრთელ უჯრედებსაც.

დაბალტოქსიკური და მაღალეფექტური ფარმაკოლოგიური საშუალებების ძიების მიზნით, ასევე d-მეტალების ბიოლოგიურად აქტიური ნაერთების მისაღებად პერსპექტიულად მივიჩნიეთ ცნობილი პრეპარატების ტიპიური სტრუქტურების: ადამანტანშემცველი შიფის ფუნქციების, ამინების, პიდრაზიდ-პიდრაზონების, დი- და ტრიაცილპიდრაზიდების სინთეზი.

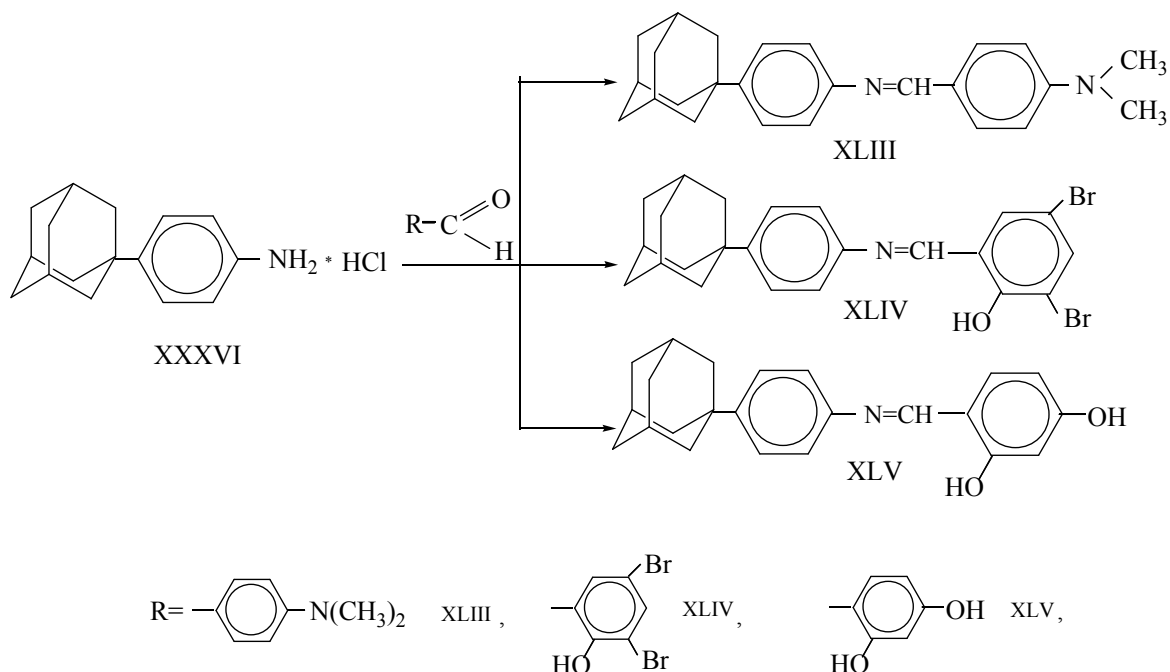
ჩატარებულ იქნა 1-ამინოადამანტანის პიდროქლორიდის (XXXV), 4-(1-ადამანტილ)-ანილინის პიდროქლორიდის (XXXVI), 3-ამინოადამანტან-1-კარბონმჟავას (XXXVII) პიდროქლორიდის, ადამანტან-1-კარბონმჟავას პიდრაზიდის (XXXVIII) ურთიერთქმედების რეაქცია არომატული რიგის ალდეჰიდებთან (სქემა 18-21) [135-138].

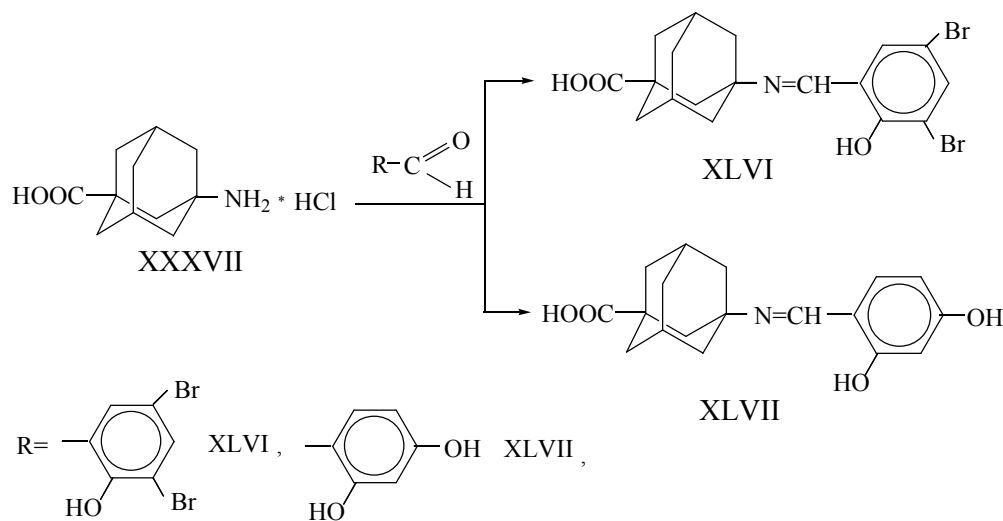
აზომეთინები (XXXIX–XLVII) მიღებულია შესაბამისი ამინის ჰიდროქლორიდის, ალდეჰიდის და ნატრიუმის აცეტატის დუღებით ტოლუოლში. თავისუფალი ამინების შემთხვევაში რეაქცია ჩატარებულ იქნა ეთილის სპირიტის არეში ყინულოვან ძმარმებას გამოყენებით, სამიზნე პროდუქტები წარმოიქმნება 95–97% გამოსავლიანობით (სქემა 18, 19, 20) [135–137].

სქემა 18

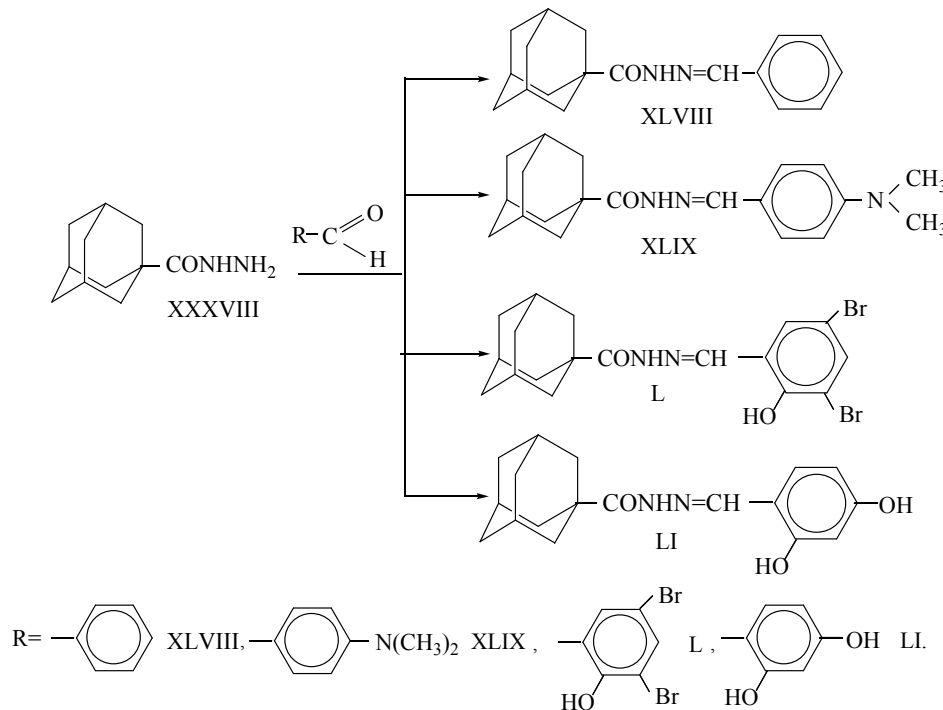


სქემა 19





პიდრაზიდოპიდრაზონები (XLVIII-LI) სინთეზირებულია – ეთილის სპირიტის არეში ყინულოვან ძმარმჟავას თანაობისას, 90-95% გამოსავლიანობით (სქემა 21) [137,138].

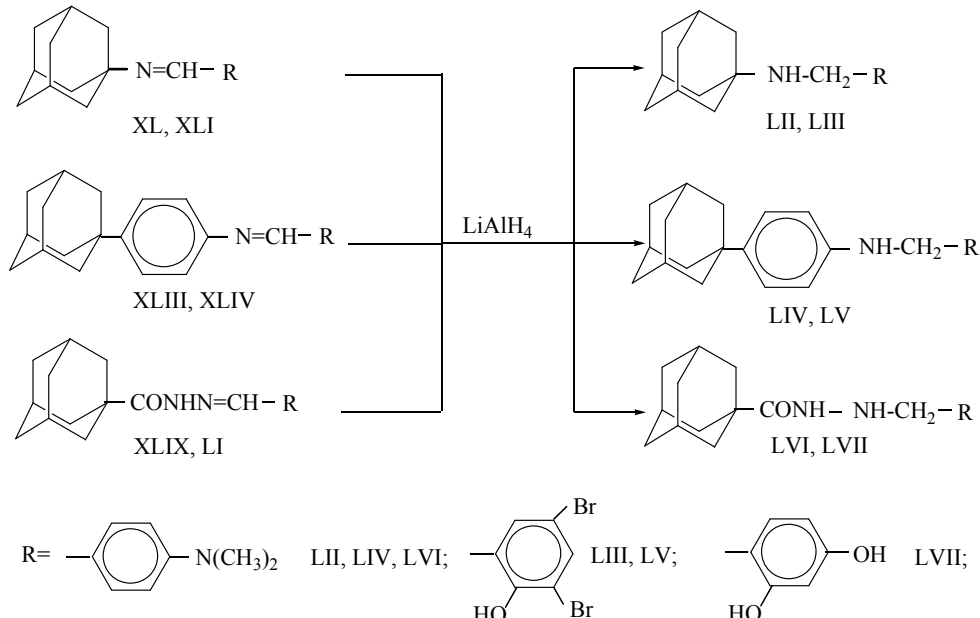


4-(1-ადამანტილ)ანილინის პიდროქლორიდი (XXXVI) მიღებულ იქნა 4-აცეტამიდოფენილადამანტანის [78,79] მჟავა პიდროლიზით, ხოლო ფუძის სახით-პიდროქლორიდის სპირტიანი ტუტით დამუშავებით [75]. 3-ამინოადამანტან-1-კარბონმაჟავა (XXXVII) მიღებულ იქნა ადამანტან-1-კარბონმჟავიდან რიტტერის რეაქციით, ხოლო ადამანტოილპიდრაზიდი (XXXVIII) სინთეზირებულია ადამანტან-1-კარბონმჟავას ეთერიფიკაციით ჯონც.  $\text{H}_2\text{SO}_4$

თანაობისას მიღებული ეთერის ჰიდრაზინოლიზით დიეთილენგლიკოლის არეში [86, 137].

ჩატარებულ იქნა სინთეზირებული ნაერთების (XL, XLI, XLIII, XLIV, XLIX, LI) აღდგენა LiAlH<sub>4</sub> მშრალი ეთერის არეში (სქემა 22) [136].

სქემა 22

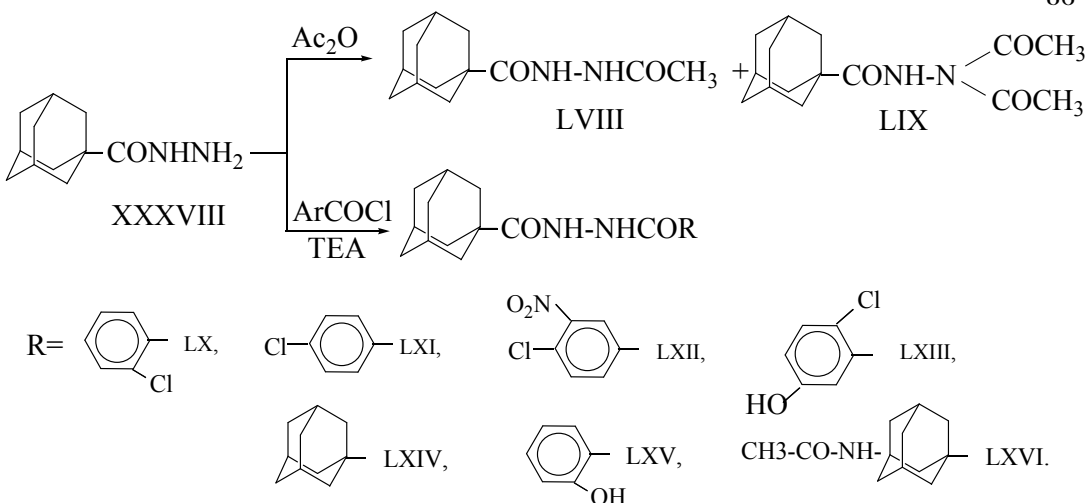


კვლევის ერთ-ერთ მიზანს წარმოადგენდა ადამანტან-1-კარბონმჟავას ჰიდრაზის აცილირების რეაქციის შესწავლა.

ამ მიზნით ჩატარებულ იქნა ადამანტან-1-კარბონმჟავას აცილირება ანჰიდრიდებითა და არომატულ მჟავათა ქლორანჰიდრიდებით ფუძე აგენტების ( $\text{N}(\text{C}_2\text{H}_5)_3$ ,  $\text{Na}_2\text{CO}_3$ ) თანაობისას მშრალი ეთერისა და ბენზოლის არეში 65-75% გამოსავლიანობით, მჟავათა ქლორანჰიდრიდები მიღებულ იქნა შესაბამისი მჟავასა და  $\text{PCl}_5$  დუღებით  $\text{CCl}_4$ -ის არეში. (სქემა 23) [123, 137, 139-140].

აცილირების შემთხვევაში, რეაქციის პირობების მიხედვით, ადგილი აქვს დი- და ტრიაცილირებული პოლიქტების წარმოქმნას, რომელთა დაყოფა მოხდა L VIII და L IX ნაერთების შემთხვევაში [140] (სქემა 23).

სქემა 23



სპექტრული (იტ, უი,  $^1\text{H}$  და  $^{13}\text{C}$  ბმრ) მონაცემების საშუალებით დადგენილია მიღებული ნაერთების აღნაგობა 137-139].

ჩატარებულია სინთეზირებული აზომეთინების (XXXIX-LI) და N,N'-დიაცილკიდრაზიდების (LVIII-LXVI) ბმრ სპექტრული ანალიზი (ცხრილი 6,7) [137,141]. როგორც <sup>1</sup>H ბმრ სპექტრების შესწავლამ გვიჩვენა, ყველაზე სუსტ ველში რეზონანსულ სიგნალს იძლევა უჯერი ნახშირწყალბადური ფრაგმენტის შესაბამისი პროტონი, ხოლო ძლიერ ველში – ადამანტანის მეთოლენური პროტონები. რაც შეეხება ამიდურ წყალბადს, მისი შესაბამისი პროტონის ქიმიური ძვრა ( $CDCl_3$ ) ბ8,04 მ.ნ-ის ტოლია, დეიტერო-დიმეთილსულფოქსიდში კი (ნაერთები XLIII და XLIX), შესაბამისად, ბ11,54 ვ.ნ და ბ11,57 ვ.მ.ნ. კიდევ უფრო სუსტ ველში ვლინდება ფენოლური ჰიდროქსილი  $[(CD_3)_2SO]$ -ხსნარში, ძლიერი წყალბადური ბმის წარმოქმნის გამო (ბ12,8 ვ.მ.ნ).

$N(CH_3)_2$ -ჯგუფის პროტონების რეზონანსული სიგნალები ვლინდება შედარებით ძლიერ ველში (ბ3,0 მ.ნ.).

არომატული პროტონები XLIX- LI ნაერთებში შეესაბამება  $A_2M_2$  ტიპის სპექტრებს; AM ტიპის სპექტრს „იძლევა“ XLI, XLIV, LI ნაერთების არომატული ნაწილი. რაც შეეხება L ნაერთს, მისი არომატული ნაწილის პროტონების პრ სპექტრი AMX ტიპს მიეკუთვნება.

გამხსნელის შეცვლა გავლენას არ ახდენს სპექტრის არომატული ნაწილის ქიმიური ძვრის მნიშვნელობაზე.

ჩატარებულია (XLI, LI, L) ნაერთების  $^{13}C$  ბმრ სპექტრული ანალიზი [137, 142]. სპექტრში მკაფიოდ არის გამოყოფილი 4 უბანი:

1.  $sp^3$  ჰიბრიდიზებული ნახშირბადის ატომების დიაპაზონი (ადამანტანის, ჯგუფები) ბ 0-40 მ.ნ.;
2. ელექტროუარყოფით ელემენტთან დაკავშირებული მეთილის ჯგუფების ქიმიური წანაცვლება (ბ 40-50 მ.ნ.);
3. არომატული ბირთვის შემადგენლობაში შემაგლი ნახშირბადის  $sp^2$  ჰიბრიდიზებული ატომების უბანი.
4. დაბალველში კარბონილის ჯგუფის ნახშირბად ატომის სიგნალი.

რაც შეეხება N,N' - დიაცილკიდრაზიდების ბმრ სპექტრულ გამოკვლევას, მათი ამიდური პროტონების შესაბამისი რეზონანსული სიგნალი ვლინდება 8.8-11.6 მ.ნ.-მდე (გამხსნელი  $(CD_3)_2SO$ ), რაც ადგილად გამოარჩევს მათ დანარჩენი პროტონებისაგან. ადამანტანის პროტონების რეზონანსული სიგნალები ველის ყველაზე ძლიერ ნაწილშია განთავსებული და მათი ცვლილების დიაპაზონი ბ 1.68-2.14 მ.ნ.-ს შეადგენს.

ცხრილი 6

სინთეზირებული ნაერთების (იმინები, ჰიდრაზიდო-ჰიდრაზონები) ზოგიერთი თვისება და სპექტრული (იწ, უი, ბმრ) მონაცემები

ნაერთი №	დღ. $\delta$ . $^1\text{H}$	$R_f$ 1:12 (გეთ/ქლ ოროვ.)	იწ სპექტრი, $v, \text{cm}^{-1}$	უი სპექტრი $\lambda_{\text{max}}$ , $\text{nm}$ (Abs)	$^1\text{H}$ ბმრ სპექტრი (დმსო - $D_6$ ) $\delta, \text{ppm}, \text{J}, \text{Hz}$	$^{13}\text{C}$ ბმრ სპექტრი (დმსო $-D_6$ ) $\delta, \text{ppm}, \text{J}, \text{Hz}$
1	2	3	4	5	6	7
XL	152- 153	0,40	3448 (N-H), 3093(C-H არომ), 2908, 2846 (C-H Ad), 1604 (C=N), 1527, 1481 (C-N)	242(0.86), 337 (3.01), 394 (0.42)	8.18 (s, 1H), 7.73 (d, J 8.8, 1H), 6.68 (d, J 8.8, 2H), 7.73 (d, J 8.8, 2H), 3.09 (s, 6H), 2.15 (s, 3H), 1.79 (m, 6H), 1.71 (m, 6H)	
XLI	173- 174	0,90	3448, 3240(0-H), 3090, 3060 (C- H არომ), 2908, 2846 (C-H Ad), 1627 (N=C), 1558 (C-N), 686(C- Br)	242(1.44), 289(0.56), 336(0.22), 432 (0.41)	8.07 (s, 1H), 7.26 (d, J 2.4, 1H), 7.69 (d, J 2.4, 1H), 2.22 (s, 3H), 1.88 (m, 6H), 1.72 (m, 6H)	164.43, 158.07, 138.48, 133.03, 117.32, 115.78, 56.9, 42.57, 35.87, 29.13
XLII	221- 222	0,44	3425(OH), 2916, 2854 (C-H Ad), 1627.7 (C=N), 1535, 1473 (C-N)	241(0.76), 278(0.82), 301(0.98), 385 (0.43)		
XLIII	213- 215	0,83	3080, 3031(C-H არომ), 2900, 2846 (C-H Ad), 1589 (C=N), 1527, 1365 (C-N)	243(1.32), 348 (3.24), 361 (3.29)	8.35 (s, 1H), 7.76 (d, J 8.8, 2H), 6.73 (d, J 8.8, 2 H), 7.35 (d, J 92, 2H), 7.35 (D, 9.2, 2H), 3.04 (s, 6H), 2.1 (s, 3H), 1.93 (m, 6H), 1.77 (m, 6H)	

1	2	3	4	5	6	7
XLIV	193-194	0,84	3425(N-H),3085, 3031(C-H δρωδ), 2908,2846 (C-H Ad),1612, 1589(C=N), 1558,1450 (C-N)	242(1.38), 275 (0.83), 319 (1.06), 334 (1.15), 358(1.03)	8.54(s,1H),7.73(d,J 2.4,1H), 7.47(d,J 2.4,1H),7.43 (s,1H), 7.25(d,J 8.8,2H),7.34(d,J 8.8,2H), 2.12 (s,3H),1.92 (m, 6H), 1.78 (m, 6H)	
XLVI	210-211		3448-3347 (OH), 3070(C-H δρωδ), 2924, 2854 (C-H Ad), 1681, 1658 (COOH), 1596, 1450 (C-N), 678 (C-Br)	241(1.73), 266 (1.70), 348 (0.72), 433 (0.09)	9.84 (s,1H), 8.16 (s, 1H), 7.95(d,J 2.42, 1H), 7.67 (d, J 2.42, 1H), 2.03-1.25 (m,14H)	194.7,158.4, 157.1, 141.9, 138.2,134.8, 133.0, 121.4, 111.4, 58.8, 27.1, 29.2, 35.3, 40.4, 41.5
XLVIII	209-210	0.77	3448(NH), 3054, 3031(C-H δρωδ) 2908, 2854-(C-H Ad), 1650(C=O), 1612 (C=N), - 1535,1373(C-N).	234(0.74), 290 (1.78)		
XLIX	214-216	0,78	3425, 3247(N-H), 3047(C-H δρωδ), 2908, 2854 (C-H Ad), 1651 (C=O),1635 (C=N), 1519,1357(C-N)		8.52, 8.03 (s,1H), 7.61(d,J 8.8, 2H), 6.66(d,J 8.8,2H), 3.01(s,6H), 2.07((s,3H), 1.96(s,6H), 1.75(s, 6H),	
L	200-202	0,76	3255(N-H), 3070(C-H δρωδ) 2908, 2854(C-HAd),1651(C=O), 1604 (C=N),1527,1350(C-N), 694, 555(C-Br).	242(1.31), 285 (1.62), 296 (1.43),339(0.62)	12.82 (s, 1H), 11.54 (s, 1H), 8.44 (s, 1H), 7.78(d, J 2.4, 1H), 7.72(d,J=2.4, 1H), 2.02(s,3H), 1.88 (m, 6H ), 1.70(m, 6H)	173.3, 153.5, 145.9 , 135.1 , 131.8, 120.9, 111.0, 110.1, 55.9, 38.0, 35.8, 27.4.
LI	195-196	0,45	3247(N-H), 3070(C-H δρωδ) 2908, 2854 (C-H Ad),1651 (C=O),1604 (C=N), - 1527,1350(C-N), 694, 555(C-Br).	242(1.31),285(1.62), 296(1.43),339(0.62)	11.57(s, 1H), 10.88(s, 1H), 9.88 (s, 1H), 8.04(s, 1H ) 7.20 (d,J 8.4 1H), 6.33(dd, J 8.4, 2.3, 1H), 6.28 (d, J 2.3, 1H), 2.00( s, 3H), 1.86(m, 6H), 1.69(m, 6H)	172.6, 160.3, 159.3, 148.4, 131.3, 110.4, 107.4, 102.5, 55.9, 38.2, 35.9, 27.4.

სინთეზირებული პიდრაზიდების ზოგიერთი თვისება და სპექტრული  
(იქ და  $^1\text{H}$  ბმრ) მონაცემები

ნაერთი №	$\delta$ , δ. $^1\text{H}$	$R_f$ 1:12 (მეთ/ქლ ოროვ.)	$\nu$ , ν, δ $^{-1}$	$^1\text{H}$ ბმრ სპექტრი (დმსო -D <sub>6</sub> ) δ, მ6, J, ჟ3
1	2	3	4	5
LVIII	161-162	0.81	3240(N-H), 3108(C-H αრომ), 2931, 2854(C-H Ad, CH <sub>3</sub> ), 1697, 1650 (CONH), 1373(C-N)	9.46 (s, 1H), 8.62 (s, 1H), 2.05-1.66(m, 18H)
LX	228-230	0.50	3245(NH), 2908, 2854 (C-H Ad), 1728, 1640 (C=O), 1615, 1373(C-N)	9.9(s,1H), 9.5(s,1H), 7.46(m,4H), 1.99(s,3H), 1.87(m,6H), 1.69-(m,6H).
LXI	182-183	0,64	3448, 3386(N-H), 3178 (C-H αრომ.) 2931, 2854 (C-H Ad), 1681, 1643 (C=O), 1373(C-N)	10.08(s,1H), 9.2(s,1H), 7.9(d,J=8.8Hz,2H), 7.4(d,J=8.8Hz,2H), 2.05(s,3H), 1.9(s,6H), 1.66(s,6H).
LXII	110-112	0,35	3448, 3394 (N-H), 3093, 3030(C-H αრომ), 1681, 1643(C=O), 1357(C-N).	10.54(s,1H), 9.36(s,1H) 8.2(d,J 8.8, 2.4Hz,1H), 8.56(d,J 8.8 Hz, 1H), 7.66 (d,J 2.4Hz,1H), 2.06 (s,3H) 1.93(s,6H), 1.74(s,6H)
LXIII	140-142	0.52	3355, 3278(N-H), 2905, 2854,(C-H Ad), 1689(C=O), 1589, 1373 (C-N).	9.9(s,1H), 9.6 (s,1H) 9.4 (s,1H), 7.64 (d,J 2.4Hz, 1H), 7.53(dd,J 8.8, 2.4Hz,1H), 2.06(s,3H), 1.96(m, 6H), 1.68(m,6H)
LXVI	220-225	0.45	3487, 3270(N-H), 1650 (C=O), 1573, 1373(C-N)	8.98 (s,1H), 8.91(s,1H), 7.12 (s,1H), 2.2-1.6 (m, 32H)

### 2.4.1 ადამანტანშემცველი დი- და ტრიაცილპიდრაზიდების ქვანტურ- ქიმიური გამოკვლევა

წყალბადატომების რეაქციისუნარიანობა მაცილირებელი აგენტის მიმართ განვსაზღვრეთ ქვანტურ-ქიმიური მეთოდით [143,144]. ქვანტურ-ქიმიური გათვლები შევასრულეთ CS MOPAC-ის (Chem 3 ultra-version 8.03) საშუალებით. AM1 (Austin Model 1) თითოეულ გათვლას წინ უსწრებდა ნაერთის გეომეტრიული სტრუქტურის ოპტიმიზაცია – ენერგიის მინიმუმის მიღწევისათვის ოპტიმიზირებული მოლეკულის გეომეტრიას ვარდვევდით უმნიშვნელოდ და ხელახლა ვანხორციელებდით მინიმიზაციას. მინიმალური ენერგიის იგივე სიდიდის მიღების შემთხვევაში ოპტიმიზებულ სტრუქტურას ვთვლიდით შემდგომი გათვლებისათვის საჭიროდ. რიგ შემთხვევაში, გლობალური მინიმუმის მისაღებად, შევისწავლეთ ნაერთის ბმის სიგრძის დამოკიდებულება წარმოქმნის სითბოს ცვლილებაზე.

მოდელურ რეაქციად შევარჩიეთ ადამანტოილპიდრაზიდის (XXXVIII) აცილირების რეაქცია პარაქლორბენზოისმჟავას ქლორანპიდრიდით 1:1, 1:2 მოლური თანაფარდობით (სქემა 24) [140,143].

ნახევრად-ემპირიული მეთოდით გავიანგარიშეთ საწყისი ნაერთის მოლეკულაში ატომთაშორისის მანძილები (ცხრილი 3), ეფექტური მუხტები (ცხრილი 4), და სავალენტო კუთხეები (ცხრილი 5), რეაგენტის, შესაძლო პროდუქტთა წარმოქმნის სითბოები ( $\Delta H_{\text{წარ}}$ ) და რეაქციის სითბური ეფექტი ( $\Delta H_{\text{რეა}}^{\circ}$ ) [137,143].

ცხრილი 3

ატომური მანძილები  $N$ -(1-ადამანტოილ)- $N'$ -4 -ქლორბენზოილპიდრაზიდის  
მოლეკულაში

ატომები	ბმის სიგრძე, Å	ატომები	ბმის სიგრძე, Å
C(1)-C(2)	1.531	C(9)-H(36)	1.123
C(1)-C(6)	1.541	C(10)-H(37)	1.120
C(1)-C(7)	1.532	C(10)-H(38)	1.120
C(1)-C(11)	1.525	C(11)-O(12)	1.245
C(2)-C(3)	1.527	C(11)-N(13)	1.416
C(2)-H(24)	1.119	N(13)-N(14)	1.342
C(2)-H(25)	1.121	N(13)-H(39)	1.010
C(3)-C(4)	1.524	N(14)-C(15)	1.407
C(3)-C(8)	1.525	N(14)-H(40)	1.006
C(3)-H(26)	1.123	C(15)-C(16)	1.485
C(4)-C(5)	1.525	C(15)-O(23)	1.244
C(4)-H(27)	1.120	C(16)-C(17)	1.397
C(4)-H(28)	1.120	C(16)-C(21)	1.401
C(5)-C(10)	1.525	C(17)-C(18)	1.394
C(5)-H(29)	1.123	C(17)-H(41)	1.102
C(6)-H(30)	1.120	C(18)-C(19)	1.399
C(6)-H(31)	1.120	C(18)-H(42)	1.101
C(7)-C(9)	1.526	C(19)-C(20)	1.399
C(7)-H(32)	1.120	C(19)-Cl(22)	1.698
C(7)-H(33)	1.118	C(20)-H(43)	1.101
C(8)-H(34)	1.120	C(21)-H(44)	1.102
C(8)-H(35)	1.120		

## ცხრილი 4

აფექტური მუხტები N-(1-ადამანტოილ)-N'-4-ქლორბენზოილჰიდრაზიდის  
მოლეკულაში

ატომი	მუხტი	ატომი	მუხტი
C(1)	-0.054066	H(24)	0.087386
C(2)	-0.148388	H(25)	0.086053
C(3)	-0.098849	H(26)	0.096319
C(4)	-0.151508	H(27)	0.083117
C(5)	-0.102800	H(28)	0.085012
C(6)	-0.139692	H(29)	0.095660
C(7)	-0.138015	H(30)	0.096343
C(8)	-0.152297	H(31)	0.100387
C(9)	-0.102054	H(32)	0.095390
C(10)	-0.150812	H(33)	0.078391
C(11)	0.273802	H(34)	0.084532
O(12)	-0.340073	H(35)	0.086421
N(13)	-0.257243	H(36)	0.094217
N(14)	-0.276524	H(37)	0.084515
C(15)	0.323973	H(38)	0.084454
C(16)	-0.123725	H(39)	0.237666
C(17)	-0.092839	H(40)	0.247749
C(18)	-0.126868	H(41)	0.144439
C(19)	-0.041173	H(42)	0.156860
C(20)	-0.131518	H(43)	0.155311
C(21)	-0.071606	H(44)	0.157062
Cl(22)	-0.001455		
O(23)	-0.333553		

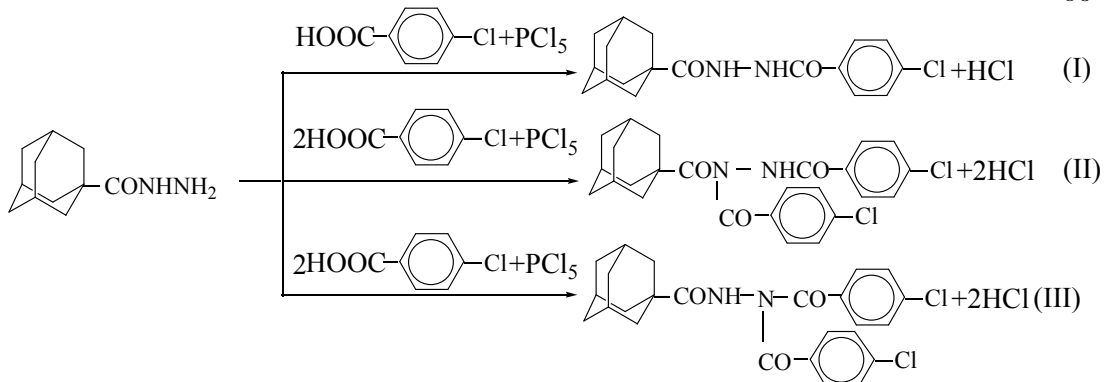
## ცხრილი 5

გალენტური კუთხეები N-(1-ადამანტოილ)-N'-4-ქლორბენზოილჰიდრაზიდის  
მოლეკულაში

ატომები	გუთხე,°	ატომები	გუთხე,°
C(1)-C(2)-C(3)	109.732	C(1)-C(2)-H(24)	111.198
C(2)-C(3)-C(4)	109.750	C(1)-C(2)-H(25)	109.488
C(3)-C(4)-C(5)	109.264	C(2)-C(3)-H(26)	108.953
C(2)-C(1)-C(6)	108.274	C(3)-C(4)-H(27)	109.918
C(2)-C(1)-C(7)	110.007	C(3)-C(4)-H(28)	109.822
C(2)-C(3)-C(8)	109.500	C(4)-C(5)-H(29)	109.581
C(1)-C(7)-C(9)	109.720	C(1)-C(6)-H(30)	109.237
C(4)-C(5)-C(10)	109.590	C(1)-C(6)-H(31)	109.209
C(2)-C(1)-C(11)	111.686	C(1)-C(7)-H(32)	109.389
C(1)-C(11)-O(12)	121.752	C(1)-C(7)-H(33)	111.234
C(1)-C(11)-N(13)	123.162	C(3)-C(8)-H(34)	109.892
C(11)-N(13)-N(14)	126.418	C(3)-C(8)-H(35)	109.720
N(13)-N(14)-C(15)	126.208	C(7)-C(9)-H(36)	108.984
N(14)-C(15)-C(16)	120.063	C(5)-C(10)-H(37)	109.919
C(15)-C(16)-C(17)	121.954	C(5)-C(10)-H(38)	109.878
C(16)-C(17)-C(18)	120.115	C(11)-N(13)-H(39)	113.932
C(17)-C(18)-C(19)	119.609	N(13)-N(14)-H(40)	114.214
C(18)-C(19)-C(20)	120.559	C(16)-C(17)-H(41)	120.646
C(15)-C(16)-C(21)	117.987	C(17)-C(18)-H(42)	119.933
C(18)-C(19)-Cl(22)	119.724	C(19)-C(20)-H(43)	120.424
N(14)-C(15)-O(23)	116.842	C(16)-C(21)-H(44)	119.640

AdCONHNH<sub>2</sub>-ის აცილირების სავარაუდო მექანიზმის დადგენის მიზნით, ნახევრადემპირიული კვანტურ-ქიმიური AM1 მეთოდით გამოვთვალეთ AdCONHNH<sub>2</sub>-ის, მისი აცილირებული ნაერთების და შუალედური პროდუქტების (AdCONHNH<sub>2</sub>-ის კომპლექსი მააცილირებელ ნაერთთან) წარმოქმნის ენთაღ-პიები. AdCONHNH<sub>2</sub>-ის აცილირების პროცესი წარმოვადგინეთ შემდეგი სქემის (24) მიხედვით:

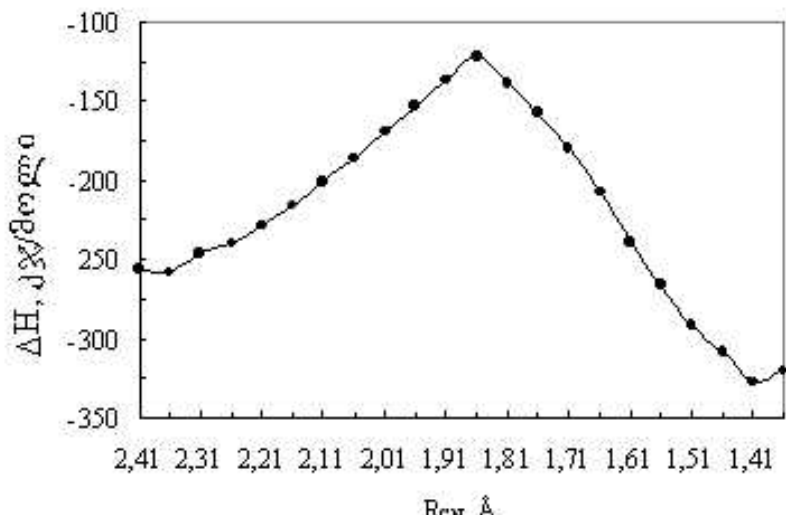
სქემა 24



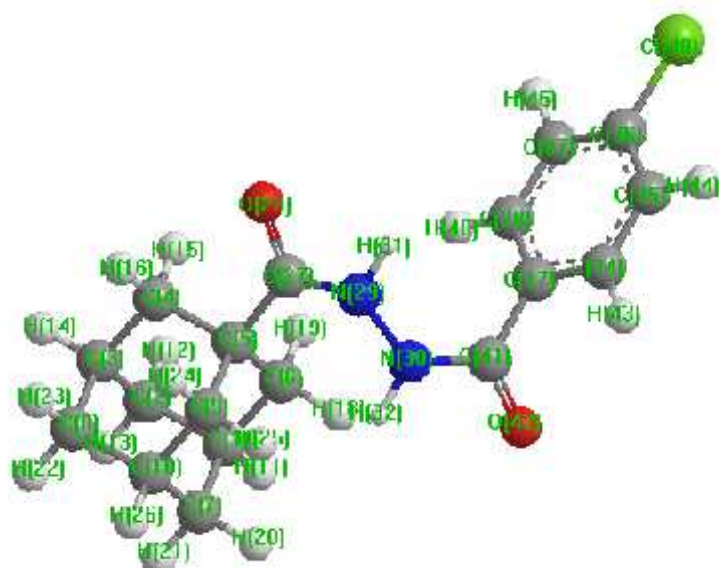
საწყისი მანძილი პირველ, მეორე და მესამე რეაქციაში (სქემა 24) AdCONHNH<sub>2</sub>-ის მოლეკულის პირველ აზოტის ატომსა და მააცილირებელი ნაერთის ნახშირბადის ატომს შორის ( $R_{CN}$ ) აღებული იყო  $2.41 \text{ \AA}$ , ხოლო მეორე რეაქციაში აზოტის მეორე ატომსა და მააცილირებელი ნაერთის მეორე მოლეკულის ნახშირბადის ატომს შორის,  $2.45 \text{ \AA}$ . Cl-CO-C<sub>6</sub>H<sub>4</sub>Cl-ის მიახლოება AdCONHNH<sub>2</sub>-ის მოლეკულასთან ხორციელდებოდა  $0.05 \text{ \AA}$  ბიჯით. რაც შეეხება ქლორის ატომს, მანძილი მასა და AdCONHNH<sub>2</sub>-ის მოლეკულის ჩასანაცვლებელ წყალბადის ატომს შორის მცირდებოდა  $R_{CN}$ -ის ცვლილების სინქრონულად [137-143].

სისტემის ენთაღპიის ცვლილების დამოკიდებულება შემტევი ნაერთის მანძილზე გვიჩვენებს, რომ სამივე შემთხვევაში თვისობრივი სურათი ერთი და იგივეა. ეს დამოკიდებულება მოცემულია (ნახაზზე 1, 2, 3).

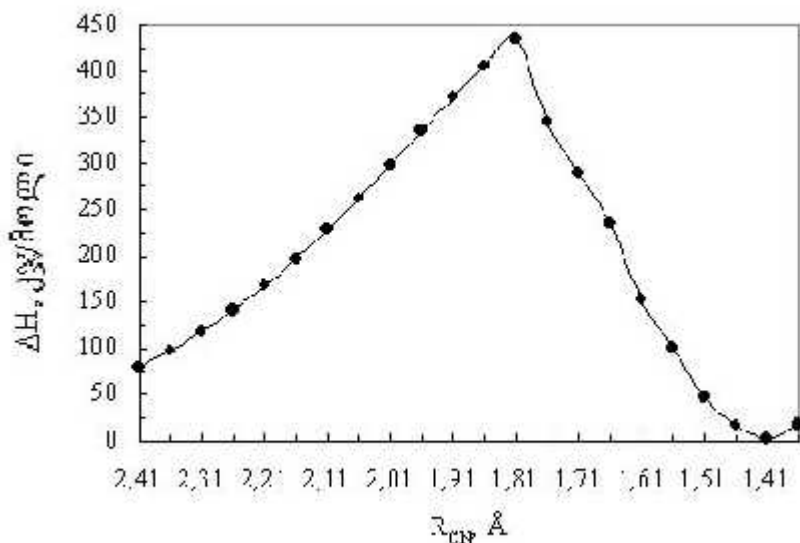
ნახაზი 1



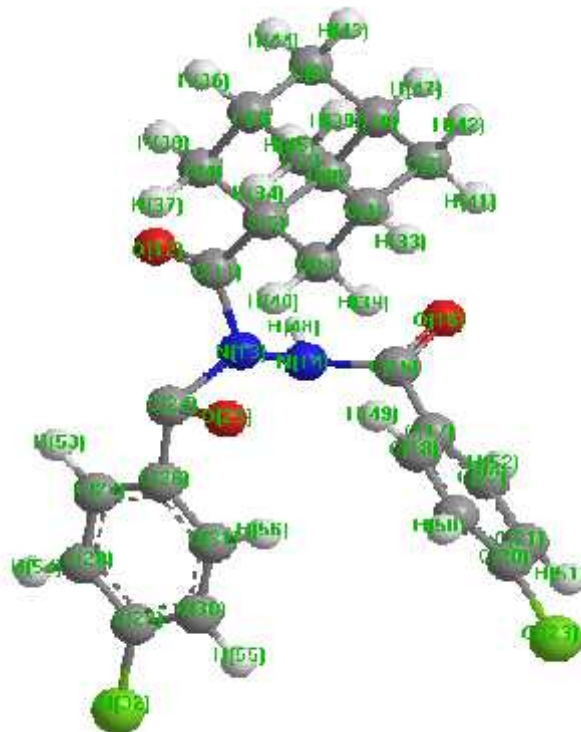
ენთაღპიის ( $\Delta H$ ) დამოკიდებულება რეაქციის ( $R_{CN}$ ) კოორდინატაზე რეაგენტების ექვიმოლური თანაფარდობისას



N-(1-ადამანტოლ)-N'-4-ქლორბენზოილპიდრაზიდის (I) მოლეკულის  
3D მოდელი

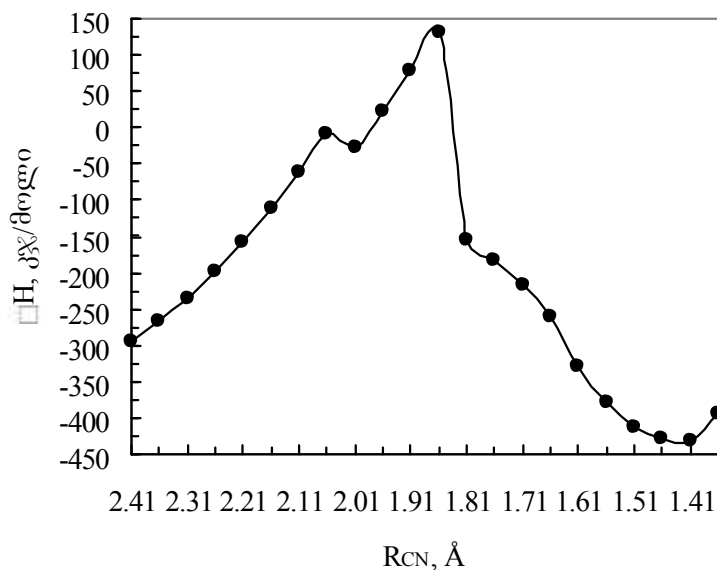


ენთალპიის ( $\Delta H$ ) დამოკიდებულება რეაქციის ( $R_{CN}$ ) კოორდინატაზე  
რეაგენტების მოლური თანაფარდობისას 1:2

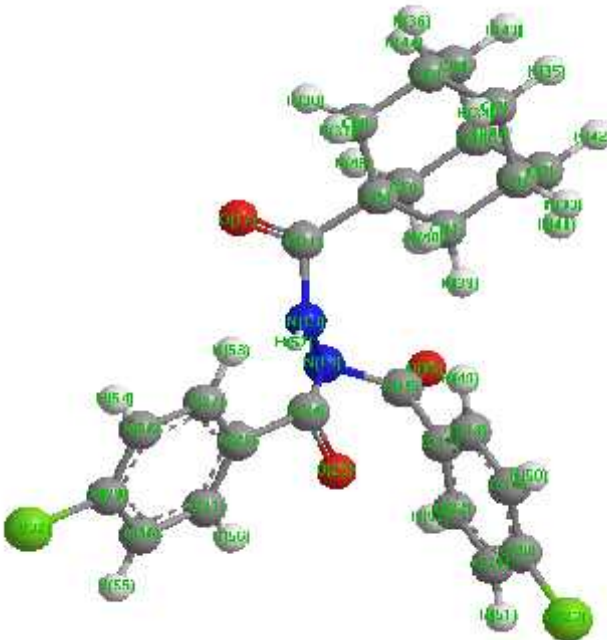


N-(1-აზამანტოილ)-N-4-ქლორბენზოილ-N'-4-ქლორბენზოილპიდრაზიდის (II)  
მოლეკულის 3D მოდელი

ნახაზი 3



ენთალპიის ( $\Delta H$ ) დამოკიდებულება რეაქციის ( $R_{CN}$ ) კოორდინატზე  
რეაგენტების მოლური თანაფარდობისას 1:2.



**N-(1-ადამანტოილ)-N',N'-ბის-4 -ქლორობენზოილ პიდრაზიდის (III) მოლეკულის  
3D მოდელი**

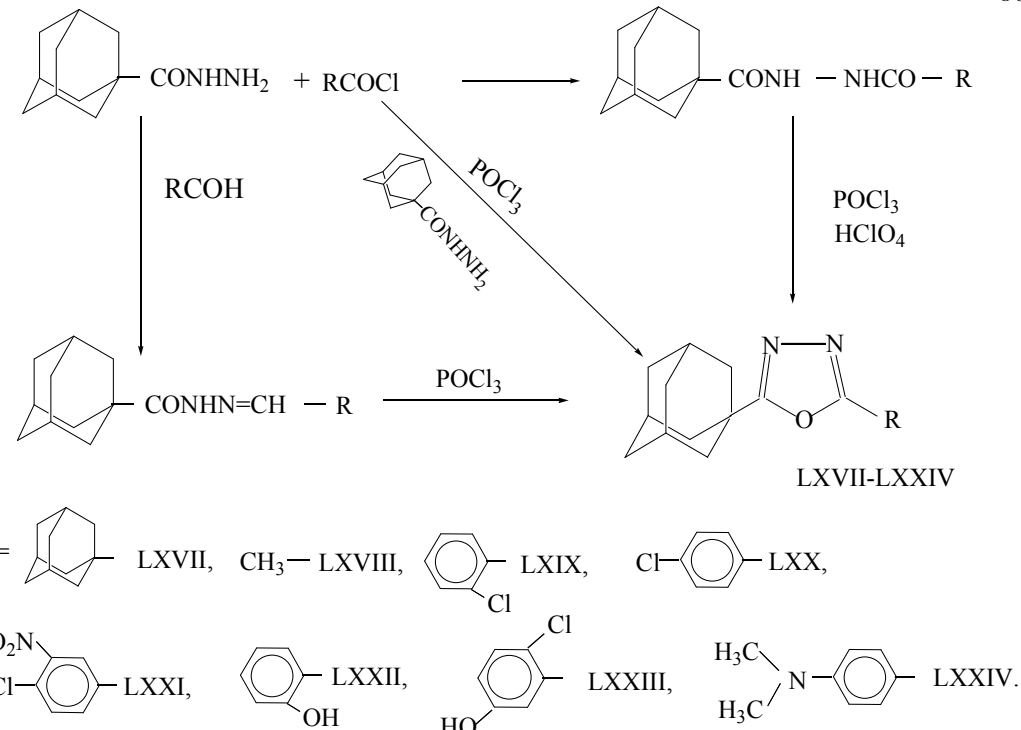
სისტემის ენთალპია დასაწყისში იზრდება  $R_{CN} = 1.86 \text{ \AA}$ . მნიშვნელობის მიღწევამდე, რის შემდეგაც ის მონოტონურად მცირდება. აქტივაციის ენერგია პირველი რეაქციისათვის შეადგენს  $\Delta H^\ddagger = 136.3 \text{ кJ/მოლ-ს}$  ( $R_{CN} = 1.86 \text{ \AA}$ ), მეორე რეაქციისათვის  $\Delta H^\ddagger = 355.4 \text{ кJ-ს}$  ( $R_{CN} = 1.81 \text{ \AA}$ ), ხოლო მესამე რეაქციისათვის  $\Delta H^\ddagger = 428.3 \text{ кJ-ს}$  ( $R_{CN} = 1.86 \text{ \AA}$ ). სამივე შემთხვევაში აცილირების პროცესი ეგზო-თერმულია ( $\Delta H = -69.9 \text{ кJ}$ ,  $\Delta H = -78.2 \text{ кJ/მოლ-ს}$ ,  $\Delta H = -135.7 \text{ кJ}$  შესაბამისად). აქტივაციის ენერგიის მაღალი და წარმოქმნის სითბოს (ენთალპიის) დადებითი მნიშვნელობა რეაქციის კოორდინატის მთელს ინტერვალში მეორე და მესამე რეაქციისათვის მიუთითებს მათი განხორციელების მცირე ალბათობაზე.

#### 2.4.2 ადამანტანშემცველი 2,5-დიჩანაცვლებული-1,3,4-ოქსადიაზოლების სინთეზი და მათი $\alpha$ -ფეროცენილალკილირება

ლიტერატურიდან ცნობილია, რომ ადამანტანის, ფეროცვენის და ოქსა-დიაზოლების ნაწარმები გამოირჩევიან სპეციფიკური ბიოლოგიური აქტიურობით. ადამანტან-1-კარბონმჟავას  $N,N'$ -დიაცილკიდრაზიდები ავლენენ ადამიანის იმუნოდეფიციტური ვირუსის ინპიპირებას, ხოლო ოქსადიაზოლები და ფეროცენილალკილირებული ნაწარმები ანტიმიკრობულ აქტიურობას [11-16, 29].

ახალი ფარმაკოლოგიური მოქმედების ნაერთების ძიების მიზნით პერსპექტიულად მივიჩნიეთ ადამანტანშემცველი 2,5-დიჩანაცვლებული-1,3,4-ოქსადიაზოლების სინთეზი და მათი  $\alpha$ -ფეროცენილალკილირება.

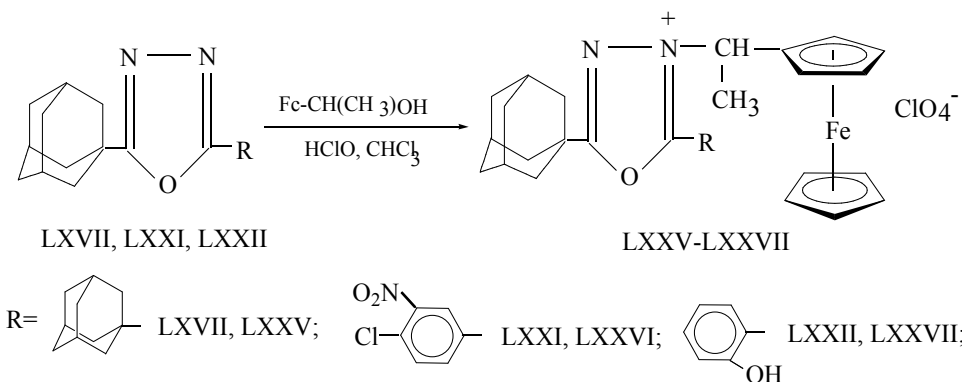
2,5-დიჩანაცვლებული-1,3,4-ოქსადიაზოლების სინთეზი განხორციელებულ იქნა შემდეგი სქემის მიხედვით (სქემა 25):



ოქსადიაზოლები (LXVII-LXXIV) სინთეზირებულ იქნა რამოდენიმე მეთოდით: N,N'-დიაცილჰიდრაზიდების  $\text{POCl}_3$  - თან 10 -15 წთ ცხელების პირობებში; N,N'-დიაცილჰიდრაზიდების აცეტანჰიდრიდის არეში 30-45 წთ დუღილის პირობებში 60%-იან  $\text{HClO}_4$  გამოყენებით; შესაბამისი პიდრაზიდ-ჰიდრაზონების  $\text{POCl}_3$  - თან ცხელებით 10 წთ განმავლობაში, აღსანიშნავია, რომ ოქსადიაზოლების გამოსავლიანობა 1და 2 მეთოდის შემთხვევაში მაღალია (85-95%), ხოლო მესამე მეთოდის შემთხვევაში გამოსავლიანობა არ აღემატება 40% [135,136,145,146].

ოქსადიაზოლების  $\alpha$ -ფეროცენილალკილირება განხორციელდა ორფაზიან სისტემაში [145,146]: ოქსადიაზოლის LXVII, LXXI, LXXII,  $\alpha$ -ფეროცენილ-ეთანოლის და  $HClO_4$  წყალსნარის(70%), ნარევის ინტენსიური მორევის პირ-ბებში, ოთახის ტემპერატურაზე. ნაერთები LXXV-LXXVII მიიღება მარილების სახით 75-80 % გამოსავალიანობით.

სექტ 26



საწყისი  $\alpha$ -ფეროცენილეთანოლი მიღებულია  $\alpha$ ცეტილფეროცენის აღდგენით  $\text{LiAlH}_4$ -ით.

Georgian 8

სინთეზირებული 2,5-დიჩანაცვლებული-1,3,4-ოქსადიაზოლების ზოგიერთი თვისება  
და სპექტრული (იქ, უი, ბმრ) მონაცემები

ნაერთი №	$\text{R}_f$ 1:12 . . $^0\text{C}$ მეთ/ქლ ოროვ.)	o <sup>9</sup> სპექტრი, v, cm <sup>-1</sup>	უი სპექტრი λmax, ნმ (Abs)	<sup>1</sup> H ბმრ სპექტრი (დმსო -D <sub>6</sub> ) δ, δ6, J, ჸ <sub>C</sub>	<sup>13</sup> C ბმრ სპექტრი (დმსო -D <sub>6</sub> ) δ, δ6, J, ჸ <sub>C</sub>	
1	2	3	4	5	6	7
LXVII	209- 210	0.65	2923, 2854 (C-H Ad), 1581, 1558, 1049	296(0.37), 362(0.13)	2.08(s, 6H), 1.98 (s, 12H), 1.78 (s, 12H)	170.45, 39.23, 35.78, 33.50, 27.10
LXVIII	155- 156	0.70		268(0.15), 356(0.07)	2.12-1.28 (m, 18H)	
LXIX	168- 170	0.72	3080(C-H არომ.), 2915, 2854 (C-H Ad), 1596, 1551, 1041		7.8-7.5(m, 4H), 2.2-1.6 (m, 15H)	
LXX	176- 177	0.68	3070 (C-H არომ.), 2923, 2854(C-H Ad), 1596, 1551, 1087	286(2.77)	7.88 (d,J 8.02, 2H), 7.42 (d,J 8.02, 2 H), 2.08 (m, 9H), 1.82(m, 6H)	
LXXI	184- 185	0.85		280(3.7), 288 (3.8)	8.62(d,J 1.54), 8.28(dd, J 8.4, J 1.54, 1H), 7.99(d, J 8.4), 2.07(m, 9H), 1.77 (m, 6H)	172.66, 161.34, 148.00, 132.74, 131.00, 127.74, 123.70, 123.19, 35.51, 33.8, 26.7
LXXII	192- 194	0.80	3162.8(OH), 1627.7, 1596 .8, 1542, 1049		7.77-7.01 (m, 4H) 2.05-1.77 (m, 15H)	161.50, 158.02, 151.60, 133.74, 131.71, 121.18, 112.53, 111.11, 42.63, 38.0, 36.5, 28.26

### 2.4.3 ადამანტანშემცველი ჰიდრაზიდ-ჰიდრაზონული ლიგანდების Fe(II)-ის და Cu(II)-ის კოორდინაციული ნაერთები

მეტალები ფართოდ გამოიყენება სამედიცინო პრაქტიკაში და შესაბამისად ჩამოყალიბდა მკურნალობის ახალი მეთოდები: მაგალითად ლითიუმთერაპია, (ფსიქიკურად დაგადებულთა მკურნალობა ლითიუმის პრეპარატებით), პლატინოთერაპია (ზოგიერთი სახეობის ავთვისებიანი სიმსივნეების მკურნალობა პლატინის ნაერთებით) და სხვა [104-108, 147-150].

მეტალების მეტაბოლიტებით ან სამკურნალო ნივთიერებებთან კომპლექსების წარმოქმნა, მათი აღნაგობის დადგენა შესაძლებელს ხდის მკურნალობის ახალი მეთოდების მიკვლევას.

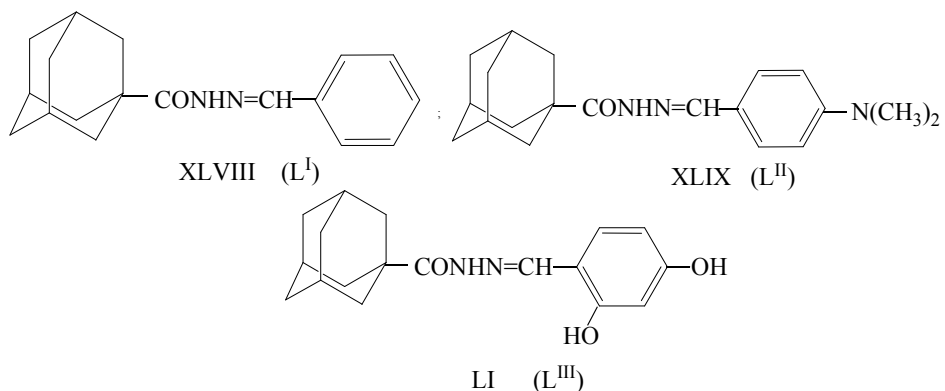
მეტალთა კოორდინაციული ნაერთები გამოიყენება არა მარტო მედიცინაში, არამედ მეცნიერებისა და ტექნიკის მრავალ დარგში, სოფლის მეურნეობაში, საღებავების წარმოებაში და ა.შ მათი გამოყენების სფერო პრაქტიკულად შეუზღუდავია [148].

მეტალთა იონებთან კომპლექსწარმოქმნის შედეგად, არსებითად იცვლება ფარმაკოლოგიური პრეპარატების თვისებები—პრეპარატის ფიზიოლოგიური აქტიურობა. მაგ., სულფამიდური პრეპარატების საწყისი აქტიური კომპლექსები Fe(II), Fe(III), Co(III)-თან წარმოქმნიან კომპლექსებს, რომლებსაც გაცილებით მაღალი ფიზიოლოგიური აქტიურობა ახასიათებთ, ვიდრე საწყის ნაერთებს (ლიგანდებს) [104-108].

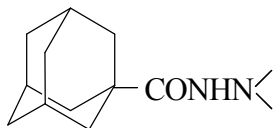
ჩვენს ერთ-ერთ მიზანს წარმოადგენდა ადამანტან-1-კარბონმჟავას ჰიდრაზიდის საფუძველზე ჩვენს მიერ მიღებული ახალი ჰიდრაზიდ-ჰიდრაზონების კომპლექსწარმოქმნის უნარის შესწავლა და ზოგიერთ d-მეტალის [Cu(II) და Fe(II)] კოორდინაციული ნაერთების სინთეზი.

#### 2.4.3.1. ჰიდრაზიდ-ჰიდრაზონული ლიგანდების სინთეზი და კომპლექსწარმოქმნის უნარის კვანტურ-ქიმიური შეფასება

გარდამავალ მეტალთა კომპლექსების მისაღებად გამოყენებულ იქნა ჩვენს მიერ სინთეზირებული ჰიდრაზიდ-ჰიდრაზონები, როგორიცაა N-(1-ადამანტოილ)-N'-ბენზალდეპიდის ჰიდრაზონი (XLVIII); N-(1-ადამანტოილ)-N'-4-დიმეთილამინობენზალდეპიდის ჰიდრაზონი (XLIXI), N-(1-ადამანტოილ)-N'-2,4-დიპიდროქსიბენზალდეპიდის ჰიდრაზონი (LI) [138,147,148], რომლებიც შემდეგი თავისებურებებით ხასიათდებიან:



- წარმოადგენენ რამდენიმე სარეაქციო ცენტრის შემცველ პოლიფუნქციურ ნაერთებს d-მეტალებთან კომპლექსების უნარით;
- შეიცავენ ადამანგანის ფრაგმენტს, რამაც გარდამავალ მეტალებთან ერთად, არსებითი როლი უნდა შეასრულოს მიზნობრივი კოორდინაციული ნაერთების ბიოლოგიურ აქტიურობის გამოვლენაში;
- შერჩეული ლიგანდების სინთეზი ხელმისაწვდომია.

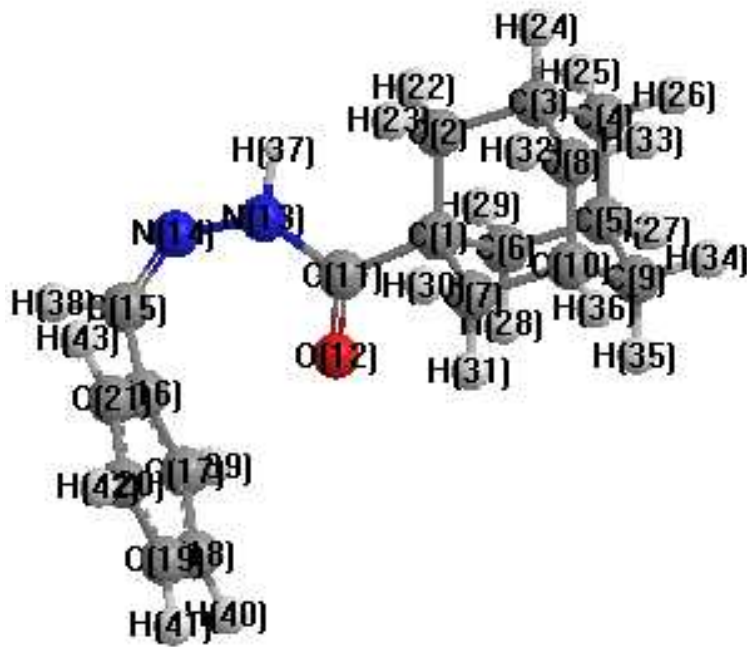


მიღებული ლიგანდებისათვის საერთო სტრუქტურული ჯგუფია ადამანგან-1-კარბონმჟავას ჰიდრაზიდული ფრაგმენტი, რომელიც შედის სინთეზირებულ ყველა ლიგანდის შედგენილობაში. ელექტრუნული სიმკვრივეების განაწილება ლიგანდში ძირითადად დამოკიდებულია ადამანგან-ჰიდრაზიდულ ფრაგმენტთან დაკავშირებულ რადიკალებზე.

ჩატარებულია საწყისი ლიგანდების ელექტრონული სტრუქტურისა და კომპლექსების უნარის კვლევა ნაცევრადემპირიული კვანტურ-ქიმიური მეთოდით AM1 (Austin Model 1) [CS Chem3D Ultra-version 8.03] [144], განსაზღვრულია მათი ენერგეტიკული და გეომეტრიული მახასიათებლები, ატომებზე ეფექტური მუხტები და ელექტრონული დასახლება ატომურ ორბიტალებზე (ელექტრონული სიმკვრივე) (ცხრილი 8-13).

დადგენილია, რომ ლიგანდის მოლეკულები შეიცავენ პოტენციურად ელექტროდონორულ ატომებს – O და N, ამიტომ შეუძლიათ d-მეტალებთან კოორდინაციული ნაერთები წარმოქმნა.

N-(1-ადამანგონილ)-N'-ბენზალდეკიდის ჰიდრაზონი (XLVIII) (ნახატი 6) ნახშირბადის C<sub>11</sub> ატომის მეზობელ ატომებთან ბმის სიგრძეები და სავალენტო კუთხეები ( $\angle C_1-C_{11}-O_{12} = 120.1^\circ$ ,  $\angle C_1-C_{11}-N_{13} = 118.6^\circ$  და  $\angle O_{12}-C_{11}-N_{13} = 121.4^\circ$ ) მიუთითებს მის sp<sup>2</sup> ჰიბრიდულ მდგომარეობაზე. უანგბადის O<sub>12</sub> ატომი სავალენტო კუთხეების მიხედვით იმყოფება sp<sup>2</sup> ჰიბრიდულ მდგომარეობაში. აზოტის ატომი N<sub>13</sub> სავალენტო კუთხეების ( $\angle C_{11}-N_{13}-N_{14} = 128.9^\circ$ ,  $\angle C_{11}-N_{13}-H_{40} = 117.0^\circ$ ,  $\angle N_{14}-N_{13}-H_{40} = 110.0^\circ$ ) სიდიდის მიხედვით იმყოფება sp<sup>2</sup> ჰიბრიდულ მდგომარეობაში. იმავე ნაერთის მოლეკულაში ატომებზე ფარდობითი მუხტების სიდიდეთა ანალიზი გვიჩვენებს, რომ პოტენციურად ელექტრონოდონორულ ატომებს წარმოადგენენ O<sub>12</sub> (q<sub>12</sub> = -0.355295) და N<sub>13</sub> (q<sub>13</sub> = -0.315839) (ცხრილი 8). ატომთა ორბიტალების ელექტრონული დასახლება გვიჩვენებს, რომ უანგბადის ატომის ერთ-ერთი ელექტრონული წყვილი იმყოფება 2s ორბიტალზე [ელექტრონული დასახლება 1.91546 (O<sub>12</sub>)] (ცხრილი 9). მას შეუძლია მეტალის ატომთან ქიმიური ბმის დამყარება დონორულ-აქცეპტორული მექანიზმით. N<sub>13</sub> ატომს არ შეუძლია იგივე ბმის წარმოქმნა, რადგანაც ელექტრონული წყვილი იმყოფება ჰიბრიდიზაციის გარეშე დარჩენილ 2p<sub>z</sub> ორბიტალზე (ელექტრონული დასახლება 1.71795-ია). ამავე დროს, n-ელექტრონების ხარჯზე ადგილი აქვს N<sub>14</sub>-ის აზოტის ატომის კოორდინაციას მეტალის იონთან (ნახატი 6).



N-(1-ადამანტოილ)-N'-ბენზალდეპიდის პიდრაზონი (XLVIII) 3D მოდელი

ცხრილი 8

N-(1-ადამანტოილ)-N'-ბენზალდეპიდის პიდრაზონის (XLVIII) მოლეკულაში  
ატომთა ფარდობითი მუხტი ( $q_i$ ) და ელექტრონული სიმკვრივე [ $q_i(d)$ ]

ატომი, $i$	ფარდობი თი მუხტი, $q_i$	ელექტრ ონული სიმკვრივ ე, $q_i(d)$	ატომი, $i$	ფარდო ბითი მუხტი, $q_i$	ელექტრონ ული სიმკვრივე, $q_i(d)$
C <sub>1</sub>	-0.057107	4.0571	H <sub>23</sub>	0.086037	0.9140
C <sub>2</sub>	-0.151028	4.1510	H <sub>24</sub>	0.090760	0.9092
C <sub>3</sub>	-0.099041	4.0990	H <sub>25</sub>	0.081184	0.9188
C <sub>4</sub>	-0.151232	4.1512	H <sub>26</sub>	0.083797	0.9162
C <sub>5</sub>	-0.101033	4.1010	H <sub>27</sub>	0.093275	0.9067
C <sub>6</sub>	-0.144070	4.1441	H <sub>28</sub>	0.108483	0.8915
C <sub>7</sub>	-0.143182	4.1432	H <sub>29</sub>	0.084429	0.9156
C <sub>8</sub>	-0.151055	4.1511	H <sub>30</sub>	0.087674	0.9123
C <sub>9</sub>	-0.149775	4.1498	H <sub>31</sub>	0.106152	0.8938
C <sub>10</sub>	-0.101055	4.1011	H <sub>32</sub>	0.081559	0.9184
C <sub>11</sub>	0.298916	3.7011	H <sub>33</sub>	0.083639	0.9164
O <sub>12</sub>	-0.355295	6.3553	H <sub>34</sub>	0.081572	0.9184
N <sub>13</sub>	-0.315839	5.3158	H <sub>35</sub>	0.086234	0.9138
N <sub>14</sub>	-0.058157	5.0582	H <sub>36</sub>	0.093301	0.9067
C <sub>15</sub>	-0.057711	4.0577	H <sub>37</sub>	0.246457	0.7535
C <sub>16</sub>	-0.090905	4.0909	H <sub>38</sub>	0.159347	0.8407
C <sub>17</sub>	-0.079603	4.0796	H <sub>39</sub>	0.154388	0.8456
C <sub>18</sub>	-0.134203	4.1342	H <sub>40</sub>	0.133685	0.8663
C <sub>19</sub>	-0.122547	4.1225	H <sub>41</sub>	0.129615	0.8704
C <sub>20</sub>	-0.139128	4.1391	H <sub>42</sub>	0.130326	0.8697
C <sub>21</sub>	-0.112389	4.1124	H <sub>43</sub>	0.131873	0.8681
H <sub>22</sub>	0.081651	0.9183			

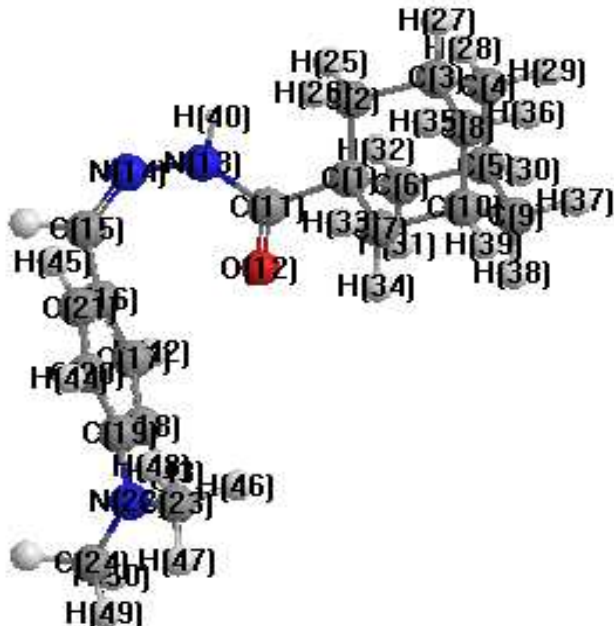
### ცხრილი 9

N-(1-ადამანტოილ)-N'-ბენზალდეკიდის ჰიდრაზონის (XLVIII) მოლეკულის ( $O_{12}$  და  $O_{13}$ ) ატომთა ორბიტალების ელექტრონული დასახლება

ატომი	2s	2p <sub>x</sub>	2p <sub>y</sub>	2p <sub>z</sub>
$O_{12}$	1.91546	1.11301	1.86931	1.45751
$N_{13}$	1.48926	1.10715	1.00147	1.71795

N-(1-ადამანტოილ)-N'-4-დიმეთილამინო-ბენზილჰიდრაზიდი (XL) (ნახატი 7), ნახშირბადის  $C_{11}$  ატომის მეზობელ ატომებთან ბმის სიგრძეები და სავალენტო კუთხეების მნიშვნელობები ( $\angle C_1-C_{11}-O_{12} = 120.1^\circ$ ,  $\angle C_1-C_{11}-N_{13} = 118.6^\circ$  და  $\angle O_{12}-C_{11}-N_{13} = 121.4^\circ$ ) მიუთითებს მის  $sp^2$  ჰიბრიდიზებულ მდგომარეობაზე. ჟანგბადის ატომის  $O_{12}$  სავალენტო კუთხეების მნიშვნელობების მიხედვით ის  $sp^2$  ჰიბრიდიზებულ მდგომარეობაშია. აზოტის ატომი  $N_{13}$  სავალენტო კუთხეების მნიშვნელობების ( $\angle C_{11}-N_{13}-N_{14} = 128.9^\circ$ ,  $\angle C_{11}-N_{13}-H_{40} = 117.0^\circ$ ,  $\angle N_{14}-N_{13}-H_{40} = 110.0^\circ$ ) მიხედვით იმყოფება  $sp^2$  ჰიბრიდულ მდგომარეობაში. ატომებზე ფარდობითი მუხტების სიდიდეთა ანალიზი გვიჩვენებს, რომ პოტენციურად ელექტრონოდონორულ ატომებს წარმოადგენს  $O_{12}$  ( $q_{12} = -0.357779$ ),  $N_{13}$  ( $q_{13} = -0.316683$ ) და  $N_{22}$  ( $q_{22} = -0.247934$ ) (ცხრილი 10). ატომთა ორბიტალების ელექტრონული დასახლება გვიჩვენებს, რომ ჟანგბადის ატომის ერთ-ერთი ელექტრონული წყვილი იმყოფება 2s ორბიტალზე [ელექტრონული დასახლება 1.91538 ( $O_{12}$ )], ხოლო  $N_{22}$  ატომის ერთ-ერთი ელექტრონული წყვილი – 2p<sub>y</sub> ორბიტალზე [ელექტრონული დასახლება 1.66458 ( $N_{22}$ )] (ცხრილი 11). მათ შეუძლიათ მეტალის ატომთან σ-ბმის წარმოქმნა დონორულ-აქცეპტორული მექანიზმით.

ნახატი 7



N-(1-ადამანტოილ)-N'-4-დიმეთილამინო-ბენზალდეკიდის ჰიდრაზონი (XLIX) 3D მოდელი

$N_{13}$  ატომს არ შეუძლია მეტალის ატომთან σ-ბმის წარმოქმნა დონორულ-აქცეპტორული მექანიზმით, რადგანაც ელექტრონული წყვილი იმყოფება ჰიბრიდიზებულ 2p<sub>z</sub> ორბიტალზე (ელექტრონული

დასახლება 1.71838-ია). ისევე როგორც ნაერთის LXVIII შემთხვევაში, XLIX ნაერთის N<sub>14</sub> ატომის n-ელექტრონების ხარჯზე შესაძლებელია მისი კოორდინაცია მეტალის იონთან.

ცხრილი 10

N-(1-ადამანტოილ)-N'-(2,4-დიჰიდროქსიბენზალდეპიდის ჰიდრაზონის (LI) მოლეკულაში ატომთა ფარდობითი მუხტი (q<sub>i</sub>) და ელექტრონული სიმკვრივეის განაწილება [q<sub>i(d)</sub>]

ატომი, i	ფარდობი თი მუხტი, q <sub>i</sub>	ელექტრონული სიმკვრივე, q <sub>i(d)</sub>	ატომი o, i	ფარდობი თი მუხტი, q <sub>i</sub>	ელექტრონული სიმკვრივე, q <sub>i(d)</sub>
C <sub>1</sub>	-0.057304	4.0573	H <sub>27</sub>	0.090132	0.9099
C <sub>2</sub>	-0.150719	4.1507	H <sub>28</sub>	0.080779	0.9192
C <sub>3</sub>	-0.099080	4.0991	H <sub>29</sub>	0.083243	0.9168
C <sub>4</sub>	-0.151132	4.1511	H <sub>30</sub>	0.092632	0.9074
C <sub>5</sub>	-0.100942	4.1009	H <sub>31</sub>	0.108193	0.8918
C <sub>6</sub>	-0.144102	4.1441	H <sub>32</sub>	0.083973	0.9160
C <sub>7</sub>	-0.143255	4.1433	H <sub>33</sub>	0.088542	0.9115
C <sub>8</sub>	-0.150886	4.1509	H <sub>34</sub>	0.107413	0.8926
C <sub>9</sub>	-0.149676	4.1497	H <sub>35</sub>	0.081540	0.9185
C <sub>10</sub>	-0.101113	4.1011	H <sub>36</sub>	0.082911	0.9171
C <sub>11</sub>	0.300749	3.6993	H <sub>37</sub>	0.080906	0.9191
O <sub>12</sub>	-0.357779	6.3578	H <sub>38</sub>	0.086244	0.9138
N <sub>13</sub>	-0.316683	5.3167	H <sub>39</sub>	0.093330	0.9067
N <sub>14</sub>	-0.063519	5.0635	H <sub>40</sub>	0.244874	0.7551
C <sub>15</sub>	-0.045319	4.0453	H <sub>41</sub>	0.156109	0.8439
C <sub>16</sub>	-0.130050	4.1301	H <sub>42</sub>	0.156681	0.8433
C <sub>17</sub>	-0.056046	4.0560	H <sub>43</sub>	0.136952	0.8630
C <sub>18</sub>	-0.174723	4.1747	H <sub>44</sub>	0.131550	0.8685
C <sub>19</sub>	0.072916	3.9271	H <sub>45</sub>	0.129939	0.8701
C <sub>20</sub>	-0.195247	4.1952	H <sub>46</sub>	0.089986	0.9100
C <sub>21</sub>	-0.082310	4.0823	H <sub>47</sub>	0.084522	0.9155
N <sub>22</sub>	-0.247934	5.2479	H <sub>48</sub>	0.053323	0.9467
C <sub>23</sub>	-0.099723	4.0997	H <sub>49</sub>	0.083461	0.9165
C <sub>24</sub>	-0.096510	4.0965	H <sub>50</sub>	0.088774	0.9112
H <sub>25</sub>	0.080743	0.9193	H <sub>51</sub>	0.057048	0.9430
H <sub>26</sub>	0.086587	0.9134			

ცხრილი 11

N-(1-ადამანტოილ)-N'-(2,4-დიჰიდროქსიბენზალდეპიდის ჰიდრაზონის (LI) მოლეკულაში ატომთა ორბიტალების ელექტრონული დასახლება

ატომი	2s	2p <sub>x</sub>	2p <sub>y</sub>	2p <sub>z</sub>
O <sub>12</sub>	1.91538	1.11148	1.87005	1.46087
N <sub>13</sub>	1.48939	1.10730	1.00162	1.71838
N <sub>22</sub>	1.52343	1.03460	1.66458	1.02532

ამგვარად, LI ნაერთის მოლეკულაში არის ორი პოტენციურად ელექტრონოდონორული ატომი – O<sub>12</sub> და N<sub>22</sub>, რის გამოც ის გვევლინება როგორც ბიდენტატური ლიგანდი. ამის გამო მას შეუძლია d-მეტალებთან

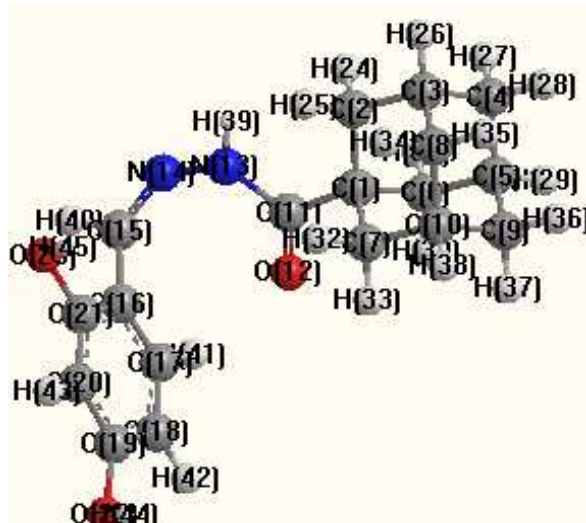
წარმოქმნას კოორდინაციული ნაერთები ცხრაწევრიანი ციკლის სახით, თუმცა, არარეალული სიგრძეების  $M \rightarrow O$  და  $M \rightarrow N(CH_3)_2$  ბმების წარმოქმნის გამო, უფრო მეტად საალბათოა 5-წევრიანი ციკლური კოორდინაციული ნაერთის წარმოქმნა, რადგან შესაბამისი კოორდინაციული ნაერთის იქ სპექტრში არ იცვლება  $N(CH_3)_2$  ჯგუფის C=N ბმის შთანთქმის ზოლი (1357 სმ<sup>-1</sup> (ცხრილი 14) მაშინ როდესაც C=N ბმის შთანთქმის ზოლი შესაბამისი ლიგანდისთვის ვლინდება, 1535.6 სმ<sup>-1</sup>, ხოლო კოორდინაციული ნაერთისთვის – 1519.5 სმ<sup>-1</sup> უბანში.

ბენზოლის ბირთვში  $N(CH_3)_2$  ჯგუფის პარამდგომარეობაში მდებარეობა კიდევ უფრო დამაჯერებელს ხდის ხუთწევრიანი სტრუქტურის წარმოქმნის ალბათობას.

ორთო- და პარა-მდგომარეობაში მდებარე  $(CH_3)_2N$  ბენზოლის ბირთვის ნახშირბად ატომზე ზრდის ელექტრონულ სიმკვრივეს, რაც თავის მხრივ, გავლენას ახდენს  $C(O)-NH-N=CH-C_6H_4-\ddot{N}A_2$  ის  $\pi$ -ჟულლების ხარისხზე და ცვლის d-მეტალის იონის კოორდინაციის ხარისხს.

მოლეკულაში ატომებზე ფარდობითი მუხტების სიდიდეთა (ცხრილი 12) ანალიზი გვიჩვენებს, რომ პოტენციალურად ელექტრონორენულ ატომებს წარმოადგენ ატომების  $O_{12}$  ( $q_{12} = -0.367069$ ),  $N_{13}$  ( $q_{13} = -0.315532$ ),  $O_{22}$  ( $q_{22} = -0.247015$ ) და  $O_{23}$  ( $q_{23} = -0.246929$ ). ატომთა ორბიტალების ელექტრონული დასახლება (ცხრილი 13) გვიჩვენებს, რომ ჟანგბადის ატომების ერთ-ერთი ელექტრონული წყვილი იმყოფება  $2s$  ორბიტალ-ზე [ელექტრონული დასახლება 1.91548 ( $O_{12}$ ), 1.86221 ( $O_{22}$ ) და 1.86235 ( $O_{23}$ )]. მათ შეუძლიათ მეტალის ატომთან σ-ბმის წარმოქმნა დონორულ-აქცეპტორული მექანიზმით.  $N_{13}$  ატომს არ შეუძლია მეტალის ატომთან σ-ბმის წარმოქმნა დონორულაქცეპტორული მექანიზმით, რადგანაც ელექტრონული წყვილი იმყოფება პიბრიდიზაციის გარეშე დარჩენილ  $2p_z$  ორბიტალზე (ელექტრონული დასახლება 1.72162-ია). თუმცა  $N_{14}$ -ის n-ელექტრონების ხარჯზე შესაძლებელია ადგილი პქონდეს კოორდინაციას მეტალის იონთან (ცხრილი 13).

ნახატი 8



N-(1-ადამანტოლ)-N'-2,4-დიოქსიბენზალდეგვიდის ჰიდრაზონი (LI)  
3D მოდელი

N-(1-ადამანტოილ)-N'-2,4-დიოქსიბენზალდეპიდის ჰიდრაზონის (LI) ატომთა ფარდობითი მუხტი (q<sub>i</sub>) და ელექტრონული სიძვრივე [q<sub>i(d)</sub>]

ატომი, i	ფარდობითი მუხტი, q <sub>i</sub>	ელექტრ ონული სიძვრივ ე, q <sub>i(d)</sub>	ატო მი, i	ფარდობი თი მუხტი, q <sub>i</sub>	ელექტრ ონული სიძვრი ვე, q <sub>i(d)</sub>
C <sub>1</sub>	-0.057074	4.0571	H <sub>24</sub>	0.081709	0.9183
C <sub>2</sub>	-0.151109	4.1511	H <sub>25</sub>	0.086495	0.9135
C <sub>3</sub>	-0.099029	4.0990	H <sub>26</sub>	0.090524	0.9095
C <sub>4</sub>	-0.151220	4.1512	H <sub>27</sub>	0.081273	0.9187
C <sub>5</sub>	-0.100990	4.1010	H <sub>28</sub>	0.083318	0.9167
C <sub>6</sub>	-0.143852	4.1439	H <sub>29</sub>	0.092998	0.9070
C <sub>7</sub>	-0.143079	4.1431	H <sub>30</sub>	0.108189	0.8918
C <sub>8</sub>	-0.150923	4.1509	H <sub>31</sub>	0.084399	0.9156
C <sub>9</sub>	-0.149631	4.1496	H <sub>32</sub>	0.086549	0.9135
C <sub>10</sub>	-0.101195	4.1012	H <sub>33</sub>	0.106754	0.8932
C <sub>11</sub>	0.301548	3.6985	H <sub>34</sub>	0.081091	0.9189
O <sub>12</sub>	-0.367069	6.3671	H <sub>35</sub>	0.083246	0.9168
N <sub>13</sub>	-0.315532	5.3155	H <sub>36</sub>	0.081189	0.9188
N <sub>14</sub>	-0.058028	5.0580	H <sub>37</sub>	0.086328	0.9137
C <sub>15</sub>	-0.028559	4.0286	H <sub>38</sub>	0.092734	0.9073
C <sub>16</sub>	-0.154963	4.1550	H <sub>39</sub>	0.247735	0.7523
C <sub>17</sub>	-0.018753	4.0188	H <sub>40</sub>	0.160669	0.8393
C <sub>18</sub>	-0.194474	4.1945	H <sub>41</sub>	0.167054	0.8329
C <sub>19</sub>	0.124353	3.8756	H <sub>42</sub>	0.156007	0.8440
C <sub>20</sub>	-0.310972	4.3110	H <sub>43</sub>	0.135141	0.8649
C <sub>21</sub>	0.134033	3.8660	H <sub>44</sub>	0.217940	0.7821
O <sub>22</sub>	-0.247015	6.2470	H <sub>45</sub>	0.219122	0.7809
O <sub>23</sub>	-0.246929	6.2469			

N-(1-ადამანტოილ)-N'-2,4-დიოქსიბენზალდეპიდის ჰიდრაზონის (LI) ატომთა ორბიტალების ელექტრონული დასახლება

ატომი	2s	2p <sub>x</sub>	2p <sub>y</sub>	2p <sub>z</sub>
O <sub>12</sub>	1.91548	1.11072	1.87127	1.46960
N <sub>13</sub>	1.48458	1.10805	1.00129	1.72162
O <sub>22</sub>	1.86221	1.40948	1.78825	1.18708
O <sub>23</sub>	1.86235	1.34561	1.75314	1.28583

ამგვარად, მოლეკულაში არის სამი პოტენციალურად ელექტრონოდონორული ატომი – O<sub>12</sub>, O<sub>22</sub> და O<sub>23</sub>, ამავე დროს d-მეტალებთან კოორდინაციის უნარი შეძლება გამოავლინოს N<sub>13</sub>-მა.

ამ გათვლების საფუძველზე შემუშავებულ იქნა აღნიშნული ლიგანდების ზოგიერთ d-მეტალთან [Cu(II), Fe(II)] კოორდინაციული ნაერთების სინთეზის ოპტიმალური პირობები [138, 140-142]. სინთეზი ჩატარდა ორგანული ლიგანდების ეთანოლ ხსნარის და შესაბამისი მეტალის მარილის წყალხსნარების ნარევის (მოლური თანაფარდობა MX<sub>n</sub>: L – 1:1 და 1:2) დუღილით 1-1,5 საათის განმავლობაში [138].

მიღებული კოორდინაციული ნაერთები LXXVIII-LXXXII წარმოადგენენ სხვადასხვა ფერის წვრილკრისტალურ ნივთიერებებს. ამ ნაერთების აღნაგობა დადგენილ იქნა ინფრაწითელი სპექტროსკოპიული და ელემენტური თერმოგრავიმეტრიული ანალიზის მეთოდებით [138, 151, 152] (ცხრილი 14, ნახაზი 4,5,6).

მიღებული კოორდინაციული ნაერთების და ადამანტანშემცველი ლიგანდების ინფრაწითელი სპექტრების ანალიზმა გვიჩვენა (ცხრილი 14), რომ ორგანული ლიგანდის მოლეკულა მეტალების ცენტრალურ ატომებთან კოორდინირებულია კარბონილის ჯგუფის ჟანგბადატომისა და აზომეთინის N-ატომით (სქემა 27) [138].

ცხრილი 14

კოორდინაციული ნაერთების LXXVIII-LXXXII ზოგიერთი ფიზიკურ-ქიმიური მახასიათებელი.

Nº	ნაერთი	შეფერილობა	$t^0$ დაშლ.	იშ სპექტრი, ν სმ <sup>-1</sup>
LXXVIII	$\text{Fe}(\text{L}^{\text{II}})_2\text{SO}_4 \cdot 2\text{H}_2\text{O}$	მოყვითალო	320-395	3220 (NH); 2900, 2846, (CH, Ad); 1643 (C=O); 1643 (C=N); 1550, 1357 (C-N) 1172 (C-H ვალ.); 1018 (C-C); 948, 817 (C-H დეფ); 725 (OCN); 678, 578 (ამიღ MN+MO); 400 (MO).
LXXIX	$\text{Cu}(\text{L}^{\text{II}})_2\text{Cl}_2$	მომწვანეობურებლი	285-380	3200 (NH), 1590 (C=O); 1650 - (C=N); 1457 (CH <sub>2</sub> ), 1373 (CH <sub>3</sub> ); 1311 (C-N); 1172 (C-H ვალ.); 1018 (C-C); 948, 817 (C-H დეფ); 725 (OCN); 678, 578 (ამიღ); 400 (MO).
LXXX	$\text{Cu}(\text{L}^{\text{I}})_2\text{Cl}_2$	ღია უკონებლი	270-395	3309 (NH), 1650, 1604 (C=O); 1645 (C=N); 527 (CN+H+O); 457-(CH <sub>2</sub> ), 1373, 1311 (CH <sub>3</sub> ); 1249 (C-N); 1180, 1103 (C-H ვალ.); 972, 941, 856 (C-H დეფ); 1056 (C-C), 725 (OCN); 694, 609 (CNM+MNN); 516 (MN+ MO); 400 (MO).
LXXXI	$\text{Cu}(\text{L}^{\text{III}})_2\text{Cl}_2$	შავი	260-390	3162 (NH), 1652 (C=N); 1596, 1535 (C=O); 1457 (CH <sub>2</sub> ); 1373, 1303 (CH <sub>3</sub> ); 1234 (C-N); 1172 (C-H ვალ.); 979, 941, 848 (C-H დეფ); 1072 (C-C), 725 (OCN); 664, 609 (CNM+MNN); 524 (MN+MO).
LXXXII	$\text{Fe}(\text{L}^{\text{III}})_2\text{SO}_4 \cdot 2\text{H}_2\text{O}$	მუქი მწვანე	310-385	3232 (NH), 1619 (C=N); 1558 (C=O); 1457 (CH <sub>2</sub> ); 1373 (CH <sub>3</sub> ); 1234 (C-N); 1180 (C-H ვალ.); 979, 848 (C-H დეფ); 725 (OCN); 663, 540 (ამიღ); 501, 470 (MN+MO).

კომპლექსური ნაერთების LXXVIII-LXXXII იწ სპექტრებით დადგენილია ლიგანდების უანგბადის ატომებს და შესაბამისი M(II) იონებს შორის კოორდინაცია. შესაბამისად იწ სპექტრში ჩნდება შთანთქმის ახალი ზოლები 400სმ<sup>-1</sup>~524სმ<sup>-1</sup> უბანში. ძლიერი კორდინაციული ბმა წარმოიქმნება თავისუფალი შიფის ფუძის ტიპის ლიგანდების C=N ჯგუფის Naტომსა და M(II) იონებთან: შესაბამისი შთანთქმის ზოლებია (C=N, IV-1643სმ<sup>-1</sup>, V-1650სმ<sup>-1</sup>, VI-1645სმ<sup>-1</sup>, VII-1652სმ<sup>-1</sup>, 1619 (C=N) უბანში [138,151,152].

მიღებულ კოორდინაციულ ნაერთთა LXXVIII-LXXXII იწ სპექტრებში კარბონილის ჯგუფის სავალენტო რხევის შესაბამისი შთანთქმის ზოლის წანაცვლება [Δν (C=O) ≈ 30-40სმ-1] თავისუფალ ლიგანდობან შედარებით მიუთითებს, რომ ორგანული ლიგანდი მეტალის ატომთან კოორდინირებულია კარბონილის უანგბადატომის მეშვეობით (M← O=C<), ასევე აზოტის ატომის n ელექტრონებით.

მიღებულ კოორდინაციულ ნაერთებში LXXVIII-LXXXII განსაზღვრულია მეტალის შემცველობა და მათი მოლური ელექტროგამტარობა. სპილენდ (II) ქლორიდისა და ლიგანდების (L<sup>I</sup>, L<sup>II</sup>, L<sup>III</sup>) საფუძველზე მიღებული კომპლექსები ბილიგანდებია და შეიცვენ წყალს (ცხრილი 15). ლიგანდები (L<sup>II</sup>, L<sup>III</sup>) FeSO<sub>4</sub>•7H<sub>2</sub>O -თან წარმოქმნიან ბი(ლიგანდურ)დი(აქვა) კომპლექსებს [138].

სპილენდ(II) და რკინა(II) კოორდინაციული ნაერთის მოლური ელექტროგამტარობა დმტა-ში იცვლება 76-88 Sსმ<sup>2</sup>მოლ<sup>-1</sup> ფარგლებში, რაც მიუთითებს 1:1 ტიპის ელექტროლიტზე (69-90 S სმ<sup>2</sup> მოლ<sup>-1</sup> ლიტ.) [138,148].

ცხრილი 15

კოორდინაციულ ნაერთებში (LXXVIII- LXXX II) მეტალის შემცველობა და მოლური ელექტროგამტარობა

№	ნაერთი	$\lambda_M^{**}$	მეტალის შემცველობა (%) ნაპოვნი (გამოთვლილი)
LXXVIII	Fe(L <sup>II</sup> ) <sub>2</sub> SO <sub>4</sub> •2H <sub>2</sub> O	87.5	11.30 (11.45)
LXXIX	Cu(L <sup>II</sup> ) <sub>2</sub> Cl <sub>2</sub>	85.2	10.50 (10.76)
LXXX	Cu(L <sup>I</sup> ) <sub>2</sub> Cl <sub>2</sub>	76.4	11.65 (11.82)
LXXX I	Cu(L <sup>III</sup> ) <sub>2</sub> Cl <sub>2</sub>	79.7	9.48 (9.55)
LXXX II	Fe(L <sup>III</sup> ) <sub>2</sub> SO <sub>4</sub> •2H <sub>2</sub> O	84.3	11.35 (11.64)

\* $\lambda_M$  განსაზღვრულია დმტ, 1მმოლ/დმ<sup>3</sup> ხსნარში 25<sup>0</sup> C; Sსმ<sup>2</sup>მოლ<sup>-1</sup>

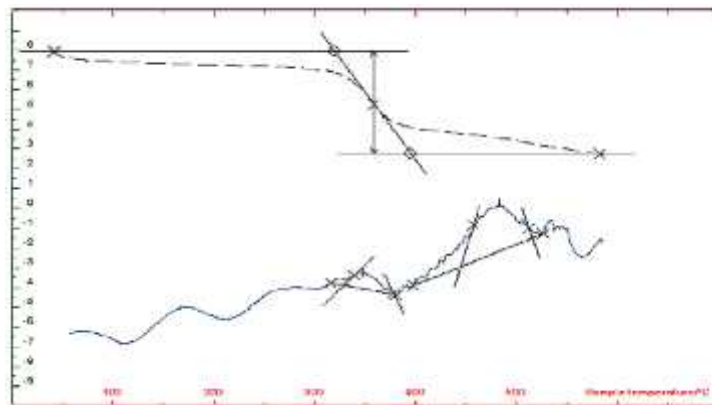
თერმული ანალიზის მეთოდით დადგენილია კომპლექსების თერმოლიზის ტემპერატურული ინტერვალები და მიღებული ნაერთების თერმული მდგრადობა.

LXXVIII-LXXXII კოორდინაციული ნაერთის თერმოგრავიმეტრიულმა ანალიზმა აჩვენა, რომ მათი თერმოლიზი წარმოადგენს რთულ პროცესს. წყლის მოლეკულების მოხლევების შემდეგ ადგილი აქვს ორგანული ლიგანდის მოლეკულების ეტაპობრივ მოწყვეტას. თერმოლიზის საბოლოო პროდუქტს წარმოადგენს შესაბამისი d-მეტალის ოქსიდი ან მარილი.

LXXVIII კოორდინაციული ნაერთის თერმული ანალიზის მრუდებიდან ჩანს (ნახაზი 4), რომ ნიმუშის მასის კლება იწყება 110 <sup>0</sup>C-დან (ენდოთერმული ეფექტი) ხოლო მეორე ენდოთერმული ეფექტი (200<sup>0</sup>-210<sup>0</sup>) სავარაუდოდ დაკავშირებულია წყლის მოლეკულების მოხლევასთან, რადგან

ამავე ინტერვალში ადგილი აქვს მასის შედარებით მცირე ცვლილებას. აღსანიშნავია, რომ ასეთ ენდოთერმულ ეფექტს სპილენბის კომპლექსის DTA მრუდზე ადგილი არა აქვს.

ნახაზი 4

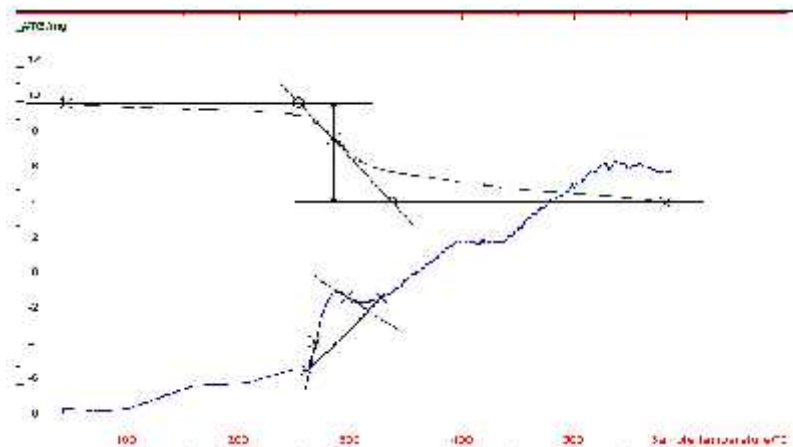


კომპლექსის  $[Fe(L^{II})_2SO_4 \cdot 2H_2O]$  (LXXVIII) თერმოგრავიმეტრიული მრუდები

მასის მკვეთრი ცვლილება შეინიშნება  $325^0$ - $400^0C$ -ზე, რომელიც შეადგენს ნიმუშის მასის  $33\%-ს$ . ამავე ტემპერატურულ ინტერვალში აღინიშნება ეგზოტერმული ეფექტი ( $\mu vs/mg = -8.9$ ). ამ ინტერვალში ეგზოტერმული ეფექტი გამოწვეულია  $FeSO_4$ -ის ურთიერთქმედებით ორგანულ ლიგანდოან ან მისი დაშლის პროდუქტებთან. ჩვენს მიერ ცალკე ექსპერიმენტით დადგენილ იქნა, რომ ლიგანდი და  $FeSO_4$  ნარევი  $300^0$ - $350^0$  ურთიერთქმედებენ  $SO_2$ -ის გამოყოფით, რაც კიდევ ერთხელ მიუთითებს, რომ ადგილი აქვს  $SO_4^{2-}$  იონების აღდგენას ორგანული ნაერთებით, რკინას კომპლექსში ლიგანდი დაშლას იწყებს  $325^0C$ -დან.  $400^0C$  ზემოთ მიმდინარე პროცესები დაკავშირებულია პიროლიზის პროდუქტების ურთიერთქმედებასთან, რომელიც მიმდინარეობს რთული მექანიზმით.  $300$ - $400^0C$ -ინტერვალში შესაძლებელია ასევე ლიგანდის არომომატული ბირთვის სულფირება  $SO_2$ -ითა და  $SO_3$ -ით [138].

LXXXI კომპლექსის თერმული ანალიზით დადგენილია (ნახაზი 5), რომ კომპლექსი  $Cu(L^{III})_2Cl_2$  დეპიდრატაციას იწყებს  $100^0C$ -ზე. (შედარებისათვის  $CuCl_2 \cdot 2H_2O$  დეპიდრატაციას განიცდის  $110^0C$ -ზე).  $250^0$ - $350^0C$ -ზე ადგილი აქვს მასის მკვეთრ კლებას, რაც დაკავშირებულია ორგანული ლიგანდის მოწყვეტასთან.

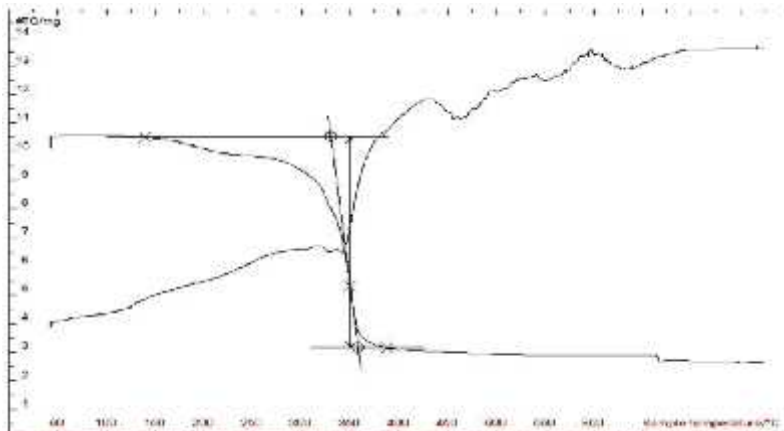
ნახაზი 5



კომპლექსის  $[Cu(L^{III})_2Cl_2]$  (LXXXI) თერმოგრავიმეტრიული ანალიზის მრუდები

მასის შემდგომი კლება დაკავშირებულია ქლორიდების, სპილენბის ოქსიდის ან ფუძე ქლორიდების აღდგენასთან და პიროლიზის პროცესის გადრმავებასთან, რაც გულისხმობს აქროლადი პროდუქტების მოცილებას სისტემიდან.  $350^{\circ}\text{C}$ -ს ზემოთ ძირითადად მიმდინარეობს ორგანული პროდუქტების კონდენსაცია და შესაძლოა  $\text{CuO}$  აღდგენა სპილენბამდე. აქვე უნდა აღინიშნოს, რომ ეგზოთერმული ეფექტის 80% გამოწვეულია იმ პროცესებით, რომელიც მიმდინარეობს  $300^{\circ}\text{C}$ - მდე.

LXXIX კომპლექსის თერმული ანალიზით დადგენილია (ნახაზი 6), რომ კომპლექსნაერთის მასის კლება  $200^{\circ}\text{-}250^{\circ}\text{C}$  ინტერვალში შეადგენს საერთო ნახაზი 6



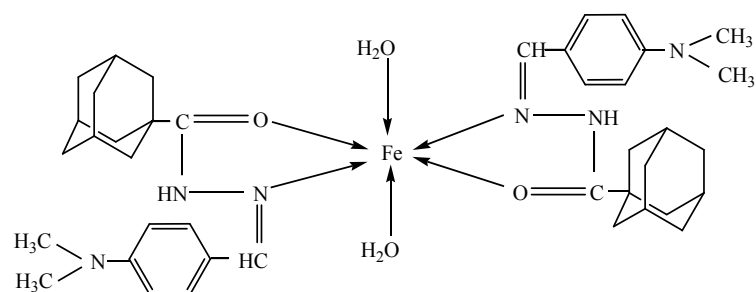
კომპლექსის  $[\text{Cu}(\text{L}^{\text{II}})_2\text{Cl}_2]$  (LXXIX) თერმოგრავიმეტრიული ანალიზის მრუდები

მასის 10%-ს,  $250^{\circ}\text{-}275^{\circ}\text{C}$  ინტერვალში მრუდზე სითბური ევექტი არ შეინიშნება.  $275^{\circ}\text{C}$ -დან  $375^{\circ}\text{C}$ -მდე ადგილი აქვს მასის მკვეთრ ცვლილებას, (საერთო მასის 60%), რაც დაკავშირებულია კომპლექსის თერმულ დისოციაციასთან. ამავე ინტერვალში აღინიშნება ენდოთერმული ევექტი.

ფიზიკურ-ქიმიური მეთოდებით კომპლექსების ანალიზის მონაცემების საფუძველზე ქვემოთ მოტანილია სინთეზირებული კოორდინაციული ნაერთების სავარაუდო სტრუქტურები, სადაც გათვალისწინებულია კარბონილის ჯგუფის ჟანგბადის და  $\text{C}=\text{N}$ -ის ჯგუფის აზოტის ატომების მეტალთან კოორდინაციის უნარი და ციკლის მდგრადობა.

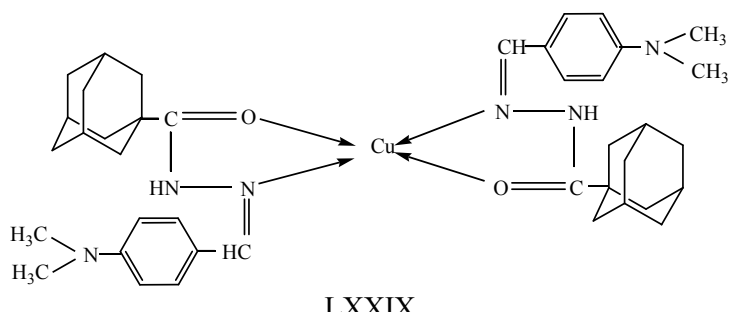
სქემა 27

სინთეზირებული ჰიდრაზიდო-ჰიდრაზონული კომპლექსების LXXVIII-LXXXII სტრუქტურები:



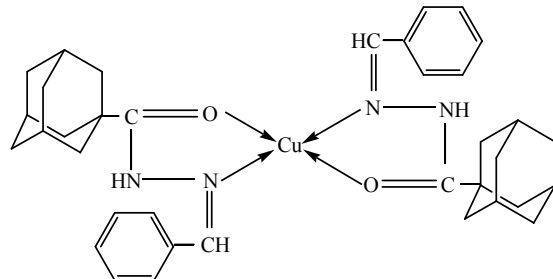
LXXVIII

$\text{N}-(1\text{-ადამანტოლ})\text{-N}'-(4\text{-დიმეთილამინო})\text{-ბენზალდეპიდის$  ჰიდრაზონის ( $\text{L}^{\text{II}}$ ) რკინა(II)-ის დიაქვა კომპლექსი



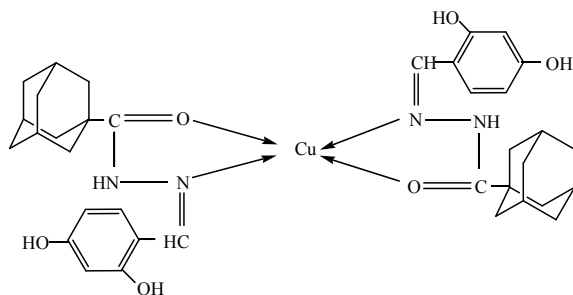
LXXIX

N-(1-օդամանջուրով)-N'-({4-ֆոմյոտոլամինով)-ծյենթալդյուքսօվ Յուգրաթոնօվ (L<sup>II</sup>) Սպոլյեն(II)-օկտոմէլոյյելօ



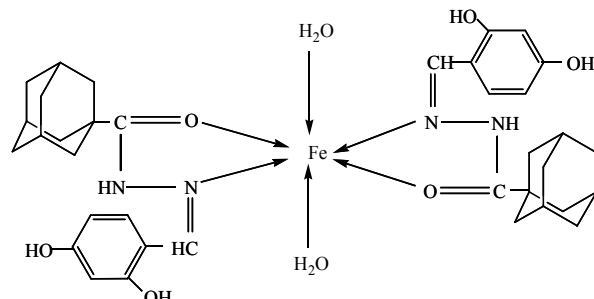
LXXX

N-(1-օդամանջուրով)-N'-ծյենթալդյուքսօվ Յուգրաթոնօվ (L<sup>I</sup>) Սպոլյեն(II)-օկտոմէլոյյելօ.



LXXXI

N-(1-օդամանջուրով)-N'-({2,4-ֆոոյյիսօնօնիթիալդյուքսօվ)Յուգրաթոնօվ (L<sup>III</sup>) Սպոլյեն(II)-օկտոմէլոյյելօ



LXXXII

N-(1-օդամանջուրով)-N'-({2,4-ֆոոյյիսօնօնիթիալդյուքսօվ)Յուգրաթոնօվ (L<sup>III</sup>) Ռյոնա(II)-օկտոմէլոյյելօ.

### 3. ექსპერიმენტული ნაწილი

ინფრაწილი სპექტრები გადაღებულია ხელსაწყოზე Specord IR-75, სპექტროფოტომეტრზე FT-IR "THERMONICOLET", Spectrum BX FT-IR Perkin Elmer (400-4000 სმ<sup>-1</sup>) – (ვაზელინის ზეთი, ჰექსაქლორბუტადიენი, კალიუმის ბრომიდი). ულტრაიისფერი სპექტრები გადაღებულია სპექტროფოტომეტრზე UV/VIS, "Varian" CARRY-100 ქლოროფორმში. ბირთვულ-მაგნიტური რეზონანსის სპექტრები გადაღებულია სპექტრომეტრებზე BRUKER AM-360 (300 მგ), UNITY-400 uppchemws 2 (400 მგ) და Tesla BS-497 (100 მგ), დეიტერიობულ გამსხვილებში: [CD<sub>3</sub>-CO-CD<sub>3</sub>], [(CD<sub>3</sub>)<sub>2</sub>SO], [CDCl<sub>3</sub>]. <sup>1</sup>H-<sup>13</sup>C-ჰეტერობირთვული სპექტრები გადაღებულია ხელსაწყოზე BRUKER drelaman-AD-132 (700 MHz). მას-სპექტრები გადაღებულია ხელსაწყოზე Ribermag 10-10B და MMX-1321A 16, ნიმუშის პირდაპირი შეტანით მაიონიზირებელ არეში, მაიონიზირებელი ელექტრონების ენერგია 70 ევ.

რეაქციის მსვლელობა, ნაერთთა სისუფთავის კონტროლი და R<sub>f</sub>-ის მნიშვნელობები განსაზღვრულია ფირფიტების (Silufol UV-254, Silufol, Alufol) გამოყენებით. სვეტური ქრომატოგრაფიისათვის სორბენტად გამოყენებულია სილიკაგელი L40/100, L100/400.

კომპლექსნაერთების თერმული ანალიზი ჩატარებულია ხელსაწყოზე SETARAM-24. ლდობის ტემპერატურა განსაზღვრულია ხელსაწყოზე Boetius, ვიზუალური მოწყობილობით PHMK 05 და Meelting Point Meter MPM-HV2.

პინსერულ კომპლექსებზე კვლევები ჩატარებულია: ბმრ <sup>1</sup>H და <sup>31</sup>P სპექტრები რეგისტრირებულია სპექტრომეტრებზე "Bruker AMX-400"(400.13 და 161.98 მგ შესაბამისად); იწ სპექტრები -"Bruker-IFS-113" სპექტრომეტრზე. რენტგენოსრუქტურული კვლევები ჩატარებულია დიფრაქტომეტრით "SMART APEX II", Mo-Ka ( $\lambda=0.71073 \text{ \AA}$ ) გამოსხივებით. კლასტერის კრისტალოგრაფიული კვლევების ჩატარებისას გამოყენებულ იქნა SAINT, SADABS და SHELXTL-97 პროგრამები. პინსერულ კომპლექსების ყველა სინთეზი ჩატარდა არგონის ატმოსფეროში.

#### ადამანტანონი

სამყელა კოლბაში, (მექანიკური მომრევით, თერმომეტრი და გაზგამყვანი მილი), ათავსებენ 13.6გ ადამანტანს, მორევის პირობებში უმატებენ 300 მლ 98%-იან გოგირდმუვას, ნარევს აცხელებენ წყლის აბაზანაზე 70°C-მდე, შემდეგ ტემპერატურას აწევენ 80°C-მდე. სარეაქციო ნარევს შლიან 800გ ყინულზე. წარმოქმნილ სუსპენზიას წვლილავენ ეთერით, ორგანულ ფენას რეცხავენ ნატრიუმის ქლორიდის წყალსნარით, წყლით და აშრობენ Na<sub>2</sub>SO<sub>4</sub>-ზე. გამსხვილების მოცილების შემდეგ დებულობენ 10.2გ(68%) თეთრი ფერის კრისტალებს. ლდ.ტ. 280-282°C (ჰექსანიდან); ლიტ. 278-282°C [24,153]. იწ სპექტრი, ν, სმ<sup>-1</sup>: 3000-2800 (C-H-ადამანტანის); 1717, 1670, 1690, 1725 (C=O).

#### აცეტილადამანტანი

7.5გ კადმიუმის ქლორიდის სუსპენზიას აბსოლიტური ეთერის არეში, წვეთობით უმატებენ გრინიარის რეაქტივს, რომელიც მომზადებული 2გ Mg და 11.6გ CH<sub>3</sub>I-დან. შემდეგ უმატებენ 50 მლ აბს. ბენზოლს და სარეაქციო ნარევს აკოცენტრირებენ 25 მლ-მდე. წარმოქმნილ დიმეთილკადმიუმის სუსპენზიას აბს. ბენზოლის არეში წვეთობით უმატებენ AdCOCl ბენზოლსნარს (მომზადე-

ბულს 9გ (0.05 მოლი) ადამანტან-1-კარბონმჟავასაგან), მთლიანად დამატების შემდეგ სარეაქციო ნარევს ადუდებენ 1სთ და შლიან შემჟავებული ყინულოვანი წყლით. ნარევს წვლილავენ ეთერით, ეთერსსნარს რეცხავენ ნატრიუმის თოსულფატის ხსნარით, შემდეგ წყლით ნეიტრალურ რეაქციამდე.

ეთერის მოცილების შემდეგ ნაშთს ამუშავებენ 15%-იანი ნატრიუმის ტუტის ხსნარით (რეაქციაში შეუსვლელი ადამანტანკარბონმჟავას მოსაცილებლად). ეთერსსნარს რეცხავენ წყლით ნეიტრალურ რეაქციამდე. აშრობენ  $\text{Na}_2\text{SO}_4$ -ზე. ეთერის მოცილებისა და მყარი ნაშთის იზოოქტანში გადაკრისტალების შემდეგ მიიღება 6.2გ (69.7%) თეთრი ფერის კრისტალები. ლდ.ტ. 52-54°C (ლიტ. 53-54°C) [24,154].

### ეთინილფეროცენი (I)

**β-ქლორ-β-ფეროცენილაკროლეინი** სინთეზირებულია ვილსმაიერის კომპლექსის გამოყენებით. აბსოლუტური დიმეთილფორმამიდის ურთიერთქმედებით  $\text{POCl}_3$ -თან (+6 ÷ 10°C, 30 წთ, Ar) მიღებული იქნა ვილსმაიერის კომპლექსი  $[(\text{CH}_3)_2\text{N}-\text{CHOPoCl}_2]\text{Cl}$ . ამ კომპლექსზე მონოაცეტილფეროცენის დამატებით (-5 ÷ +2°C, 90 წთ, Ar) და ნარევის შემდგომი გაცხელებით (45 ÷ 50°C, 3 სთ) მიღებულია მოწითალო-იასამნისფერი **β-ქლორ-β-ფეროცენილაკროლეინი**. ფისოვანი მინარევებისაგან მას ასუფთავებენ ქრომატოგრაფიულად ( $\text{Al}_2\text{O}_3$ , ელუენტი ბენზოლი). ლდ.ტ. 76-78°C, გამოსავლიანობა (70-82%).

**ეთინილფეროცენის (I) სინთეზი** განხორციელდა **β-ქლორ-β-ფეროცენილაკროლეინის** ურთიერთქმედებით 5N NaOH ხსნართან დიოქსანის არეში დუღებით. რეაქცია გრძელდება 3÷4 სთ-ის განმავლობაში. რეაქციის დასრულება მოწმდება თხელფენოვანი ქრომატოგრაფიით (სილუფოლი, ელუენტი ჰექსანი-ეთერი 10:1). სარეაქციო ნარევიდან ეთინილფეროცენის გამოყოფა ხდება სვეტური ქრომატოგრაფიის მეთოდით ( $\text{Al}_2\text{O}_3$ , ელუენტი ჰექსანი:ეთერი 10:1). მიიღება ნარინჯისფერი ეთინილფეროცენი, ლდ.ტ. 54-56°C, ლიტ. 53°C [155], გამოსავლიანობა 65-83%.

### 2-ჰიდროქსი-2-ეთინილადამანტანი (III)

უფერო კრისტალები ლდ.ტ. 105-106°C (ჰექსანიდან); ლიტ. ლდ.ტ. 106-107°C [41] იქ სპექტრი, ν, სმ<sup>-1</sup>: 3470, 3370, 3180 (OH); 3310(≡C-H); 2930, 2855 (C-H ადამანტილი), 2080 (C≡C).

### 2-ჰიდროქსი-2-ფეროცენილეთინილადამანტანი (IV)

მომზადებულ გრინიარის რეაქტივს (0.48გ (0.02 მოლი) Mg და 2.18გ (0.02 მოლი) ეთილბრომიდი, 50 მლ. აბს. ეთერი), მორევის პირობებში წვეთ-წვეთობით უმატებენ 4.2გ (0.02 მოლი) ეთინილფეროცენის (I) ხსნარს 30 მლ აბს. ეთერში, ოთახის ტემპერატურაზე 1 საათის განმავლობაში. სარეაქციო ნარევს ურევენ 30 წუთს და წვეთ-წვეთობით უმატებენ 1.5გ (0.01 მოლი) ადამანტანის გახსნილს 40 მლ აბს. ეთერში. მორევას აგრძელებენ 2 სთ. განმავლობაში. რეაქციის დასრულების შემდეგ სარეაქციო ნარევს შლიან შემჟავებული ყინულოვანი წყლით, ნარევს წვლილავენ ეთერით, ეთერსსნარს რეცხავენ ნეიტრალურ რეაქციამდე და აშრობენ ნატრიუმის სულფატზე, აკონცენტრირებენ მშრალ ნაშთამდე, ასუფთავებენ ქრომატოგრაფიულად (ადსორბენტი-Al<sub>2</sub>O<sub>3</sub>, ელუენტი-ჰექსანი). ღებულობენ 1,8გ (50%) ნარინჯისფერ

კრისტალებს ლდ.ტ. 206-208°C, იშ სპექტრი, ν, სმ<sup>-1</sup>: 3500-3200, მაქს. 3420 (O-H); 3080 (C-H ფეროცენის), 2990, 2960, 2940, 2880, 1345, 1110, 970 (C-H ადამანტილის), 2220 (C≡C-დიჩანაცვლებული). ნაპოვნია, %: C 73.31, H 6.77; C<sub>22</sub>H<sub>24</sub>FeO: გამოთვლილია, %: C 73.34, H 6.71.

ქვემოთ მოყვანილი ნაერთების (V, VI) სინთეზი ჩატარებულ იქნა ანალოგიურად.

### 2-ჰიდროქსი-2-(1-ჰიდროქსიპროპინილ)ადამანტანი (V)

უფერო კრისტალები ლდ.ტ. 151-152°C (ლიტ. 150-151°C [41]). იშ სპექტრი, ν, სმ<sup>-1</sup>: 3400-3100, მაქს. 3245(OH); 2940, 2920, 2840, 1450(C-H ადამანტილის, CH<sub>3</sub>).

### ბის(2-ჰიდროქსი-2-ადამანტილ)აცეტილენი (VI)

უფერო კრისტალები. ლდ.ტ. 295-296°C (ლიტ. 295-296°C [41]). იშ სპექტრი, ν, სმ<sup>-1</sup>: 3500-3100, მაქს. 3270(OH); 2920, 2890, 2850, 1355, 1103 (C-H-ადამანტილის).

### 1-ფეროცენილ-3-(1-ადამანტილ)-3-ჰიდროქსიბუტინი (VII)

გრინიარის რეაქტივს, (0.24გ (0.01 მოლი) Mg და 1.09გ(0.01 მოლი) ეთილბრომიდი 50 მლ აბს. ეთერი), ჰელიუმის არეში წვეთ-წვეთობით უმატებენ 1.05გ(0.01 მოლს) ფეროცენილაცეტილენის ხენარს 15 მლ ტპ-ში 25 წუთის განმავლობაში. შემდეგ უმატებენ 05გ(0.005 მოლი) აცეტილადამანტანს გახსნილს 7მლ ტპ-ში. რეაქციის დასრულების შემდეგ სარეაქციო ნარევს ამუშავებენ შემუშავებული ყინულოვანი წყლით, წვლილავენ ეთერით, აშრობენ Na<sub>2</sub>SO<sub>4</sub>-ზე, გამხსნელის მოცილების შემდეგ ღებულობენ ბლანტ მუქი წითელი ფერის მასას, რომელსაც ასუფთავებენ ქრომატოგრაფიულ სვეტზე (სილიკაგელი, ელუენტი-ჰექსანი, ჰექსანი-ეთერი 1:1). ღებულობენ 0.6გ (55%) მუქ წითელი ფერის ბლანტ მასას. იშ სპექტრი, სმ<sup>-1</sup>: 3670-3200, მაქს. 3470(OH); 3120(C-H Fc); 2990, 2960, 2940, 2880, 1345, 1110, 970(C-H Ad, C<sub>3</sub>), 2260(C≡C) ნაპოვნია, %: C 73.9; H 8.1, C<sub>24</sub>H<sub>28</sub>OFe: გამოთვლილია, % : C 74.2; H 7.24.

### 4-ადამანტილ-1,4-დიჰიდროქსიპენტინ-2 (VIII)

გრინიარის რეაქტივს (2.88გ(0.12 მოლი) Mg და 13.08გ(0.12 მოლი) 9 მლ ეთილბრომიდი 50 მლ აბს. ეთერი) მუდმივი მორევის პირობებში წვეთ-წვეთობით უმატებენ პროპარგილის სპირტს 3.36გ (0.06 მოლი) 3.5 მლ განხავებულს 50 მლ აბს. ეთერში. 3 სთ-ის მორევის შემდეგ, ოთახის ტემპერატურაზე წვეთ-წვეთობით უმატებენ 3.56გ(0.02 მოლი) 1-აცეტილადამანტანის ეთერს ხენარს. რეაქციის დასრულების შემდეგ სარეაქციო ნარევს ამუშავებენ შემუშავებული ყინულოვანი წყლით, წვლილავენ ეთერით, ეთერს ხენარს Na<sub>2</sub>SO<sub>4</sub>-ზე, გამხსნელის მოცილების შემდეგ ნარჩენს რეცხავენ ჰექსანით, ღებულობენ 1,55გ უფერო კრისტალები ლდ.ტ. 155°C. (ლიტ. 153-154°C)[41].

### 1-(2-ჰიდროქსი-2-ადამანტილ)-3-ჰიდროქსი-3-(ადამანტილ-1)ბუტინი (IX)

უფერო კრისტალები, ლდ.ტ. 160-161°C (ლიტ. 160-162°C ) [41].

### 1-(2-ჰიდროქსი-2-ადამანტილ)-3-ფეროცენილბუტინი (X)

გრინიარის რეაქტივს, რომელიც მიღებულია 0.24გ (0.01 მოლი) Mg და 2.18გ(0.01 მოლი) 15 მლ C<sub>2</sub>H<sub>5</sub>Br 50 მლ აბს. ეთერში, წვეთ-წვეთობით მუდმივი მორევის პირობებში უმატებენ 30 მლ აბს. ეთერში გახსნილ 3.52გ (0.02 მოლ) 2-ჰიდროქსი-2-ეთინილადამანტანის. სარეაქციო ნარევს ურევენ 2 სთ-ის განმავლობაში ოთახის ტემპერატურაზე. შემდეგ წვეთ-წვეთობით უმატებენ 50

მლ აბს. ბენზოლში გახსნილ 2.28გ(0.01მოლი) აცეტილფეროცენს. სარეაქციო ნარევს ადუღებენ 2 სთ განმავლობაში. რეაქციის დამთავრების შემდეგ სარეაქციო ნარევს შლიან შემუავებული ყინულიან წყლით, წარმოქმნილ ნალექს ფილტრავენ, რეცხავენ წყლით. ნეიტრალურ რეაქციამდე ლებულობენ 2გ ნივთიერება, რომელიც ირეცხება ეთერ-ჰექსანის ნარევით(1:1). მიღებულ იქნა 1.7გ ნარინჯისფერი კრისტალები. ლდ.ტ.135-136°C. დარჩენილ ეთერ-ბენზოლ-წყალსნარს წვლილავენ ეთერით, ორგანულ ფენას რეცხავენ, ლებულობენ 3.2გ (80%) ნარინჯისფერ კრისტალებს. ლდ.ტ. 135-136°C. იქ სპექტრი ( $C_4Cl_6$ -ში), v, სმ<sup>-1</sup>: 3500-3150, მაქს. 3480, 3320(OH); 3080(C-H Fc); 2990, 2960, 2880, 2870(C-H Ad); 2240(C≡C). ნაპოვნია %: C 70.9; H 7.9;  $C_{24}H_{28}O_2Fe$ : გამოთვლილია, % : C 71.3; H 6.98.

### 1-ფეროცენილ-1-ფენილ-3-(2-ჰიდროქსი-2-ადამანტილ)პროპინი (XI)

ბუტილლითიუმის სსნარს, რომელიც მიღებულია 0.28გ(0.02 მოლი) Li და 2.1 მლ(0.02 მოლი) ნ-ბუტილქლორიდისაგან 50 მლ აბს. ეთერში, შედმივი მორევის პირობებში წვეთ-წვეთობით უმატებენ 1.76გ(0.02 მოლი) 2-ჰიდროქსი-2-ეთინილადამანტანს გახსნილს 30 მლ აბს. ეთერში (20°C, He). მთლიანად დამატების შემდეგ სარეაქციო ნარევს ურევენ 1 სთ-ის განმავლობაში. წარმოქმნილ კომპლექსს წვეთ-წვეთობით უმატებენ 1.45გ(0.01 მოლი) ბენზოლფეროცენის სსნარს აბს. ტჰფ-ში. შემდეგ სარეაქციო ნარევს ურევენ 2 სთ-ის განმავლობაში. რეაქციის დასრულების შემდეგ სარეაქციო ნარევს შლიან ყინულოვანი წყლით, ორგანულ ფენას რეცხავენ ნეიტრალურ რეაქციამდე და აშრობენ  $Na_2SO_4$ -ზე, გამსხველის ვაკუუმშე მოცილების შემდეგ ნარჩენს ასუფთავებენ ქრომატოგრაფიულ სვეტზე (ადსორბენტი სილიკაგელი 100/160). პეტროლეინის ეთერით ელუირდება ზედა ლაქა, პეტროლეინის ეთერი-დიეთილის ეთერი (5:1) ნარევით კი რეაქციაში შეუსვლელი 2-ოქსი-2-ეთინილადამანტანი, ძირითადი პროდუქტის ელუირდება ხდება დიეთილისეთერით. ლებულობენ მოწითალო ფერის ბლანტი მასა R<sub>f</sub> 0,75 (ჰექსანი/ეთერი 2:3) და ბორდოსფერი კრისტალები, ლდ.ტ 149-150°C. R<sub>f</sub> 0.5 (ჰექსანი/ეთერი 2:3). იქ სპექტრი, v, სმ<sup>-1</sup> (ვაზელინში) : 3550-3150, მაქს. 3490, 3390, 3320, 3200 (O-H); 3120, 3065, 3030(C-H არომ), 2200(C≡C); იქ სპექტრში არ ჩანს >C=0 დამახასიათებელი შთანთქმის ზოლი 1750-1600 სმ<sup>-1</sup> უბანში.

### 1,1'-ბის-(1-ფენილ-1,4-დიჰიდროქსი-2-ბუტინილ)ფეროცენი (XIV)

ბუტილლითიუმის სსნარს, რომელიც მომზადებულია 2.8გ(0.4 მოლი) Li, 28გ(0.2 მოლი)  $C_4H_9Br$  100 მლ აბს. ეთერში, პელიუმის არეში ოთახის ტემპერატურაზე უმატებენ 30 მლ აბს. ტეტრაჰიდროფურანში გახსნილ 5.6გ (0.1 მოლი) პროპარგილის სპირტს 35 წთ-ის განმავლობაში. რეაქცია გრძელდება 2 სთ განმავლობაში. შემდეგ წვეთ-წვეთობით უმატებენ 60 მლ აბსოლუტურ ტჰფ-ში გახსნილ 10გ (0.025 მოლი) დიბენზოილფეროცენს 1 სთ განმავლობაში. 7 საათის შემდეგ ნარევს შლიან ყინულოვანი წყლით. წვლილავენ ეთერით. ეთერფენას რეცხავენ წყლით ნეიტრალურ რეაქციამდე, აშრობენ  $Na_2SO_4$ -ზე. აცილებენ გამსხველის და ნარჩენს რეცხავენ ჰექსანით. ლებულობენ 11.5გ (90%) ყვითელი ფერის კრისტალებს. ლდ.ტ 193-195°C. იქ სპექტრი, v, სმ<sup>-1</sup>: (ვაზელინში და  $C_4Cl_6$ ): 3570-3100, 3370, 3320(OH); 3090, 3060, 3030(C-H არომატული); 2950, 2870(C-H ალიფატური). ნაპოვნია, %: C 71.09; H 4.89; Fe 10.80;  $C_{30}H_{26}FeO_4$ . გამოთვლილია, % : C 71.04; H 5.13; Fe 11.06.

### 1-ოქსო-1-(2-ჰიდროქსი-2-ადამანტილ)-2-ადამანტილიდენეთანი (XVI)

ბის(2-ჰიდროქსი-2-ადამანტილ)აცეტილენის (VI) 0.3გ-ს უმატებენ 5 მლ ყინულოვან ძმარმჟავას მორევის პირობებში, ოთახის ტემპერატურაზე. სარეაქციო ნარევს აცივებენ ( $0\text{--}5^{\circ}\text{C}$ ) და წვეთ-წვეთობით უმატებენ 0.5 მლ კონც.  $\text{H}_2\text{SO}_4$ , რეაქცია სრულდება 45 წთ განმავლობაში; რეაქციის მსვლელობას აკვირდებიან თხელფენოვანი ქრომატოგრაფიის საშუალებით. (სილუფოლი, ელუენტი: ჰექსანი/ეთერი 1:5)

დებულობენ ლიმნისფერი კრისტალები 0.28გ (80%). ლდ.ტ.  $230\text{--}231^{\circ}\text{C}$ . იწ სპექტრი, ν, სმ<sup>-1</sup> ( $\text{C}_4\text{Cl}_6$ ): 3500-3150, მაქს. 3250 (O-H); 2920, 2850 (C-H Ad), 1760, 1690, 1625 (C = C - C = O)

### 1-ოქსო-1-(2-ჰიდროქსი-2-ადამანტილ)-3-ფეროცენილბუტენ-2 (XVII)

1-(2-ჰიდროქსი-2-ადამანტილ)-3-ფეროცენილბუტინის (X) 0.5გ-ს უმატებენ 5 მლ ყინულოვან ძმარმჟავას, სარეაქციო ნარევს ურევენ ოთახის ტემპერატურაზე. რეაქციის მსვლელობას აკვირდებიან თხელფენოვანი ქრომატოგრაფიის მეთოდით. სილუფოლი, ელუენტი: ჰექსანი-ეთერი (1:5). რეაქცია მთავრდება 30 წუთში. სარეაქციო ნარევს შლიანთ ყინულოვანი წყლით და ფილტრავენ. ნალექს რეცხავენ სოდის ხსნარით ნეიტრალურ რეაქციამდე, აშრობენ, დებულობენ 0.4გ (80,7%) მოყავისფრო კრისტალებს, ლდ.ტ.  $135\text{--}136^{\circ}\text{C}$ . იწ სპექტრი, ν, სმ<sup>-1</sup>, (გაზელინი): 3650-3140, 3400(O-H); 3100(C-H Fc); 1740, 1720, 1660, 1600 (C = C - C = O)

### 1,1'-ბის-(1-ფენილ-1-მეთოქსი-4-ჰიდროქსიბუტინ-2-ილ)ფეროცენი (XVIII)

0.5გ (0.001 მოლი) 1,1'-ბის(1-ფენილ-1,4-დიჰიდროქსი-2-ბუტინილ)ფეროცენს 10 მლ აბსოლუტურ ტპ-ში გახსნილს, უმატებენ 50 მლ აბს. მეთანოლს და 0.2გ(0.001 მოლი) კატალიზატორს  $\text{HgSO}_4$ . რეაქცია სრულდება 10 წთ-ში. რეაქციის მსვლელობას აკვირდებიან თხელფენოვანი ქრომატოგრაფიით. სარეაქციო ნარევს ფილტრავენ სილიკაგელის ფენაში. გამხსნელს აცილებენ, დებულობენ 0,46 (85%) მოყვითალო-მოყავისფრო ბლანტ მასას.  $R_f$  0,37. ეთერი-ჰექსანი (3:1),  $R_f$  0,43 ეთერი-ჰექსანი (4:1). ნაპოვნია %: C-72.08, 5.95; Fe- 10.56;  $\text{C}_{32}\text{H}_{30}\text{O}_4\text{Fe}$ : გამოთვლილია % : C-71.91; H-5.80; Fe-10.48.

### 1,1'-ბის(1-ფენილ-4-ჰიდროქსი-2-ბუტინილ)ფეროცენი (XIX)

სამყელა კოლბაში  $0^{\circ}\text{C}$ -ზე 15 მლ აბსოლუტური ეთერის არეში ამზადებენ 0.006მოლ აღმდგენ კომპლექსს. [0.23გ 0.006 მოლი  $\text{LiAlH}_4$  და 0.8გ 0.006 მოლი  $\text{AlCl}_3$ ], რომელსაც წვეთ-წვეთობით უმატებენ 15 მლ ტპ-ში გახსნილ 0.5გ (0.001 მოლი) 1,1'-ბის(1-ფენილ-1,4-დიჰიდროქსი-2-ბუტინილ)ფეროცენს (XIV) ოთახის ტემპერატურაზე. რეაქცია მყისიერად მიმდინარეობს და მთავრდება ნივთიერების დამატებისთანავე. სარეაქციო არეს შლიან ყინულოვანი წყლით. წარმოიქმნება ორი ფენა. ორგანულ ფენას აშორებენ, ხოლო წყალსნარს წვლილავენ ეთერით. გაერთიანებულ ორგანულ ფენებს რეცხავენ წყლით ნეიტრალურ რეაქციამდე და ფილტრავენ სილიკაგელის ფენაში. გამხსნელის მოცილების შემდეგ დებულობენ 0.4გ (85%) მოყვითალო-მოწითალო ფერის ბლანტ მასას.  $R_f$  0,6 ეთერი/ჰექსანი (2:1);  $R_f$  0,49 ჰექსანი-ეთერი(1:1). ნაპოვნია, %: C-75.18; H-5.54;  $\text{C}_{30}\text{H}_{26}\text{O}_2\text{Fe}$  გამოთვლილია, %: C-75.09; H-5.48; Fe-11.81.

**$\eta^6$ -ნაფტალინ(η<sup>5</sup>-ციკლოპენტადიენილ)რკინა(II) ჰექსაფტორფოსფატი  
[Fe( $\eta^5$ -C<sub>5</sub>H<sub>5</sub>)( $\eta^6$ -C<sub>10</sub>H<sub>8</sub>)][PF<sub>6</sub>] (XX)**

500 მლ სამყელა კოლბაში ათავსებენ 1.3 გ AlCl<sub>3</sub>, 0.13 გ Al, 12 გ ნაფტალინს და 2.5 გ ფეროცენს გახსნილს 100 მლ დეკალინში, წევთწვეობით უმატებენ 0.5 მლ ტიტან(IV) ქლორიდს; ნარინჯისფერი ხსნარის მიღების შემდეგ სარეაქციო ნარევის ტემპერატურას ზრდიან 140°C-მდე. რეაქციას ატარებენ მუდმივი მორევის პირობებში 32 სთ-ის განმავლობაში. რეაქციის დამთავრების შემდეგ ნარევს აცივებენ ოთახის ტემპერატურამდე და შლიან ყინულოვანი წყლით, რომელშიდაც წინასწარ შეაქვთ 25 მლ 30% HCl და 25მლ 30% H<sub>2</sub>O<sub>2</sub>-ის ხსნარი. წყლის ფენას ფილტრავენ და უმატებენ 5.2 გ KPF<sub>6</sub>. ახდენენ მიღებული დია ყვითელი ფერის ნალექის ექსტრაქციას CH<sub>2</sub>Cl<sub>2</sub>-ით (5x100მლ). ორგანულ ფენას აშრობენ Na<sub>2</sub>SO<sub>4</sub>-ით. აკონცენტრირებენ მშრალ ნაშთამდე, ღებულობენ 6.7გ (80%) [Fe( $\eta^5$ -C<sub>5</sub>H<sub>5</sub>)( $\eta^6$ -C<sub>10</sub>H<sub>8</sub>)][PF<sub>6</sub>]. ლლ.გ. 155-160°C. <sup>1</sup>H პმრ (400 მჴ, აცეტონი-d<sub>6</sub>): δ 5.15 (s, 5H), 6.47, 6.48 (m, 2H) 7.24, 7.25 (m, 2H), 7.70, 7.73 (m, 2H), 7.89, 7.92(m, 2H), 7.24, 7.25 (m, 2H), 7.70, 7.73(m, 2H). 7.89, 7.92 (m, 2H). <sup>13</sup>C პმრ (100.5 მჴ, აცეტონი- d<sub>6</sub>): δ 79.7, 83.9, 85.9, 97.2, 129.3, 131.5. <sup>31</sup>P პმრ (162 მჴ, აცეტონი- d<sub>6</sub>): იქ სპექტრი, v, სმ<sup>-1</sup>: 3122, 1630, 1530, 1412, 818, 554, MS(ESI): m/z 295([M]<sup>+</sup>+H, 100); გამოთვლილია C<sub>15</sub>H<sub>13</sub>F<sub>6</sub>FeP (439.3021): C 41.01; H 2.98. ნაპოვნია: C 41.66; H 3.35.

**ტრიაცეტონიტრილ(η<sup>5</sup>-ციკლოპენტადიენილ)რკინა(II) ჰექსაფტორფოსფატი,  
[Fe( $\eta^5$ -C<sub>5</sub>H<sub>5</sub>)(CH<sub>3</sub>CN)<sub>3</sub>][PF<sub>6</sub>] (XXI)**

200 მლ შლენკის კოლბაში ათავსებენ 6გ ნაფტალინის კომპლექსს ([Fe( $\eta^5$ -C<sub>5</sub>H<sub>5</sub>)( $\eta^6$ -C<sub>10</sub>H<sub>8</sub>)][PF<sub>6</sub>]), ატარებენ აზოტს და უმატებენ 60 მლ აცეტონიტრილს. 24სთ-ს მორევის შემდეგ სარეაქციო კოლბაში შეაქვთ 50 მლ პენტანი, 5 წუთის შემდეგ კოლბიდან შპრიცის საშუალებით სარეაქციო ნარევს აცილებენ პენტანის ფენას, რომელშიც გახსნილია ნაფტალინი. ამ ოპერაციას იმეორებენ ორჯერ. სარეაქციო ნარევს გვლავ ურევენ 24 სთ განმავლობაში და ისევ წვლილავენ 3-ჯერ პენტანით (3x50 მლ). 55 სთ-ის მორევის შემდეგ ნარევს აორთქლებენ ვაკუუმში, ხოლო ნაშთს რეცხავენ პენტანით (3x50მლ), რის შედეგადაც ღებულობენ ნარინჯისფერ კრისტალებს, 5.75გ (97%). <sup>1</sup>H პმრ (400 მჴ, აცეტონი-d<sub>6</sub>): δ 4.25 (s, 5H), 2.44 (s, 9H). <sup>13</sup>C პმრ (100.5 მჴ, აცეტონი- d<sub>6</sub>): δ 79.7, 83.9, 85.9, 97.2, 129.3, 131.5; <sup>31</sup>P პმრ (162 მჴ, აცეტონი-d<sub>6</sub>) δ 2.4, 68.6, 125.9; იქ სპექტრი, v, სმ<sup>-1</sup>: 2282, 1412, 1032, 830, 556.

**(1-ეთოქსიკარბონილ)-3-ფორმილფერცენი (XXII)**

ორყელა კოლბაში შეაქვთ 0.7გ [Fe( $\eta^5$ -C<sub>5</sub>H<sub>5</sub>)(CH<sub>3</sub>CN)<sub>3</sub>][PF<sub>6</sub>], 0.5 გ (2-ეთოქსიკარბონილ)-6-დიმეთილამინო პენტაფულვენი და 90 მლ 1,2-დიქლორეთანი, რეაქციას ატარებენ 14-სთ დუღილის პირობებში. რეაქციის დასრულების შემდეგ ნარევს შლიან 12.5 მლ NaOH-ის 2N ხსნარით მორევის პირობებში. ღებულობენ მოწითალო ნარინჯისფერ ხსნარს, რომელსაც წვლილავენ 1,2-დიქლორეთანით (2x50მლ). ხსნარს აშრობენ CaCl<sub>2</sub>-ზე, აკონცენტრირებენ მშრალ ნაშთამდე, რომლის ქრომატოგრაფირებით (სილიკაგელი, ელუენტი-ჰექსანი:ეთერი) ღებულობენ ყვითელი ფერის ნივთიერებას, 0.25გ (27%). <sup>1</sup>H პმრ (CDCl<sub>3</sub>) 1.38 (t, J 7Hz. 3H. CH<sub>2</sub>-CH<sub>3</sub>), 4.32 (s,5H, C<sub>5</sub>H<sub>5</sub>)(dd, J<sub>1</sub>3Hz, J<sub>2</sub> 1.2 Hz, 1H, 5-H)

5.19(dd,  $J_1$ 3Hz,  $J_2$ 1.2 Hz, 1H, 5-H) 5.19 (dd,  $J_1$  3Hz,  $J_2$  1.2 Hz, 1H, 4-H) 5.45(t,  $J$  1.2Hz, 1H, 2-H) გამოთვლილია,  $C_{14}H_{14}FeO_3$  (285.11): C, 58.77; H, 4.93; ნაკოვნია: C, 58.71; H, 4.84.

**1,3-ბის(ჰიდროქსიმეთილ)ფეროცენი,  
[1,3-(HOCH<sub>2</sub>)<sub>2</sub>C<sub>5</sub>H<sub>3</sub>]Fe(C<sub>5</sub>H<sub>3</sub>) (XXIII)**

30მლ ეთერში გახსნილ 0.3გ (1-ჰიდროქსიკარბონილ)-3-ფორმილფეროცენს წვეთ-წვეთობით უმატებენ LiAlH<sub>4</sub>-ის სუსპენზიას (120 მგ) 30 მლ ეთერში. ნარევს ურევენ 5 სთ და შემდეგ შლიან 50 მლ ცივი წყლით. ეთერის ფენის მოცილების შემდეგ ნაშთს ექსტრაგირებენ 2-ჯერ დიქლორმეთანით (2x20მლ). ორგანულ ფენებს აერთიანებენ და აორთქლებენ. მიღებული ზეთისებური ნაშთის ქრომატოგრაფირებით ( $Al_2O_3$ , ელუენტი- $CH_3OH$ ) გამოყოფენ ყვითელი ფენის, ფხვნილისებურ ნივთიერებას, 0.200გ (70%). ლდ.ტ. 115-116°C. <sup>1</sup>H ბმრ (400 მგ), აცეტონი- $d_6$ ): δ 4.11 (s, 5H, C<sub>5</sub>H<sub>5</sub>), 4.13 (d, 2H  $J$  1.1Hz, H C<sub>5</sub>H<sub>2</sub>), 4.25(t, 1H,  $J$  1.1Hz, H C<sub>5</sub>H<sub>2</sub>), 4.29 (s, 4H, CH<sub>2</sub>OH).

**1,3-ბის(დიტრეტბუტილფოსფინომეთილ)ფეროცენი,  
[1,3-(Bu<sup>t</sup><sub>2</sub>PCH<sub>2</sub>)<sub>2</sub>C<sub>5</sub>H<sub>3</sub>]Fe(C<sub>5</sub>H<sub>3</sub>) (XXIV)**

0.5 მგ 1,3-ბის(ჰიდროქსიმეთილ)ფეროცენს ხსნიან 40 მლ ძმარმჟავაში და უმატებენ 0.6 გ დიტრეტბუტილფოსფინის HP(<sup>t</sup>C<sub>4</sub>H<sub>9</sub>)<sub>2</sub>; სარეაქციო ნარევს ურევენ 3 სთ-ს განმავლობაში 95°C-ზე. ძმარმჟავას აცილებენ ვაკუუმირებით, ხოლო ნაშთს წვლილავენ (3x50მლ) დიქლორმეთანით. ექსტრაქტს რეცხვავენ  $Na_2CO_3$ -ის ნაჯერი ხსნარით და ფენებს ყოფენ. ორგანულ ფენას აკოცენტრირებენ მშრალ ნაშთამდე, ნაშთს ხსნიან უწყლო მეთანოლში. მეთანოლს ხსნარს აცივებენ - 78°C-მდე, რის შედეგადაც გამოკრისტალდება ყვითელი ნივთიერება 0.4გ (45%). <sup>1</sup>H ბმრ ( $CDCl_3$ ): δ 1.07(2d, 36H,  $J_{P,H}$  10.7Hz, C(CH<sub>3</sub>)<sub>3</sub>, 2.53(d,  $J$  2.3Hz., 4H, CH<sub>2</sub>P), 4.02 (s, 5H, C<sub>5</sub>H<sub>5</sub>), 4.11 (s, 2H, C<sub>5</sub>H<sub>2</sub>H), 4.31(s, 1H, C<sub>5</sub>H<sub>2</sub>H); <sup>31</sup>P[<sup>1</sup>H] ბმრ ( $CDCl_3$ ), δ 81.70 (s).m/z 502 [M<sup>+</sup>].

**{2,5-ბის[(დიტრეტბუტილფოსფინო)მეთილ]ფეროცენ-1-ილ}  
ქლოროკარბონილრუთენიუმი, RuCl(CO)[<sup>t</sup>-Bu<sup>t</sup>P,C,P<sup>Fe</sup>] (XXV)**

0.42 გ 1,3-ბის(დიტრეტბუტილფოსფინომეთილ)ფეროცენის სუსპენზიას მშრალ 2-მეთოქსიეთანოლში (50მლ) უმატებენ 0.4გ RuCl<sub>2</sub>(DMSO)<sub>4</sub> და 0.1 გ ტრიეთილამინის. ნარევს ადუდებენ 3სთ განმავლობაში, შემდეგ აცივებენ, ფილტრავენ და ხსნარს აკონცენტრირებენ ვაკუუმში. ნაშთის ქრომატოგრაფირებით ( $Al_2O_3$ , ელუენტი - ჰექსანი:ეთილაცეტატი 2:2), გამოყოფენ მუქ მწვანე კრისტალებს, 0.32გ (58%). <sup>1</sup>H ბმრ ( $CDCl_3$ ): δ 1.08 (18 H, CH<sub>3</sub>,  $J_{H,P}$  6.4 Hz); 1.53 (18 H, CH<sub>3</sub>,  $J_{H,P}$  7.0 Hz); 2.79 (dt, 2H, CH<sub>4</sub>H<sub>B</sub>P,  $J_{H,H}$  16.7 Hz,  $J_{H,P}$  4.8 Hz); 3.22 (dt, 2 H, CH<sub>4</sub>H<sub>B</sub>P,  $J_{H,H}$  16.7Hz,  $J_{H,P}$  2.7Hz); 4.05 (s, 5H, C<sub>5</sub>H<sub>5</sub>); 4.32 (s, 2 H, C<sub>5</sub>H<sub>2</sub>). <sup>31</sup>P[<sup>1</sup>H] ბმრ ( $CDCl_3$ ), δ: 83.0 (s,2P). იშ (CH<sub>2</sub>Cl<sub>2</sub>): ν<sub>co</sub> 1914 სმ<sup>-1</sup>, m/z(%): 666.1 [M]<sup>+</sup> (100). ნაკოვნია, (%): C 52.50; H 6.89;  $C_{29}H_{47}ClFeOP_2Ru$ . გამოთვლილია (%): C,52.30; H, 7.11.

**{2,5-ბის[(დიტრეტბუტილფოსფინო)მეთილ]ფეროცენ-1-ილ}  
ქლოროდიკარბონილრუთენიუმი,  $\text{RuCl}(\text{CO})_2[\text{t-Bu P,C,P}^{\text{Fe}}]$  (XXVI)**

60 მგ  $\text{RuCl}(\text{CO})[\text{t-Bu P,C,P}^{\text{Fe}}]$ -ს ხსნიან 5 მლ  $\text{CDCl}_3$ -ში და ხსნარში ატარებენ  $\text{CO}$  ბარბატირებით 30 წთ-ის განმავლობაში. ხსნარის შეფერილობა გადადის მომწვანო-ყავისფერიდან ყვითელში. ბმრ ( $^1\text{H}$ ,  $^{31}\text{P}$ ) და იქ სპექტრული მონაცემებით დამტკიცებულია დიკარბონილური კომპლექსის წარმოქმნა. გამსხველის აორთქლებით ზემოთაღნიშნულ კომპლექსს წყდება 1 მოლეკულა  $\text{CO}$ .  $^1\text{H}$  ბმრ ( $\text{CDCl}_3$ ):  $\delta$  1.46 (18 H,  $\text{CH}_3$ ,  $J_{\text{H,P}}$  6.6 Hz), 1.65 (18 H,  $\text{CH}_3$ ,  $J_{\text{H,P}}$  6.5 Hz), 2.82 (2H,  $\text{CH}_A\text{H}_{\text{B,P}}$ ,  $J_{\text{H,H}}$  16.5 Hz,  $J_{\text{H,P}}$  3.7), 3.91 (s, 5H,  $\text{CH}_A\text{H}_{\text{B,P}}$ ,  $J_{\text{H,H}}$  16.5 Hz,  $J_{\text{H,P}}$  3.7Hz); 3.91 (s, 5H,  $\text{C}_5\text{H}_5$ ); 4.19 (s, 2 H,  $\text{C}_5\text{H}_2$ ).  $^{31}\text{P}[^1\text{H}]$  ბმრ( $\text{CDCl}_3$ ),  $\delta$  99.94 (s, 2P). იქ ( $\text{CDCl}_3$ ):  $v_{\text{co}}$ , სგ<sup>-1</sup>, 1945, 2024.

**{2,5-ბის[(დიტრეტბუტილფოსფინო)მეთილ]ფეროცენ-1-ილ}-  
დიკარბონილრუთენიუმ (II) ტეტრაკის{3,5-ბის(ტრიფტორმეთილ)ფენილ}  
ბორატი,  $\{\text{RuCl}(\text{CO})_2[\text{t-Bu P,C,P}^{\text{Fe}}]\}\text{BAr}_4$  (XXVII)**

70 მგ  $\text{RuCl}(\text{CO})[\text{t-Bu P,C,P}^{\text{Fe}}]$ -ს ხსნიან 50 მლ  $\text{CH}_2\text{Cl}_2$ -ში და ხუთი წუთის განმავლობაში ატარებენ ნახშირბადის მონოოქსიდს. ხსნარის შეფერილობა იცვლება მომწვანო-ყავისფერიდან ყვითლამდე, წვეთწვეთობით უმატებენ 89 მგ  $\text{NaBAr}_4$  ( $\text{CH}_2\text{Cl}_2$ ). ხსნარი დებულობს მუქ მწვანე შეფერილობას. რეაქციის დასრულების შემდეგ, ხსნარს ფილტრავენ, გამსხველს აშორებენ ვაკუუმში, ხოლო ნაშთს აკრისტალებენ ნ-ჰექსანი:  $\text{CH}_2\text{Cl}_2$  ნარევიდან. დებულობენ 130 მგ მუქი მწვანე ფერის ნივთიერებას (85%).  $^1\text{H}$  ბმრ ( $\text{CDCl}_3$ )  $\delta$  0.95 (18 H,  $\text{CH}_3$ ,  $J_{\text{H,P}}$  6.8 Hz), 1.50 (18 H,  $\text{CH}_3$ ,  $J_{\text{H,P}}$  7.6 Hz), 3.15 (2H,  $\text{CH}_A\text{H}_{\text{B,P}}$ ,  $J_{\text{H,H}}$  16.6 Hz,  $J_{\text{H,P}}$  4.5 Hz), 3.27 (2 H,  $\text{CH}_A\text{H}_{\text{B,P}}$ ), 4.32 (s, 5H,  $\text{C}_5\text{H}_5$ ), 4.93 (s, 2 H,  $\text{C}_5\text{H}_2$ ).  $^{31}\text{P}[^1\text{H}]$  ბმრ ( $\text{CDCl}_3$ ),  $\delta$  98.9 (s, 2P).  $^{11}\text{B}$ : ბმრ ( $\text{CDCl}_3$ ),  $\delta$ : 6.70 (s, 1B). იქ ( $\text{KBr}$ ),  $v_{\text{co}}$ , სგ<sup>-1</sup>, 1979, 2042. MS, m/z(%): 658.9 [ $\text{M-BAr}_4^+$ ] (100). ნაპოვნია (%): C 48.17; H 3.43;  $\text{C}_{62}\text{H}_{59}\text{BF}_{24}\text{FeO}_2\text{P}_2\text{Ru}$ . გამოთვლილია (%): C 48.93; H 3.90.

**1-[({ტრიფტორმეთილფოსფინო]ოქრო}4-ფეროცენილ-1,3-ბუტადიინი,  
 $\text{FeC}_4\text{AuPPh}_3$  (XXVIII)**

ეთინილფეროცენისა (I) და ტრიმეთილსილილაცეტილენის კონდენსაციით ტეტრამეთილეთილენდიამინისა და  $\text{CuCl}$ -ის თანაობისას ტეტრაჰიდროფურანში დებულობენ 1-ტრიმეთილ-4-ფეროცენილ-1,3-ბუტადიინი.  $\text{FeC}_4\text{AuPPh}_3$  სინთეზი ხორციელდება მეთანოლში: 75 მლ კალიუმის ტუტის (500 მგ  $\text{KOH}$ , 9 მმოლი) მეთანოლხსნარში შეაქვთ 360 მგ (1.175 მმოლი)  $\text{Fe-C}\equiv\text{C-C}\equiv\text{C-SiMe}_3$  და 525 მგ (1.06 მმოლი)  $\text{AuCl(PPh}_3)$  ნარევი. 1 სთ-ის შემდეგ ხსნარს აცივებენ  $-3 \div -5^\circ\text{C}$ -მდე. გამოყოფილ ნალექს რეცხავენ ცივი მეთანოლით (2x15 მლ) და აშრობენ ვაკუუმში. მიიღება 646 მგ (92%) მოწითალო-ნარინჯისფერი  $\text{FeC}_4\text{AuPPh}_3$ . იქ ( $\text{CH}_2\text{Cl}_2$ ),  $v_{\text{co}}$ , სგ<sup>-1</sup>, 2065, 2007, 1978, 1943;  $v(\text{C}\equiv\text{C})/\text{s}^{-1}$ : 2194, 2077. ბმრ  $^1\text{H}$  სპექტრი ( $\text{CDCl}_3$ ),  $\delta$ , გ. გ.,  $J/\text{Hz}$ : 4.26 (t,  $J_{\text{H-H}}$  1.7 Hz; 2 H), 4.27 (s, 5 H), 4.56 (t,  $J_{\text{H-H}}$  1.7 Hz; 2 H), 7.52 (m, 15 H).  $^{31}\text{P}$  ბმრ ( $\text{CDCl}_3$ ):  $\delta$  81.70 (s).

**დირენიუმის კარბონილის ბის-აცეტონიტრილიანი კომპლექსი,  
Re<sub>2</sub>(CO)<sub>8</sub>(CH<sub>3</sub>CN)<sub>2</sub> XXIX**

სამყელა კოლბაში შეაქვთ 400 მლ აცეტონიტრილი და 30 წთ-ის განმავლობაში ატარებენ არგონს. შემდეგ შეაქვთ ახლად სუბლიმირებული 5გ დირენიუმდეკარბონილი და 1.2 გ ტრიმეთილამინოქსიდი, (ტრი-მეთილამინოქსიდი მიღებულია (CH<sub>3</sub>)<sub>3</sub>NO •2H<sub>2</sub>O-ის გაუწყლობით დიმეთილფორმამიდის მეშვეობით). სარეაქციო ხსნარში 20 წთ-ის შემდეგ უმატებენ დირენიუმდეკარბონილისა (5 გ) და ტრიმეთილამინოქსიდის (12 გ) ახალ ულუფებს. 40 წთ-ის შემდეგ სარეაქციო ნარევში კვლავ შეაქვთ იგივე ნივთიერებების ნარევი. სარეაქციო ხსნარს ურევენ 35°C-ზე 40 წთ-ის განმავლობაში, შემდეგ კი აკონცენტრირებენ როტორული ამაორთქლებელით. მიიღება ~15 გ მყარი ნაშთი. მიღებული ნარევიდან მიზნობრივი ნივთიერებების გამოყოფა ხდება ქრომატოგრაფიულ სვეტზე (80სმ x 2.5სმ), რომელიც შევსებულია სილიკაგელით (40÷100 მკმ). ელუენტად გამოყენებულია ბენზოლი. ელუანგის პაერზე ან როტორულ ამაორთქლებელზე კონცენტრირებით მიიღება 6.4 გ ყვითელი ფერის კრისტალური ნივთიერება, 2,6-Re<sub>2</sub>(CO)<sub>8</sub>(CH<sub>3</sub>CN)<sub>2</sub>, ლდ. ტ. 155-159°C, და 2,6- და 2,3-იზომერების ნარევი (~3.0 გ). გამოსავლიანობა 60-63%. იწ (CH<sub>2</sub>Cl<sub>2</sub>), ν<sub>CO</sub>, სმ<sup>-1</sup>, 2070, 2016, 1969, 1930, 1905.

**1-[({ტრიფენილფოსფინოქრო]4-ფეროცენილ-1,3-ბუტადიინილ-დირენიუმ ოქტაკარბონილი, Re<sub>2</sub>(AuPPh<sub>3</sub>)(μ-C<sub>4</sub>F<sub>9</sub>)(CO)<sub>8</sub> (XXX)**

კომპლექსი მიღებული იქნა Re<sub>2</sub>(CO)<sub>8</sub>(CH<sub>3</sub>CN)<sub>2</sub> და FcC<sub>4</sub>AuPPh<sub>3</sub> ურთიერთქმედებით არომატული ნახშირწყალბადების არეში (ბენზოლი, ტოლუოლი, ან ეთილბენზოლი). 103 მგ (0.152 მმოლი) Re<sub>2</sub>(CO)<sub>8</sub>(CH<sub>3</sub>CN)<sub>2</sub> და 105 მგ (0.152 მმოლი) FcC<sub>4</sub>AuPPh<sub>3</sub> ნარევს ხსნიან 40 მლ აბს. ტოლუოლში (არგონის ნაკადი). 5 წთ-ის შემდეგ სარეაქციო ნარევის ფერი ნარინჯისფერიდან გადადის მუქ წითელში, ხოლო 15-20 წთ-ის შემდეგ მუქდება. რეაქცია მთავრდება 1 სთ-ში. სარეაქციო ნარევს აცივებენ არგონის ნაკადში. გამხსნელის მოშორების შემდეგ სარეაქციო ნარევს ყოფენ ქრომატოგრაფიულ სვეტზე, რომელიც შევსებულია სილიკაგელით (სილიკაგელი L40/100 სვეტი, d=1,5 სმ, h=50 სმ, ელუანგი ეთერი:დიქლორმეთანი 2:1), მიიღება 70 მგ (30%) მუქი ნარინჯისფერი კრისტალური ნივთიერება. <sup>1</sup>H ბმრ (CDCl<sub>3</sub>): δ 4.26 (t, J<sub>H-H</sub> 1.7 Hz, 2H, C<sub>5</sub>H<sub>4</sub>); 4.27(s, 5H, C<sub>5</sub>H<sub>5</sub>), 4.56 26 (t, J<sub>H-H</sub> 1.7 Hz, 2H, C<sub>5</sub>H<sub>4</sub>), 7.45-7.57(m, 15H, C<sub>6</sub>H<sub>5</sub>). <sup>31</sup>P[<sup>1</sup>H] ბმრ (CDCl<sub>3</sub>): δ 81.7 (s, 1P). იწ (CH<sub>2</sub>Cl<sub>2</sub>): ν(co) 2065(საშ.), 2007 (ძ.ძლ), 1978 (საშ. გაფართ.), 1943 (საშ.) სმ<sup>-1</sup>, C<sub>40</sub>H<sub>24</sub>AuFeO<sub>8</sub>PR<sub>2</sub> გამოთვლილია: C, 37.28; H, 1.88, ნაპოვნია: (%): C, 36.94; H 1.76%;

**1-[({ტრიფენილფოსფინოქრო]4-ფეროცენილ-1,3-ეთინილ-დირენიუმ ოქტაკარბონილი, {Re<sub>2</sub>(AuPPh<sub>3</sub>)(μ-C<sub>2</sub>F<sub>5</sub>)(CO)<sub>8</sub>} (XXXI)**

ორყელა ორმაგაედლიან ბრტყელძირა მინის რეაქტორში შეაქვთ 400 მგ (0.808 მმოლი) AuCl(PPh<sub>3</sub>) და 40 მლ აბს. ეთანოლი (ან მეთანოლი). წარმოქმნილ სუსპენზიას უმატებენ ნატრიუმის ეთილატს, რომელიც მიღებულია 20 მგ მეტალური ნატრიუმის გახსნით 5 მლ ეთანოლში. 5 წუთის შემდეგ რეაქტორში შეაქვთ 169 მგ ახლად სუბლიმირებული ეთინილფეროცენი (0.808 მმოლი). სარეაქციო ნარევს ადუდებენ 1 სთ-ს და შემდეგ გამხსნელს

აცილებენ ვაკუუმით. ეთერით ნაშთის ექსტრაქციით აცილებენ ეთონილფეროცენს. სამიზნო ნაერთს გამოწვლილავენ დიქლორმეთილენით ( $2 \times 40$  მლ) და ხსნარს ფილტრავენ; შემდეგ აკონცენტრირებენ 20 მლ-მდე და უმატებენ 100 მლ პენტანს. გამოლექილ ნარინჯისფერ ნალექს აშრობენ. მიიღება 385 მგ (72%) პროდუქტი.  $^1\text{H}$  ბმრ სპექტრი ( $\text{CDCl}_3$ ) δ, მ.გ.,  $J/\text{Hz}$ : 4.10 (t, 2 H,  $\text{C}_5\text{H}_4$ ,  $J=2,0$ ), 4.21 (s, 5 H,  $\text{C}_5\text{H}_5$ ), 4.43 (t, 2 H,  $\text{C}_5\text{H}_4$ ,  $J=2,0$ ), 7.40-7.60(m, 15 H,  $\text{C}_6\text{H}_5$ ).  $^{31}\text{P}\{\text{H}\}$  ბმრ სპექტრი ( $\text{CDCl}_3$ , δ მ.გ.): 43.18 (s).

**1-[({\(\ell\)}-ტრიფენილფოსფინ)ოქრო]-4-ფეროცენილ-1,3-ბუტადიინილ-ტეტრარენიუმ  
კარბონილის აცეტონიტრილიანი კომპლექსი,  
 $\text{Re}_4(\text{AuPPh}_3)(\mu_4\text{-C}_2)(\mu_3\text{-C}_2\text{Fc})(\text{NCMe})(\text{CO})_{13}$  (XXXII)**

$\text{Au}(\text{PPh}_3)(\text{C}_4\text{Fc})$  (128 მგ, 0.186 მმოლი) და  $\text{Re}_2(\text{CO})_8(\text{NCMe})_2$  (126 მგ, 0.186 მმოლი) ნარევს მშრალ ტოლუოლში (60 მლ) ურევდნენ 92°C 5 სთ განმავლობაში. რეაქციის მსვლელობას აკვირდებიან თვე მეთოდით სილიკაგელზე (ელუენტი: ჰექსან-  $\text{CH}_2\text{Cl}_2$  1:1). ხსნარის შეფერილობა იცვლებოდა ნარინჯისფერიდან ყავისფრამდე. გაცივების შემდეგ ტოლუოლს აშორებდნენ ვაკუუმზე და ნარჩენის ქრომატოგრაფიულებას ახდენდნენ სვეტზე (7/1 სმ) სილიკაგელით. გამოყოფენ 3 ფრაქციას: ნარინჯისფერს რომელიც ელუირდებოდა (ჰექსან- $\text{CH}_2\text{Cl}_2$  3:1) ნარევით შეიცავს კომპლექსს XXX (7 მგ), წითელი ფრაქცია (ელუენტი ჰექსან-  $\text{CH}_2\text{Cl}_2$  2:1) შეიცავს არაიდენტიფიცირებულ ნაერთს (12 მგ) და წითელ-ნარინჯისფერი (ელუენტი ჰექსან-  $\text{CH}_2\text{Cl}_2$  1:1) შეიცავს კომპლექსს  $\text{Re}_4(\text{AuPPh}_3)(\mu_4\text{-C}_2)(\mu_3\text{-C}_2\text{Fc})(\text{NCMe})(\text{CO})_{13}$  (XXXII).

წითელ-ნარინჯისფერი კრისტალური ფხვნილს (63 მგ, 13 %) სახით.  $^1\text{H}$  ბმრ სპექტრი ( $\text{CDCl}_3$ ): δ 2.17 (s, 3H,  $\text{NCCH}_3$ ), 4.09 (s, 5H,  $\text{C}_5\text{H}_5$ ), 4.30 (გაფართ. t, 2H,  $\text{C}_5\text{H}_4$ ), 4.73 (გაფართ. 2H,  $\text{C}_5\text{H}_4$ ), 7.3-7.6 (m, 15H,  $\text{C}_6\text{H}_5$ ).  $^{31}\text{P}\{\text{H}\}$  ბმრ სპექტრი ( $\text{CDCl}_3$ ): 72.46 (s, 1P).  $\text{o}_V$  ( $\text{CH}_2\text{Cl}_2$ ): (CO) 2033 (საშ.), 2019 (d.ძლ), 2006 (d.ძლ), 1992 (d.ძლ), 1964 (საშ., გაფართ), 1945 (საშ., გაფართ), 1920 (d.ძლ., გაფართ) სშ<sup>-1</sup>.  $\text{C}_{47}\text{H}_{27}\text{AuFeN}_0\text{I}_3\text{PRe}_4$  ანალიზი: გამოთვლილია: C 30.64; H 1.47; N 0.76 ნაპოვნია: C 30.39; H 1.41; N 0.74 %

**ამინოადამანტანის ჰიდროქლორიდი (XXXV)**

სინთეზში გამოყენებულ იქნა 1-ამინოადამანტანის ჰიდროქლორიდი (Fluka AG, 06651, >99%). ჰიდროქლორიდს (XXXV) ამუშავებენ 40%-იანი ნატრიუმის ტუბის წყალს ხსნარით, ნარევს წვლილავენ ეთერით. აშრობენ კალიუმის ჰიდროქსიდზე, გამსხველის მოცილების შემდეგ ნარჩენს აშრობენ ვაცუუმ-ექსიკატორში, დეცულობენ ამინოადამანტანს თეთრი ფერის ფხვნილის სახით, რომელსაც იყენებენ სინთეზში.

**4-(1-ადამანტილ)ანილინის ჰიდროქლორიდი (XXXVI)**

4-(1-ადამანტილ)აცეტანილიდს [78] ამუშავებენ 2%-იანი კალიუმის ჰიდროქსიდის სპირტიანი ხსნარით, ნარევს ადუდებენ 15-20 წუთის განმავლობაში, შლიან ყინულოვანი წყლით, წარმოქმნილ ნალექს ფილტრავენ, რეცხვავენ ცივი წყლით, აშრობენ, იღებენ 4-(1-ადამანტილ)ანილინის თეთრი ფერის

კრისტალებს, ლლ.ტ.  $104\text{-}105^{\circ}\text{C}$  (ლიტ.  $105\text{-}106^{\circ}\text{C}$ ), მარილმჟავაში დუღებით გამოყოფენ ქლორპიდრატის სახით, ლლ.ტ  $258\text{-}260^{\circ}\text{C}$ . ლიტ.  $262^{\circ}\text{C}$  [75].

### 3-ამინოადამანტან-1-კარბონმჟავას ჰიდროქლორიდი (XXXVII)

40მლ  $\text{HNO}_3$  ( $d=1.39$ ), 120მლ კონც.  $\text{H}_2\text{SO}_4$  და 160მლ 20% ოლეუმის ნარევს აცივებენ ყინულოვანი წყლით და მორევის პირობებში ულუფებით უმატებენ 53.6გ ადამანტან-1-კარბონმჟავას ისეთი სიჩქარით, რომ ტემპერატურამ არ გადაჭარბოს  $10\text{-}15^{\circ}\text{C}$ . ნარევს ურევენ ამ ტემპერატურის ინტერვალში 2საათი. შემდეგ წვეთ-წვეთობით უმატებენ 160მლ აცეტონიტრილს (ახლად გამოხდილი). სარეაქციო მასას ურევენ 4საათი  $10^{\circ}\text{C}$ , შემდეგ გადმოასხამენ ყინულიან წყალზე. წარმოქმნილ ნალექს ფილტრავენ, ტუტე სსნარიდან გადალექვით დებულობენ 60.2გ (76.7%) 3-აცეტილამინოადამანტან-1-კარბონმჟავას თეთრი ფიფქების სახით, ლლ.ტ.  $255\text{-}257^{\circ}\text{C}$  (ლიტ.  $257\text{-}258^{\circ}\text{C}$ ) [156].

ორყელა კოლბაში, რომელსაც მორგებული აქვს უკუმაცივარი, ათავსებენ 4გ 3-აცეტილამინოადამანტან-1-კარბონმჟავას, ამატებენ 80მლ წყალს და 100მლ კონც. მარილმჟავას; ადუღებენ 7საათის განმავლობაში. შემდეგ სარეაქციო ნარევს ამოაშრობენ მშრალ ნაშთამდე, ამუშავებენ აცეტონით, ფილტრავენ, აშრობენ, დებულობენ 1.2გ თეთრი ფერის ფხვნილს ლლ.ტ.  $>300^{\circ}\text{C}$  (იშლება) [156].

### ადამანტან-1-კარბონმჟავას ჰიდრაზიდი (XXXVIII)

20გ ადამანტან-1-კარბონმჟავას ეთილის ესტერის, 70 მლ 80%-იანი ჰიდრაზინიდრატის ნარევს 100მლ დიეთოლენგლიკოლში ადუღებენ უკუმაცივარზე  $38\text{-}40$  საათის განმავლობაში. სარეაქციო ნარევს შლიან ყინულოვანი წყლით მუდმივი მორევის პირობებში, წარმოქმნილ ნალექს ფილტრავენ, რეცხვავენ და აშრობენ. დებულობენ 16.2გ (91%) თეთრი ფერის კრისტალებს. ლლ.ტ.  $153\text{-}154^{\circ}\text{C}$  (მეთანოლი), (ლიტ.  $156\text{-}157^{\circ}\text{C}$  მეთანოლი/წყალი) [86,138].  $R_f$  0.45 (მეთანოლი/ქლოროფორმი 1:12). იშლება, უ, სმ<sup>-1</sup>: 3594.8, 3540.8, 3479 ( $\text{NH}_2$ ); 3332.6, 3278.6 ( $\text{NH}$ ); 1612 ( $\text{C=O}$ ); 1520 ( $\text{CONH}$ ); 1373 ( $\text{C-N}$ ).

### N-(1-ადამანტილ)ბენზილიდენიმინი (XXXIX)

250 მლ ორყელა კოლბაში (უკუმაცივრით, დინისა და სტარკის ხელსაწყოთი და სარეველით) ათავსებენ 8გ (0.05 მოლი) ამინოადამანტანს, გაცხელებით ხსნიან 100 მლ ტოლუოლში და უმატებენ 10 მლ (0.1 მოლი) ახლად გამოხდილ ბენზალდეგიდს. სარეაქციო ნარევს ადუღებენ წყლის გამოყოფის შეწყვეტამდე. გამხსნელს აცილებენ წყლის ვაკუუმზე, ნარჩენს აკრისტალებენ ეთილის სპირტში. დებულობენ 9.6გ (75,6%) თეთრი ფერის კრისტალებს. ლლ.ტ.  $55\text{-}56^{\circ}\text{C}$  (ლიტ.  $59\text{-}61^{\circ}\text{C}$  მეთანოლი)[76].

### N-(1-ადამანტილ)-4-დიმეთილამინობენზილიდენიმინი (XL)

1.9გ (0.01მოლი) 1-ამინოადამანტანის ჰიდროქლორიდს, 2.9გ (0.01მოლი) პარადიმეთილამინობენზალდეპიდს და 1გ (0.01 მოლი) გაუწყლოებული ნატრიუმის აცეტატის ნარევს 45მლ აბს. ეთილის სპირტში ადუღებენ 3 სთის განმავლობაში. სარეაქციო ნარევს აკონცენტრირებენ მშრალ ნაშთამდე, რეცხვავენ წყლით და აშრობენ, მიიღება 3.8გ (80%) უფერო კრისტალები. ლლ.ტ.  $152\text{-}153^{\circ}\text{C}$  (მეთანოლი).

### N-(1-ადამანტილ)-2-ჰიდროქსი-3,5-დიბრომბენზილიდენიმინი (XL)

1.9გ (0.01 მოლი) 1-ამინოადამანტანის ჰიდროქლორიდს, 2.8გ (0.01მოლი) 2-ჰიდროქსი-3,5-დიბრომბენზალდეპიდს და 1გ (0.01 მოლი) გაუწყლოებული ნატ-რიუმის აცეტატის ნარევს 50მლ ტოლუოლში ადუდებენ 3 სთ-ის განმავლობაში. სარეაქციო ნარევს ფილტრავენ, ნალექს რეცხავენ ტოლუ-ოლით, ფილტრატს აკონცენტრირებენ მშრალ ნაშთამდე, რეცხავენ წყლით და აშრობენ, მიიღება 4.5გ (96%) ნარინჯისფერი კრისტალები. ლდ.ტ. 173-174°C (მეთანოლი).

### N-(1-ადამანტილ)-2,4-დიჰიდროქსიბენზილიდენიმინი (XLII)

1.9გ (0.01 მოლი) 1-ამინოადამანტანის ჰიდროქლორიდს, 1.4გ (0.01 მოლი) 2,4-დიოქსიბენზალდეპიდს და 1გ (0.01 მოლი) გაუწყლოებულ ნატ-რიუმის აცეტატის ნარევს 50მლ ტოლუოლში ადუდებენ 3 სთ-ის განმავლობაში. სარეაქციო ნარევს ფილტრავენ, ნალექს რეცხავენ წყლით და აშრობენ. მიიღება 2.3გ (70%) მოყვითალო წვრილკრისტალური ნივთიერება. ლდ.ტ. 221-222°C (მეთანოლი).

### N- (4-(1-ადამანტილ)ფენილ)-4-დიმეთილამინობენზილიდენიმინი (XLIII)

1.14გ (0.005 მოლი) ადამანტანანილინს, 0.75გ (0.05 მოლი) პარადიმეთილამინობენზალდეპიდს და 3 წვეთი ყინულოვანი ძმარმჟავას ნარევს 20 მლ აბს. ეთილის სპირტში ადუდებენ 1სთ განმავლობაში. სარეაქციო ნარევს ფილტრავენ, ნალექს რეცხავენ წყლით და აშრობენ, მიიღება 1.83გ (97%) უფერო ფხვნილისებრი ნივთიერება, ლდ.ტ 213-215°C (მეთანოლი).

### N- (4-(1-ადამანტილ)ფენილ)-2-ჰიდროქსი-3,5-დიბრომბენზილიდენიმინი (XLIV)

მიიღება 2.2გ (90%) ნარინჯისფერი კრისტალები, ლდ.ტ. 193-194°C (მეთანოლი).

### N- (4-(1-ადამანტილ)ფენილ)-2,4-ჰიდროქსიბენზილიდენიმინი (XLV)

მიიღება 1.5გ (95%) უფერო ფხვნილისებრი ნივთიერება, ლდ.ტ. 184-185°C (მეთანოლი).

### N-(3-კარბოქსიადამანტილ-1)-2-ჰიდროქსი-3,5-დიბრომბენზილიდენიმინი (XLVI)

100 მლ კოლბაში ათავსებენ 50 მლ აბს. ტოლუოლს და 1გ (0.0095 მოლი) CH<sub>3</sub>COONa-ს, ნარევს ადუდებენ დინისა და სტარკის ხელსაწყოზე, გაცივების შემდეგ შეაქვთ 1.16გ (0.005 მოლი) 1-ამინოადამანტანკარბონმჟავა და 1.4გ (0.005 მოლი) 3,5-დიბრომსალიცილის ალდეპიდი, ნარევს ადუდებენ 1.5 სთ განმავლობაში. მიიღება 1.84 გ (72%) ნარინჯისფერი ფხვნილი. ლდ.ტ 210-211°C (მეთანოლი).

### N-(3-კარბოქსიადამანტილ-1)-2,4-დიპიდროქსიბენზილიდენიმინი (XLVII)

250 მლ კოლბაში ათავსებენ 60 მლ აბს. ტოლუოლს და 1.5გ (0.014 მოლი)  $\text{CH}_3\text{COONa}$ -ს ნარევს, ადუდებენ დინისა და სტარკის ხელსაწყოზე, 30 წთ განმავლობაში, გაცივების შემდეგ შეაქვთ 2.32გ (0.01 მოლი) 1-ამინოადამანტინა-კარბონმჟავა და 1.4გ (0.01 მოლი) 2,4-დიპიდროქსიბენზალდეპიდი, ნარევს ადუდებენ 3 სთ-ს. მიიღება 2.7 გ (72%) ნარინჯისფერი ფხვნილი. ლდ.ტ. 198-200°C (მეთანოლი).

### N-ადამანტოილბენზალდეპიდის ჰიდრაზონი (XLVIII)

1.9გ (0.01მოლი) ადამანტან-1-კარბონმჟავა ჰიდრაზიდის, 1.02მლ (0.01მოლი) ბენზალდეპიდის, 3წვეთ ყინულოვანი ძმარმჟავას ნარევს 40 მლ აბს. ეთილის სპირტში ადუდებენ 2სთ განმავლობაში. სარეაქციო ნარევს ფილტრავენ, ნალექს რეცხავენ წყლით, აშრობენ, დებულობენ 2.6გ (92%) უფერო ფხვნილისებრ მასას. ლდ.ტ. 209-210°C (მეთანოლი).

### N-ადამანტოილ-4-დიმეთილამინობენზალდეპიდის ჰიდრაზონი (XLIX)

1.9გ (0.01 მოლი) ადამანტან-1-კარბონმჟავა ჰიდრაზიდის, 1.49გ (0.01მოლი) პარადიმეთილამინობენზალდეპიდის და 3 წვეთი ყინულოვანი ძმარმჟავას ნარევს სსნიან 40 მლ მშრალ ეთილის სპირტში და ადუდებენ 3 სთ განმავლობაში. სარეაქციო ნარევს აცივებენ და ფილტრავენ, ნალექს რეცხავენ წყლით და აშრობენ ჰაერზე, მიიღება 2.5 გ (72.5%) უფერო ფხვნილისებრი ნივთიერება. ლდ.ტ. 214-216°C (მეთანოლი).

### N-ადამანტოილ-2-ჰიდროქსი-3,5-დიბრომბენზალდეპიდის ჰიდრაზონი (L)

1.9გ (0.01 მოლი) ადამანტან-1-კარბონმჟავა ჰიდრაზიდს, 2.8გ (0.01მოლი) 3,5-დიბრომსალიცილალდეპიდს და 3 წვეთ ყინულოვან ძმარმჟავას ნარევს 40 მლ აბს. ეთილის სპირტში ადუდებენ 3სთ განმავლობაში. სარეაქციო ნარევს ფილტრავენ, რეცხავენ წყლით, აშრობენ; მიიღება 3.9გ (83%) მოყვითალო ფერის ფხვიერი ნივთიერება. ლდ.ტ. 200-202°C (მეთანოლი).

### N-ადამანტოილ-2,4-დიპიდროქსიბენზალდეპიდის ჰიდრაზონი (LI)

1.9გ (0.01 მოლი) ადამანტან-1-კარბონმჟავა ჰიდრაზიდს, 1.4გ (0.01მოლი) 2,4-დიოქსიბენზალდეპიდს და 3 წვეთი ყინულოვანი ძმარმჟავას ნარევს გახსნილს 40 მლ. აბს. ეთილის სპირტში ადუდებენ 3სთ განმავლობაში. გაცივების შემდეგ სარეაქციო ნარევს ფილტრავენ, რეცხავენ წყლით და აშრობენ, დებულობენ 2.8გ (84%) მოყვითალო ფერის ფხვნილს. ლდ.ტ. 195-196°C (მეთანოლი).

### N -(1-ადამანტილ)- 4-დიმეთილამინობენზილამინი (LII)

0.04გ, 0.01 მმოლი  $\text{LiAlH}_4$  15 მლ აბს. დიეთილის ეთერში უმატებენ 1გ (3.5 მმოლი) N -(1-ადამანტილ) - 4-დიმეთილამინობენზილიდენიმინის 5 მლ ეთერს სარს მუდმივი მორევის პირობებში. რეაქციას ატარებენ 10-15°C-ზე 1 საათის განმავლობაში. სარეაქციო ნარევს შლიან 15%-იანი KOH წყალს სარით და ფილტრავენ, ფილტრატს რეცხავენ pH=10-მდე და უმატებენ 5 მლ ქლორწალბადით გაჯერებულ მეთილის სპირტს. ფილტრატს

აკოცენტრირებულ მშრალ ნაშთამდე, რეცხავები დიეთილეთერით და აშრობენ, მიიღება 0.7გ (70%) ყვითელი კრისტალები. ლდ.ტ. 178-180°C.

#### N -(1-ადამანტილ)-2-ჰიდროქსი-3,5-დიბრომბენზილამინი (LIII)

0.035გ, (0.9 მმოლი) LiAlH<sub>4</sub> 10 მლ აბს. დიეთილის ეთერში უმატებენ 0.5გ (1.2 მმოლი) N-(4-(1-ადამანტილ)-2-ჰიდროქსი-3,5-დიბრომბენზილიდენ იმინის ეთერს ნარის 5 მლ მუდმივი მორევის პირობებში. რეაქციას ატარებენ 10-15°C-ზე 1 საათის განმავლობაში, ნარევს შლიან 15%-იანი KOH წყალს ნარის და ფილტრავენ, ფილტრატს რეცხავები pH=10-მდე, უმატებენ 2 მლ ქლორწალბადით გაჯერებულ მეთილის სპირტს, ფილტრატს აკოცენტრირებენ მშრალ ნაშთამდე, რეცხავები დიეთილეთერით, აშრობენ, მიიღება 0.4გ (80%) ყვითელი კრისტალები, ლდ.ტ. 182-184°C.

#### 4-ადამანტილფენილ-4-დიმეთილამინობენზილამინი (LIV)

0.02გ (0.53მმოლი) LiAlH<sub>4</sub> 15 მლ აბს. დიეთილის ეთერში უმატებენ 0.2გ (0.56 მმოლი) N [4-(1-ადამანტილ) ფენილ- 4-დიმეთილამინობენზილიდენ იმინის 3 მლ ეთერს ნარის მუდმივი მორევის პირობებში, რეაქციას ატარებენ 10-15°C-ზე 1 საათის განმავლობაში. სარეაქციო ნარევს შლიან 15%-იანი KOH წყალს ნარის, და ფილტრავენ. ფილტრატს რეცხავები pH=10-მდე, უმატებენ 2 მლ ქლორწალბადით გაჯერებულ მეთილის სპირტს ფილტრატს აკოცენტრირებენ მშრალ ნაშთამდე, რეცხავები დიეთილეთერით და აშრობენ, მიიღება 0.15გ (75%) ყვითელი კრისტალები, ლდ.ტ. 177-179°C.

#### 4-ადამანტილფენილ-2- ჰიდროქსი-3,5-დიბრომბენზილამინი (LV)

0.02გ (0.53მმოლი) LiAlH<sub>4</sub> 15 მლ აბს. დიეთილის ეთერში უმატებენ 0.2გ (0.56 მმოლი) N-(4-(1-ადამანტილ)ფენილ-2- ჰიდროქსი-3,5-დიბრომბენზილიდენ იმინის 3 მლ ეთერს ნარის მუდმივი მორევის პირობებში, რეაქციას ატარებენ 10-15°C-ზე 1 საათის განმავლობაში, სარეაქციო ნარევს შლიან 15%-იანი KOH წყალს ნარის, ფილტრავენ, ფილტრატს რეცხავები pH=10-მდე და უმატებენ 2 მლ ქლორწალბადით გაჯერებულ მეთილის სპირტს ფილტრატს აკოცენტრირებენ მშრალ ნაშთამდე, რეცხავები დიეთილეთერით და აშრობენ, დებულობენ 0.15გ (75%) ყვითელ კრისტალებს, ლდ.ტ. 206-207°C

#### N -(1-ადამანტოილ)-4-დიმეთილამინობენზილჰიდრაზინი (LVI)

5 მლ აბს. დიეთილის ეთერს და 0.085გ (0.002 მოლი) LiAlH<sub>4</sub> ნარევს, წვეთ-წვეთობით უმატებენ 1გ (0.0035 მოლი) N-(1-ადამანტოილ)-4-დიმეთილამინობენზილიდენჰიდრაზინის (XLIX) 5 მლ ეთერს ნარის მუდმივი მორევის პირობებში. რეაქციას ატარებენ 10-15°C-ზე 1 საათის განმავლობაში, სარეაქციო ნარევს შლიან 15%-იანი KOH წყალს ნარის, და ფილტრავენ. ფილტრატს რეცხავები pH=10-მდე და უმატებენ 5 მლ ქლორწალბადით გაჯერებულ მეთილის სპირტს. ფილტრატს აკოცენტრირებენ მშრალ ნაშთამდე, რეცხავები დიეთილეთერით და აშრობენ, მიიღება 0.7გ (65%) ნარინჯისფერი კრისტალები, ლდ.ტ. 194-195°C.

## N-(1-ადამანტოილ)-2,4-დიჰიდროქსიბენზილჰიდრაზინი (LVII)

0.04გ, (1.1 მმოლი) LiAlH<sub>4</sub> 10 მლ აბს. დიეთილის ეთერში უმატებენ 0.3გ (1.11 მმოლი) N-(1-ადამანტიოლ)-2,4-დიჰიდროქსიბენზილჰიდრაზინი 5 მლ ეთერ-ხსნარს მუდმივი მორევის პირობებში, რეაქციას ატარებენ 10-15°C-ზე 20 წთ განმავლობაში, ნარევს შლიან 15%-იანი KOH წყალხსნარით და ნარევს ფილტრავენ, ფილტრატს რეცხავენ pH=10-მდე და უმატებენ 2 მლ ქლორწალბადით გაჯერებულ მეთილის სპირტს. ფილტრატს აკოცენტრირებენ მშრალ ნაშთამდე, რეცხავენ დიეთილეთერით, აშრობენ, მიიღება 0.4გ (80%) ყვითელ კრისტალებს, ლდ.ტ. 170-172°C.

## 1-(ადამანტოილ)-2-(1-აცეტილ)ჰიდრაზინი (LVIII)

1გ (0.005 მმოლი) 1-ადამანტან-1-კარბონმჟავას ჰიდრაზიდს და 4მლ ძმარმჟავა ანჰიდრიდის ნარევს ადუდებენ 1 საათის განმავლობაში, რეაქციის დასრულების შემდეგ სარეაქციო ნარევს რეცხავენ ნეიტრალურ რეაქციამდე, აშრობენ და აკონცენტრირებენ. მყარ ნაშთს ხსნიან ჰექსანში, ფილტრავენ და აკონცენტრირებენ ჰექსანხსნარს. დებულობენ 0.5გ (44%) თეთრი ფერის კრისტალები, ლდ.ტ. 161-162°C, R<sub>f</sub> 0,81 (მეთანოლი/ქლოროფორმი 1:12) (LVIII), ნაშთის მეთანოლიდან გადაკრისტალებით მიიღება თეთრი ფერის კრისტალები ლდ.ტ. 161-162°C, R<sub>f</sub> 0,70 (მეთანოლი/ქლოროფორმი 1:12) (LIX).

## 1-(1-ადამანტოილ)-2-(2-ქლორბენზოილ)ჰიდრაზინი (LX)

2.2გ (0.013 მმოლი) 2-ქლორბენზოის მჟავასა და 2.5გ (0.012 მმოლი) PCl<sub>5</sub>-ის ნარევს ადუდებენ 1 სთ განმავლობაში 20მლ ქლოროფორმში, მიღებულ ადამანტან-1-კარბონმჟავას ქლორანჰიდრიდს აცილებენ გამხსნელს, ორჯერ ამოწვლილავენ 30 მლ ქლოროფორმით. სარეაქციო ხსნარს აცილებენ ქლოროფორმს, ხოლო ნაშთს ხსნიან 50მლ ქლოროფორმში, უმატებენ 1.95 გრ (0.01 მმოლი) ადამანტან-1-კარბონმჟავას ჰიდრაზიდს და 2 წვეთ ტრიეთილამინს. ნარევს ადუდებენ ერთი საათის განმავლობაში, სარეაქციო ნარევიდან გამოყოფილ ორგანულ ფენას რეცხავენ ნეიტრალურ რეაქციამდე, აშრობენ, აკონცენტრირებენ, მიიღება 4.5გ (80%) თეთრი ფერის კრისტალები, ლდ.ტ. 228-230°C.

## 1-(1-ადამანტოილ)-2-(4-ქლორბენზოილ)ჰიდრაზინი (LXI)

1.94გ (0.01 მმოლი) ადამანტან-1-კარბონმჟავას ჰიდრაზიდის 50მლ ბენზოლ-ეთერ ხსნარს (1:1) და 1.4გ (0.01 მმოლი) ტრიეთილამინს ოთახის ტემპერატურაზე წვეთ-წვეთობით უმატებენ წინასწარ მომზადებულ პარა-ქლორბენზოის მჟავას ქლორანჰიდრიდის 50 მლ ბენზოლხსნარს 40 წთ-ის განმავლობაში (მჟავას ქლორანჰიდრიდი მიღებულია 1.56გ (0.01 მმოლი) პარაქლორბენზოის მჟავას და 2.085გ (0.01 მმოლი) PCl<sub>5</sub>-ის ნარევის 50მლ CCl<sub>4</sub>ში დუდებით). 2 სთ-ს დუდილის შემდეგ სარეაქციო ნარევს აკონცენტრირებენ, რეცხავენ წყლით, აშრობენ, მიიღება 2.8გ (85%) თეთრი ფერის კრისტალები, ლდ.ტ. 209-211°C, ადამანტან-1-კარბონმჟავას მინარევით. გადაკრისტალების შემდეგ ლდ.ტ. 182-183°C (ლიტ. 178-180°C, ეთანოლი) [13].

### **1-(1-ადამანტოილ)-2-(3-ნიტრო-4-ქლორბენზოილ)ჰიდრაზინი (LXII)**

2.01გ (0.01 მოლი) 3-ნიტრო-4-ქლორბენზოისმჟავას და 1.4მლ (0.01 მოლი)  $\text{PCl}_5$ -ის დუღებით 40მლ  $\text{CCl}_4$ -ის არეში ერთი საათის განმავლობაში დებულობენ კარბონმჟავას ქლორანკიდრიდს, სარეაქციო არეს ამოწვლილავენ 2-ჯერ 50 მლ ბენზოლით, ბენზოლსნარს აცილებენ ვაკუუმში, ნაშთს ხსნიან 50 მლ აბს. ბენზოლში და ოთახის ტემპერატურაზე უმატებენ დიმეთილფორმამიდში გახსნილ 1.94გ (0.01 მოლი) ადამანტან-1-კარბონმჟავას ჰიდრაზიდის და 1.4 მლ (0.01 მოლი) ტრიეთილამინის ნარევს. რეაქციას ატარებენ ოთახის ტემპერატურაზე 3 სთ განმავლობაში, სარეაქციო ნარევს აკოცენტრირებენ მშრალ ნაშთამდე, რეცხვავენ წყლით ნეიტრალურ რეაქციამდე, შემდეგ ჰექსანით და აშრობენ, მიიღება 3.1გ (95%) თეთრი ფერის კრისტალები, ლდ.ტ. 110-112 $^{\circ}\text{C}$ .

### **1-(1-ადამანტოილ)-2-(2-ჰიდროქსი-5-ქლორბენზოილ)ჰიდრაზინი (LXIII)**

1.5გ (0.007 მოლი) ადამანტან-1-კარბონმჟავას ჰიდრაზიდის 50მლ მშრალ აცეტონსნარს, 1მლ (0.01 მოლი) ტრიეთილამინის არეში წვეთ-წვეთობით უმატებენ 5-ქლორსალიცილისმჟავას ქლორანკიდრიდის ბენზოლსნარს ოთახის ტემპერატურაზე. ქლორანკიდრიდი მომზადებულია 1.72გ (0.01 მოლი) 5-ქლორსალიცილისმჟავას და 2.085 (0.01 მოლი)  $\text{PCl}_5$ -ის 50მლ  $\text{CCl}_4$ -ში დუღებით. რეაქციას ატარებენ 3სთ-ს წყლის აბაზანაზე, რეაქციის დასრულების შემდეგ სარეაქციო ნარევს აკონცენტრირებენ მშრალ ნაშთამდე, ნალექს რეცხვავენ წყლით ნეიტრალურ რეაქციამდე, შემდეგ ჰექსანით, მიიღება თეთრი ფერის კრისტალები 2.9გ (83%), ლდ.ტ. 140-142 $^{\circ}\text{C}$ .

### **$\text{N},\text{N}'$ -ბის-(1-ადამანტოილ)ჰიდრაზინი(LXIV)**

2.2გ (0.013 მოლი) ადამანტან-1-კარბონმჟავასა და 2.5გ (0.012 მოლი)  $\text{PCl}_5$ -ის ნარევს ადურებენ 1 სთ განმავლობაში 20მლ ქლოროფორმში, მიღებულ ადამანტან-1-კარბონმჟავას ქლორანკიდრიდს აცილებენ გამსხნელს და შეაქვთ 30მლ  $\text{CCl}_4$ , კვლავ აცილებენ ვაკუუმით, მიღებულ ქლორანკიდრიდს ხსნიან 50 ქლოროფორმში და უმატებენ 1.95 გრ (0.01 მოლი) ადამანტან-1-კარბონმჟავას ჰიდრაზიდს და 2 წვეთ ტრიეთილამინს. სარეაქციო ნარევს ადუღებენ ერთი საათის განმავლობაში, ორგანულ ფენას ამუშავებენ წყლით, რეცხვავენ ნეიტრალურ რეაქციამდე, აშრობენ კალციუმის ქლორიდზე, გამხსნელის მოცილების შემდეგ დებულობენ 4.5გ, (75%) თეთრი ფერის ფხვნილისებურ კრისტალებს. ლდ.ტ. 229-231 $^{\circ}\text{C}$ .

### **1-(1-ადამანტოილ)-2-(2-ჰიდროქსიბენზოილ)ჰიდრაზინი (LXV)**

1.94გ (0.01 მოლი) ადამანტან-1-კარბონმჟავას ჰიდრაზიდის 50მლ აცეტონ ხსნარს და 1.4 (0.01 მოლი) ტრიეთილამინს ოთახის ტემპერატურაზე, წვეთ-წვეთობით უმატებენ წინასწარ მომზადებულ სალიცილის მჟავას ქლორანკიდრიდის 50 მლ ბენზოლსნარს 40 წთ-ის განმავლობაში. რომელსაც ამზადებენ 1.4გ (0.01 მოლი) პარაქლორბენზოის მჟავას და 2.085გ (0.01 მოლი)  $\text{PCl}_5$ -ის ნარევის 50მლ  $\text{CCl}_4$ -ში დუღებით. სარეაქციო ნარევს აყოვნებენ 6 სთის განმავლობაში ოთახის ტემპერატურაზე, აკონცენტრირებენ მშრალ ნაშთამდე, რეცხვავენ წყლით ნეიტრალურ რეაქციამდე, შემდეგ ჰექსანით და

აშრობენ, აკრისტალებენ აბს. აცეტონიდან. მიიღება 2.5გ (65%) ოქთორი ფერის კრისტალები. ლდ.ტ. 180<sup>0</sup>C.

### 1-(1-ადამანტოილ)-2-(3-აცეტილამინოადამანტოილ)ჰიდრაზინი (LXVI)

2.84გ (0.01 მოლი) HOOC-Ad-NHCOCH<sub>3</sub>-სა და 2.71გ (0.01 მოლი) PCl<sub>5</sub>-ის ნარევს 50 მლ CCl<sub>4</sub>-ში ადუღებენ 1 სთ-ს განმავლობაში, რის შედეგადაც მიღებულ 3-აცეტილამინოადამანტან-1-კარბონმჟავას ქლორანჰიდრიდს აცილებენ გამსხველს ვაკუუმში, ამჟავებენ 50 მლ მშრალი ბენზოლით და აცილებენ ვაკუუმში, ნაშთს ხსნიან 50 მლ ბენზოლში და ოთახის ტემპერატურაზე მუდმივი მორევის პირობებში 40 წუთის განმავლობაში წვეთ-წვეთობით უმატებენ 30 მლ აცეტონში გახსნილ 1.5გ (0.007 მოლი) ადამანტან-1-კარბონმჟავასჲიდრაზიდს და 1.4 (0.001) მლ ტრიიტოლამინს. სარეაქციო ნარევს აყოვნებენ 12-15 საათის განმავლობაში, შემდეგ აკონცენტრირებენ და ნაშთს რეცხავენ 3% NaOH-ით და წყლით ნეიტრალურ რეაქციამდე და აშრობენ, ღებულობენ 1.42გ (42%) პროდუქტს, ლდ.ტ 220-225<sup>0</sup>C.

### ბის-(1-ადამანტილ)-1,3,4-ოქსადიაზოლი (LXVII)

0.5გ (2.09მმოლი) N,N'-ბის-(1-ადამანტილ)ჰიდრაზინს (LXIV) გახსნილს 20 მლ ცხელ ძმარმჟავა ანჰიდრიდში, მორევის პირობებში ამატებენ 4 წვეთ 60% HClO<sub>4</sub>, 15 წთ-ს დუღილის შემდეგ ნარევს აცივებენ და შლიან 30 მლ ყინულოვანი წყლით, ნალექს ფილტრავენ, რეცხავენ Na<sub>2</sub>CO<sub>3</sub> ნაჯერი ხსნარით, შემდეგ წყლით ნეიტრალურ რეაქციამდე და აშრობენ, მიიღება 0.2გ (40%) ოქთორი ფერის კრისტალები. ლდ.ტ. 209-210<sup>0</sup>C (აცეტონი); ლიტ. >204-205<sup>0</sup>C [93].

### 2-ადამანტილ-5-მეთილ-1,3,4-ოქსადიაზოლი (LXVIII)

0.5გ (2.1მმოლი) N,N'-({1-ადამანტილ-2-აცეტილ)ჰიდრაზინს (LVIII) ხსნიან 15მლ ცხელ ძმარმჟავაანჰიდრიდში, უმატებენ 4 წვეთ 60% HClO<sub>4</sub> მუდმივი მორევის პირობებში, 15 წთ-ს გაცხელების შემდეგ ნარევს აცივებენ, შლიან 30მლ ყინულოვანი წყლით. ნალექს ფილტრავენ, რეცხავენ Na<sub>2</sub>CO<sub>3</sub> ნაჯერი ხსნარით, შემდეგ წყლით ნეიტრალურ რეაქციამდე და აშრობენ, მიიღება 0.1გ (20%) ოქთორი ფერის კრისტალები. ლდ.ტ. 155-156<sup>0</sup>C.

### 2-ადამანტილ-5-(2-ქლოროფენილ)-1,3,4-ოქსადიაზოლი (LXIX)

ა. 0.5გ (1.5მმოლი) N,N'-({1-ადამანტილ-2-ქლორბენზოილ)ჰიდრაზინს ხსნიან 20მლ ცხელ ძმარმჟავაანჰიდრიდში, უმატებენ 4წვეთ 60% HClO<sub>4</sub> მუდმივი მორევის პირობებში, 15 წთ-ს გაცხელების შემდეგ ნარევს აცივებენ და შლიან 50 მლ ყინულოვანი წყლით. ნალექს ფილტრავენ, რეცხავენ Na<sub>2</sub>CO<sub>3</sub> ნაჯერი ხსნარით, შემდეგ წყლით ნეიტრალურ რეაქციამდე, აშრობენ, ღებულობენ 0.15გ (30%) ოქთორი ფერის კრისტალებს.. ლდ.ტ. 168-170<sup>0</sup>C,

ბ. ადამანტან-1-კარბონმჟავას ჰიდრაზიდის 1.95გ (0.01 მოლი), და 1.56 გ (0,01მმოლ) ორთოქლორბენზოის მჟავას ნარევს უმატებენ 8მლ ფოსფორის ოქსიქლორიდს, ნარევს აცხელებენ უკუმაცივრით 1 სთ. გაცივების შემდეგ შლიან 50გ ყინულოვანი წყლით მორევის პირობებში, გამოყოფილ ნედლ პროდუქტს ფილტრავენ, ანეიტრალებენ ნატრიუმის ჰიდროკარბონატით და

რეცხავენ წყლით ნეიტრალურ რეაქციამდე, აშრობენ, ნაშთს გადააკრისტალებენ ეთანოლიდან, გამოსავლიანობა 2.7გ (85 %).

### 2-ადამანტილ-5-(4-ქლორფენილ)-1,3,4-ოქსადიაზოლი (LXX)

ა. 0.5გ(1.5მმოლი) N,N<sup>’</sup>-(1-ადამანტოილ-4-ქლორბენზოილ) ჰიდრაზინს (LXI) ხსნიან 20მლ ცხელ ძმარმჟავა ანჰიდრიდში, უმატებენ 4 წვეთ 60% HClO<sub>4</sub> მუდმივი მორევის პირობებში, 15 წთ-ს გაცხელების შემდეგ ნარევს აცივებენ, შლიან 30მლ ყინულოვანი წყლით, ნალექს ფილტრავენ, რეცხავენ Na<sub>2</sub>CO<sub>3</sub> ნაჯერი ხსნარით, შემდეგ წყლით ნეიტრალურ რეაქციამდე, აშრობენ, მიიღება 0.15გ(30%) თეთრი ფერის კრისტალები. ლდ.ტ. 176-177°C.

ბ. ადამანტან-1-კარბონმჟავას ჰიდრაზიდს (1.94გ, 0.01 მოლი) და პარაქლორბენზოის მჟავას (1.56გ, 0.01მმოლი) უმატებენ 8მლ ფოსფორის ოქსიქლორიდს. ნარევს აცხელებენ უკუმაცივრით 1 სთ და გაცივების შემდეგ შლიან ყინულოვანი წყლით (50გ), გამოყოფილ ნედლ პროდუქტს ფილტრავენ, რეცხავენ ნატრიუმის ჰიდროკარბონატის ხსნარით და წყლით ნეიტრალურ რეაქციამდე, აშრობენ, აკრისტალებენ ეთანოლიდან, გამოსავლიანობა 2.7გ (85%).

### 2-ადამანტილ-5-(3-ნიტრო-4-ქლორფენილ)-1,3,4-ოქსადიაზოლი (LXXI)

ა. 0.5გ(1.3მმოლი) N,N<sup>’</sup>-(1-ადამანტოილ-3-ნიტრო-4-ქლორბენზოილ) ჰიდრაზინს (LXII) ხსნიან 20მლ ცხელ ძმარმჟავაანჰიდრიდში. მუდმივი მორევის პირობებში ამატებენ 4 წვეთ 60% HClO<sub>4</sub>, 15 წუთის გაცხელების შემდეგ ნარევს აცივებენ, შლიან 30მლ ყინულოვანი წყლით, ნალექს ფილტრავენ, რეცხავენ Na<sub>2</sub>CO<sub>3</sub> ნაჯერი ხსნარით, შემდეგ წყლით ნეიტრალურ რეაქციამდე და აშრობენ, მიიღება 0.2გ (39%) თეთრი ფერის კრისტალები. ლდ.ტ. 184-185°C.

ბ. ადამანტან-1-კარბონმჟავას ჰიდრაზიდს (1.94გ, 0.01 მოლი), 3-ნიტრო-4-ქლორბენზოის მჟავას (1.87გ, 0.01მმოლი) და 8მლ ფოსფორის ოქსიქლორიდთან აცხელებენ უკუმაცივრით 1 სთ. გაცივების შემდეგ სარეაქციო ნარევს შლიან ყინულოვანი წყლით (50გ), მორევის პირობებში, გამოყოფილ ნედლ პროდუქტს ფილტრავენ, რეცხავენ ნატრიუმის ჰიდროკარბონატის ხსნარით და წყლით ნეიტრალურ რეაქციამდე, მიღებულ მყარ მასას აშრობენ, აკრისტალებენ ეთანოლიდან, გამოსავლიანობა 3.05გ (85 %).

### 2-ადამანტილ-5-(2-ჰიდროქსიფენილ)-1,3,4-ოქსადიაზოლი (LXXII)

ა. 0.5გ(1.6მმოლი) N,N<sup>’</sup>-(1-ადამანტოილ-2-ჰიდროქსიბენზოილ) ჰიდრაზინს (LXV) ხსნარს, 20მლ ცხელ აცეტანჰიდრიდში ამატებენ 4წვეთ 60% HClO<sub>4</sub> მუდმივი მორევის პირობებში, 15 წთ-ს ცხელების შემდეგ ნარევს აცივებენ, შლიან 30მლ ყინულოვანი წყლით, ნალექს ფილტრავენ, რეცხავენ Na<sub>2</sub>CO<sub>3</sub> ნაჯერი ხსნარით, შემდეგ წყლით ნეიტრალურ რეაქციამდე, აშრობენ, მიიღება 0.2გ (39%) თეთრი ფერის კრისტალები. ლდ.ტ. 192-194°C.

ბ. 0.5გ (1.6 მმოლი) N,N<sup>’</sup>-(1-ადამანტოილ-2-ჰიდროქსიბენზოილ) ჰიდრაზინს და 4მლ ფოსფორის ოქსიქლორიდის ნრევს აცხელებენ უკუმაცივრით 1 სთ განმავლობაში, გაცივების შემდეგ შლიან ყინულოვანი წყლით (25გ), აყოვნებენ 0.5სთ, გამოყოფილ ნედლ პროდუქტს ფილტრავენ, რეცხავენ წყლით ანეიტრალებენ ნატრიუმის ჰიდროკარბონატის ხსნარით და მყარ მასას აშრობენ და აკრისტალებენ ეთანოლიდან, გამოსავლიანობა 0.15გ (95%).

## 2-ადამანტილ-5-(2-ჰიდროქსი-5-ქლორ)-1,3,4-ოქსადიაზოლი (LXXIII)

0.5გ (1.3მმოლი) N,N<sup>′</sup>-(1-ადამანტოილ-2-ჰიდროქსი-5-ქლორბენზოილ) ჰიდრაზინის (LXIII) და 4მლ ფოსფორის ოქსიქლორორიდის ნარევს აცხელებენ უკუმაცივრით 1 სთ განმავლობაში, გაცივების შემდეგ სარეაქციო ნარევს შლიან ყინულოვანი წყლით (25გ) და აყოვნებენ 0.5სთ, გამოყოფილ ნედლ პროდუქტს ფილტრავენ, რეცხავენ ნატრიუმის ჰიდროკარბონატის ხსნარით და წყლით, მყარ მასას აშრობენ და აკრისტალებენ ეთანოლიდან, გამოსავლიანობა 0.4გ (95 %). ლდ.ტ. 200-205°C.

## N-ა-ფეროცენილ-2,5-დიჩანაცვლებული-1,3,4-ოქსადიაზოლის პერქლორატი (LXXV-LXXVII)

**ზოგადი მეთოდიკა.** ექვიმოლური რაოდენობით 2,5-დიჩანაცვლებულ-1,3,4-ოქსადიაზოლის და α-ფეროცენილეთანოლის ნარევს ხსნიან 5-10 მლ CH<sub>2</sub>Cl<sub>2</sub>-ში, უმატებენ 0.2-0.5 მლ 70% HClO<sub>4</sub>-ის წყალსხარს და ინტენსიურად ურევენ 2-3 საათის განმავლობაში ოთახის ტემპერატურაზე. რეაქციის დასრულების შემდეგ უმატებენ 30-40მლ ეთერს, აყოვნებენ 12-16 საათის განმავლობაში, აცივებენ 5-10°C-მდე. წარმოქმნილ ნალექს ფილტრავენ, ღებულობენ შეფერილ კრისტალებს 60-75% გამოსავლიანობით.

N-ა-ფეროცენილეთილ-2,5-ბის-(1-ადამანტილ)-1,3,4-ოქსადიაზოლის პერქლორატი (LXXV): 0.5გ (65%), ყავისფერი კრისტალები, ლდ.ტ. >290°C.

N-ა-ფეროცენილეთილ-2-(1-ადამანტილ)-5-(3-ნიტრო-4-ქლორფენილ)-1,3,4-ოქსადიაზოლის პერქლორატი (LXXVI): 0.7გ (60%), მუქი ფერის კრისალები, ლდ.ტ. 185-200°C.

N-ა-ფეროცენილეთილ-2-(1-ადამანტილ)-5-(2-ჰიდროქსიფენილ)-1,3,4-ოქსადიაზოლის პერქლორატი (LXXVII): 0.8გ (75%), მოყვითალო-მოყავისფრო, ლდ.ტ. 165-175°C.

**ჰიდრაზიდო-ჰიდრაზონული ლიგანდების:** N-(1-ადამანტოილ)ბენზალდეჟიდის ჰიდრაზინი (L<sup>I</sup>), N-(1-ადამანტოილ)-N<sup>′</sup>-(4-დიმეთილამინო)-ბენზალდეჟიდის ჰიდრაზინი (L<sup>II</sup>), N-(1-ადამანტოილ)-N<sup>′</sup>-(2,4-დიჰიდროქსიბენზალდეჟიდის ჰიდრაზინი (L<sup>III</sup>) რგინა-(II)-ის და სპილენდ(II)-ის კოორდინაციული ნაერთები (LXXVIII-LXXXII)

სარეაქციო კოლბაში ათავსებენ ლიგანდეს, უმატებენ 8-10 მლ ეთილის სპირტს და ნარევს აცხელებენ ლიგანდის გახსნამდე. ჭიქაში ხსნიან მარილს (CuCl<sub>2</sub>.2H<sub>2</sub>O ან FeSO<sub>4</sub>.7H<sub>2</sub>O) წყალში და შეგრილებულ ორგანულ ლიგანდიან ხსნარს წვეთ-წვეთობით უმატებენ მომზადებულ მარილსხარს, აყოვნებენ 2-10 დღის განმავლობაში, წარმოქმნილ ნალექს ფილტრავენ, რეცხავენ ეთილის სპირტით, აშრობენ, ღებულობენ შესაბამის კომპლექსნაერთებს:

Fe(L<sup>II</sup>)<sub>2</sub>SO<sub>4</sub> •4H<sub>2</sub>O მოყვითალო კრისტალები, 1.8გ (95%), ლდ.ტ. 320-395°C. (LXXVIII).

Cu(L<sup>II</sup>)<sub>2</sub>Cl<sub>2</sub>•2H<sub>2</sub>O მომწვანო-ყვითელი კრისტალები, 1.4გ (97%), ლდ.ტ. 285-380°C (LXXIX).

Cu(L<sup>I</sup>)<sub>2</sub>Cl<sub>2</sub>•2H<sub>2</sub>O დია ყვითელი კრისტალები, 1.9 (98%), ლდ.ტ. 270-395°C (LXXX).

Cu(L<sup>III</sup>)<sub>2</sub>Cl<sub>2</sub> •2H<sub>2</sub>O შავი ფერის კრისტალები, 1.85გ (94%), ლდ.ტ. 260-390°C (LXXXI).

Fe(L<sup>III</sup>)<sub>2</sub>SO<sub>4</sub>•4H<sub>2</sub>O მწვანე ფერის კრისტალები 1.45გ (97%), ლდ.ტ. 310-385°C (LXXXII).

## დასკვნები

1. სინთეზირებულია ფეროცენის და ადამანტანის შემცველი აცეტილენური რიგის პიდროქსინტარმოებულები – ანტიკანცეროგენული და ანტიმიკრობული პრეპარატების: 1-ფეროცენილ-1-ფენილ-1,4-დიჰიდროქსიბუტინ-2 (Fc-A), 4-ადამანტილ-1,4-დიჰიდროქსიპენტინ-2, 2-პიდროქსი-2-(1-პიდროქსიპროპინილ)ადამანტანი, სტრუქტურული ანალოგები.
2. შესწავლილია ეთინილფეროცენის, პროპარგილის სპირტის და 2-პიდროქსი-2-ეთინილადამანტანის კონდენსაციის რეაქციები ადამანტანისა და ფეროცენის რიგის კეტონებთან. აღმოჩენილია, რომ აცეტილენური ნაერთების მაგნიუმ-ბრომტარმოებულები ნუკლეოფილური გამხსნელების არეში ადვილად შედიან რეაქციაში ადამანტანონთან, აცეტილადამანტანთან, უფრო ძნელად აცეტილ და დიაცეტილფეროცენთან; ბენზოილ და დიბენზოილფეროცენთან რეაქცია არ მიმდინარეობს, ხოლო ლითიუმტარმოებულებთან ურთიერთქმედებით ადვილად მიიღება შესაბამისი ნაერთები.
3. შესწავლილია ნაერთების: ბის(2-პიდროქსი-2-ადამანტილ)ეთინის, 2-პიდროქსი-2-(1-პიდროქსიპროპინილ)ადამანტანის, 4-ადამანტილ-1,4-დიჰიდროქსიპენტინ-2-ის, 1(2-პიდროქსი-2-ადამანტილ)-3-ფენილბუტინის და 1,1'-ბის(1-ფენილ-1,4-დიჰიდროქსი-2-ბუტინილ)ფეროცენის ანიონოგროპული გადაჯგუფების, აღდგენისა და ეთერიფიკაციის რეაქციები. დადგენილია, რომ ფეროცენის ბირთვთან ამდგომარეობაში OH ჯგუფი ადვილად განიცდის გადაჯგუფებას, აღდგენას და მეთილირებას, ვიდრე ადამანტანის ბირთვთან მყოფი.
4. პირველად მიღებულია ფეროცენზე დაფუძნებული რუთენიუმის პინსერული კომპლექსი, RuCl(CO)[{2,5-(*t*-Bu<sub>2</sub>PCH<sub>2</sub>)<sub>2</sub>C<sub>5</sub>H<sub>2</sub>}Fe(C<sub>5</sub>H<sub>5</sub>)], 1,3-ბის{(დი-*t*-ბუტილფოსფინო)მეთილ}ფეროცენის კომპლექსთან RuCl<sub>2</sub>(DMSO)<sub>4</sub> რეაქციით. რუთენიუმ-ქლოროკარბონილ პინსერული კომპლექსის ნახშირბად მონოქსიდთან რეაქციებში მიღებულია ნეიტრალური და კატიონური დიკარბონილური კომპლექსები.
5. სინთეზირებულია ფეროცენილბუტადიინილის შემცველი ოქრო-რენიუმის კომპლექსი Re<sub>2</sub>(AuPPh<sub>3</sub>)(μ-C<sub>4</sub>Fe)(CO)<sub>8</sub>. ოქრო-ფეროცენილბუტადიინილის Au(PPh<sub>3</sub>)C<sub>4</sub>Fe და დირენიუმის Re<sub>2</sub>(CO)<sub>8</sub>(NCMe)<sub>2</sub> კომპლექსების თერმულ რეაქციაში მიღებულია უჩვეულო აღნაგობის ოქრო-რენიუმის კლასტერი Re<sub>4</sub>(AuPPh<sub>3</sub>)(μ<sub>4</sub>-C<sub>2</sub>)(μ<sub>3</sub>-C<sub>2</sub>Fe)(NCMe)(CO)<sub>12</sub>. კლასტერი შეიცავს μ<sub>4</sub>-დიკარბიდურ და μ<sub>3</sub>-ფეროცენალკინილურ ლიგანდებს, რომლებიც წარმოქმნილია ბუტადიინილის ცენტრალური C-C ბმის გახლების შედეგად.
6. შესწავლილია ადამანტანის რიგის ამინიების, ადამანტან-1-კარბონმჟავას პიდრაზიდის და 3-ამინოადამანტან-1-კარბონმჟავას ურთიერთქმედების რეაქციები არომატული რიგის ალდეჰიდებთან. მიღებულია შესაბამისი აზომეთინები, რომელთა აღდგენით გამოყოფილია შესაბამისი ამინები.
7. შესწავლილია ადამანტან-1-კარბონმჟავას პიდრაზიდის აცილირების რეაქციები. მიღებულია დი- და ტრიაცილპიდრაზიდები. პიდრაზიდოპიდრაზონების და

დიაცილპიდრაზიდების ბაზაზე სინთეზირებულია 2-ადამანტილ-5-არილ-1,3,4-ოქსადიაზოლები.

8. სინთეზირებულია და შესწავლილია d-მეტალის კოორდინაციული ნაერთები ადამანტიმეტკელი ჰიდრაზონების ბაზაზე: N-(1-ადამანტოილ)-N<sup>1</sup>-(4-დიმეთოილ-ამინო)-ბენზალდეგვიდისპიდრაზონის(L<sup>II</sup>) რკინა(II)-ის დიაქვა კომპლექსი, N-(1-ადამანტოილ)-N<sup>1</sup>-(4-დიმეთოილ-ამინო)-ბენზალდეგვიდის ჰიდრაზონის (L<sup>II</sup>) სპილენდ(II)-ის კომპლექსი, N-(1-ადამანტოილ)-N<sup>1</sup>-ბენზალდეგვიდის ჰიდრაზონის (L<sup>I</sup>) სპილენდ(II)-ის კომპლექსი, N-(1-ადამანტოილ)-N<sup>1</sup>-(2,4-დიოქსიბენზალდეგვიდის)პიდრაზონის (L<sup>III</sup>) სპილენდ(II)-ის კომპლექსი, N-(1-ადამანტოილ)-N<sup>1</sup>-(2,4-დიოქსიბენზალდეგვიდის)პიდრაზონის (L<sup>III</sup>) რკინა(II)-ის კომპლექსი.
9. ნახევრადემპირიული კვანტურ-ქიმიური (AM1 (Austin Model 1) [CS MOPAC (Chem 3D Ultra-version 8.03) მეთოდით დადგენილია ორგანული ლიგანდების კომპლექსწარმოქმნის უნარობა.

## გამოყენებული ლიტერატურა

1. Gasser G., Ott I., Metzler-Nolte N. Organometallic anticancer compounds. *J. Med. Chem.* 2011, 54, 1, 3-25.
2. Navarro M., Castro W., Biot C. Biorganometallic compounds with antimalarial targets: inhibiting hemozoin formation. *Organometallics* 2012, 31, 16, 5715-5727.
3. ფოჩიძე გ. ფეროცენი-ა-ს ოხევადქრომატოგრაფიული განსაზღვრა, ფარმაკონეტიკა და ანტიკანცეროგებული მოქმედება. ავტორეფერატი, ქიმ. მეცნ. კანდ. დის. 1999.
4. Pochkhidze M., Asatiani L., Chitiashvili Z., Rukhadze M., Tsartsidze M. Determination and pharmacokinetic study of ferrocene-A in blood serum of rabbits. *JPBA* 2002, 27, 845-849.
5. Koridze A.A., Sheloumov A.M., Kuklin S.A., Lagunova V.Yu., Petukhova I.I., Dolgushin F.M., Ezernitskaya M.G., Petrovskii P.V., Macharashvili A.A., Chedia R.V. PCP pincer ligands based on metallocenes. Crystal structure of the rhodium complex *cis*-RhCl<sub>2</sub>(CO)[{2,5-(Pr<sup>i</sup><sub>2</sub>PCH<sub>2</sub>)<sub>2</sub>C<sub>5</sub>H<sub>2</sub>}Fe(C<sub>5</sub>H<sub>5</sub>)]. *Russ. Chem. Bull., Int. Ed.* 2002, 51, 6, 1077-1078.
6. Koridze A.A., Kuklin S.A., Sheloumov A.M., Dolgushin F.M., Lagunova V.Yu., Petukhova I.I., Ezernitskaya M.G., Peregudov A.S., Petrovskii P.V., Vorontsov E.V., Baya M., Poli R. Ferrocene-based pincer complexes of palladium: synthesis, structures, and spectroscopic and electrochemical properties. *Organometallics* 2004, 23, 20, 4585-4593.
7. Kuklin S.A., Sheloumov A.M., Dolgushin F.M., Ezernitskaya M.G., Peregudov A. S., Petrovskii P.V., Koridze A.A. Highly active iridium catalysts for alkane dehydrogenation. Synthesis and properties of iridium bis(phosphine) pincer complexes based on ferrocene and ruthenocene. *Organometallics* 2006, 25, 22, 5466-5476.
8. Sheloumov A.M., Tundo P., Dolgushin F.M., Koridze A.A. Suzuki aryl coupling catalysed by palladium bis(phosphane) pincer complexes based on ferrocene: X-ray structure determination of {PdCl[{2,5-(Bu<sup>t</sup>PCH<sub>2</sub>)<sub>2</sub>C<sub>5</sub>H<sub>2</sub>}Fe(C<sub>5</sub>H<sub>5</sub>)]}OTf. *Eur. J. Inorg. Chem.* 2008, 4, 572-576.
9. Koridze A.A., Kuklin S.A., Sheloumov A.M., Kondrashov M.V., Dolgushin F.M., Ezernitskaya M.G., Petrovskii P.V., Vorontsov E.V. Palladium pincer complexes Pd(BH<sub>4</sub>)[{2,5-(R<sub>2</sub>PCH<sub>2</sub>)<sub>2</sub>C<sub>5</sub>H<sub>2</sub>}Fe(C<sub>5</sub>H<sub>5</sub>)] (R=Pr<sup>i</sup>, Bu<sup>t</sup>) with unidentate borohydride ligand. *Russ. Chem. Bull., Int. Edit.* 2003, 52, 12, 2757-2759.
10. Адамантаны. Получение, свойства, применение. Багрий Е.И. Москва, Наука, 1989, 264.
11. Фармакология адамантанов. Морозов И.С., Петров В.И., Сергеева С.А. Волгоград. Волгоградская медицинская академия. 2001, 320.
12. Арцимович Н.Г., Галушина Т.С., Фадеева Т.А. Адамантаны – лекарства XXI века. *Int. J. Immunorehabilitation* 2000, 2, 1, 55-60.
13. Kadi A.A., El-Brollosy N.R., Al-Deeb O.A., Habib E.E., Ibrahim T.M., El-Emam A.A. Synthesis, antimicrobial and anti-inflammatory activities of novel 2-(1-adamantyl)-5-substituted-1,3,4-oxadiazoles and 2-(1-adamantylamino)-5-substituted-1,3,4-thiadiazoles, *Eur. J. Med. Chem.* 2007, 42, 235-242.
14. El-Emam A. A., Al-Deeb O. A., Al-Omar M., Lehmann J. Synthesis, antimicrobial, and anti-HIV-1 activity of certain 5-(1-adamantyl)-2-substituted thio-1,3,4-oxadiazoles and 5-(1-adamantyl)-3-substituted aminomethyl-1,3,4-oxadiazoline-2-thiones. *Bioorg. Med. Chem.* 2004, 12, 5107-5113.
15. Литвинов В.П., Гетериладамантаны: синтетические исследования последних лет, биологическая активность и другие аспекты практического использования, ХГС, 2002, 1, с.12-39.

16. Ковтун В.Ю., Плахотник В.М. Использование адамантанкарбоновых кислот для модификации лекарственных средств и биологически активных соединений. Хим.-фарм. журн. 1987, 8, 931-940.
17. Несмеянов А.Н., Перевалова Э.Г. Циклопентадиенильные соединения металлов. Успехи химии 1958, 27, 1, 1-56.
18. Karlsson A., Broo A., Ahlberg P. Regioselective protonation of ferrocene in superacid and formation of a C—H—Fe bond. An experimental and theoretical study of the structure and dynamics of the ferrocenonium ion. Can. J. Chem. 1999, 77, 5-6, 628-633.
19. Koridze A.A., Ферроценилкарбкатоны и родственные катионные комплексы. Строение и механизм стабилизации. Успехи химии 1986, 55, 2, 277-302.
20. Shetter H. Die chemie der organischen ringsysteme mit urotropin-structur. Angew. Chem. 1954, 66, 8, 217-229.
21. Fort C., Scheleyer R., Adamantane: Consequence of the diamondoid structure. Chem. Rev. 1964, 17, 277-300.
22. Arimoto F.S., Haven A.C. Derivatives of dicyclopentadienyliron. J. Am. Chem. Soc., 1955, 77, 23, 6091-6408.
23. Iohn I., Donald I. Paramagnetic metallocenes. Oxidation of ferrocenyl ketones. J. Org. Chem. 1971, 36, 15, 2092-2098.
24. Geluk H.W., Philips N.V. An improved synthesis of 1,4-disubstituted adamantanes. Synthesis 1972, 7, 374-375.
25. Овчинников Ю.А., Реутов О.А., Серпинский В.В., Фокин А.В. Изв. АН. СССР, Сер. хим. 1988, 5, 953-1200.
26. Кравцов Д.Н., Вильчевская В.Д., Петровский П.В., Гореликова Ю.Ю. Реакция ферроцена с бромадамантаном. Изв. АН. СССР, Сер. хим. 1988, 5, 1130-1133.
27. Гвердцители И.М., Асатиани Л. П. Способ получения ферроценовых несимметричных ацетиленовых  $\gamma$ -гликолей. ЖОХ. 1972, 42, 9, 2025-2026.
28. Петров А.Д., Гуань-Ли, Соколова Е.Б. Синтез одноатомных и ацетиленовых третичных спиртов ферроценного ряда. ДАН СССР, 1961, 139, 111-112.
29. Асатиани Л. П., Ломтатидзе З. Ш., Киладзе С. Х., Мецхваришвили. Синтез и бактерицидные свойства ферроценсодержащих двух- и четырехатомных спиртов ацетиленового ряда. Хим. фарм. журн. 1994, 18, 5, 576-577.
30. Вишнякова Т.П., Марьинкин Н.Я., Еляшберг М.Е. О взаимодействиях ацетил и диацетилферроцена с ацетиленидом натрия в жидким амиаке. ЖОрХ. 1967, 5, 947-951.
31. Вишнякова Т.П., Паушкин Я.М. Новые производные ферроцена . ЖОрХ. 1969, 5, 1707-1709.
32. Гвердцители И.М., Асатиани Л. П. Синтез и превращение вторично-третичных ацетиленовых гликолей ферроценного ряда. Тр. Сообщ. АН ГССР, 1968, 3, 97-100.
33. Гвердцители И.М., Асатиани Л. П. Синтез двутретичных ацетиленовых гликолей ферроценного ряда. Сообщ. ГССР, 1968, 1, с. 91-94.
34. Гвердцители И.М., Асатиани Л.П. Превращение некоторых ферроцен - содержащих ацетиленовых  $\gamma$ -гликолей. Тр. ТГУ. 1967, 167, 41-42.
35. Гвердцители И.М., Асатиани Л.П. Восстановление ферроценсодержащих ацетиленовых  $\gamma$ - гликолей комплексом. Тр. ТГУ. 1967, 167, 43-44.
36. Stetter H., Goebel P. Zur Kenntnis des adamantyl-(1)-acetylens. Chem. Ber. 1962, 92, s.1039-1043.
37. Багрий Е.И., Сагинаев А.Т. Непредельные производные адамантана. Успехи химии 1983, 52, 9, 1538-1566.

38. Юрченко А.Г., Сребродольский Ю.И., Белко И.А. Синтез и превращения 2- окси-2- этиниладамантана. ЖОрХ. 1981, 17, 8, 1638-1642.
39. Зурабишвили Д.С., Ломидзе М.О., Сладков А.М. Синтез и некоторые превращения адамантансодержащих спиртов и гликолов. Тезисы докладов научной конференции по химии органических полиэфратов. Волгоград 1981, 147.
40. Ломидзе М.О., Талаквадзе Т.Г., Будагова А.Л., Зурабишвили Д.С. Способ получения 2-окси-2-етиниладамантана. Материалы III республиканской научной конференции молодых учёных и специалистов в области животноводства, ветеринарии и экономики сельского хозяйства. Тбилиси, 1985, 249-250.
41. Зурабишвили Д.С., Ломидзе М.О., Самсония Ш.А. Синтез и катализическое гидрирование ацетиленовых спиртов-производных адамантана. ЖОрХ. 2000, 36, 2, 241-244.
42. Зурабишвили Д.С., Ломидзе М.О., Ломтадзе З.Ш. Синтез и изучение биоцидной активности некоторых производных адамантана. В Кн. : Межгосударственный сборник научных трудов. Тбилиси, 1997, 220-223.
43. Баум К., Арчибалд Т.Г. 1,3-Диэтиниладамантан и методы его полимеризации. Пат. США. 4918153, кл. МКИ4 С08F 1/26, заявл. 21.07.86, опубл. 17.04.90. НКИ 526/282, РЖХим., 1991, 22c436П.
44. Баум К., Арчибалд Т.Г., Малик А.А. Производные этиниладамантана и способы их полимеризации. Пат. США. № 5017734, кл. МКИ5 С07C 13/6715, НКИ 585-21, заявл. 89.12.11, публ. 91.05.21, Т. 1126 № 3.
45. Арчибалд Е.Г., Малик А.А., Баум К., Унroe М.Р. Термостабильные полимеры на основе ацетинильных производных адамантана. Macromolecules 1991, 24, 19, 5461-5465. РЖХим., 1992, 2, 384.
46. Haenel M. W., Jakubik D., Krüger C., Betz P. 1,8-Bis(diphenylphosphino)anthracene and metal complexes. Chem.Ber. 1991, 124, 2, 333-336.
47. Gupta M., Hagen Ch., Flesher R.J., Kaska W. C., Jensen C. M. A highly active alkane dehydrogenation catalyst: stabilization of dihydrido rhodium and iridium complexes by a P-C-P pincer ligand. Chem. Commun. 1996, 17, 2083-2084.
48. Gupta M., Kaska W.C., Jensen C.M. Catalytic dehydrogenation of ethylbenzene and tetrahydrofuran by a dihydrido iridium P-C-P pincer complex. Chem. Commun. 1997, 5, 461-462.
49. Rybtchinski B., BenDavid Y., Milstein D. Unexpected isomerization of cis- into a trans-dihydride complex. A neutral late transition metal complex as a hydride donor. Organometallics 1997, 16, 17, 3786-3793.
50. Gauvin R.M., Rozenberg H., Shimon L.J.W., Milsten D. Synthesis and structure of new osmium-PCP complexes. Osmium-mediated C-C bond activation. Organometallics 2001, 20, 9, 1719-1724.
51. Polezhaev A.V., Kuklin S.A., Ivanov D.M., Petrovskii P.V., Dolgushin F. M., Ezernitskaya M.G., Koridze A.A. Activation of small molecules by a rhodium bis(phosphinite) pincer complex. Russ.Chem.Bull., Int. Ed. 2009, 58, 9, 1847-1854.
52. Ivanov D.M., Kuklin S.A., Polezhaev A.V., Petrovskii P.V., Smol'yakov A.F., Dolgushin F.M., Ezernitskaya M.G., Peregudov A.S., Koridze A.A. Ruthenium bis(phosphinite) pincer complexes. Russ. Chem. Bull., Int. Ed. 2009, 58, 8, 1701-1706.
53. Koridze A.A., Zdanovich V.I., Kizas O.A., Yanovsky A.I., Struchkov Yu.T. Coupling and annelation of two acetylidyne groups and alkyne molecules in the reaction of  $(OC)_5ReC\equiv CPh$  with ferrocenylacetylene. Crystal and molecular structure of  $Re_2(CO)_7\{C_8H_2Ph_2(C_5H_4Fe-C_5H_5)_2\}$ . acetone. J. Organomet. Chem. 1994, 464, 2, p.197-201.
54. Koridze A.A., Sheloumov A.M., Dolgushin F.M., Ezernitskaya M.G., Rosenberg E., Sharmin A., Ravera M. Bis(ferrocenylethyynyl)-substituted digold-tetrarhenium cluster:

unusual structure and electronic communication between ferrocenyl groups. *Organometallics* 2008, 27, 5, 6163-6169.

55. Mathur P., Chatterjee S., Avasare V.D. Mixed metal acetylide complexes. *Adv. Organomet. Chem.*, 2007, 55, 210-277.
56. Bruce M.I., Low P.J., Skelton B.W., White A.H. Rhenium complexes from alkynes. X-Ray crystal structures of  $\text{Re}_2(\mu\text{-}2\eta^1\text{-C}_4\text{Ph}_4)(\text{CO})_7$  and  $\text{Re}\{\text{C}_2\text{O}-\text{CH}_2\text{C}[\text{Re}(\text{CO})_4(\text{NMe}_3)]-\text{C}(\text{OMe})\text{O}\}(\text{CO})_4$ . *J. Organomet. Chem.* 1994, 464, 2, 191-195.
57. Koridze A.A., Zdanovich V.I., Sheloumov A.M., Dolgushin F.M., Ezernitskaya M.G., Petrovskii P.V. Synthesis of the gold-dirhenium ferrocenylacetylidyne cluster. The crystal structure of  $\text{Re}_2(\mu\text{-C}\equiv\text{CFc})\{\text{Au}(\text{PPh}_3)\}(\text{CO})_8$ . *Russ. Chem. Bull., Int. Ed.* 2001, 50, 12, 2441-2443.
58. Koridze A.A., Zdanovich V.I., Lagunova V.Yu., Dolgushin F.M., Yanovsky A.I. Cleavage of the  $\text{C}\equiv\text{C}$  bond in the reaction of ferrocenylacetylene with  $\text{Ru}_3(\text{CO})_{12}$ . Crystal structure of the carbyne cluster  $\text{Ru}_3\text{H}(\text{CFc})(\text{CO})_{10}$ . *Russ. Chem. Bull., Int. Ed.* 1996, 45, 9, 2254-2255.
59. Карбонилы металлов, Сыркин В.Г., Москва., «Химия», 1983, 196с.
60. Ingham W.L., Coville N.J. Site selectivity studies on homonuclear metal dimer complexes: Substitution reactions of  $\text{Re}_2(\text{CO})_9\text{L}$ . *J. Organomet. Chem.* 1992, 423, 1, 51-64.
61. Top S., Gunn M., Jaouen G., Vaissermann J., Daran J.-C., McGlinchey M.J. Synthetic, structural and reactivity studies of dirhenium carbonyl complexes of 17- $\alpha$ -ethynylestradiol and phenylacetylene: variable-temperature  $^{13}\text{C}$  NMR spectra and X-ray crystal structure of ( $\mu$ -H)( $\mu$ -C≡C-Ph)- $\text{Re}_2(\text{CO})_7(\text{MeCN})$ . *Organometallics* 1992, 11, 3, 1201-1209.
62. Peterson L.K., Dhami R.S., Wada F. The synthesis and characterization of rhenium(o)-nitrile complexes  $\text{Re}_2(\text{CO})_{9,8}(\text{RCN})_{1,2}$ . *Synth. React. Inorg. Met.Org. Chem.* 1983, 3, 291-303.
63. Koelle U. Aminoxidind uzierte ligandensubstitution anubergangsmetallcarbonylen II. *J. Organomet. Chem.* 1978, 155, 1, 53-62.
64. Franzen V. Octanal. *Org. Synth.*, 1967, 47, 96-97.
65. Radiopharmaceuticals, II , Deutsch E.Ed., New-York, The Society of Nuclear Medicine, 1979, 129.
66. Powell J., Brewer J.C., Gulia G., Sawyer J.F. Synthesis of  $\text{PtRe}_2$  and  $\text{Pt}_2\text{Re}_2$  heterometallic complexes from the reaction of dirhenium carbonyl compounds with zerovalent complexes of platinum. *J. Chem. Soc., Dalton Trans.* 1992, 16, 2503-2516.
67. Koridze A.A. Reactions of ruthenium and osmium cluster carbonyls with heteroatom-substituted and functionalized alkynes. *Russ. Chem. Bull., Int. Ed.* 2000, 49, 1, 1-18.
68. Low P.J., Brown N.J. Electronic interactions between and through covalently- bonded polymetallic complexes. *J. Cluster Sci.* 2010, 21, 3, 235-278.
69. Jones S.C., Barlow S., O'Hare D. Electronic coupling in mixed-valence dinuclear ferrocenes and cobaltocenes with saturated bridging groups. *Chem.Eur. J.* 2005, 11, 15, 4473-4481.
70. Xu G.L., Crutchley R.T., Derosa M.C., Pan Q.J., Zhang H.X., Wang X., Ren T. Strong electronic couplings between ferrocenyl centers mediated by bis-ethynyl/butadiynyl diruthenium bridges. *J. Am. Chem. Soc.* 2005, 127, 38, 13354-13363.
71. Robertson N., McGowan C.A. A comparison of potential molecular wires as components for molecular electronics. *Chem. Soc. Rev.* 2003, 32, 2, 96-103.
72. Berry J.F., Cotton F.A., Murillo C.A. A trinuclear EMAC-type molecular wire with redox-active ferrocenylacetylidyne ‘alligator clips’ attached. *Organometallics* 2004, 23, 10, 2503-2506.
73. Jones N.D., Wolf M. O., Giaquinta D.M. Synthesis of a ferrocenyl-capped ruthenium(II) bis(acetylidyne) complex: a model for organometallic molecular wires. *Organometallics* 1997, 16, 7, 1352-1354.

74. Даниленко Г.И., Шабловская Е.А., Антонова Л.А., Гужова С.В., Лобанова И.А., Дяченко А.П., Панасюк А.И. Синтез и защитное действие производных фениладамантина в отношении вируса бешенства. Хим. фарм. журн. 1998, 32, 2, 28-30.
75. Stetter H., Weber J., Wulff C. Über verebindungen mit Urotropin-Struktur, XXXI. Herstellung von Derivaten des 1-Phenyl-adamantanes. Chem. Ber. 1964, 97, 12, 3488-3492.
76. Исаев С.Д., Новоселов Е.Ф., Юрченко А.Г. Синтез и превращения N-адамантилзамещенных оксазиридинов. ЖорХ 1985, 21, 1, 114-119.
77. Новоселов Е.Ф., Исаев С.Д., Юрченко А.Г. Синтез и превращения оксазиридинов. Адамантан-2-спиро-3'-оксазиридин и его N-алкилпроизводные. ЖорХ 1985, 21, 1, 107-113.
78. სამხმია შ. ა., ზურაბიშვილი დ. ს., ლომიძე გ.ო. 1-(4-აცეტამიდოფოვებილ)-ადამანტანის მიღების ხერხი, საქართველოს საპატენტო სიგენდი №860, კლასი C07C 231-12, 233-07, ვებანილია 02.07.93, გამოქვეყნებულია 15.04.97, ბიულეტენი №5.
79. Зурабишвили Д.С., Ломидзе М.О., Самсония Ш.А., Весквет А.О., Кацмайер. У. Синтез и превращения некоторых 5(6)-(1-адамантил)бензимидазолов. ХГС 2008, 8, 1172-1182.
80. Sztaricskai F., Pelyvás I., Dinya Z., Szilágyi L., Györgydeák Z., Hadházy Gy., Váczi L., Bognár R. Synthese und virushemmende in-vitro-wirkung neuerer 1-substituierter adamantanderivate. Pharmazie 1975, 30, 9, 571-581.
81. Даниленко Г.И., Вотяков В.И., Андреева О.Т. и др. Синтез и биологическая активность производных адамантана V. Вырусо-ингибирующее действие ариламидов адамантан-карбоновых кислот. Хим.-фарм. журн., 1976, 7, 10, 60-62.
82. Lednicer D., Heyd W. E., Emmert D. E. Hypobetalipoproteinemic Agents. 2. Compounds Related to 4-(1-Adamantyloxy)aniline. J. Med. Chem., 1979, 22, 1, 69-77.
83. Lednicer D., Portage, Mich. Polycycloanilines, US Patent, № 4. 200. 588; 29.04.1980. The Upjohn Company, Kalamazoo Mich. App. No.: 800,799. Filed: May 26, 1977.
84. Orzeszko A., Gralewska R., Bohdan J. Starooecia K. Kazimierczuk Z. Synthesis and antimicrobial activity of new adamantane derivatives. Act. Biochim. pol. 2000, 47, 1, 87-94.
85. Даниленко Г. И., Рыбалко С. П., Макамов Ю. Н., Баклан В. Ф., Гужова С. В. Гидразиды адамантан-1-норборан-2-карбоновой кислоты, как ингибиторы вируса иммунодефицита человека. Хим. фарм. журн., 2000, 34, 1, 24-25.
86. Stetter H., Rausher E. Zur Kenntnis der Adamantan-carbonsäure-(1). Chem. Ber., 1960, 93, 1161- 1166.
87. Несынов Е.П., Греков А.П. Химия производных 1,3,4-оксадиазола. Успехи химии 1964, 36, 10, 1185-1195.
88. Изынеев А.А., Тепляков М.М., Самсония В.Г., Максимов А.Д. Полиазолы. 1967, 36, 2090- 2091.
89. Ramazani A., Soulard A. Iminophosphorane-mediated one-pot synthesis of 1,3,4-oxadiazole derivatives, Arkivoc 2008, 16, 235-242.
90. Zahid M., Yasin K.A., Akhtar T., Rama N. H., Hameed S., Al-Masoudi N.A., Loddo R., La Colla P. Maryam Z., Khawaja A. Yasin., Tashfeen A., Nasim H. Rama., Shahid H., Najim A. Al-Masoudi., Roberta L., Colla P. L. Synthesis and *in vitro* antiproliferative activity of new adamantlylthiazolyl-1,3,4-oxadiazoles. General papers arkivoc 2009, 11, 85-93.
91. Швехгеймер Г.А. Спиро соединения содержащие адамантановый и гетероциклический фрагменты. ХГС 1996, 4, 435-482.
92. Швехгеймер Г.А., Литвинов В.П. Химия гетериладамантов, Часть 2. Пятичленные гетериладаманты. ЖОрХ, 1999, 35, 2, 183-220.
93. Sasaki T., Tguchi Sh., Toru T. Synthesis of adamantane derivatives.III. Synthesis of adamantane heterocycles. Bulletin of the Chemical Society of Japan 1969, 42, 1617-1621.

94. Shvekhgeimer G.A. Kuzmicheva L.K. Synthesis and properties of azoles and their derivatives. Preparation of 3,5-disubstituted 1,2,4-oxadiazoles from-cyanoadamantane. *Chemistry of Heterocyclic Compounds*, 1975, 11, 2 , 152-154.
95. Koparar M., Cetin A., Cansiz A. 5- furan-2yl [1,3,4]oxadiazole-2-thiol, 5-furan-2yl-4H [1,2,3]triazole-3-thiol and their tilo-thione tautomerism. *Molecules* 2005, 10, 474-480.
96. Щукина М.Н., Сычева Т.П. Противотуберкулезные химиотерапевтические препараты. *Хим. наук. и пром.* 1956, 1, 4, 419-432.
97. Мачхошвили Р.И., Харитонов Ю.Я., Гогоришивили П.В. Спектрохимические исследования координационных соединений металлов с гидразидами карбоновых кислот. Сб. Исследования в области химии комплексных и простых соединений металлов с гидразидами карбоновых кислот. Тбилиси. Мецниереба. 1974. с. 37- 39.
98. Ahmed A. D., Mandal P.K. and Chaudhuri N. Ray. Metal complexes of malondihydrazide. *J. Inorg. Nucl. Chem.* 1966, v. 28, 12, 2951-2959.
99. Dutta Ahmed A., Chaudhuri N. Ray. Metal complexes of dicarboxylic acid(di)hydrazides. *J. Inorg. Nucl. Chem.* 1969. v. 31. 8. 2545-2556.
100. Вардосанидзе Т. О., Мачхошвили Р. И Харитонов Ю. Я. , Тавбериадзе М. Г. Уточнение состава и строения кристаллов Cd(FH)(NCS)<sub>2</sub>. Тез. докл. II Всесоюзного совещания по неорганической кристаллохимии координационных соединений. - Тбилиси. 1980, 75.
101. Швелашвили А. Е.. Миминошвили Э. Б , Гогоришивили П. В., Мачхошвили Р. И. , Векуа Н. Н.. Квиташвили А.И., Щедрин Б.М. О строении комплекса ZnLSO<sub>4</sub>·3H<sub>2</sub>O. *ЖОрХ*. 1976, 21, 1, 292.
102. Швелашвили А. Е Мачхошвили Р. И. , Миминошвили Э. Б. , Щедрин Б. М., Векуа Н. Н.. Квиташвили А.И., Микеладзе Э. А. Исследование строения соединения сульфата цинка с дигидразидом малоновой кислоты . *Журн. неорган. химии.* 1976, т.25. № 7. с. 1779-1783.
103. Буквецкий Б. В. , Герасименко А. В. , Давидович Р. Л. Кристаллические структуры гексафтороцирконатов аминогуанидиня (+) и аминогуанидиня (2+). *Координ. химия.* 1990, 16, 11, 1479-1484.
104. Marques M. P. M., Platinum and palladium polyamine complexes as anticancer agents: the structural factor. *ISRN Spectroscopy*, 2013, 29 .
105. Aranowska K, Graczyk J, Checińska L, Pakulska W, Ochock J. Antitumor effect of Pt(II) amine phosphonate complexes on sarcoma sa-180 in mice. Crystal structure of cis-dichlorobis(diethyl-4-pyridylmethylphosphonate-kappaN)platinum(II) hydrate, cis-[PtCl<sub>2</sub>(4-pmp)]. *Pharmazie*. 2006, 61, 5, 457-60.
106. Kidani Y, Inagaki K, Iigo M, Hoshi A, Kuretani K. Antitumor activity of 1,2-diaminocyclohexane-platinum complexes against sarcoma-180 ascites form. *J.Med.Chem.* 1979, 21, 12, 1315-1318.
107. Coluccia M., Natile G. Trans-platinum complexes in cancer therapy. *Med.Chem.*, 2007, 7, 111-113.
108. McHenry C, Lee K. Lithium therapy and disorders of the parathyroid glands. *Pubmed* 1996, 2, 2, 103-109.
109. Мачхошвили Р.Н. Аспекты синтеза гидразидокомплексов металлов. *Координ. химия.* 2000, 26, 10, 723-732.
110. Ahmed D. Chaudhuri N. Acid hydrazides as ligands. II. Metal complexes of dicarboxylic acid di(hydrazides). *J. Inorg. Nucl. Chem.* 1969, 31, 8, 2545-2556.
111. Харитонов Ю.Я., Мачхошвили Р.И., Метревели Д.П., Пирцхалава Н.И. Комплексные соединения хлоридов и сульфатов металлов с формилгидразином. *Координ. химия.* 1977, 3, 7, 1069-1074.

112. Baker R.J., Nyburg S.C., Szymanski J.T. The crystal and molecular structure of bis (N-henzoylhydrazine)copper(II) pentachlorotricuprate (I), a new complex containing copper in mixed oxidation states. *Inorg. chem.* 1971, 10, 1, 138-146.
113. Швелашвили А.Е., Нагебашвили СМ., Гогоришвили П.В., Квиташвили А.И. Синтез и строение дихлорбензоилгидразина ртути. *Изв. АН Латвийской ССР, Сер.химии.* 1973, I, 117-118.
114. Швелашвили А.Е., Вардосанидзе Т.О., Соболев А.Н., Бешкенадзе И.А. Сокол В.И. Синтез и строение смешанных комплексов никеля состава  $Ni_{n+2}BH_{0.5}I_20.5H_2O$   $Ni_{n+2}BH(NO_3)_2$ . *Сообщ. АН ГССР.* 1983, 1, 49-52.
115. Белоусова К.М., Назарова И.Н., Сейфулина И.И. О взаимодействии тетрахлорида германия с гидразидом изоникотиновой лислщты. *ЖОРХ.* 1973, 18, 1, 96- 100.
116. Цивадзе Л. К., Харитонов Ю.Я., Цинцадзе Г.В., Петриашвили Ж.Д. Колебательные спектры комплексов цинка, кадмия и меди с никотингидразидом. *Координ. химия.* 1977, 3, 8, 1164- 1173.
117. Pochkhidze M., Chitiashvili Z., Asatiani L., Tsartsidze M. Synthesis and antitumor properties of ferrocenyl-1- phenyl- 1-dioxy- 1,4-butyne-2 (Fc-A). *Bull. Georg. Acad. Sci.* 1999, 160, 1, 169-171.
118. Асатиани Л. П., Ломсадзе Б.А., Киладзе С.Х., Мецхваришивили С.Ш. Синтез и бактерицидные свойства ферроценсодержащих двух/четырехатомных спиртов ацетиленового ряда. *Хим. фарм. жур.* 1984, 5, 576-579.
119. Асатиани Л. П., Ломтатидзе З.Ш. Металлорганические бактерициды. *Сообщ. АН Грузии,* 1992, 146, 1, 66-69.
120. Асатиани Л. П., Ломтатидзе З.Ш. Синтез и бактерицидные свойства ферроцен и кремнийсодержащих спиртов диацетиленового ряда. *Сообщ. АН. Грузии,* 1989, 133, 3, 633-636.
121. ლეკაშვილი ო., ლომთაძე გ., ზავრულიძე გ., ასათიანი დ., ზურაბიშვილი დ. ფეროცენის და ადამანტანის გადამდებრებული პიდროქსიაცეტილენების სინთეზი და ზოგიერთი გარდაჯმა. ოსურ შრომები, “ენივერსალი” 2006, 361, 19-25.
122. Lekashvili O., Lomidze M., Asatiani L., Zurabishvili D. Synthesis of Ferrocene and Adamantane containing Hydroxyacetylenes and their Applications, *Chemistry of Advance Compounds and Materials.* Nova Science Publishens. 2008, 231-236 .
123. Lekashvili O., Lekishvili N., Zurabishvili D., Asatiani L. Synthesis and Transformation of Anemia-Opposite Adamantane Derivatives of Ferrocene. *Chemistry of Advance Compounds and Materials.* Nova Science publishens 2010, 195-200.
124. Зурабишвили Д.С., Самадашвили Р.Г., Лекашвили О.И., Надирадзе Н.Б., Асатиани Л.П. Синтез и биологическая активность ферроцен- и кремнийсодержащих производных адамантан. Международная научно-техническая конференция. Самара, 2004, 140.
125. Lekashvili O., Zurabishvili D., Lomidze M., Lekishvili N. Synthesis of ferrocene- and adamantane-containing oxyderivatives of acetylene series and their biological activity. “Compounds & materials with specific properties based on industrial waste and secondary resources. Modern Chemical Compounds and Technologies.” Tbilisi, 2008, pp. 231-236
126. Металлоорганические соединения переходных элементов. Грин М. Москва, «Мир», 1972, 456.
127. Bickert P., Bernhard H., Hafner K. Pentafulvenes: versatile synthons in metallocene chemistry. *Organometallics* 1984, 3, 5, 653-657.
128. Sheloumov A.M., Dolgushin F.M., Kondrashov M.B., Petrovskii P.V., Barbakadze Kh.A., Lekashvili O.I., Koridze A.A. Ruthenium complexes with ferrocene-based P,C,P pincer ligand. *Russ. Chem. Bull., Int. Ed.*, 2007, 56, 9, 1757-1764.

129. Koridze A.A., Kizas O.A., Petrovskii P.V., Kolobova N.E., Mikheeva G. M.. Protonation of vinylidene ligand of triosmium cluster with subsequent migration of a hydrogen atom to the metallic core. Dokl. AN SSSR 1987, 293, 117-119.
130. Koridze A. A., Yanovsky A. I., Struchkov Yu. T. Reaction of Ru<sub>3</sub>(CO)<sub>12</sub> with ferrocenylacetylene. X-ray crystal structure of Ru<sub>2</sub>(CO)<sub>6</sub>[C<sub>4</sub>H<sub>2</sub>(C<sub>5</sub>H<sub>4</sub>FeC<sub>5</sub>H<sub>5</sub>)<sub>2</sub>]. J. Organomet. Chem., 1992, 441, 277-284.
131. Koridze A.A. Acetylidy derivatives of transition metal cluster carbonyls. Russ. Chem. Bull., Int. Ed. 2000, 49, p.1135-1163.
132. Chedia R.V., Dolgushin F.M., Smolyakov A.F., Lekashvili O.I., Kakulia T.V., Janiashvili L.K., Sheloumov A. M., Ezernitskaya M. G., Peregudova S. M., Petrovskii P. V., Koridze A. A. Inorg. Chim. Acta 2011, 378, 264-268.
133. ლეკაშვილი ო., კაკულიძ ც., ჯანიაშვილი ლ., ქავთარაძე ნ., ბეროშვილი მ., ჭედია რ.. აცეტონიტრილ ლიგანდის შემცველი რენიუმის კარბონილ კომპლექსების მიღების ზოგიერთი საკითხი. საქართველოს მეცნიერებათა ეროვნული აკადემიის მაცნე, ქიმიის სერია 2009, 35, 4, 429-432.
134. ჭედია რ., ლეკაშვილი ო., კაკულიძ ც., ჯანიაშვილი ლ., ბეროშვილი მ., შელიუმოვი ა., დოლგუშინი ფ., სმოლიაკოვი ა., ქორიძე ა. ტეტრარენიუმ-ოქროს კლასტერის Re<sub>4</sub>(AuPPh<sub>3</sub>)(μ<sub>4</sub>-C<sub>2</sub>)(μ<sub>3</sub>-C<sub>2</sub>Fc)(NCMe)(CO)<sub>13</sub> სინთეზი და კვლევა. ჰეტრე მელიქიშვილის ფიზიკური და ორგანული ქიმიის ინსტიტუტის შრომები 2011, 40-46.
135. Lekashvili O., Natsvaladze G., Nadiradze N., Zurabishvili D., Asatiani L. Synthesis and bioactivity of adamantan-containing arilidenhydrazoles, N,N'- diacilhydrazines, 2,5-disubstituted 1,3,4-oxadiazoles. International conference "Advanced materials and technologies", Tbilisi, 2006, 58.
136. Лекашвили О.И., Лекишвили Н.Г., Ревия К.В., Зурабишивили Д.С. Синтез адамантан содержащих производных азометинов, аминов, диацилгидразинов и оксадиазолов. XI Международная научно-техническая конференция, Перспективы развития химии и практического применения алициклических соединений. Волгоград 2008. с.107.
137. ლეკაშვილი ო., ლეკიშვილი ნ., ფაჩულია ზ., ლაბარტყავა მ., ზურაბიშვილი დ. ბიოაქტიური აზომეთინების და ჰიდრაზიდის მოდიფიკაცია ადამანტანური სტრუქტურით. ივ. ჯავახიშვილის სახელობის თბილისის სახელმწიფო უნივერსიტეტის შრომები 2007, 362, 60-69.
138. Lekishvili N., Lekashvili O., Zurabishvili D., Fachulia Z., Giorgadze K.. Synthesis and study of new adamantan-containing hydrazide-hydrazone ligands and coordination compounds based on them. J. Oxidation Communications 2012, 35, 2, 457-475.
139. ლეკაშვილი ო., ლეკიშვილი ნ., ზურაბიშვილი დ., ლაბარტყავა მ. "სინთეზი და ბიოაქტიურობა ადამანტანური შემცველი არილიდენაზიდრაზიდების, N,N'- დიაცილბიდრაზიდების და მათი გარდაქმნები." საერთაშორისო სამეცნიერო კონფერენცია "თანამედროვე ტექნოლოგიები და მასალები" 2008, 186.
140. ლეკაშვილი ო., ლეკიშვილი ნ., ფაჩულია ზ., ზურაბიშვილი დ. ადამანტანური შემცველი N,N'- დიაცილბიდრაზიდების სინთეზი და აღნაგობის შესწავლა. საქართველოს მეცნიერებათა ეროვნული აკადემიის მაცნე 2008, 34, 2, 154-158.
141. Pretsch E., Seibl J., Simon W. Strukturaufklarung organischer Verbindungen-Verlag, Berlin, Heidelberg, N.J., 1986.
142. Breitmeier E., Voelter W. <sup>13</sup>C NMR Spectroskopy, Verlag Chemie, Weinheim, N.J. 1996.

143. ლეკაშვილი ო., ლეკიშვილი ნ., ზურაბიშვილი დ., ქაჯერაშვილი გ., ლაბარტუეგა გ., ფაჩულია ხ. ადამანტიანშემცველი N,N'-დიაცილჰიდრაზიდების პვან-ტურ-ქიმიური გამოკვლევა. საქართველოს ქიმიური ჟურნალი 2007, 7, 4, 376-380.
144. Dewar M. J. , Zoebisch E. G., Healy E. F., Stewart. J.P. Development and use of quantum mechanical molecular models. 76. AM1: a new general purpose quantum mechanical molecular model. Am.Chem.Soc. 1985,107, 3902-3909.
145. Lekashvili O., Zurabishvili D. Synthesis and investigation of some N-acyladamantane - 1- carbohydrazides and oxadiazoles. 2- nd international conference on organic chemistry: advances in heterocycl. chem.", Tbilisi, Georgia 2011, 238.
146. ლეკაშვილი ო., ლეკიშვილი ნ., ზურაბიშვილი დ. 2-(ადამანტილ-1)-1,3,4-ოქსადიაზოლების წარმოებულების სინთეზი და მათი ფეროცენილალკილორება, სიმპოზიუმი ორგანულ ქიმიაში, საქართველო 2009, 28-29.
147. Holm, R.H., Evert, G.W., Chakravorty, A. Metal complexes of Schiff bases and  $\beta$ -keto-amines. Prog. Inorg. Chem. 1966,7, 83-214.
148. Guo, H.M.; Zhao, G.L.; Yu, Y.Y. Synthesis, characterization, crystal structures and anti-bacterial activities of transition metal(II) complexes with a Schiff base derived from o-vanillin and p-toluidine. Chinese J. Inorg. Chem. 2008, 24, 1393-1399.
149. Yu-Ye Yu, Hui-Duo Xian, Jian-Feng Liu and Guo-Liang Zhao. Synthesis, characterization, crystal structure and antibacterial activities of transition metal(II) complexes of the Schiff base 2-[(4-methylphenylimino)methyl]-6-methoxyphenol, Molecules 2009, 14, 1747-1754.
150. Yu, Y.Y., Zhao, G.L., Wen, Y.H. Syntheses, characterizations, crystal structures and anti bacterial activities of two zinc(II) complexes with a Schiff base derived from o-vanillin and p-toluidine. Chinese J. Struct. Chem. 2007,26, 1395-1402.
151. Nakamoto K.: Infrared and raman spectra of inorganic and coordination compounds, Wiley, New York 1986,324.
152. Holm, R.H., O'Connor, M. The stereochemistry of bis-chelate metal(II) complexes. Prog. Inorg. Chem. 1971,14, 241-401.
153. Geluk H.W., Schlatmann J.L. M.A. Hydride Transfer Reactions of the Adamantyl Cation-1. A New and Convenient Synthesis of Adamantanone. Tetrahedron, 1968, 24, 53, 5361-5368.
154. Грава И.Я., Полис Я.Ю., Лидак М.Ю., Лиепиньш Э.Э., Шатц В.Д., Дипан И.В., Гаварс М.П., Секацис И.П. Синтез 1-адамантил- и (1-адамантилметил)алкилкетонов . ЖорХ 1981, 17, 4, 778-786.
155. Polin J., Schottenberger H. Conversion of methyl ketones into terminal acetylenes: Ethynylferrocene. Organic Syntheses, 1998, 9, 411.
156. Новиков С.С., Хардин А.П., Бутенко Л.Р., Кулев И.А., Новаков И.А., Синтез и химические превращения ацетиламинопроизводных адамантана. ЖорХ. 1980, 16, 7, 1433-1435.